



FACULTAD DE INGENIERÍA CIVIL

EVALUACIÓN DE LA RESPUESTA ESTRUCTURAL DE UNA EDIFICACIÓN
HOSPITALARIA USANDO TRES SISTEMAS DE AISLAMIENTO SÍSMICO EN LA
CIUDAD DE ILO-PERÚ

Línea de investigación: Construcción sostenible y sostenibilidad ambiental del territorio

Tesis para optar el Título Profesional de Ingeniero Civil

Autor

Cabrera Zúñiga, Elias Josue

Asesor

Tello Malpartida, Omart Demetrio

ORCID: 0000-0002-5043-6510

Jurado

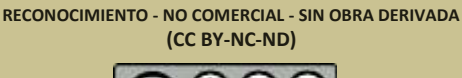
Bedia Guillen, Ciro Sergio

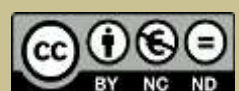
García Urrutia-Olavarría, Roque Jesús Leonardo

Madrid Saldaña, Cesar Karlo

Lima - Perú

2025





EVALUACIÓN DE LA RESPUESTA ESTRUCTURAL DE UNA EDIFICACIÓN HOSPITALARIA USANDO TRES SISTEMAS DE AISLAMIENTO SÍSMICO EN LA CIUDAD DE ILO-PERÚ

INFORM	IE DE ORIGINALIDAD				
	3% 22 FUENTE	.% ES DE INTERNET	9% PUBLICACIONES	8% TRABAJOS ESTUDIANTE	DEL
FUENTE	S PRIMARIAS				
1	hdl.handle.net Fuente de Internet				9%
2	dspace.unitru. Fuente de Internet	edu.pe			1%
3	repositorio.urp	o.edu.pe			1%
4	repositorio.up	t.edu.pe			1%
5	repositorio.uc\ Fuente de Internet	/.edu.pe			1%
6	Submitted to U Villarreal Trabajo del estudiante	Jniversida	d Nacional Fe	ederico	1%
7	www.elperuleg	gal.com			1%
8	Submitted to U Trabajo del estudiante	Jniversida	d Ricardo Pal	ma	1%
9	repositorio.um	isa.bo			1%
10	Submitted to P del Peru Trabajo del estudiante	ontificia U	Jniversidad C	atolica	<1%
11	vsip.info Fuente de Internet				





FACULTAD DE INGENIERÍA CIVIL

EVALUACIÓN DE LA RESPUESTA ESTRUCTURAL DE UNA EDIFICACIÓN HOSPITALARIA USANDO TRES SISTEMAS DE AISLAMIENTO SÍSMICO EN LA CIUDAD DE ILO-PERÚ

Línea de Investigación:

Construcción sostenible y sostenibilidad ambiental del territorio

Tesis para optar el título profesional de Ingeniero Civil

Autor:

Cabrera Zúñiga, Elias Josue

Asesor:

Tello Malpartida, Omart Demetrio

ORCID: 0000-0002-5043-6510

Jurado:

Bedia Guillen, Ciro Sergio

García Urrutia-Olavarría, Roque Jesús Leonardo

Madrid Saldaña, Cesar Karlo

Lima – Perú 2025

Dedicatoria:

Esta tesis va dedicada a mis padres, por enseñarme el valor de la familia, el esfuerzo y la superación, por los valores y principios que siempre me inculcaron y por su constante apoyo a lo largo de mi vida y formación profesional.

Agradecimientos:

A Dios, por iluminar mi camino cada día y permitirme vivir una vida maravillosa junto a una familia preciosa.

A mi padre, por ser un gran ejemplo de esfuerzo, dedicación, superación y fortaleza, una persona de la cual nunca termino de aprender.

A mi madre, por estar siempre a mi lado, brindándome todo su amor y apoyo constante e incondicional.

A mi asesor de tesis el ingeniero Omart Demetrio Tello Malpartida, por compartir sus conocimientos y dedicar su tiempo en el desarrollo esta tesis.

ÍNDICE

RESUMEN	11
ABSTRACT	12
I. INTRODUCCIÓN	13
1.1. Descripción y formulación del problema	14
1.1.1. Problema general	16
1.1.2. Problemas específicos	16
1.2. Antecedentes	17
1.3. Objetivos	20
1.3.1. Objetivo general	20
1.3.2. Objetivos específicos	21
1.4. Justificación	21
1.5. Hipótesis	22
1.5.1 Hipótesis general	
1.5.2 Hipótesis específicas	22
II. MARCO TEÓRICO	
2.1. Bases teóricas sobre el tema de investigación	23
III. MÉTODO	48
3.1. Tipo de investigación	48
3.2. Ámbito temporal y espacial	48
3.3. Variables	50
3.3.1 Variable independiente	50
3.3.2 Variable dependiente	50
3.4. Población y muestra	50
3.4.1 Población	50
3.4.2 Muestra	50
3.5. Instrumentos	51
3.6. Procedimientos	52
3.7. Análisis de datos	124
IV. RESULTADOS	
V. DISCUSIÓN DE RESULTADOS	
VI. CONCLUSIONES	
VII. RECOMENDACIONES	
IX. ANEXOS	

ÍNDICE DE TABLAS

Tabla 1 Edificaciones hospitalarias con aislamiento sísmico en Perú	15
Tabla 2 Comportamiento de un dispositivo TFP de tres regímenes	31
Tabla 3 Factores de zona "Z"	38
Tabla 4 Factores de suelo "S"	39
Tabla 5 Períodos T _P y T _L	39
Tabla 6 Combinaciones de carga aplicadas a los dispositivos de aislamiento sísmico	40
Tabla 7 Factores de modificación de las propiedades de los dispositivos de Clase I	41
Tabla 8 Factores de modificación de las propiedades de los dispositivos de Clase II	41
Tabla 9 Factor de amortiguamiento B_M	43
Tabla 10 Cargas vivas repartidas	61
Tabla 11 Cargas muertas repartidas	61
Tabla 12 Participación modal de masas en la estructura de base fija	62
Tabla 13 Parámetros preliminares del análisis estático	64
Tabla 14 Parámetros nominales de los aisladores LRB	81
Tabla 15 Parámetros nominales de los aisladores SL	82
Tabla 16 Parámetros en límite superior de los aisladores LRB	83
Tabla 17 Parámetros en límite superior de los aisladores SL	84
Tabla 18 Parámetros en límite inferior de los aisladores LRB	85
Tabla 19 Parámetros en límite inferior de los aisladores SL	86
Tabla 20 Participación modal de masas en el sistema LRB+SL	87
Tabla 21 Parámetros del sistema de aislamiento LRB+SL	88
Tabla 22 Verificación de la fuerza de restitución del sistema LRB+SL	88
Tabla 23 Parámetros nominales de los aisladores LRB	89
Tabla 24 Parámetros nominales de los aisladores HDR	90
Tabla 25 Parámetros nominales de los aisladores SL	91
Tabla 26 Parámetros en límite superior de los aisladores LRB	92
Tabla 27 Parámetros en límite superior de los aisladores HDR	93
Tabla 28 Parámetros en límite superior de los aisladores SL	94
Tabla 29 Parámetros en límite inferior de los aisladores LRB	95
Tabla 30 Parámetros en límite inferior de los aisladores HDR	96
Tabla 31 Parámetros en límite inferior de los aisladores SL	97
Tabla 32 Participación modal de masas en el sistema LRB+HDR+SL	98
Tabla 33 Parámetros del sistema de aislamiento LRB+HDR+SL	99

Tabla 34 Verificación de la fuerza de restitución del sistema LRB+HDR+SL	99
Tabla 35 Parámetros nominales de los aisladores TFP	100
Tabla 36 Parámetros en límite superior de los aisladores TFP	101
Tabla 37 Parámetros en límite inferior de los aisladores TFP	102
Tabla 38 Participación modal de masas en el sistema TFP	103
Tabla 39 Parámetros del sistema de aislamiento TFP	104
Tabla 40 Verificación de la fuerza de restitución del sistema TFP	104
Tabla 41 Centro de masa y rigidez del sistema de aislamiento LRB+SL	106
Tabla 42 Centro de masa y rigidez del sistema de aislamiento LRB+HDR+SL	107
Tabla 43 Centro de masa y rigidez del sistema de aislamiento TFP	108
Tabla 44 Cargas verticales mínimas que actúan sobre los aisladores	112
Tabla 45 Fuerzas y desplazamientos laterales mínimos de los sistemas de aislamiento	113
Tabla 46 Registros sísmicos utilizados	114
Tabla 47 Fuerzas laterales mínimas para los sistemas de aislamiento	123
Tabla 48 Máximas derivas de entrepiso para el sistema LRB+SL en el eje X	125
Tabla 49 Máximas derivas de entrepiso para el sistema LRB+SL en el eje Y	126
Tabla 50 Máximas derivas de entrepiso para el sistema LRB+HDR+SL en el eje X	127
Tabla 51 Máximas derivas de entrepiso para el sistema LRB+HDR+SL en el eje Y	128
Tabla 52 Máximas derivas de entrepiso para el sistema TFP en el eje X	129
Tabla 53 Máximas derivas de entrepiso para el sistema TFP en el eje Y	130
Tabla 54 Derivas máximas promedio para los tres sistemas de aislamiento	131
Tabla 55 Máximas aceleraciones de piso para el sistema LRB+SL en el eje X	133
Tabla 56 Máximas aceleraciones de piso para el sistema LRB+SL en el eje Y	134
Tabla 57 Máximas aceleraciones de piso para el sistema LRB+HDR+SL en el eje X	135
Tabla 58 Máximas aceleraciones de piso para el sistema LRB+HDR+SL en el eje Y	136
Tabla 59 Máximas aceleraciones de piso para el sistema TFP en el eje X	137
Tabla 60 Máximas aceleraciones de piso para el sistema TFP en el eje Y	138
Tabla 61 Aceleraciones máximas promedio para los tres sistemas de aislamiento	139
Tabla 62 Desplazamientos máximos de los tres sistemas de aislamiento para cada regist	ro
sísmico	141
Tabla 63 Fuerzas cortantes máximas en la base de la estructura sobre los sistemas de	
aislamiento para cada registro sísmico	144
Tabla 64 Fuerzas cortantes máximas en los sistemas de aislamiento para cada registro	
sísmico	147

ÍNDICE DE FIGURAS

Figura I Sistema de distamiento sismico	23
Figura 2 Constitución interna de un dispositivo LRB	24
Figura 3 Lazo histerético bilineal de un dispositivo elastomérico	25
Figura 4 Sección transversal de un dispositivo HDR	27
Figura 5 Instalación de dispositivo SL	28
Figura 6 Lazo histerético bilineal de dispositivo SL	28
Figura 7 Sección transversal de un dispositivo TPF	29
Figura 8 Lazos histeréticos fuerza-deformación de un aislador TFP	30
Figura 9 Lazo histerético trilineal de un dispositivo TFP	32
Figura 10 Comparación de la respuesta sísmica de un edificio con base fija y aislada	33
Figura 11 Reducción de aceleraciones por aumento del periodo en espectros elásticos	34
Figura 12 Reducción de aceleraciones por aumento del amortiguamiento en espectros ela	ísticos
	34
Figura 13 Reducción de desplazamientos por aumento del amortiguamiento en esp	ectros
elásticos	36
Figura 14 Mapa de las zonas sísmicas del Perú	38
Figura 15 Mapa de ubicación de la edificación hospitalaria proyectada	49
Figura 16 Fotografía in situ del terreno propiedad de EsSalud	49
Figura 17 <i>Diagrama de flujo, etapa 1 a 2</i>	52
Figura 18 <i>Diagrama de flujo, etapa 2 a 3</i>	53
Figura 19 <i>Diagrama de flujo, etapa 3 a 4</i>	54
Figura 20 Diagrama de flujo, etapa 4	55
Figura 21 Elevación frontal del hospital materno infantil	56
Figura 22 Planta del primer nivel de la edificación	56
Figura 23 Planta del segundo nivel de la edificación	57
Figura 24 Planta del tercer nivel de la edificación	57
Figura 25 Planta típica de la edificación	58
Figura 26 Modelo numérico de la estructura en base fija	62
Figura 27 Diagrama histerético bilineal de los aisladores LRB (nominal)	82
Figura 28 Diagrama histerético bilineal de los aisladores SL (nominal)	83
Figura 29 Diagrama histerético bilineal de los aisladores LRB (límite superior)	84
Figura 30 Diagrama histerético bilineal de los aisladores SL (límite superior)	85

Figura 31 Diagrama histerético bilineal de los aisladores LRB (límite inferior)	86
Figura 32 Diagrama histerético bilineal de los aisladores SL (límite inferior)	87
Figura 33 Diagrama histerético bilineal de los aisladores LRB (nominal)	90
Figura 34 Diagrama histerético bilineal de los aisladores HDR (nominal)	91
Figura 35 Diagrama histerético bilineal de los aisladores SL (nominal)	92
Figura 36 Diagrama histerético bilineal de los aisladores LRB (límite superior)	93
Figura 37 Diagrama histerético bilineal de los aisladores HDR (límite superior)	94
Figura 38 Diagrama histerético bilineal de los aisladores SL (límite superior)	95
Figura 39 Diagrama histerético bilineal de los aisladores LRB (límite inferior)	96
Figura 40 Diagrama histerético bilineal de los aisladores HDR (límite inferior)	97
Figura 41 Diagrama histerético bilineal de los aisladores SL (límite inferior)	98
Figura 42 Diagrama histerético trilineal de los aisladores TFP (nominal)	101
Figura 43 Diagrama histerético trilineal de los aisladores TFP (límite superior)	102
Figura 44 Diagrama histerético trilineal de los aisladores TFP (límite inferior)	103
Figura 45 Distribución en planta de los aisladores en el sistema LRB+SL	106
Figura 46 Distribución en planta de los aisladores en el sistema LRB+HDR+SL	107
Figura 47 Distribución en planta de los aisladores en el sistema TFP	108
Figura 48 SMC según las Normas E.030 y E.031	109
Figura 49 Asignación de peso sísmico	110
Figura 50 Caso de carga para el análisis modal espectral en la dirección X	110
Figura 51 Caso de carga para el análisis modal espectral en la dirección Y	111
Figura 52 Ubicación de los dispositivos de aislamiento	112
Figura 53 Registro original de aceleraciones del sismo Iquique 1 en la dirección EW	114
Figura 54 Registro original de aceleraciones del sismo Iquique 1 en la dirección NS	115
Figura 55 Registro de aceleración, velocidad y desplazamiento del sismo Iquique 1	en la
dirección Este-Oeste, corregido y filtrado	115
Figura 56 Registro de aceleración, velocidad y desplazamiento del sismo Iquique 1	en la
dirección Norte-Sur, corregido y filtrado	116
Figura 57 Espectro del sismo Iquique 1 en la dirección EW escalado al SMC	116
Figura 58 Espectro del sismo Iquique 1 en la dirección NS escalado al SMC	117
Figura 59 Registro del sismo Iquique 1 en la dirección EW escalado al SMC	117
Figura 60 Registro del sismo Iquique 1 en la dirección NS escalado al SMC	118
Figura 61 Función tiempo-historia tipo rampa	118
Figura 62 Caso de carga de gravedad con la función tiempo-historia tipo rampa	119

Figura 63 Registro Iquique 1 en la dirección EW	119
Figura 64 Registro Iquique 1 en la dirección NS	120
Figura 65 Caso de carga para el sismo Iquique 1 en la dirección EW	120
Figura 66 Caso de carga para el sismo Iquique 1 en la dirección NS	121
Figura 67 Parámetros no lineales del dispositivo LRB 1 del sistema LRB+SL	121
Figura 68 Parámetros no lineales del dispositivo SL del sistema LRB+SL	122
Figura 69 Parámetros no lineales del dispositivo HDR 1 del sistema LRB+HDR+SL	122
Figura 70 Parámetros no lineales del dispositivo TFP 2 del sistema TFP	123
Figura 71 Máximas derivas de entrepiso para el sistema LRB+SL en el eje X	126
Figura 72 Máximas derivas de entrepiso para el sistema LRB+SL en el eje Y	127
Figura 73 Máximas derivas de entrepiso para el sistema LRB+HDR+SL en el eje X	128
Figura 74 Máximas derivas de entrepiso para el sistema LRB+HDR+SL en el eje Y	129
Figura 75 Máximas derivas de entrepiso para el sistema TFP en el eje X	130
Figura 76 Máximas derivas de entrepiso para el sistema TFP en el eje Y	131
Figura 77 Derivas máximas promedio de los tres sistemas de aislamiento en el eje X	132
Figura 78 Derivas máximas promedio de los tres sistemas de aislamiento en el eje Y	132
Figura 79 Máximas aceleraciones de piso para el sistema LRB+SL en el eje X	134
Figura 80 Máximas aceleraciones de piso para el sistema LRB+SL en el eje Y	135
Figura 81 Máximas aceleraciones de piso para el sistema LRB+HDR+SL en el eje X	136
Figura 82 Máximas aceleraciones de piso para el sistema LRB+HDR+SL en el eje Y	137
Figura 83 Máximas aceleraciones de piso para el sistema TFP en el eje X	138
Figura 84 Máximas aceleraciones de piso para el sistema TFP en el eje Y	139
Figura 85 Aceleraciones máximas promedio de los sistemas de aislamiento en el eje X	140
Figura 86 Aceleraciones máximas promedio de los sistemas de aislamiento en el eje Y	140
Figura 87 Desplazamientos máximos de los tres sistemas de aislamiento para cada res	gistro
sísmico en el eje X	142
Figura 88 Desplazamientos máximos de los tres sistemas de aislamiento para cada reg	gistro
sísmico en el eje Y	142
Figura 89 Desplazamientos máximos promedio de los tres sistemas de aislamiento sísmio	co en
el eje X	143
Figura 90 Desplazamientos máximos promedio de los tres sistemas de aislamiento sísmio	co en
el eje Y	143
Figura 91 Fuerzas cortantes máximas en la base de la estructura sobre los sistem	as de
aislamiento para cada registro sísmico en el eje X	145

Figura 92 Fuerzas cortantes máximas en la base de la estructura sobre los sistemas de
aislamiento para cada registro sísmico en el eje Y
Figura 93 Fuerzas cortantes máximas promedio en la base de la estructura sobre los tres
sistemas de aislamiento en el eje X
Figura 94 Fuerzas cortantes máximas promedio en la base de la estructura sobre los tres
sistemas de aislamiento en el eje Y146
Figura 95 Fuerzas cortantes máximas en los sistemas de aislamiento para cada registro
sísmico en el eje X148
Figura 96 Fuerzas cortantes máximas en los sistemas de aislamiento para cada registro
sísmico en el eje Y148
Figura 97 Fuerzas cortantes máximas en los tres sistemas de aislamiento en el eje X149
Figura 98 Fuerzas cortantes máximas en los tres sistemas de aislamiento en el eje Y149

RESUMEN

Esta investigación tuvo como principal objetivo evaluar en qué medida influye el uso de tres sistemas de aislamiento sísmico en la respuesta estructural de una edificación hospitalaria ubicada en la ciudad de Ilo. Los sistemas utilizados fueron los siguientes: LRB+SL, LRB+HDR+SL y TFP. Esta investigación fue por enfoque cuantitativa y por alcance explicativa, la población estuvo conformada por un hospital materno infantil y la muestra fue constituida por el hospital materno infantil. Esta investigación determinó que las derivas de entrepiso presentaron menores resultados al usar el sistema TFP, obteniendo un máximo de 0.001249; las aceleraciones de piso presentaron menores resultados al usar el sistema TFP, obteniendo un máximo de 0.272g; el desplazamiento máximo del sistema de aislamiento presentó mayores resultados al usar el sistema TFP, obteniendo un máximo de 0.243 m; la fuerza cortante en la base de la superestructura aislada presentó menores resultados al usar el sistema TFP, obteniendo un máximo de 962.66 tonf y la fuerza cortante en el sistema de aislamiento presentó menores resultados al usar el sistema TFP, obteniendo un máximo de 1005.46 tonf. Finalmente, se concluyó que los tres sistemas de aislamiento sísmico evaluados influyen positivamente en la respuesta estructural de la edificación hospitalaria, determinando que los mejores resultados se obtuvieron al usar el sistema TFP.

Palabras clave: aislador elastomérico, aislador de fricción, aislamiento sísmico, respuesta estructural, edificaciones hospitalarias.

ABSTRACT

The main objective of this research was to evaluate to what extent the use of three seismic isolation systems influences the structural response of a hospital building located in the city of IIo. The systems used were the following: LRB+SL, LRB+HDR+SL and TFP. This research was quantitative in approach and explanatory in scope, the population consisted of a maternal and child hospital and the sample was constituted by the maternal and child hospital. This research determined that the floor drift presented lower results when using the TFP system, obtaining a maximum of 0.001249; floor acceleration presented lower results when using the TFP system, obtaining a maximum of 0.272g; the maximum displacement of the isolation system presented greater results when using the TFP system, obtaining a maximum of 0.243 m; the shear force at the base of the isolated superstructure presented lower results when using the TFP system, obtaining a maximum of 962.66 tonf and the shear force in the isolation system presented lower results when using the TFP system, obtaining a maximum of 1005.46 tonf. Finally, it was concluded that the three seismic isolation systems evaluated positively influence the structural response of the hospital building, determining that the best results were obtained when using the TFP system.

Keywords: elastomeric isolator, friction isolator, seismic isolation, structural response, hospital buildings.

I. INTRODUCCIÓN

Los terremotos son fenómenos naturales que ponen constantemente a prueba las estructuras creadas por la humanidad. El Perú a lo largo de su historia ha experimentado una gran cantidad de estos eventos debido a su ubicación dentro del cinturón de fuego del Pacífico.

La filosofía de diseño de estructuras convencionales tiene como objetivo evitar el colapso debido a la ocurrencia de eventos sísmicos, manteniendo en lo posible bajos costos de construcción, permitiendo deformaciones plásticas dúctiles, lo que implica que las edificaciones puedan sufrir daños significativos, perdiendo en muchos casos su funcionalidad (Takagi y Wada, 2019). Esta filosofía es compartida por la Norma E.030 de Diseño Sismorresistente (Ministerio de Vivienda, Construcción y Saneamiento [MVCS], 2020), la cual indica en el artículo 3 que las estructuras podrían sufrir daños importantes ante sismos severos, siempre y cuando estas no colapsen, alegando que no es técnica ni financieramente posible ofrecer una protección completa contra los sismos.

En respuesta a la demanda de edificaciones más resistentes que mantengan su funcionalidad posterior a la acción sísmica, se han desarrollado diferentes tecnologías, entre las cuales el aislamiento sísmico ha logrado destacar demostrado ser muy efectivo. Esta tecnología es usada principalmente en estructuras de mayor relevancia, como es el caso de hospitales.

Según el artículo 15 de la Norma E.030 (MVCS, 2020), los nuevos proyectos de edificación del sector salud tanto privados como estatales, de los niveles segundo y tercero, de categoría A1 y que se encuentren según la zonificación sísmica en las zonas 3 y 4, deben contar con aislamiento sísmico. En la actualidad el Perú cuenta con cierta cantidad de hospitales sísmicamente aislados con diferentes sistemas, sin embargo, ciudades importantes y vulnerables a eventos sísmicos severos como la ciudad de Ilo, ubicada en la costa de Moquegua, carecen hasta la fecha de hospitales que cuenten con esta tecnología de protección sísmica.

Los sistemas de aislamiento sísmico usualmente están conformados por dispositivos elastoméricos y/o de fricción, sin embargo, estos sistemas presentan comportamientos y modos de falla que varían significativamente, generando diferentes respuestas estructurales.

Por ello el presente trabajo busca evaluar la variación de la respuesta estructural de una edificación hospitalaria sísmicamente aislada, ubicada en la ciudad de Ilo, usando para ello tres sistemas de aislamiento diferentes, conformados por aisladores elastoméricos de núcleo de plomo (LRB), aisladores elastoméricos de alto amortiguamiento (HDR), deslizadores planos de fricción (SL) y aisladores de triple péndulo de fricción (TFP).

1.1. Descripción y formulación del problema

La preocupante disminución de la ocurrencia de sismos frente a las costas del departamento de Moquegua sugiere una acumulación latente de energía, producto de la fricción entre las placas de Nazca y Sudamericana, la cual podría liberarse en cualquier momento (Tavera, 2017).

En el año 2014 la Norma E.030, vigente en ese entonces, tuvo la primera modificación concerniente al aislamiento sísmico de base, la cual indicaba que los establecimientos de salud especificados que requieran de este tipo de protección sísmica debían seguir los lineamientos indicados en el código ASCE/SEI 7 del año 2010. Es recién en el año 2019 que se publica la Norma E.031 de Aislamiento Sísmico, siendo la primera de su tipo.

Es razonable entender que antes de las fechas indicadas anteriormente, no existían establecimientos de salud que cuenten con aislamiento sísmico, y que en la actualidad el Perú presente una deficiencia de infraestructura hospitalaria con estos sistemas, como es el caso de la ciudad de Ilo. Cabe aclarar que el país cuenta con algunas estructuras hospitalarias aisladas ya construidas, en proceso de construcción, y proyectos que aún están en curso, mostrándose en la tabla 1 algunos ejemplos.

 Tabla 1

 Edificaciones hospitalarias con aislamiento sísmico en Perú

Proyecto	Lugar	Dispositivo	Cantidad	Niveles
Hospital Coracora	Ayacucho	TFP	66	5
Hospital San Francisco	Ayacucho	TFP	68	5
Hospital San Miguel	Ayacucho	TFP	29	4
Hospital Cangallo	Ayacucho	TFP	36	4
Hospital María Auxiliadora	Amazonas	TFP	55	3
Hospital de Cajamarca	Cajamarca	TFP	116	8
Hospital Alto Inclán	Arequipa	TFP	91	3
Hospital Goyeneche	Arequipa	TFP	192	6
Hospital de Talara	Piura	TFP	181	6
Clínica de Medicina Deportiva	Callao	TFP	23	3
Hospital de Rioja	San Martín	LRB + SL	100	2 y 3
Hospital Regional de Moquegua	Moquegua	LRB + SL	216	2, 3 y 4
Hospital de Bella Vista	San Martin	LRB + SL	64	1 a 4
Hospital de Tocache	San Martin	LRB + SL	109	4 y 3
Hospital Regional Daniel Alcides Carrión	Cerro de Pasco	HDR + SL	186	6 y 3
Hospital Santa Gema de Yurimaguas	Loreto	HDR + SL	172	4 y 2
Hospital de la Policía Nacional del Perú (Luis N. Saenz)	Lima	HDR + SL	213	6 y 3
Hospital Materno Infantil	Puno	HDR + SL	139	3
Clínica Hamilton Naki	Junín	HDR + SL	92	4
Clínica de Especialidades Médicas	Lima	HDR + SL	39	6

Nota. Adaptado de "Experiencia nacional en edificaciones con sistemas de protección sísmica", por Talavera (2017).

Se observa en la tabla 1 que los sistemas de aislamiento sísmico más usados cuentan con dispositivos de triple péndulo de fricción (TFP), aisladores elastoméricos de núcleo de plomo (LRB), aisladores elastoméricos de alto amortiguamiento (HDR) y deslizadores planos de fricción (SL).

Lo previamente descrito permite inferir que la ciudad de Ilo requiere de infraestructura hospitalaria sísmicamente aislada capaz de mantener la funcionalidad continua posterior a eventuales sismos, por otro lado, se puede observar que hay varios tipos de sistemas de aislamiento sísmico que pueden ser utilizados para este fin, los cuales responderían de manera diferente ante las solicitaciones sísmicas, influyendo en la respuesta estructural y dando distintos resultados, motivo por el cual la presente investigación busca determinar cómo los sistemas de aislamiento influyen en la respuesta de la estructura y cual sistema permite un mejor desempeño en la edificación hospitalaria analizada en este trabajo y ubicada en la ciudad de Ilo.

1.1.1. Problema general

¿En qué medida influye el uso de tres sistemas de aislamiento sísmico en la respuesta estructural de una edificación hospitalaria ubicada en la ciudad de Ilo?

1.1.2. Problemas específicos

- ¿De qué manera influye el uso de tres sistemas de aislamiento sísmico en las derivas de entrepiso de una edificación hospitalaria ubicada en la ciudad de Ilo?
- ¿Cómo influye el uso de tres sistemas de aislamiento sísmico en las aceleraciones de piso de una edificación hospitalaria ubicada en la ciudad de Ilo?
- ¿De qué modo influye el uso de tres sistemas de aislamiento sísmico en el desplazamiento máximo del sistema de aislamiento de una edificación hospitalaria ubicada en la ciudad de Ilo?
- ¿Cuánto influye el uso de tres sistemas de aislamiento sísmico en la fuerza cortante que actúa en la base de la superestructura aislada de una edificación hospitalaria ubicada en la ciudad de Ilo?

- ¿En qué medida influye el uso de tres sistemas de aislamiento sísmico en la fuerza cortante que actúa en el sistema de aislamiento de una edificación hospitalaria ubicada en la ciudad de Ilo?

1.2. Antecedentes

Valerio (2015), en su investigación titulada Análisis comparativo de un edificio fijo en la base vs un edificio aislado utilizando 4 tipos de aisladores sísmicos, tuvo como objetivo de investigación comparar la respuesta estructural de un edificio de concreto armado en base fija y sísmicamente aislado, utilizando para esto último cuatro tipos de dispositivos de aislamiento, usando el análisis tiempo-historia, donde los dispositivos utilizados fueron: HDR, LRB, aisladores de péndulo de fricción simple (SFP) y Roll-n-Cage (RNC). Fue un estudio de tipo cuantitativo con alcance explicativo. La población de estudio comprende un edificio de concreto armado de siete pisos. La muestra fue de tipo no probabilística. Los instrumentos empleados fueron fichas de observación directa. Los resultados más óptimos que obtuvo esta investigación fueron derivas de piso de 0.0020 usando RNC, aceleraciones de piso de 3.54 m/seg² usando RNC, fuerza cortante en la base del edificio de 907 tonf usando RNC y el desplazamiento máximo del edificio de 1.19 m usando RNC y mínimo de 0.47 m usando HDR. Esta investigación concluyó que el aislador más efectivo es el RNC, teniendo como resultados, respecto al edificio de base fija, la reducción de la deriva de piso en un 86%, la reducción de la aceleración del piso superior en un 92%, la reducción de la fuerza cortante en la base en un 84% y el incremento del desplazamiento en un 333%.

Villavicencio (2015), en su investigación titulada Análisis sísmico estructural comparativo para edificios con aisladores de base tipo elastoméricos y friccionantes, para los diferentes tipos de suelos del Ecuador, tuvo como objetivo de investigación el analizar comparativamente dispositivos de aislamiento tanto elastoméricos como friccionantes en diferentes tipos de suelos (A, B, C, D y E), donde los dispositivos utilizados fueron: LRB y

SFP. Fue un estudio de tipo cuantitativo con alcance explicativo. La población de estudio comprende dos edificios de diez pisos caca uno, el primero está conformado por un sistema aporticado y el segundo por muros de corte en ambos sentidos. La muestra fue de tipo no probabilística. Los instrumentos empleados fueron fichas de observación directa. Los principales resultados que obtuvo esta investigación fueron que, para el caso de la cortante basal, el edificio aporticado empotrado frente al sísmicamente aislado presentó una reducción de 5% y 7% (promedio de todos los tipos de suelo) usando LRB y SFP respectivamente, mientras que para el edificio con muros de corte fue de 42% y 43% (promedio de todos los tipos de suelo) usando LRB y SFP respectivamente; por otro lado, los máximos desplazamientos para el edificio aporticado empotrado frente al sísmicamente aislado presentaron una reducción de 17% (promedio) usando LRB pero una amplificación de desplazamientos al usar SFP, mientras que para el edificio con muros de corte se presentó una reducción de 43% (promedio) usando LRB pero una amplificación de desplazamientos al usar SFP; para el caso de las derivas máximas, el edificio aporticado y el edificio con muros de corte presentaron una reducción de derivas de aproximadamente 50% (promedio) al ser aislados por los sistemas LRB y SFP; Se concluyó que los sistemas de aislamiento con LRB presentaron una mejor respuesta sísmica tanto para los edificios aporticados como para los edificios con muros de corte en los diferentes tipos de suelos, ya que redujeron más eficientemente las fuerzas cortantes basales, los desplazamientos y derivas de piso.

Chacón (2018), en su investigación titulada Eficiencia de respuesta sísmica de la infraestructura del hospital materno infantil de la ciudad de Juliaca, diseñado con aisladores de base considerando la flexibilidad del suelo, tuvo como objetivo de investigación el determinar la respuesta sísmica más eficiente de los dispositivos HDR, LRB y TFP, considerando la interacción suelo-estructura (ISE), en el hospital Materno Infantil de la ciudad de Juliaca. Fue un estudio de tipo cuantitativo con alcance explicativo. La población de estudio

fue el hospital Materno Infantil de la ciudad de Juliaca. La muestra fue de tipo no probabilístico. Los instrumentos empleados fueron fichas de observación directa. Los resultados más óptimos que se obtuvieron fueron, que las fuerzas cortantes en la base de la estructura sobre el sistema de aislamiento, sin considerar ISE, fueron de 197.9 tonf en el eje X y 192.3 tonf en el eje Y usando TFP, mientras que considerando ISE, fueron de 187.1 tonf en el eje X y de 187.4 tonf en el eje Y usando TFP; por otro lado, las derivas máximas de entrepiso, sin considerar ISE, fueron de 0.0019 en el eje X y 0.0022 en el eje Y usando TFP, mientras que considerando ISE, fueron de 0.0020 en el eje X y 0.0024 en el eje Y usando TFP; por otra parte, los desplazamientos laterales máximos del sistema de aislamiento, sin considerar ISE, fueron de 43.74 cm en el eje X y 43.63 cm en el eje Y usando TFP, mientras que considerando ISE, fueron de 40.18 cm en el eje X y 40.13 cm usando TFP, mientras que considerando ISE, fueron de 160.49 cm/seg² en el eje X y 161.58 cm/seg² en el eje Y usando TFP, mientras que considerando ISE, fueron de 171.25 cm/s² en el eje X y 168.26 cm/seg² en el eje Y usando TFP. Se concluyó en esta investigación que el sistema más eficiente es el que cuenta con aisladores TFP.

Melendrez y Pantoja (2020), en su investigación titulada Análisis comparativo de un edificio con cuatro tipos de aisladores sísmicos en el distrito de la Victoria, tuvieron como objetivo de investigación el realizar el análisis de una edificación sísmicamente aislada mediante cuatro dispositivos de aislamiento, donde los dispositivos utilizados fueron: HDR, LRB, SFP y TFP. Fue un estudio de tipo cuantitativo con alcance correlacional. La población de estudio comprende edificaciones de concreto armado con aislamiento sísmico en Perú. La muestra está constituida por edificaciones de concreto armado sísmicamente aisladas mediante dispositivos elastoméricos y friccionantes en el departamento de Lima. Los instrumentos empleados fueron hojas de cálculo y los softwares especializados: Seismo Signal, Seismo Match y Etabs. Los principales resultados para el análisis tiempo-historia fueron que los

aisladores TFP producen la menor fuerza cortante en la base (4530.30 Klb en promedio), la menor fuerza sobre el sistema de aislamiento (4175.45 Klb en promedio), el máximo desplazamiento en la interfaz de aislamiento (26.41 in en promedio) y las derivas de entrepiso más pequeñas y uniformes respecto a los otros tipos de aisladores. Esta investigación concluyó que los aisladores TFP generan derivas de piso relativamente uniformes y por debajo de lo indicado en la Norma E.031, además permiten una mayor reducción de los esfuerzos trasmitidos a la superestructura, pero con mayores desplazamientos.

Tipula (2024), en su investigación titulada Análisis comparativo del comportamiento estructural de una edificación multifamiliar con reforzamiento sísmico mediante tres tipos de aisladores, Juliaca-2023, tuvo como objetivo de investigación el evaluar y comparar el comportamiento estructural de los dispositivos LRB, de doble péndulo de fricción (DFP) y TFP sujetos a la normativa vigente, en una edificación multifamiliar en Juliaca. Fue un estudio de enfoque cuantitativo con nivel descriptivo. La población de estudio comprende viviendas multifamiliares aporticadas en Juliaca. La muestra tomada es un edificio multifamiliar aporticado de 6 niveles en Juliaca. Los instrumentos empleados fueron listas de verificación y el software Etabs. Los principales resultados para el análisis tiempo-historia fueron que los aisladores LRB generaron las mayores reducciones de derivas de entrepiso respecto a la estructura en base fija, siendo de 80.95% para el sismo de La Libertad, 80.76% para el sismo de Lambayeque, 42.34% para el sismo de Piura. Este estudio concluyó que la mejor opción para el aislamiento sísmico de la edificación multifamiliar evaluada era mediante el uso de aisladores LRB.

1.3. Objetivos

1.3.1. Objetivo general

- Determinar en qué medida influye el uso de tres sistemas de aislamiento sísmico en la respuesta estructural de una edificación hospitalaria ubicada en la ciudad de Ilo.

1.3.2. Objetivos específicos

- Definir de qué manera influye el uso de tres sistemas de aislamiento sísmico en las derivas de entrepiso de una edificación hospitalaria ubicada en la ciudad de Ilo.
- Establecer cómo influye el uso de tres sistemas de aislamiento sísmico en las aceleraciones de piso de una edificación hospitalaria ubicada en la ciudad de Ilo.
- Determinar de qué modo influye el uso de tres sistemas de aislamiento sísmico en el desplazamiento máximo del sistema de aislamiento de una edificación hospitalaria ubicada en la ciudad de Ilo.
- Precisar cuánto influye el uso de tres sistemas de aislamiento sísmico en la fuerza cortante que actúa en la base de la superestructura aislada de una edificación hospitalaria ubicada en la ciudad de Ilo.
- Calcular en qué medida influye el uso de tres sistemas de aislamiento sísmico en la fuerza cortante que actúa en el sistema de aislamiento de una edificación hospitalaria ubicada en la ciudad de Ilo.

1.4. Justificación

Según la Norma E.030 (MVCS, 2020b, p. 80) la localidad de Ilo está emplazada dentro de la zona sísmica 4, lo que implica que establecimientos de salud de segundo y tercer nivel de esta ciudad deben contar de forma obligatoria con sistemas de aislamiento sísmico (MVCS, 2020b, p. 18), sin embargo, en la actualidad esta ciudad no cuenta con ninguna edificación con estas características. Esta investigación busca aportar al conocimiento de profesionales responsables de proyectos hospitalarios que requieran de sistemas de aislamiento sísmico que generen una mejor respuesta estructural, y preserven en mayor medida la integridad de la edificación, elementos no estructurales y su contenido, posterior a un eventual sismo, manteniendo la funcionalidad continua en estructuras que presenten condiciones sísmicas y geotécnicas similares a la edificación evaluada en esta investigación.

1.5. Hipótesis

1.5.1 Hipótesis general

- El sistema de aislamiento sísmico con dispositivos de triple péndulo de fricción (TFP) permitirá obtener mejores resultados en la respuesta estructural de la edificación hospitalaria evaluada, ubicada en la ciudad de Ilo.

1.5.2 Hipótesis específicas

- El sistema de aislamiento sísmico con dispositivos de triple péndulo de fricción (TFP) permitirá obtener mejores resultados en las derivas de entrepiso de la edificación hospitalaria evaluada, ubicada en la ciudad de Ilo.
- El sistema de aislamiento sísmico con dispositivos de triple péndulo de fricción (TFP) permitirá obtener mejores resultados en las aceleraciones de piso de la edificación hospitalaria evaluada, ubicada en la ciudad de Ilo.
- El sistema de aislamiento sísmico con dispositivos de triple péndulo de fricción (TFP) permitirá obtener mejores resultados en el desplazamiento máximo del sistema de aislamiento de la edificación hospitalaria evaluada, ubicada en la ciudad de Ilo.
- El sistema de aislamiento sísmico con dispositivos de triple péndulo de fricción (TFP) permitirá obtener mejores resultados en la fuerza cortante que actúa en la base de la superestructura aislada de la edificación hospitalaria evaluada, ubicada en la ciudad de Ilo.
- El sistema de aislamiento sísmico con dispositivos de triple péndulo de fricción (TFP) permitirá obtener mejores resultados en la fuerza cortante que actúa en el sistema de aislamiento de la edificación hospitalaria evaluada, ubicada en la ciudad de Ilo.

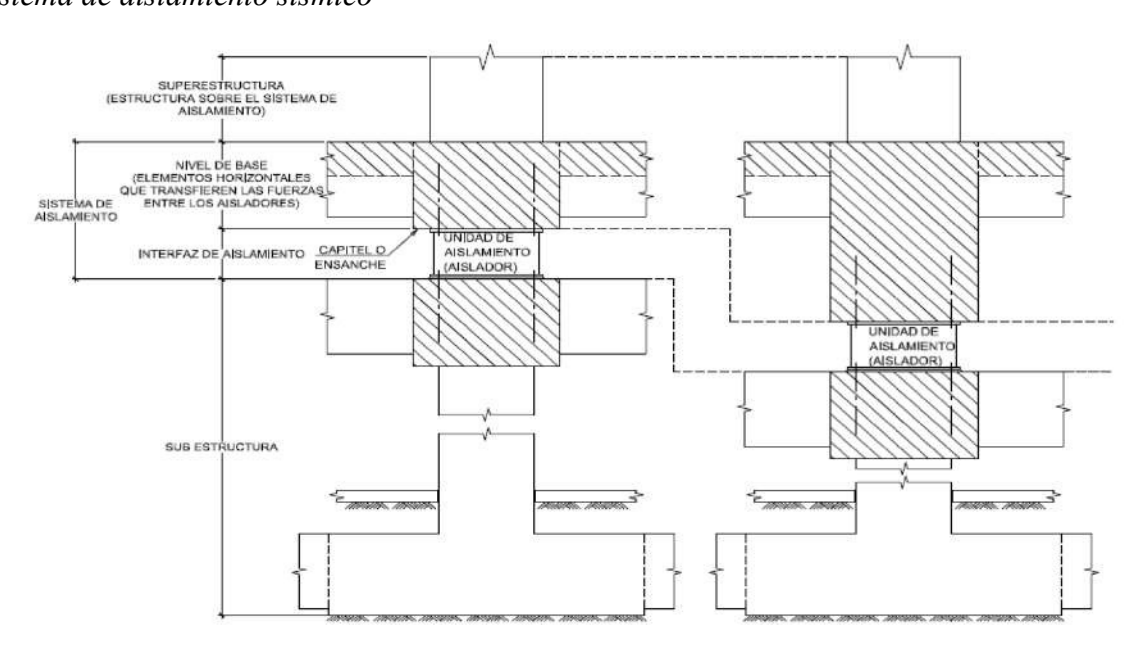
II. MARCO TEÓRICO

2.1. Bases teóricas sobre el tema de investigación

Aislamiento sísmico

Es un sistema pasivo que busca evitar en lo posible que las vibraciones sísmicas del suelo sean transferidas a la superestructura (Genatios y Lafuente, 2016). Esta tecnología consiste en interponer entre la superestructura y el suelo soportes de baja rigidez lateral, que usualmente son dispositivos de caucho laminado o dispositivos deslizantes, los cuales concentran grandes deformaciones producidas por la acción de cargas sísmicas, al tiempo que la superestructura no presenta deformaciones relevantes (De Domenico et al., 2020). En la figura 1 se puede observar que un sistema de aislamiento sísmico lo conforman la interfaz de aislamiento, zona en la que están ubicados los aisladores, y el nivel de base, en el que se sitúan vigas, losas y capiteles, que trasfieren las fuerzas y momentos a los aisladores.

Figura 1Sistema de aislamiento sísmico



Nota. Tomada de Sistema de aislamiento sísmico, por Ministerio de Vivienda, Construcción y Saneamiento (2020).

Dispositivos de aislamiento sísmicos

La tabla 1 exhibe sistemas de aislamiento sísmico en hospitales del Perú conformados esencialmente por dispositivos LRB, HDR, SL y TFP.

2.2.1 Aisladores elastoméricos de núcleo de plomo (LRB)

Estos dispositivos están constituidos por un núcleo metálico compuesto por plomo y capas horizontales alternadas entre caucho natural y láminas de acero inoxidable (Constantinou et al., 2011). La energía entrante debido a la acción de cargas sísmica es disipada en forma de calor a través del núcleo de plomo, lo que sucede cuando este incurre en deformaciones plásticas, mientras que el caucho permite restituir el dispositivo a su ubicación original luego del evento sísmico, donde el plomo que constituye el núcleo metálico regresa a tener sus propiedades mecánicas iniciales (Mendo, 2015).

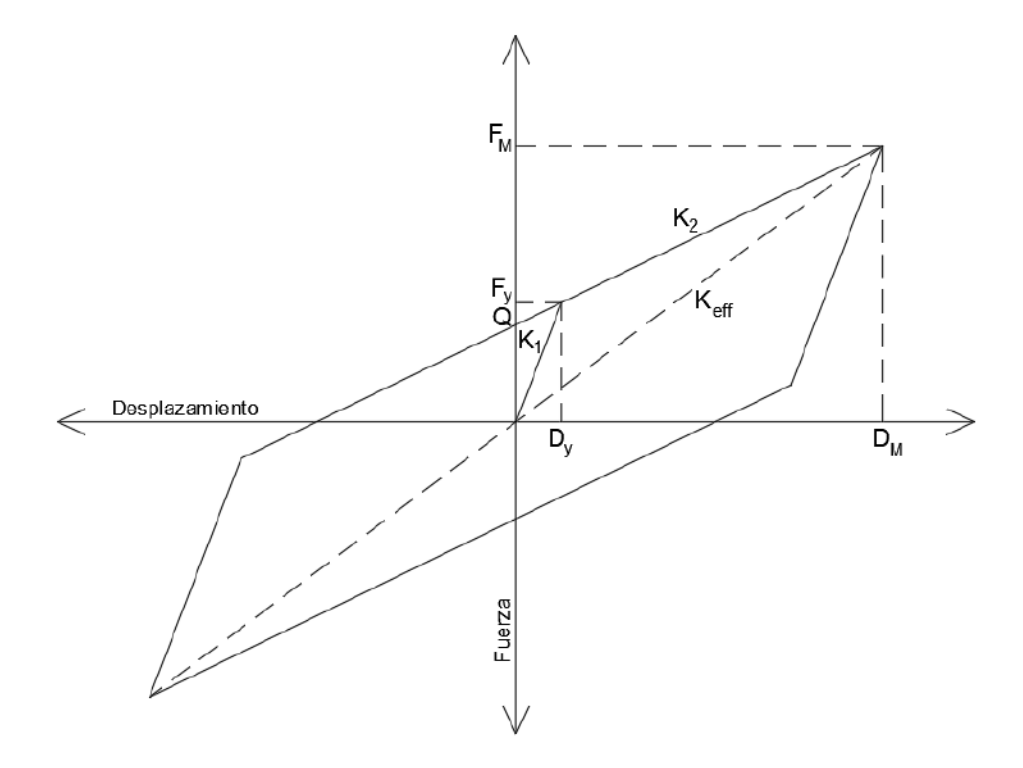
Figura 2Constitución interna de un dispositivo LRB



Nota. Tomada de Internal Construction of a Lead-Rubber Bearing (Courtesy of DIS), por Constantinou et al. (2011), University at Buffalo.

El comportamiento fuerza lateral - desplazamiento de los aisladores LRB puede ser idealizado mediante el lazo histerético bilineal mostrado en la figura 3, que representa una buena aproximación.

Figura 3 *Lazo histerético bilineal de un dispositivo elastomérico*



Nota. Adaptado de *Propiedades nominales del modelo bilineal fuerza-deformación del aislador*, por Ministerio de Vivienda, Construcción y Saneamiento (2020).

Del modelo bilineal para un dispositivo elastomérico se pueden obtener las siguientes ecuaciones en base a su geometría:

$$D_y = \frac{Q}{K_1 - K_2}$$

$$F_y = Q + K_2 D_y$$

$$F_M = Q + K_2 D_M$$

$$E_d = 4Q(D_M - D_y)$$

$$E_S = 0.5K_{eff}D_M^2$$

Donde, para una unidad de aislamiento sísmico:

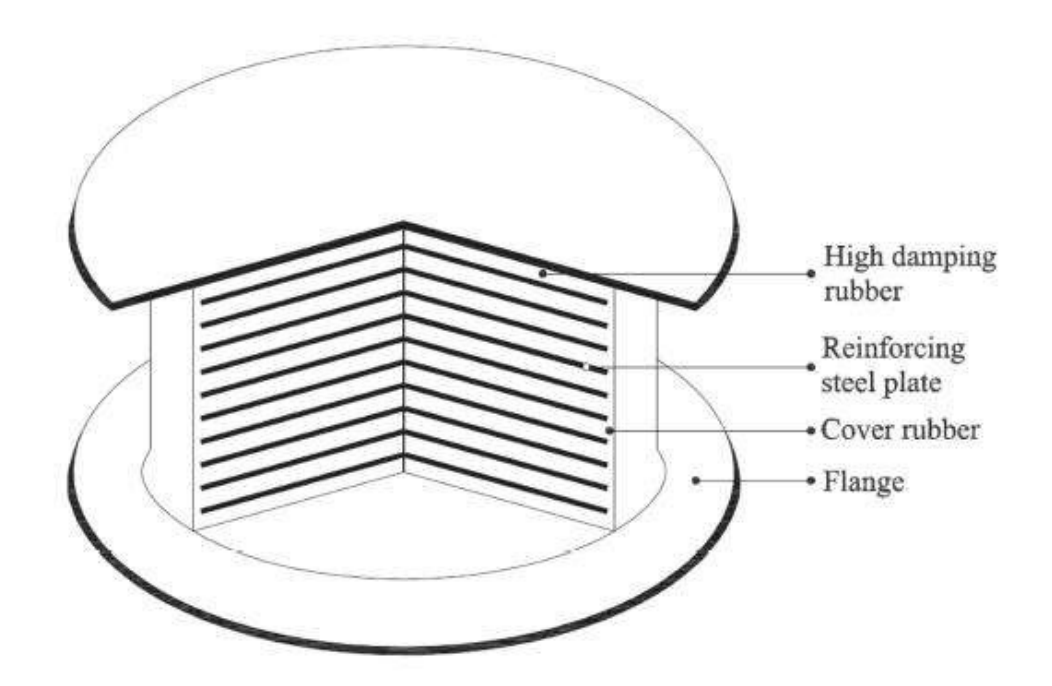
- K₁: Rigidez elástica.
- K₂: Rigidez post-fluencia.
- K_{eff}: Rigidez efectiva.
- Q: Fuerza característica o de activación.
- F_v: Fuerza de fluencia.
- F_M: Fuerza máxima.
- D_y: Desplazamiento de fluencia.
- D_M: Desplazamiento máximo traslacional.
- E_d: Energía disipada en un ciclo de histéresis.
- Es: Energía de deformación máxima elástica.

2.2.2 Aisladores elastoméricos de alto amortiguamiento (HDR)

Estos dispositivos presentan similitudes con los LRB, sin embargo, no presentan núcleo, en su lugar se le añade aditivos al elastómero para mejorar su comportamiento ante cargas laterales (Melendrez y Pantoja, 2020). Estos dispositivos son más sensibles a variaciones térmicas en comparación con los LRB (Guaygua, 2015).

El comportamiento fuerza lateral - desplazamiento de los dispositivos HDR puede ser idealizado mediante un modelo bilineal (Janampa, 2018), motivo por el cual para estos dispositivos también se usará el lazo histerético mostrado en la figura 3 y las fórmulas correspondientes.

Figura 4Sección transversal de un dispositivo HDR



Nota. Tomada de "Research and development of high-performance high-damping rubber Materials for high-damping rubber isolation bearings: A review", por Chen et al. (2022), Polymers, 14(12).

2.2.3 Deslizadores planos de fricción (SL)

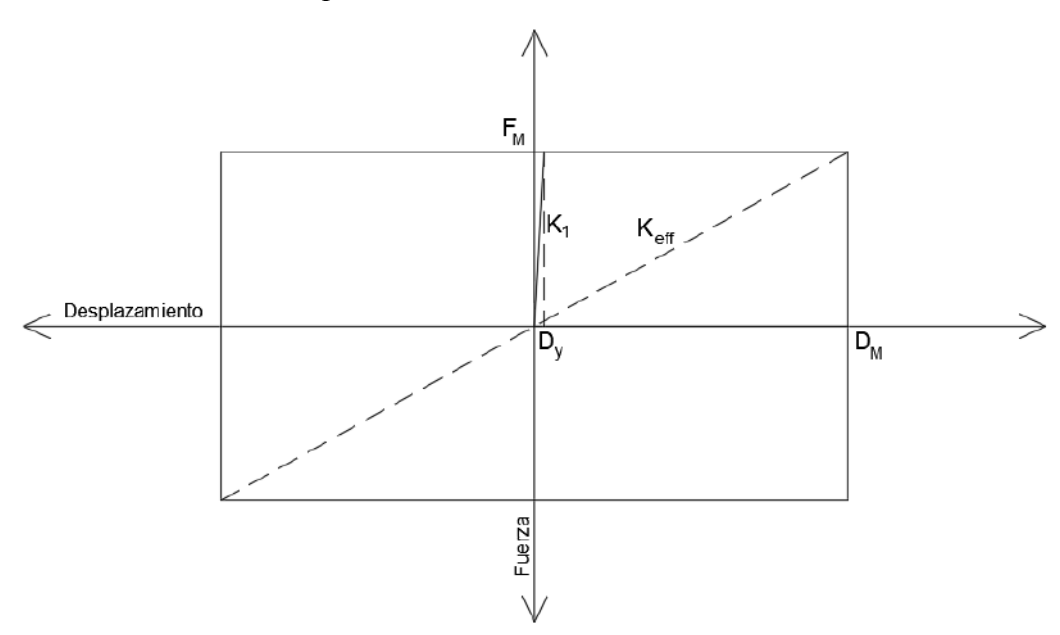
Los dispositivos SL están conformados por una placa deslizante superior y otra inferior de acero pulido, comúnmente recubiertas por politetrafluoroetileno, también llamado teflón o PTFE, con el objetivo de que estas superficies tengan un bajo coeficiente de rozamiento (Vaiana et al., 2019). Estos dispositivos no cuentan con capacidad restitutiva, no pudiendo regresar a su posición inicial por sí mismos, por lo que deben trabajar conjuntamente con LRB y/o HDR, sin embargo, el uso de dispositivos SL permite una reducción de costos al ser más económicos (López et al., 2011).

Figura 5 *Instalación de dispositivo SL*



Nota. Tomada de Apoyo deslizante plano, por López et al. (2011), Corporación de Desarrollo Tecnológico, Cámara Chilena de la Construcción.

Figura 6 *Lazo histerético bilineal de dispositivo SL*



Nota. Adaptada de "Nonlinear dynamic analysis of seismically base-isolated structures by a novel opensees hysteretic material model", por Vaiana et al. (2021), *Applied Sciences*, 11(3).

Del modelo bilineal para un dispositivo SL se pueden obtener las siguientes ecuaciones en base a su geometría:

$$F_{M} = F_{y} = Q$$

$$K_{eff} = \frac{F_{M}}{D_{M}}$$

$$K_{1} = \frac{F_{M}}{D_{y}}$$

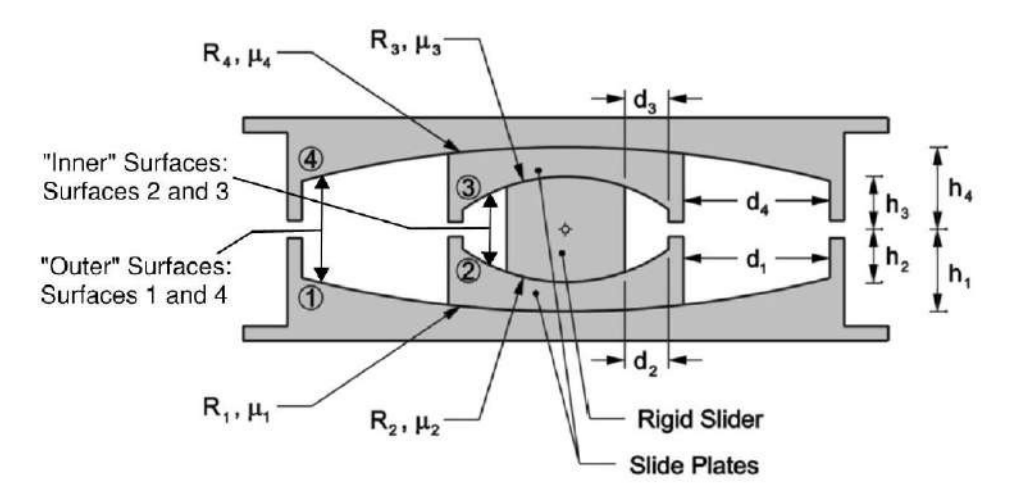
$$E_{d} = 4F_{M}D_{M}$$

$$E_{S} = 0.5F_{M}D_{M}$$

2.2.4. Aisladores de triple péndulo de fricción (TFP)

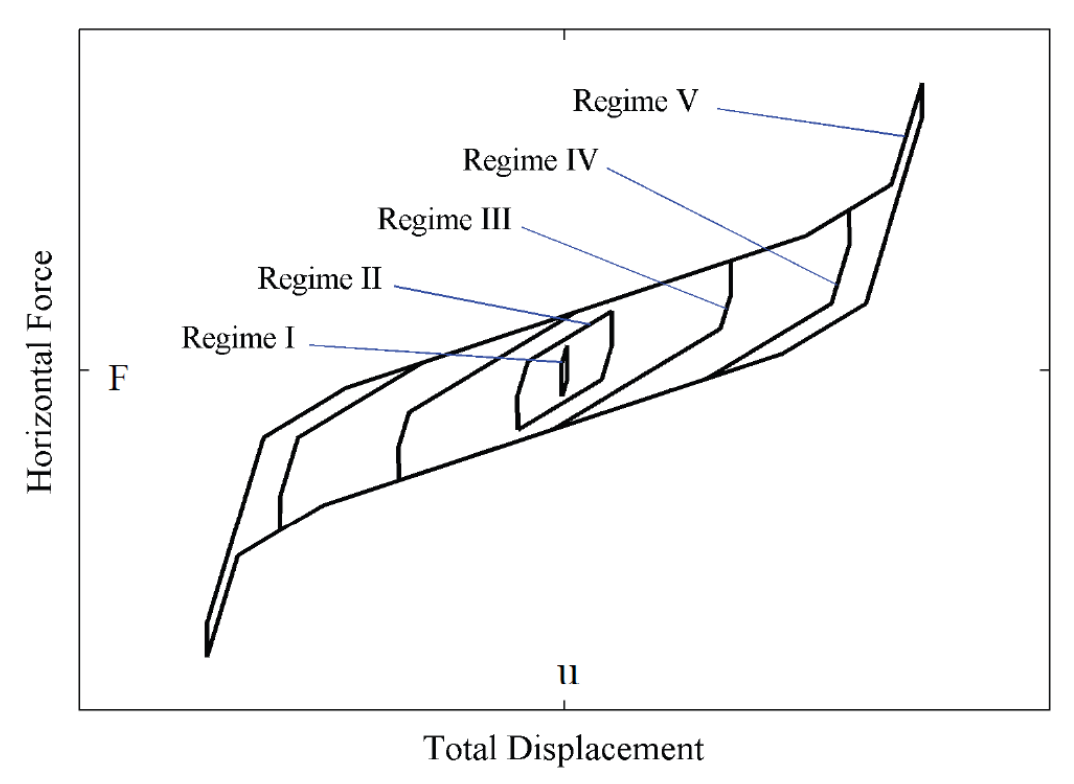
Los dispositivos TFP presentan cuatro superficies esféricas deslizantes, dos placas deslizantes internas y una articulación deslizante rígida en el centro, pudiendo experimentar hasta cinco regímenes de deslizamientos, presentando un comportamiento adaptativo, donde es posible cambiar y regular la rigidez, fricción efectiva y amortiguamiento en función a los desplazamientos laterales (Calvi y Calvi, 2018).

Figura 7Sección transversal de un dispositivo TPF



Nota. Tomada de Triple Friction Pendulum Cross Section, Definition of Parameters, por McVitty y Constantinou (2015), University at Buffalo.

Figura 8Lazos histeréticos fuerza-deformación de un aislador TFP



Nota. Tomada de Force-Displacement Loops of Triple FP Bearing, por Constantinou et al. (2011), University at Buffalo.

McVitty y Constantinou (2015) presentaron un modelo en el que redujeron el número de variables de 16 a 6 parámetros geométricos y de 4 a 2 los parámetros de fricción, donde:

$$R_1 = R_4 \gg R_2 = R_3$$
 $\mu_2 = \mu_3 < \mu_1 = \mu_4$
 $d_1 = d_4 y d_2 = d_3$
 $h_1 = h_4 y h_2 = h_3$
 $R_{i,eff} = R_i - h_i$
 $d_i^* = \frac{R_{i,eff}}{R_i} d_i$

Esta menor cantidad de parámetros redujo la cantidad de regímenes del dispositivo TFP de cinco a tres.

 Tabla 2

 Comportamiento de un dispositivo TFP de tres regímenes

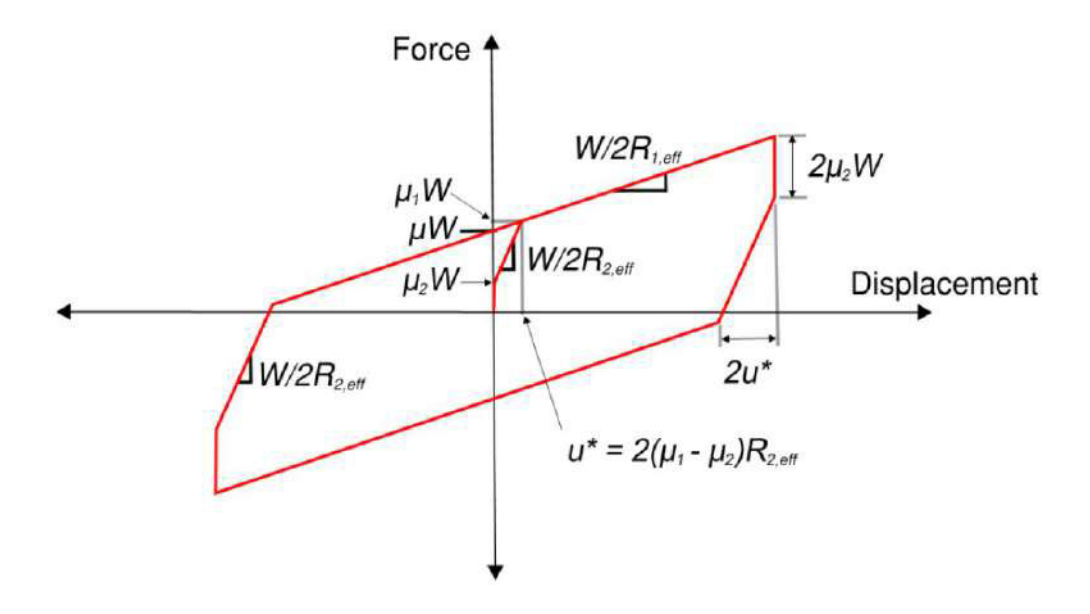
Régimen	Condición	Relación Fuerza lateral - Desplazamiento
I	Se presentan	$0 \le u \le u^*$
	desplazamientos	$u^* = 2(\mu_1 - \mu_2)R_{2,eff}$
	en los platos	(1 1 2 2,0)
	internos 2 y 3.	$F = \left(\frac{W}{2R_{2,eff}}\right)u + \mu_2 W$
II	El movimiento se	$u^* \leq u \leq u^{**}$
	detiene en las	$u^{**} = u^* + 2d_1^*$
	superficies 2 y 3, y	(W)
	el desplazamiento	$F = \left(\frac{W}{2R_{1,eff}}\right)(u - u^*) + \mu_1 W$
	ocurre en las	(1,0))/
	placas 1 y 4.	
III	Las placas	$u^{**} \leq u \leq u_{cap}$
	interiores se	$u_{cap} = 2d_1^* + 2d_2^*$
	apoyan en las	$-\omega_1 = -\omega_2$
	superficies 1 y 4, y	$F = \left(\frac{W}{2R_{2,off}}\right)(u - u^{**}) + \left(\frac{W}{2R_{1,off}}\right)(u^{**} - u^{*}) + \mu_1 W$
	el desplazamiento	$(2R_{2,eff})$ $(2R_{1,eff})$
	ocurre en las	
	placas 2 y 3.	

Nota. Adaptado de Force-Displacement Behavior for a "Special" Triple FPR Isolator, por McVitty y Constantinou (2015), University at Buffalo.

Por otro lado, McVitty y Constantinou (2015) mencionan que el aislador TFP debe alcanzar los desplazamientos generados por el sismo máximo considerado (SMC) durante el régimen II, donde la relación entre la fuerza lateral y el desplazamiento pueden ser representados mediante el lazó histerético trilineal mostrado en la figura 9, donde la fuerza característica se calcula con:

$$\mu W = \left[\mu_1 - (\mu_1 - \mu_2) \frac{R_{2,eff}}{R_{1,eff}} \right] W$$

Figura 9 *Lazo histerético trilineal de un dispositivo TFP*



Nota. Tomada de Tri-linear Force-Displacement Behavior of Special Triple FP up to Regime II, por McVitty y Constantinou (2015), University at Buffalo.

Donde, para el aislador TFP:

- W: Carga vertical sobre el dispositivo.
- μ_i: Coeficiente de fricción del plato i.
- R_i: Radio de curvatura del plato i.
- R_{i,eff}: Radio efectivo del plato *i*.
- d_i: Desplazamiento del plato i.
- d_i*: Capacidad de desplazamiento del plato *i*.
- u*: Desplazamiento máximo en el régimen 1.
- $-u^{**}$: Desplazamiento máximo en el régimen 2.
- u_{cap} : Desplazamiento máximo en el régimen 3.

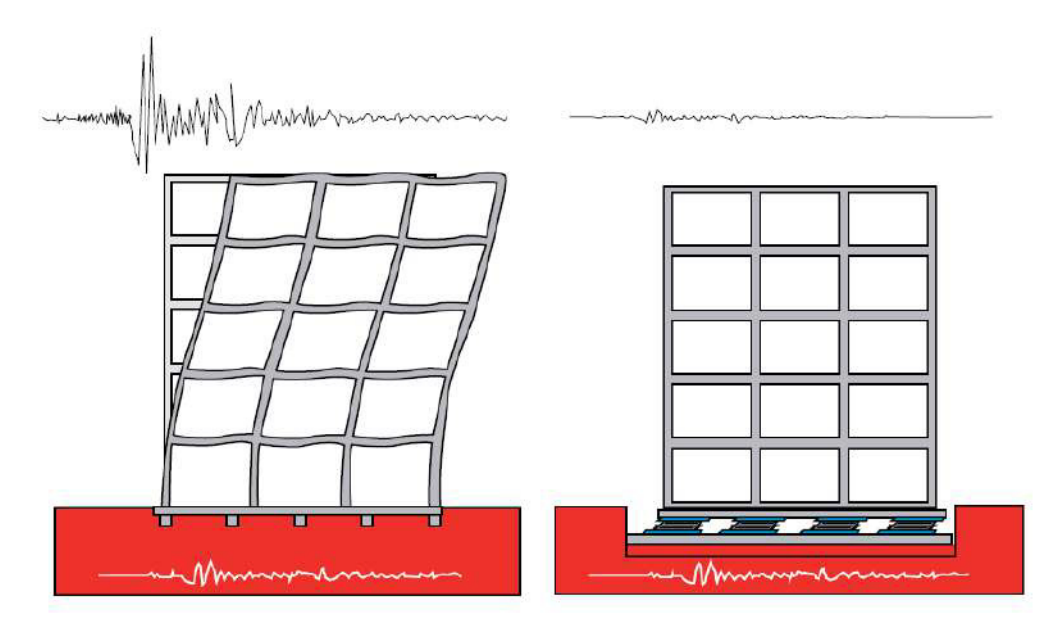
$$(i = 1, 2, 3, 4)$$

Comportamiento de un edificio con aislamiento sísmico

El aislar sísmicamente una edificación consigue reducir tanto aceleraciones como deformaciones en la superestructura, resultado de la baja rigidez lateral de los dispositivos que emplea, reduciendo la demanda sísmica producto del aumento del periodo fundamental junto al amortiguamiento (Villagómez, 2015).

Figura 10

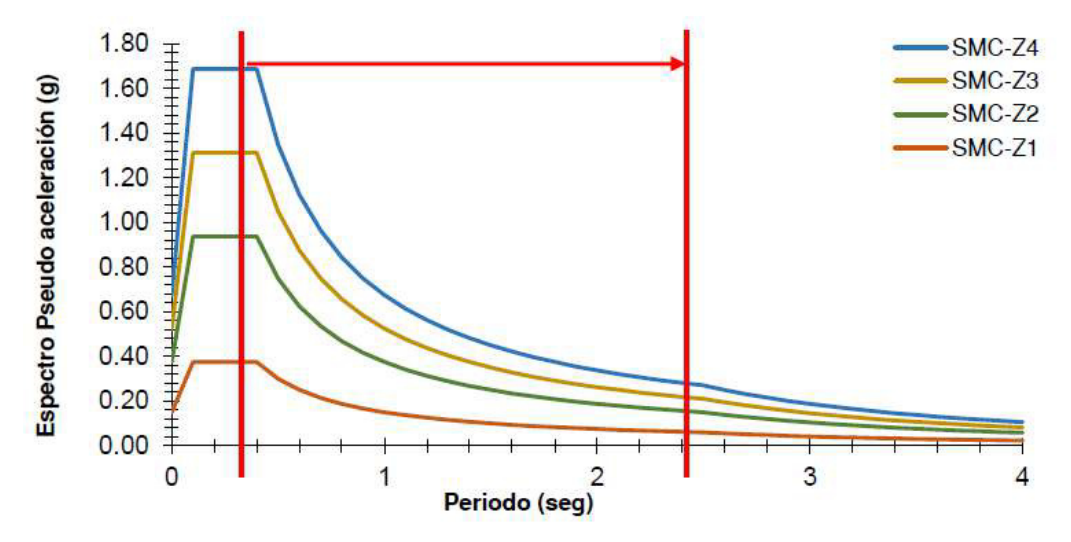
Comparación de la respuesta sísmica de un edificio con base fija y aislada



Nota. Tomada de Comparación de edificio sin disipadores y edificio con disipadores de energía, por López et al. (2011), Corporación de Desarrollo Tecnológico, Cámara Chilena de la Construcción.

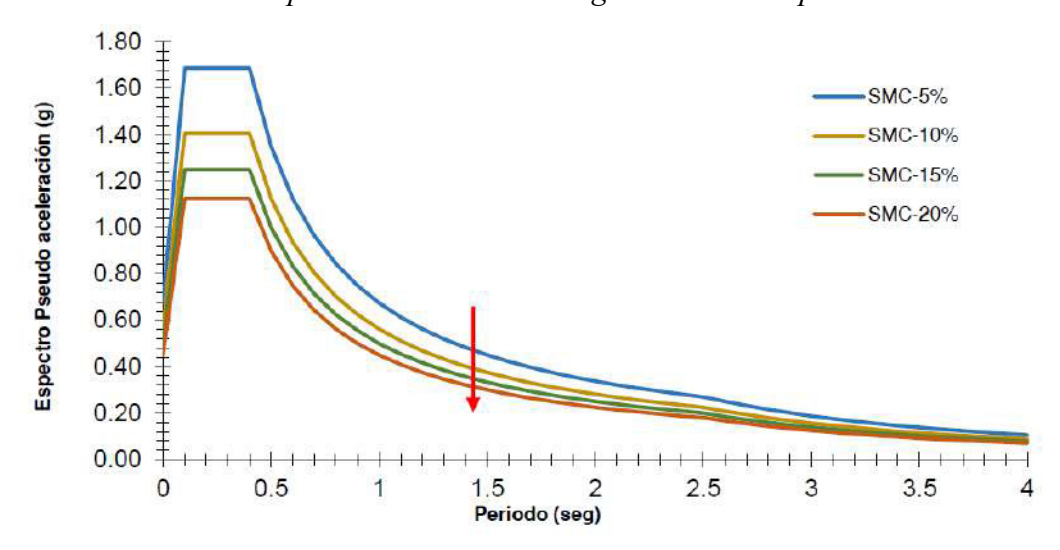
Melendrez y Pantoja (2020) indican que un mayor periodo reduce la demanda de aceleraciones; la figura 11 presenta cuatro espectros elásticos para los sismos máximos considerados (SMC) correspondientes a las cuatro zonas sísmicas del país, para un suelo S₁ con un amortiguamiento de 5%. Por otro lado, estos mismos autores mencionan que generalmente el incremento del amortiguamiento también reduce la demanda de aceleraciones; la figura 12 presenta cuatro espectros elásticos para SMC con un factor S₁ en la zona sísmica 4, pero con amortiguamientos de 5%, 10%, 15% y 20%.

Figura 11Reducción de aceleraciones por aumento del periodo en espectros elásticos



Nota. Tomada de Efecto del Cambio de Periodo en la Aceleración, por Melendrez y Pantoja (2020), Universidad Ricardo Palma.

Figura 12Reducción de aceleraciones por aumento del amortiguamiento en espectros elásticos



Nota. Tomada de Efecto del Cambio de Amortiguamiento en la Aceleración, por Melendrez y Pantoja (2020), Universidad Ricardo Palma.

La respuesta estructural se entiende como la forma en que una estructura se comporta ante cargas externas aplicadas sobre la misma (Mamani, 2023), la cual se puede controlar y cuantificar mediante: las derivas de entrepiso, las aceleraciones de piso, el desplazamiento

máximo del sistema de aislamiento, la fuerza cortante en la base de la superestructura sobre el sistema de aislamiento y la fuerza cortante en el sistema de aislamiento.

Derivas de entrepiso

La Norma E.031 (Ministerio de Vivienda, Construcción y Saneamiento [MVCS], 2020c, p. 34) indica en el artículo 26 que la máxima deriva de entrepiso obtenida como resultado de un análisis tiempo-historia no debe exceder de 0.005 para una estructura aislada. Sin embargo, en el capítulo 5 del manual técnico HAZUS-MH MR4 (Federal Emergency Management Agency [FEMA], 2003) se indica que, para el tipo de edificación evaluada en esta investigación, la máxima deriva de entrepiso no debe exceder de 0.0033.

Aceleraciones de piso

Los sismos pueden generar daños importantes en elementos no estructurales y elementos estructurales que no formen parte del sistema sismorresistente de una edificación, sin embargo, estos daños pueden ser disminuidos al controlar los efectos inerciales del sismo mediante la reducción de las aceleraciones de piso (Barbosa et al., 2018).

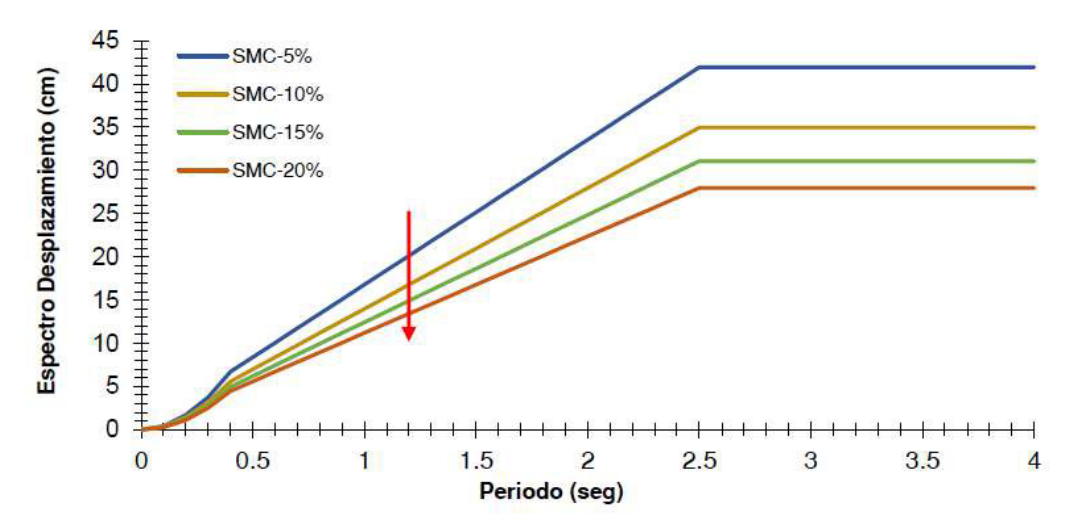
Aceleraciones de piso reducidas en la superestructura es uno de los efectos benéficos del uso del aislamiento sísmico, lo cual se puede apreciar en las figuras 11 y 12. La Norma E.031 (MVCS, 2020c) no indica un límite para aceleraciones de piso, sin embargo, el capítulo 5 de HAZUS-MH MR4 (FEMA, 2003) indica que estas aceleraciones no deben exceder 0.30g.

Desplazamiento máximo del sistema de aislamiento

El desplazamiento horizontal que presentan los aisladores requiere el cálculo de una junta que evite la colisión con estructuras adyacentes durante un evento sísmico.

Melendrez y Pantoja (2020) indican que al incrementar el amortiguamiento se consigue reducir el desplazamiento (ver figura 13), motivo por el cual podría ser contraproducente aumentar demasiado el amortiguamiento ya que el sistema de aislamiento llegaría a ser muy rígido y no aislaría a la superestructura de manera adecuada.

Figura 13Reducción de desplazamientos por aumento del amortiguamiento en espectros elásticos



Nota. Tomada de Efecto del Cambio de Amortiguamiento en el Desplazamiento, por Melendrez y Pantoja (2020), Universidad Ricardo Palma.

Fuerza cortante en la base de la superestructura aislada

El aislar sísmicamente una edificación produce una disminución relevante de las cargas sísmicas que entran en la superestructura, permitiendo que esta última trabaje muy cerca al rango elástico, por lo que reducir lo más posible estas cargas representa un aislamiento sísmico más óptimo. Estas cargas se pueden cuantificar mediante el cálculo del parámetro señalado como V_s en la Norma E.031 (MVCS, 2020).

Fuerza cortante en el sistema de aislamiento

Estas fuerzas afectan de manera más severa al sistema de asilamiento que a la superestructura al recibir directamente los efectos del sismo, motivo por el cual es recomendable reducir estas cargas, lo que dependerá en gran medida de la configuración y ubicación de los dispositivos de aislamiento. Una forma de cuantificar estas cargas es mediante el cálculo del parámetro V_b mostrado en la Norma E.031 (MVCS, 2020).

Normativa y consideraciones para el análisis estructural

El Perú basa algunas de sus normativas en códigos publicados por instituciones de Estados Unidos de América, un claro ejemplo de esto es el caso es la Norma E.030 y la Norma E.031 vigentes a la fecha, las cuales se fundamentan en el código norteamericano ASCE/SEI 7, pero adaptadas a la realidad sísmica peruana. Sin embargo, en muchos casos estas normativas no son suficientes para realizar ciertos tipos de evaluaciones o análisis, para lo cual se usan otras recomendaciones y consideraciones indicadas en investigaciones de gran confiabilidad, como es el caso del manual técnico HAZUS-MH MR4.

Norma técnica E.030

Esta norma abarca limitadamente el tema de aislamiento sísmico. El artículo 15 indica que edificaciones pertenecientes al rubro de la salud con categoría A1 deben contar con aislamiento sísmico si se encuentran en la zonificación 3 o 4. Por otro lado, el artículo 23 indica que el uso de aislamiento sísmico requiere el cumplimiento de las disposiciones indicadas en el capítulo II, aplicando en lo posible el código ASCE/SEI 7 vigente. Sin embargo, esta normativa es insuficiente para cumplir los requerimientos de sistemas de aislamiento, motivo por el cual el 2019 fue publicada la Norma E.031 para suplir esta deficiencia.

A continuación, se presentan algunos parámetros definidos en el capítulo II de la Norma E.030 (MVCS, 2020b) que son de utilidad para el análisis de estructuras con aislamiento sísmico.

Figura 14 *Mapa de las zonas sísmicas del Perú*



Nota. Tomada de Zonas Sísmicas, por Ministerio de Vivienda, Construcción y Saneamiento (2020).

Tabla 3

Factores de zona "Z"

Zona	Z
4	0.45
3	0.35
2	0.25
1	0.10

Nota. Adaptado de Factores de zona "Z", por Ministerio de Vivienda, Construcción y Saneamiento (2020)

Tabla 4

Factores de suelo "S"

Zona		Perfi	l de suelo	
Zona	So	\mathbf{S}_{1}	S_2	S 3
Z_4	0.80	1.00	1.05	1.10
\mathbb{Z}_3	0.80	1.00	1.15	1.20
\mathbb{Z}_2	0.80	1.00	1.20	1.40
Z_1	0.80	1.00	1.60	2.00

Nota. Adaptado de Factores de suelo "S", por Ministerio de Vivienda, Construcción y Saneamiento (2020)

Tabla 5Períodos $T_P y T_L$

Dowladas		Perfil d	le suelo	
Períodos -	S_0	S_1	S ₂	S ₃
T _P (seg.)	0.3	0.4	0.6	1.0
T_L (seg.)	3.0	2.5	2.0	1.6

Nota. Adaptado de Períodos " T_P " y " T_L ", por Ministerio de Vivienda, Construcción y Saneamiento (2020)

Norma técnica E.031

Esta norma es una guía con las mínimas exigencias necesarias para desarrollar proyectos sísmicamente aislados.

Es importante resaltar que la Norma E.031 del MVCS (2020) indica en la tabla N°1 del artículo 8 que no se permiten irregularidades extremas en edificaciones de categoría A en las zonas sísmicas 4 y 3, permitiendo irregularidades no consideradas como extremas en edificaciones hospitalarias, mientras que por otro lado, la Norma E.030 del MVCS (2020), indica en la tabla N°10 del artículo 21, que no se permite ningún tipo de irregularidad en

edificaciones con categoría A1, en las zonas sísmicas 4, 3 y 2, lo que implica una clara incompatibilidad entre ambas normas. Por estos motivos en esta investigación se trabajó con una estructura regular.

Las combinaciones de carga indicadas en la Norma E.031 del MVCS (2020) son usadas para verificar la estabilidad vertical de los dispositivos de aislamiento sujetos a la acción del SMC, que son las siguientes:

 Tabla 6

 Combinaciones de carga aplicadas a los dispositivos de aislamiento sísmico

Carga vertical	Combinación de carga
Promedio	1.0 CM + 0.5 CV
Máxima	1.25 (CM+CV) + 1.0 (CSH+CSV)
Mínima	0.9 CM - 1.0 (CSH+CSV)
Mínima	0.9 CM - 1.0 (CSH+CSV)

Nota. Adaptado de Efectos de las cargas sísmicas y combinaciones de cargas, por Ministerio de Vivienda, Construcción y Saneamiento (2020).

Donde:

CM: Carga muerta.

CV: Carga viva.

CSH: Carga sísmica horizontal.

CSV: Carga sísmica vertical.

La Norma E.031 del MVCS (2020) indica en el artículo 13 que se debe considerar la variación de las propiedades de los dispositivos de aislamiento durante su vida útil por efecto de condiciones ambientales, envejecimiento, temperatura, scragging, velocidad de carga y errores de fabricación, los cuales son cuantificados mediante los factores de modificación máximo ($\lambda_{máx}$) y mínimo ($\lambda_{mín}$).

Además, según el artículo 13 de la Norma E.031 del MVCS (2020), aquellos dispositivos que cuenten con factores de modificación de sus propiedades sustentados por ensayos e investigaciones confiables son denominados de Clase I, los dispositivos que no cumplan con los requerimientos de la Clase I son denominados de Clase II.

Tabla 7Factores de modificación de las propiedades de los dispositivos de Clase I

Factor de modificación			LRB		DR
Variable	μοQ	K_2	Q	K_2	Q
$\lambda_{ ext{máx}}$	1.60	1.30	1.50	2.00	1.70
λ_{min}	0.80	0.80	0.80	0.80	0.80

Nota. Adaptado de Factores de modificación máximos y mínimos de las propiedades de los dispositivos clase I, por Ministerio de Vivienda, Construcción y Saneamiento (2020).

Tabla 8Factores de modificación de las propiedades de los dispositivos de Clase II

Factor de modificación	Interfaz no lubricada	L	RB	HI	DR
Variable	μοQ	K ₂	Q	K ₂	Q
$\lambda_{ ext{máx}}$	2.10	1.80	1.80	2.20	1.80
λ_{min}	0.60	0.80	0.80	0.80	0.80

Nota. Adaptado de Factores de modificación máximos y mínimos de las propiedades de los dispositivos clase II, por Ministerio de Vivienda, Construcción y Saneamiento (2020)

La Norma E.031 (MVCS, 2020c, p. 23) señala dos maneras que permiten determinar el espectro elástico en edificaciones con aislamiento sísmico: mediante un estudio de sitio o utilizando los parámetros Z, S y U, indicados en la Norma E.030 del MVCS (2020), donde:

$$S_{aM} = 1.5 ZUCSg$$

El parámetro "C" se puede determinar mediante:

$$T < 0.2 T_P$$
 $C = 1 + 7.5 \left(\frac{T}{T_P}\right)$ $0.2 T_P < T < T_P$ $C = 2.5$ $T_P < T < T_L$ $C = 2.5 \left(\frac{T_P}{T}\right)$ $T > T_L$ $C = 2.5 \left(\frac{T_P}{T^2}\right)$

Manual técnico HAZUS-MH MR4

Este manual fue realizado por la Agencia Federal para el Manejo de Emergencias (FEMA) y publicado en el año 2003, el cual describe una metodología que busca estimar y evaluar el riesgo de pérdidas por terremotos.

En el capítulo 5 del manual técnico HAZUS-MH MR4 (FEMA, 2003) se indica que para edificaciones de mediana altura de entre 4 y 7 niveles, conformadas por pórticos resistentes a momentos, las derivas no podrán superar 0.0033. Por otro lado, en el mismo capítulo, el manual técnico HAZUS-MH MR4 (FEMA, 2003) indica que, para el caso de elementos no estructurales, la aceleración de piso no debe exceder de 0.30g. Los limites previamente descritos buscan mantener un leve umbral del estado de daño en la edificación al ser sometida a un terremoto.

Métodos de análisis

El capítulo IV de la Norma E.031 (MVCS, 2020) señala los procedimientos de análisis a desarrollar para estructuras sísmicamente aisladas, descritos a continuación.

Análisis estático o de fuerzas estáticas equivalentes

Este es un método elástico el cual es inicialmente descrito en el artículo 17 de la Norma E.031 (MVCS, 2020), que tiene entre sus requisitos que las edificaciones aisladas no superen los 4 pisos o 20 metros de altura, que estas no presenten las irregularidades indicadas en el artículo 8, que el periodo efectivo de la estructura aislada sea mayor a 3 veces el periodo

efectivo de la misma estructura en base fija, pero no supere los 5 segundos, que el amortiguamiento efectivo sea menor o igual a 30%, que estructuras ubicadas en la zona sísmica 4 deben encontrarse sobre suelos S₁, entre otros restricciones. Por otro lado, el procedimiento de este análisis es especificado en el capítulo V.

Es importante señalar que este método puede ser usado para predimensionar el sistema de aislamiento, esto como primer paso para el desarrollo de los análisis dinámicos (Moscoso, 2019).

A continuación, se describirán algunos parámetros indicados en la Norma E.031 (2020) necesarios para realizar un análisis estático.

El desplazamiento traslacional (D_M) es calculado en el centro de rigidez del sistema de aislamiento, para los límites superior $(\lambda_{máx})$ e inferior $(\lambda_{mín})$ para cada dirección.

$$D_M = \frac{S_{aM} T_M^2}{4\pi^2 B_M}$$

Donde:

S_{aM}: Ordenada del espectro de diseño.

- T_M: Periodo efectivo de la estructura aislada.

- B_M: Factor de amortiguación, el cual se puede obtener de la tabla 9.

Tabla 9Factor de amortiguamiento B_M

Amortiguamiento efectivo β _M	Factor B _M
≤ 2	0.8
5	1.0
10	1.2
20	1.5
30	1.7
≥ 40	1.9

Nota. Adaptado de Factor de amortiguación B_M , por Ministerio de Vivienda, Construcción y Saneamiento (2020).

El periodo efectivo (T_M) de la estructura aislada, determinado para los límites superior e inferior se puede calcular mediante la siguiente ecuación:

$$T_M = 2\pi \sqrt{\frac{P}{K_M g}}$$

Donde:

- P: Peso de la estructura sobre la interfaz del sistema de aislamiento.
- K_M: Rigidez efectiva del sistema de aislamiento sísmico.
- g: Aceleración de la gravedad.

El desplazamiento total (D_{TM}) del sistema de aislamiento incluye el desplazamiento traslacional y torsional, no puede ser inferior a 1.15 D_M ni a lo calculado por:

$$D_{TM} = D_M \left[1 + \left(\frac{y}{P_T^2} \right) \left(\frac{12e}{b^2 + d^2} \right) \right]$$

Donde:

- D_M: Desplazamiento traslacional.
- y: Distancia entre el centro de rigidez del sistema de aislamiento y el elemento de interés.
- e: Excentricidad obtenida de la suma de de la distancia entre el centro de masa de la estructura sobre la interfaz de aislamiento y el centro de rigidez del sistema de aislamiento, más la excentricidad accidental.
- b: Dimensión menor en planta.
- d: Dimensión mayor en planta.
- P_T: Razón entre el periodo traslacional efectivo y el periodo rotacional efectivo del sistema de aislamiento, calculado mediante un análisis dinámico o mediante la siguiente fórmula:

$$P_T = \frac{1}{r_a} \sqrt{\frac{\sum_{i=1}^{N} (x_i^2 + y_i^2)}{N}}$$

Donde:

- r_a : Radio de giro del sistema de aislamiento calculado como: $\frac{1}{12}(b^2+d^2)^{1/2}$
- N: Número de aisladores.
- x_i, y_i: Distancias horizontales en los ejes X e Y entre el centro de masa del sistema de aislamiento y el i-ésimo aislador.

La fuerza cortante que actúa en el sistema de aislamiento, se calcula considerando los límites superiores ($\lambda_{máx}$) e inferiores ($\lambda_{mín}$) mediante la siguiente fórmula:

$$V_b = K_M D_M$$

Donde:

- K_M: Rigidez efectiva del sistema de aislamiento.
- D_M: Desplazamiento traslacional.

La fuerza cortante que actúa sobre los elementos estructurales sobre el nivel de base, se determina considerando los límites superiores ($\lambda_{máx}$) e inferiores ($\lambda_{mín}$) mediante la siguiente fórmula:

$$V_s = \frac{V_{st}}{R_a}$$

Donde:

- R_a: Coeficiente de reducción de fuerzas sísmicas (fue considerado como R_a = 1 ya que la estructura evaluada corresponde a una edificación hospitalaria esencial).
- V_{st}: Fuerza cortante no reducida que actúa sobre los elementos estructurales sobre el nivel de base, se determina mediante la siguiente fórmula:

$$V_{st} = V_b \left(\frac{P_s}{P}\right)^{(1-2.5\beta_M)}$$

Donde:

- P: Peso sísmico de la estructura sobre la interfaz de aislamiento.
- Ps: Peso sísmico de la estructura sobre la interfaz de aislamiento sin considerar el nivel de base (losa maciza, vigas, capiteles, entre otros).
- β_M: Amortiguamiento efectivo del sistema de aislamiento sísmico.

Análisis dinámico modal espectral

Este procedimiento es descrito en el artículo 25 de la Norma E.031 (MVCS, 2020), el cual presenta casi los mismos requisitos del análisis estático. El diseño de los elementos de la superestructura puede ser obtenidos por este método.

Este análisis permite obtener las respuestas estructurales de un edificio sometido al SMC, lo que se logra mediante los principales modos participativos (Moscoso, 2019).

Análisis dinámico no lineal tiempo-historia (ANLTH)

Este procedimiento es descrito en el artículo 25 de la Norma E.031 (MVCS, 2020), el cual es permitido en cualquier estructura sísmicamente aislada, a diferencia de los análisis previamente mencionados, que presentan restricciones.

Para este análisis se buscará que los elementos que conformen la estructura aislada presenten un comportamiento elástico, en tanto que los aisladores trabajen en el rango inelástico, con el objetivo de reducir el tiempo y la carga computacional, siendo esto una clara ventaja en comparación con un análisis no lineal total, lo que se puede lograr mediante el uso del Fast Nonlinear Analysis (FNA) que permite el software ETABS (Moscoso, 2019).

Registros de aceleración del suelo

El artículo 15 de la Norma E.031 (MVCS, 2020) menciona que el ANLTH requiere al menos siete pares de registros sísmicos, con las componentes de aceleración Este-Oeste y Norte-Sur, y consistentes con el SMC en magnitud, distancia a las fallas, mecanismos de fuente

y condiciones locales del suelo, motivo por el cual, esta investigación buscará elegir registros que se ajusten lo más posible a estos requerimientos.

Corrección y escalamiento de registros

La corrección por filtrado de frecuencias es un procedimiento que permite limpiar los registros sísmicos de señales no deseadas, como es el caso del ruido ambiental, vibraciones no controladas como el paso vehículos o maquinaria pesada, entre otros. No obstante, otro error frecuente que se encuentra en los registros sísmicos es que presenten desplazamientos del eje cero, para lo cual se usa la corrección por línea base (Melendrez y Pantoja, 2020). Para realizar estos cálculos usó el software SeismoSignal v2025.

La Norma E.031 (MVCS, 2020c, p. 23) indica en el artículo 15 que los registros deberán ser escalados al SMC mediante el escalamiento de amplitudes o el ajuste de frecuencias.

El escalamiento de amplitudes aplica un único factor de escala a todos los valores del acelerograma con la finalidad de calzar con el SMC, preservando así el contenido de frecuencias del registro utilizado. Por otro lado, el ajuste de frecuencias modifica los armónicos del acelerograma, con el propósito de obtener un espectro similar al SMC, de esta manera no se preserva el contenido de frecuencias del registro utilizado (Janampa, 2018). Para realizar estos cálculos usó el software SeismoMatch v2025.

III. MÉTODO

3.1. Tipo de investigación

Según Hernández et al. (2014), una investigación con enfoque cuantitativo tiene como características que el problema puede ser planteado y medido, se puede revisar la literatura y construir el marco teórico, la hipótesis se hace antes de la recolección de datos, la hipótesis puede ser comprobada o refutada, además este tipo de investigación sigue un proceso estructurado.

Por otro lado Hernández et al. (2014) indica que la investigación con alcance explicativo centra su interés en las causas que generan un fenómeno y como este se manifiesta o relaciona con dos o más variables, además menciona que este tipo de investigación es la más estructurada y permite un mayor entendimiento del fenómeno analizado.

Considerando lo anteriormente definido, esta investigación tendría un enfoque cuantitativo ya que el problema puede ser medido mediante sus variables, existe una extensa literatura sobre el tema abordado, la hipótesis ha podido ser planteada previamente a la recolección de datos y esta puede ser refutada o comprobada en función a los resultados que se obtendrán posteriormente, además se sigue una estructura de análisis y diseño.

Por otro lado, esta investigación tendría además un alcance explicativo, ya que esta busca encontrar que efecto genera el uso de tres sistemas de aislamiento en la respuesta estructural de una edificación hospitalaria, buscando entender este fenómeno.

Se pueden inferir que esta investigación es por enfoque de tipo cuantitativa y por alcance de tipo explicativa.

3.2. Ámbito temporal y espacial

La estructura hospitalaria evaluada en esta investigación está proyectada en un terreno propiedad de EsSalud, ubicada en el sector Pampa Inalámbrica de la ciudad de Ilo, provincia de Ilo, departamento de Moquegua, y se ha desarrollado para el año 2025.

Figura 15 *Mapa de ubicación de la edificación hospitalaria proyectada*

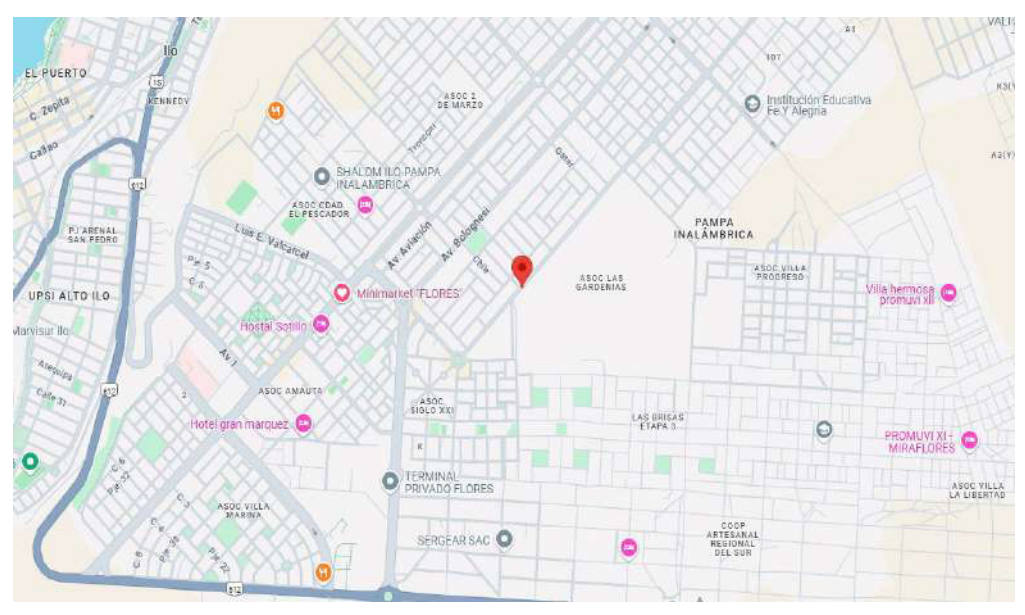


Figura 16Fotografía in situ del terreno propiedad de EsSalud



3.3. Variables

3.3.1 Variable independiente

Tres sistemas de aislamiento sísmico

3.3.2 Variable dependiente

Respuesta estructural de una edificación hospitalaria.

3.4. Población y muestra

3.4.1 Población

Las conclusiones más destacables de una investigación se derivan de la población, que es un conjunto de elementos con objetivos compartidos (Cabezas et al., 2018).

La población la conforma un hospital materno infantil proyectado, sísmicamente aislado. Esta población fue elegida debido a que a la fecha del desarrollo de esta investigación no existen edificaciones hospitalarias con aislamiento sísmico en la ciudad de Ilo.

3.4.2 Muestra

La muestra es una parte del universo total de una población la cual permitirá dar a conocer datos específicos de la misma (Cabezas et al., 2018).

Para esta investigación se utilizó el tipo de muestra no probabilística o dirigida, en el cual las muestras se eligen según las características de la investigación, sin la necesidad de ser estadísticamente representativas de una población (Hernández et al., 2014).

De la población previamente definida se ha seleccionado la muestra, que la conforma el hospital materno infantil proyectado, sísmicamente aislado con tres sistemas de aislamiento: LRB + SL, LRB + HDR + SL y TFP. Esta es una edificación de 5 niveles y 1188.25 m² de área en planta, con una estructura de concreto armado constituido por un sistema aporticado en ambas direcciones, y losas macizas que conforman las losas de entrepiso y la losa del sistema de aislamiento.

3.5. Instrumentos

Para esta investigación se utilizó la técnica de observación directa, en la cual el investigador se pone personalmente en contacto con el fenómeno que está investigando (Cabezas et al., 2018).

El instrumento utilizado será la ficha técnica, en la que se registrarán los resultados obtenidos según los indicadores de la variable dependiente, los cuales son: derivas de entrepiso, aceleraciones de piso, desplazamiento máximo del sistema de aislamiento, fuerza cortante en la base de la superestructura aislada y fuerza cortante en el sistema de aislamiento sísmico, que deberán ser válidos y confiables.

- Ficha N°1: Corresponde al indicador derivas de entrepiso (véase Anexo E).
- Ficha N°2: Corresponde al indicador aceleraciones de piso (véase Anexo E).
- Ficha N°3: Corresponde al indicador desplazamiento total máximo del sistema de aislamiento (véase Anexo E).
- Ficha N°4: Corresponde al indicador fuerza cortante en la base de la superestructura aislada (véase Anexo E).
- Ficha N°5: Corresponde al indicador fuerza cortante en el sistema de aislamiento (véase Anexo E).

La validez indica el grado en el que un instrumento mide realmente la variable que pretende medir (Hernández et al., 2014), se estimará mediante el uso del juicio de expertos, que consiste en la opinión de personas con trayectoria y experiencia en el tema de estudio, que pueden dar juicios y valoraciones sobre este (Escobar y Cuervo, 2008).

- Experto N°1: Deberá indicar el nombre, código CIP y la calificación en la ficha correspondiente (véase Anexo E).
- Experto N°2: Deberá indicar el nombre, código CIP y la calificación en la ficha correspondiente (véase Anexo E).

- Experto N°3: Deberá indicar el nombre, código CIP y la calificación en la ficha correspondiente (véase Anexo E).

El grado en que los resultados hallados son similares y coherentes cuando se aplican repetidamente al mismo tema de investigación se conoce como fiabilidad de los resultados (Hernández et al., 2014), que se conseguirá mediante el uso de softwares con licencia, educativos o de uso libre (véase Anexo F).

3.6. Procedimientos

El procedimiento para el diseño de sistemas de aislamiento es iterativo, presentando varias etapas. En la etapa 1 se obtuvo el diseño arquitectónico de la edificación hospitalaria; en la etapa 2 se realizó el diseño preliminar de los sistemas de aislamiento, usando análisis estático y considerando propiedades nominales; en la etapa 3 se realizó el análisis dinámico modal espectral, considerando propiedades de límite inferior y límite superior; en la etapa 4 se realizó el ANLTH, considerando propiedades nominales, de límite superior e inferior, donde se verificaron las respuestas estructurales de la edificación. El procedimiento realizado se muestra mediante los siguientes diagramas de flujo.

Figura 17Diagrama de flujo, etapa 1 a 2



Figura 18Diagrama de flujo, etapa 2 a 3

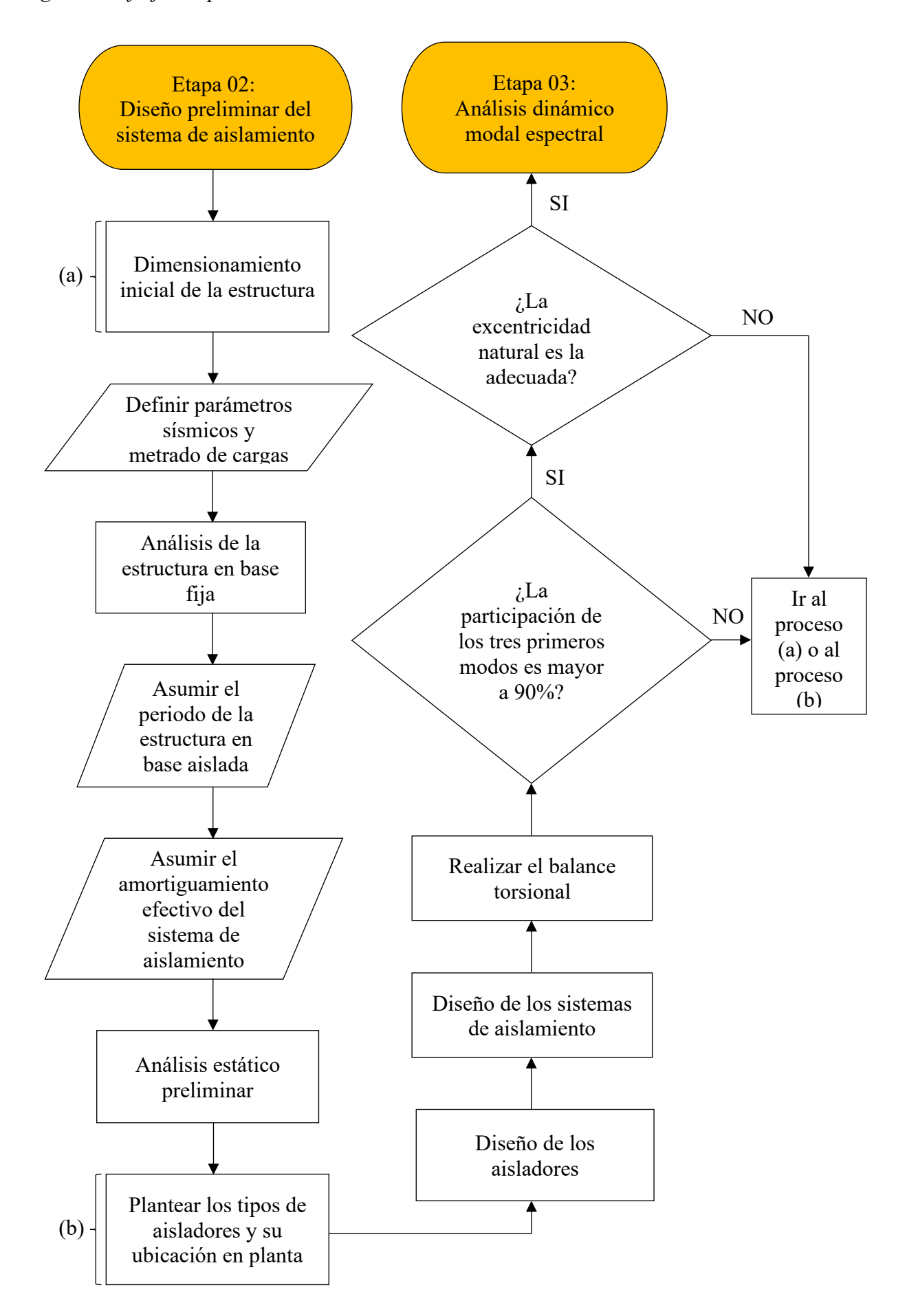


Figura 19Diagrama de flujo, etapa 3 a 4

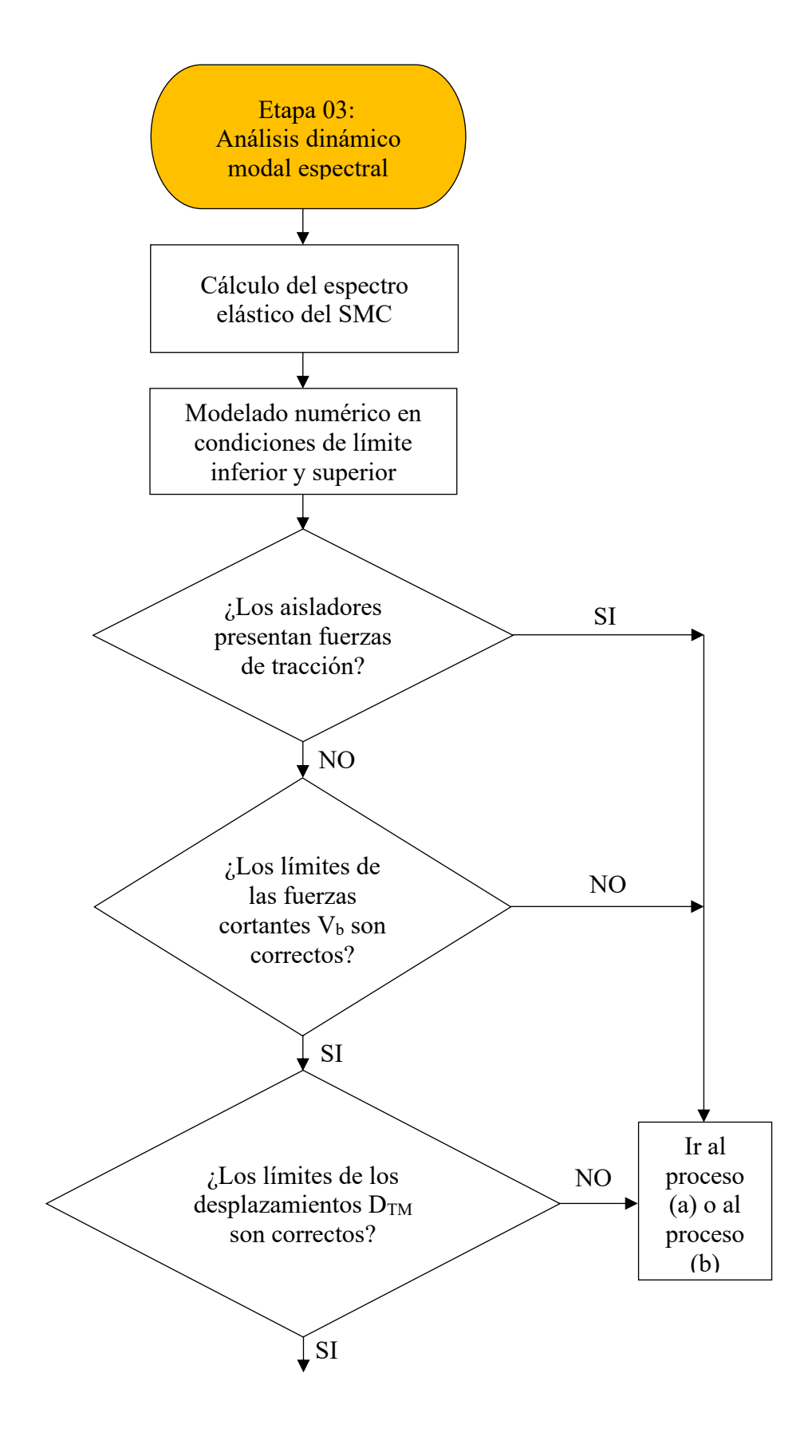
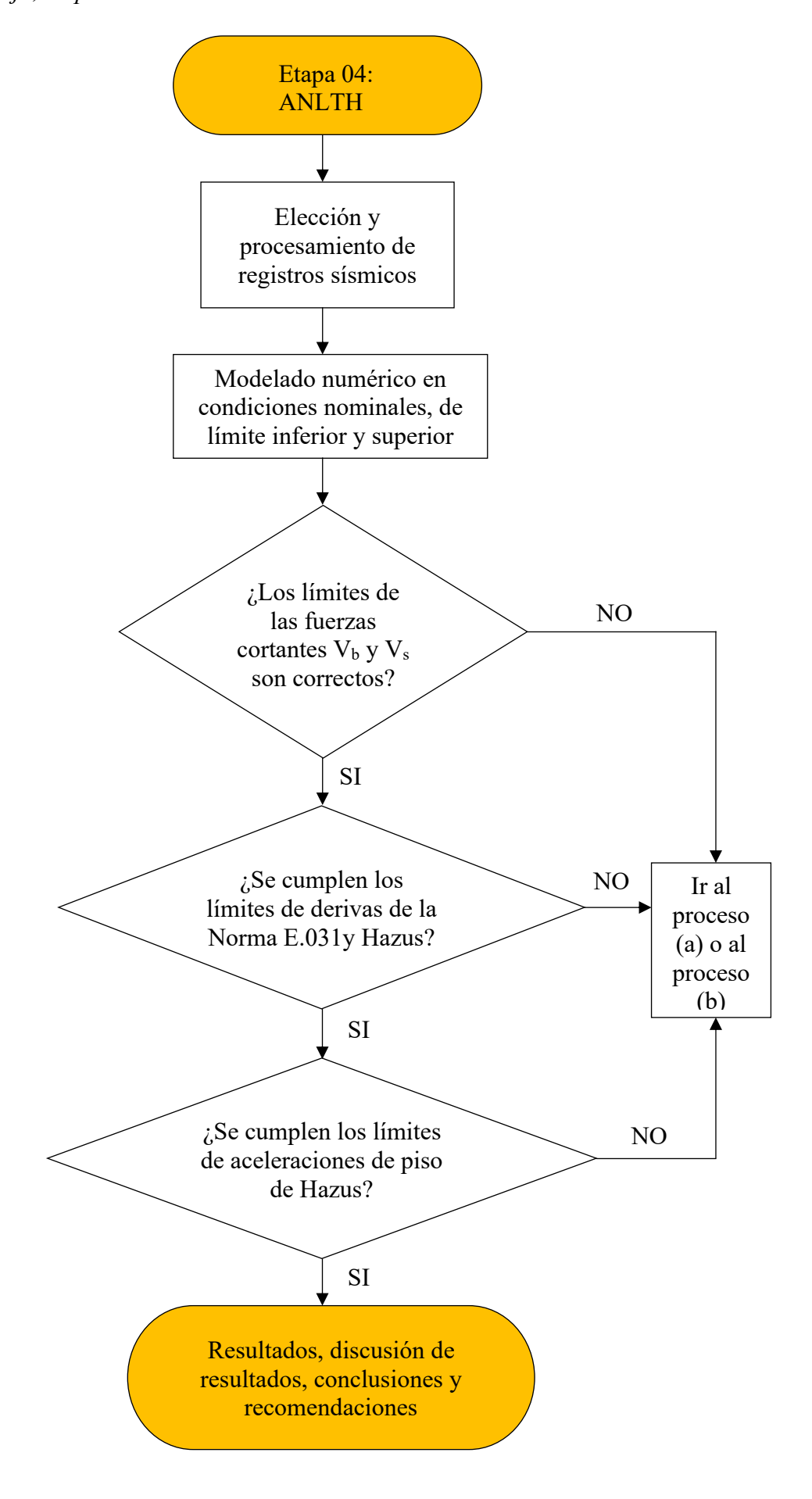


Figura 20Diagrama de flujo, etapa 4



Etapa 01: Arquitectura del proyecto

3.6.1.1. Distribución arquitectónica del proyecto. La arquitectura de la edificación hospitalaria evaluada en esta tesis fue realizada por un profesional capacitado y habilitado por el Colegio de Arquitectos del Perú (véase Anexo G), con el objetivo de cumplir los requerimientos arquitectónicos propios de este tipo de edificación.

Figura 21 *Elevación frontal del hospital materno infantil*

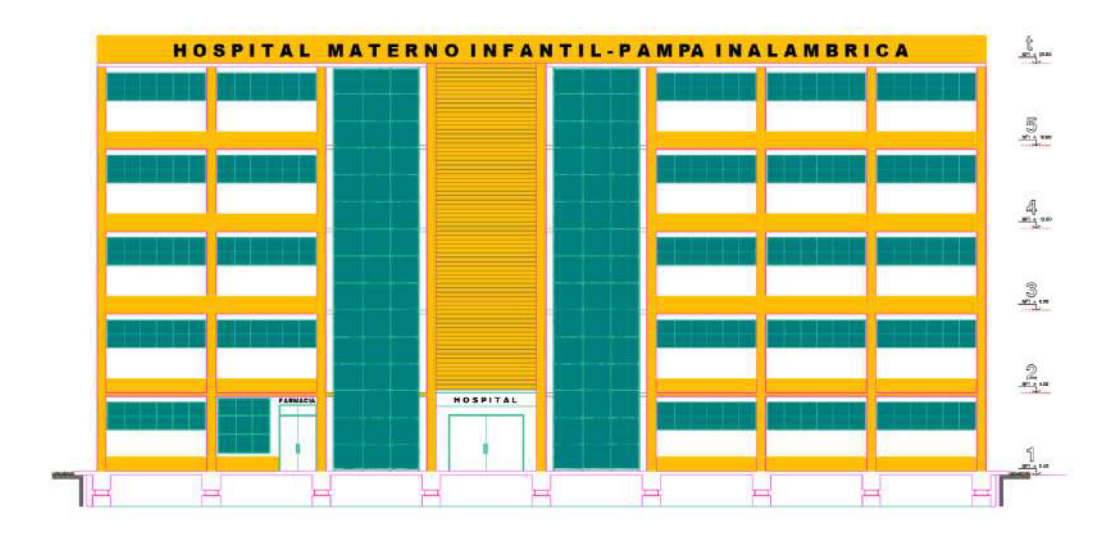


Figura 22 *Planta del primer nivel de la edificación*

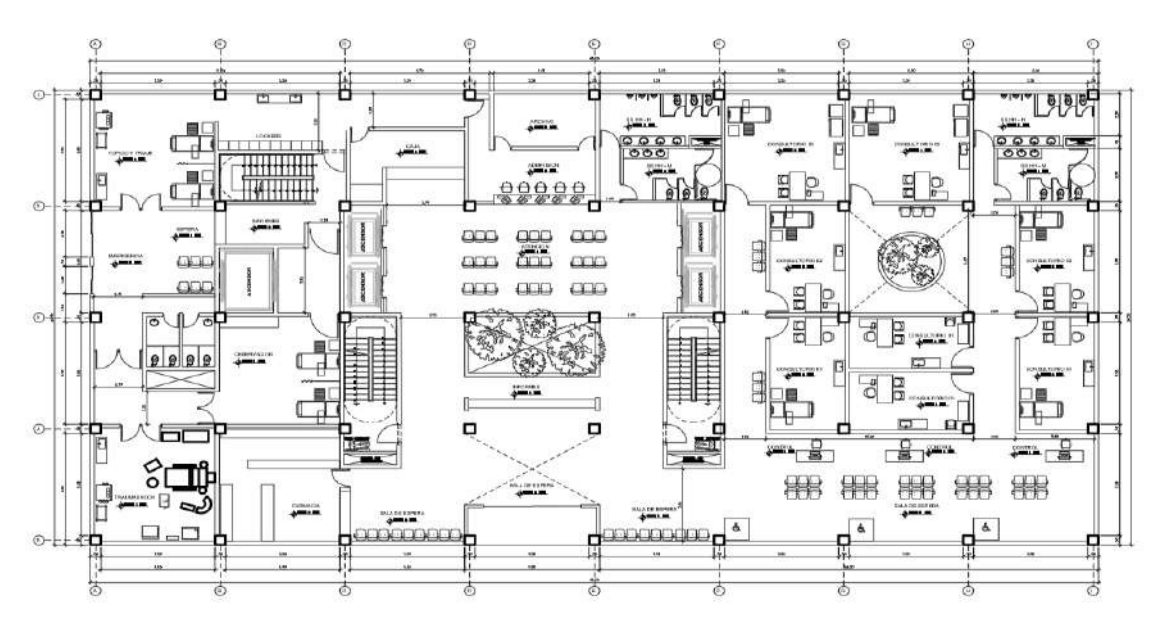


Figura 23 *Planta del segundo nivel de la edificación*

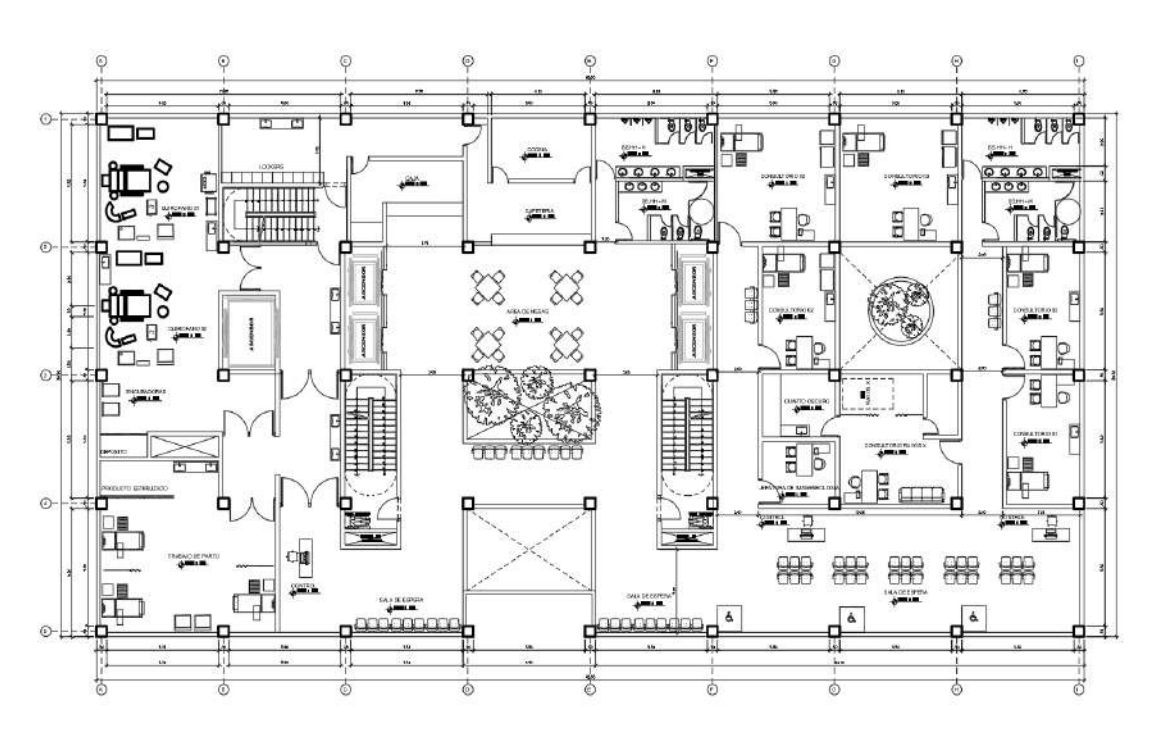


Figura 24 *Planta del tercer nivel de la edificación*

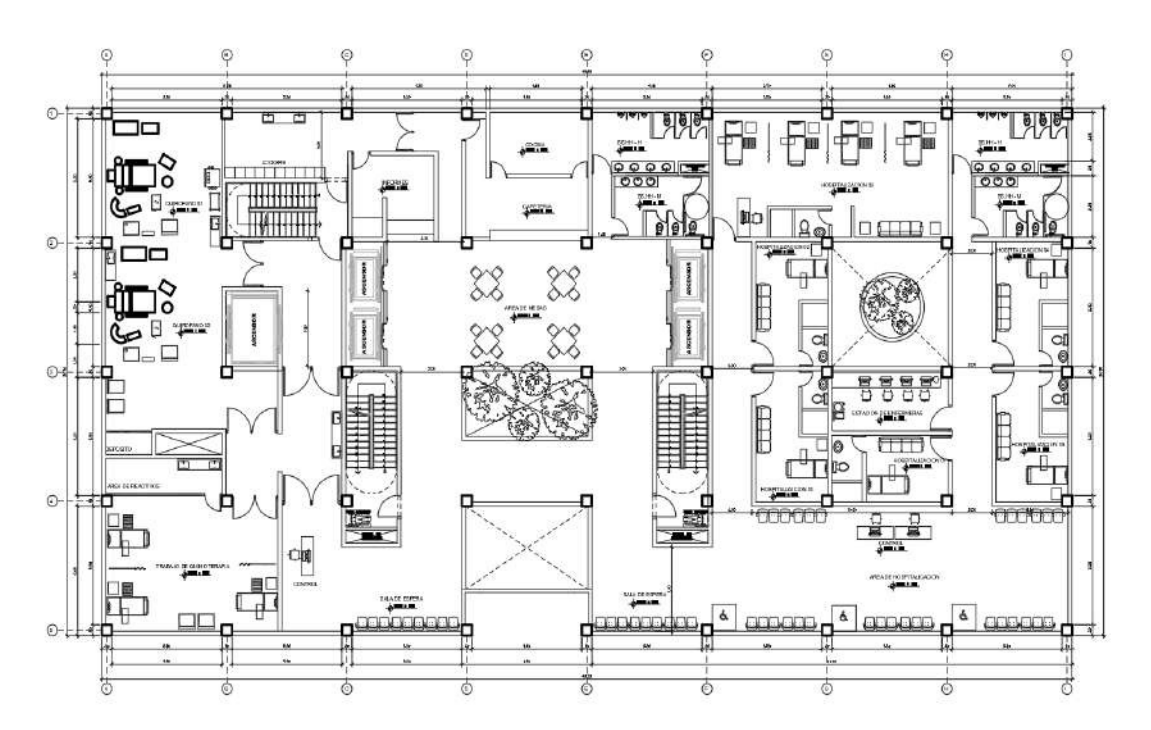
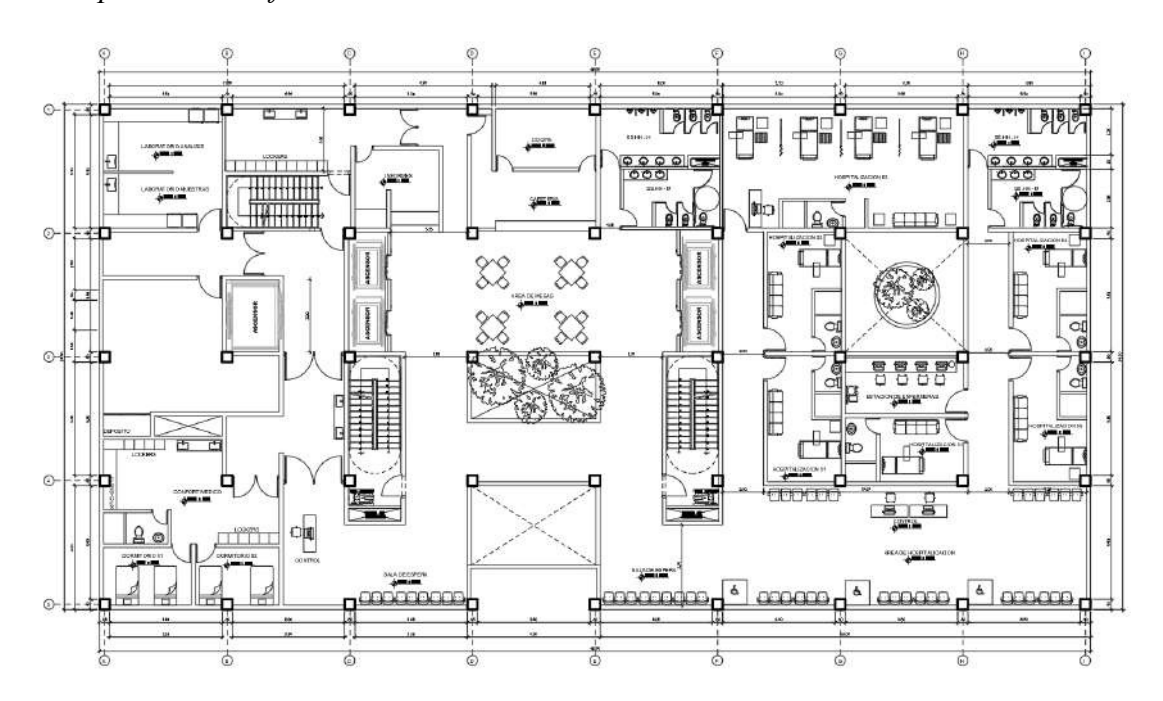


Figura 25

Planta típica de la edificación



El hospital materno infantil usado en el presente estudio contó con 5 niveles, cada uno con una altura típica de 4.00 m, una planta de forma rectangular con un área de 1188.25 m² con dimensiones de 48.50 m y 24.50 m en cada lado, y luces de aproximadamente 6.00 m entre los pórticos.

Etapa 02: Diseño preliminar del sistema de aislamiento

3.6.2.1. Dimensionamiento inicial de la estructura. La superestructura presentó una configuración regular, compuesta por concreto armado con una resistencia de f'c=280 kgf/cm², conformada por pórticos en ambas direcciones y losas macizas en todos los niveles incluyendo el sistema de aislamiento, con un ratio de esbeltez (razón ente la altura de la edificación y un lado del área en planta) de 0.82.

A. Losa maciza. Tanto el sistema de techado como el sistema de aislamiento estuvieron conformados por losas macizas en dos direcciones. Blanco (1994) menciona que este tipo de elementos estructurales presentan una buena resistencia, rigidez, aislamiento acústico y control

de vibraciones. Por otro lado, este autor indica también que el espesor de una loza maciza podría ser de 0.20 m para luces menores a 6.50 m, o siguiendo las siguientes formulas:

$$h = \frac{Perimetro}{180} = \frac{6 \times 4}{180} = 0.133 \, m$$
$$h = \frac{Luz}{40} = \frac{6}{40} = 0.150 \, m$$

De estos resultados, inicialmente se optó por un espesor de losa maciza de 0.20 m, sin embargo, a lo largo de la investigación se determinó que el espesor más adecuado era de 0.25 m, aplicándose tanto a las losas de techo como a la losa del sistema de aislamiento.

B. Vigas de la superestructura. Las vigas ubicadas sobre el sistema de aislamiento fueron predimensionadas tal como lo indicó Blanco (1994), por lo que se consideró un espesor de 0.30 m y un peralte definido por la siguiente fórmula:

$$h = \frac{Luz}{10} = \frac{6}{10} = 0.60 \ m$$

De estos resultados, inicialmente se optó por vigas con dimensiones de 0.30 x 0.60 m² de sección transversal, sin embargo, a lo largo de la investigación se determinó que las vigas ubicadas en las esquinas de la edificación tendrían dimensiones de 0.30 x 0.70 m² con el objetivo de disminuir efectos de levantamiento local por fuerzas de tracción en los dispositivos de aislamiento, mientras que el resto de vigas tendrían dimensiones de 0.30 x 0.80 m².

C. Columnas de la superestructura. El predimensionado de columnas fue realizado según lo indicado por Blanco (1994), donde:

La carga de servicio ($P_{servicio}$) se determinó mediante la siguiente ecuación:

$$P_{servicio} = P_{sísmico} x A_{tributaria} x N_{pisos}$$

$$P_{servicio} = 1.05 \frac{tonf}{m^2} x (6x6 m^2) x 5 = 189 tonf$$

Por lo cual se obtuvo:

Área de la columna =
$$\frac{P_{servicio}}{0.35f'_c} = \frac{189 \ tonf}{0.35 \ x \ 2800 \ \frac{tonf}{m^2}} = 0.193 \ m^2$$

Por lo que el lado de una columna de sección cuadrada se calculó como:

Lado de columna =
$$\sqrt{0.193 \ m^2} = 0.44 \ m \approx 0.50 \ m$$

De estos resultados, inicialmente se optó por columnas con dimensiones de 0.50×0.50 m² de sección transversal, sin embargo, a lo largo de la investigación se determinó que las dimensiones de 0.80×0.80 m² eran las más adecuadas.

D. Vigas del sistema de aislamiento. Estas vigas están sometidas a mayores demandas por momentos de segundo orden (efecto P- Δ), motivo por el cual fueron consideradas dimensiones mayores respecto a las otras vigas, optándose inicialmente por dimensiones de 0.40 x 0.70 m² de sección transversal, sin embargo, a lo largo de la investigación se determinó que las dimensiones de 0.40 x 0.90 m² eran las más adecuadas.

3.6.2.2. Definición de los parámetros sísmicos. Los factores Z, S y U se definieron conforme a la Norma E.030 (MVCS, 2020b). La edificación al estar ubicada en la ciudad de Ilo, en Moquegua, le correspondió el factor de zona Z₄=0.45. Por otro lado, se consideró un suelo rígido, tomando como referencia la investigación de Aguilar (2020), realizada en inmediaciones cercanas a la ubicación de la edificación hospitalaria proyectada en esta investigación, por lo cual el factor de suelo fue de S₁=1.00. El factor de uso correspondiente fue de U=1.00. El coeficiente de reducción de fuerzas sísmicas indicado en la Norma E.031 del (MVCS, 2020) fue de R_a=1.00, considerado así al tratarse de una edificación esencial.

3.6.2.3. Cálculo del metrado de cargas. La Norma E.020 (Ministerio de Vivienda, Construcción y Saneamiento [MVCS], 2020) indica los valores mínimos de cargas vivas que actúan sobre la edificación. Las cargas muertas se obtuvieron de metrados.

Tabla 10

Cargas vivas repartidas

Sobrecarga	Cargas
Sala de operaciones, laboratorios y zonas de servicio	300 kgf/m^2
Corredores	400 kgf/m^2
Escaleras	400 kgf/m^2
Azotea	100 kgf/m^2

Tabla 11

Cargas muertas repartidas

Peso propio	Cargas
Piso terminado	100 kgf/m ²
Tuberías contra incendio, ductos de ventilación y falso techo	50 kgf/m^2
Ascensores	300 kgf/m^2
Tabiquería	150 kgf/m^2

3.6.2.4. Análisis de la estructura en base fija. El modelamiento numérico fue realizado en ETABS versión 22.5.0. Las vigas y columnas fueron modeladas como elementos tipo frame, por otro lado, las losas macizas fueron modeladas como elementos tipo shell-thin.

Se asignaron brazos rígidos en los elementos tipo frame mediante la opción end lengh offsets, y en los extremos de las vigas donde no se pudo anclar correctamente el acero de refuerzo se usó la opción releases.

Las losas fueron consideradas como diafragmas rígidos en todos los niveles y les fueron asignadas las cargas muertas y vivas correspondientes.

Figura 26 *Modelo numérico de la estructura en base fija*

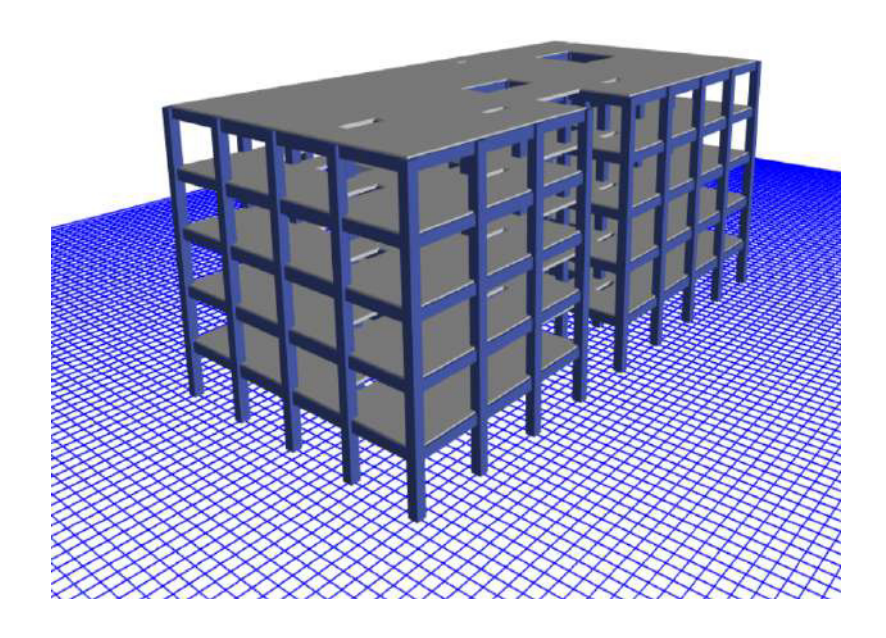


Tabla 12Participación modal de masas en la estructura de base fija

Modo	Periodo (seg)	UX	UY	RZ	Sum UX	Sum UY	Sum RZ
1	0.55	24.03%	43.29%	14.51%	24.03%	43.29%	14.51%
2	0.54	51.37%	30.41%	0.10%	75.40%	73.70%	14.60%
3	0.52	6.57%	8.03%	67.13%	81.97%	81.73%	81.73%
4	0.17	1.07%	9.43%	0.32%	83.04%	91.16%	82.05%
5	0.17	9.25%	1.25%	0.22%	92.30%	92.41%	82.27%
6	0.16	0.37%	0.14%	10.30%	92.66%	92.55%	92.57%
7	0.09	0.08%	4.32%	0.00%	92.74%	96.87%	92.57%
8	0.09	4.24%	0.08%	0.03%	96.98%	96.95%	92.60%
9	0.09	0.03%	0.00%	4.39%	97.01%	96.96%	96.99%
10	0.08	0.00%	0.00%	0.00%	97.01%	96.96%	96.99%
11	0.08	0.00%	0.00%	0.00%	97.01%	96.96%	96.99%
12	0.08	0.00%	0.00%	0.00%	97.01%	96.96%	96.99%
13	0.08	0.00%	0.00%	0.00%	97.01%	96.96%	96.99%
14	0.07	0.00%	0.00%	0.00%	97.01%	96.96%	96.99%
15	0.07	0.00%	0.00%	0.00%	97.01%	96.96%	96.99%

En la tabla 12 se observa que el primer modo es el que tiene el mayor periodo con 0.55 segundos, siendo este el periodo fundamental, el segundo y tercer modo presentaron periodos de 0.54 y 0.52 segundos respectivamente. Sin embargo, es claro que la estructura presenta un problema de torsión, el cual fue corregido al utilizar sistemas de aislamiento sísmico.

$$T_{Base\ fija} = 0.55\ s$$

Se determinó un valor inicial del peso de la superestructura sin considerar el nivel de base (P_s). Este parámetro fue calculado directamente para la estructura en base fija.

$$P_s = 7553.97 tonf$$

Se determinó un valor inicial del peso de la superestructura considerando el nivel de base (P), adicionando a P_s el peso del primer nivel como una primera iteración de los cálculos.

$$P = 9124.49 \ tonf$$

3.6.2.5. Análisis estático preliminar. Se estimó el valor para el periodo de la estructura sísmicamente aislada, el cual fue como mínimo el triple del obtenido para la estructura en base fija.

$$T_{Base\ aislada} \ge 3\ T_{Base\ fija}$$

Con los parámetros previamente calculados se pudo determinar el valor preliminar de la rigidez efectiva del sistema de aislamiento (K_M) mediante la fórmula indicada en el artículo 20 de la Norma E.031 (MVCS, 2020):

$$T_{Base\ aislada} = T_M = 2\pi \sqrt{\frac{P}{K_M.g}}$$

$$g = 9.81 \text{ m/s}^2$$

Para obtener el valor de la rigidez efectiva preliminar de cada aislador ($K_{\rm eff}$) se dividió el valor de $K_{\rm M}$ entre el número de aisladores (45 dispositivos).

El desplazamiento traslacional (D_M) y el desplazamiento total máximo (D_{TM}) del sistema de aislamiento se determinaron mediante las fórmulas indicadas en el artículo 20 de la Norma E.031 (MVCS, 2020):

$$D_M = \frac{S_{aM} T_M^2}{4\pi^2 B_M}$$

$$D_{TM} = D_M \left[1 + \left(\frac{y}{P_T^2} \right) \left(\frac{12e}{b^2 + d^2} \right) \right]$$

Donde el factor de amortiguamiento B_M depende directamente del amortiguamiento efectivo del sistema de aislamiento (β_M), el cual es un parámetro que se fue iterando hasta encontrar los resultados más óptimos.

 Tabla 13

 Parámetros preliminares del análisis estático

Da.,	Sis	Sistema de aislamiento			
Parámetro	LRB+SL	LRB+HDR+SL	TFP	- Unidad	
Periodo en base fija (T _{Base fija})	0.55	0.55	0.55	S	
Periodo en base aislada (T _{Base aislada})	3.18	3.26	3.16	S	
Peso de la estructura considerando el	0104.40	0124.40	0104.40		
nivel de base (P)	9124.49	9124.49	9124.49	tonf	
Peso de la estructura sin considerar el	7552.07	7552.07	7552.07		
nivel de base (Ps)	7553.97	7553.97	7553.97	tonf	
Rigidez efectiva del sistema de	2622.21	2452.06	2672.71		
aislamiento (K _M)	3622.31	3453.86	3672.71	tonf/m	
Rigidez efectiva de cada aislador (K _{eff})	80.5	76.75	81.62	tonf/m	
Desplazamiento traslacional (D _M)	0.272	0.267	0.269	m	
Desplazamiento total máximo (D _{TM})	0.327	0.321	0.323	m	

3.6.2.6. Procedimientos para el diseño de los aisladores. El diseño de los dispositivos de aislamiento consistió de un procedimiento iterativo, en el cual se probaron aisladores de diferentes dimensiones y propiedades mecánicas hasta obtener el resultado más óptimo.

A. Procedimiento para el diseño de aislador LRB. La rigidez efectiva de un LRB fue determinada mediante lo indicado en Bridgestone (2022).

$$K_{eff} = \frac{Q}{\gamma . H} + K_2$$

Donde:

- Q: Fuerza característica o de activación.
- K₂: Rigidez post-fluencia.
- γ: Deformación por corte.
- H: Altura total de la goma.

La deformación por corte (γ) se calculó mediante la siguiente fórmula:

$$\gamma = D_M/H$$

Donde:

- D_M: Desplazamiento traslacional.

La fuerza característica o de activación (Q) se calculó mediante la siguiente fórmula:

$$Q = C_{Qd}.\sigma_{pb}.A_p$$

Donde:

- C_{Qd}: Factor de corrección de resistencia característica debido a la dependencia de la deformación.
- σ_{pb} : Esfuerzo de corte en fluencia del plomo.
- A_p: Área efectiva del núcleo del plomo.

El factor de corrección de resistencia característica debido a la dependencia de la deformación (C_{Qd}) se calculó mediante la siguiente fórmula:

$$C_{Qd} \begin{cases} 2.036 \gamma^{0.41} [\gamma \le 0.1] \\ 1.106 \gamma^{0.145} [0.1 < \gamma < 0.5] \\ 1 [0.5 \le \gamma] \end{cases}$$

La rigidez post-fluencia (K₂) se calculó mediante la siguiente fórmula:

$$K_2 = C_{Kd}.(K_r + K_p)$$

Donde:

- C_{Kd}: Factor de corrección de la rigidez post-fluencia debido a la dependencia de la deformación.
- K_r: Rigidez al corte de la goma laminada.
- K_p: Rigidez adicional al corte debido al plomo.

El factor de corrección de la rigidez post-fluencia debido a la dependencia de la deformación (C_{Kd}) se calculó mediante la siguiente fórmula:

$$C_{Kd} \begin{cases} 0.779 \gamma^{-0.43} [\gamma < 0.25] \\ \gamma^{-0.25} [0.25 \le \gamma < 1.0] \\ \gamma^{-0.12} [1.0 \le \gamma < 2.5] \end{cases}$$

La rigidez al corte de la goma laminada (K_r) se calculó mediante la siguiente fórmula:

$$K_r = G_r . A_r / H$$

Donde:

- G_r: Módulo de corte de la goma.
- A_r: Área efectiva en el plano del aislador.

La rigidez adicional al corte debido al plomo (K_p) se calculó mediante la siguiente fórmula:

$$K_p = \alpha_p . A_p / H$$

Donde:

- α_p: Módulo de corte aparente del plomo.
- A_p: Área efectiva del núcleo de plomo.

El amortiguamiento efectivo del dispositivo LRB (β_{LRB}) se calculó mediante la siguiente fórmula:

$$\beta_{LRB} = \frac{2}{\pi} \cdot \frac{Q\left\{\gamma \cdot H - \frac{Q}{(\varepsilon - 1)K_2}\right\}}{K_{eff}(\gamma \cdot H)^2}$$

Donde:

E: Ratio entre rigidez inicial y rigidez post-fluencia.

La rigidez elástica (K₁) se calculó mediante la siguiente fórmula:

$$K_1 = \varepsilon K_2$$

Para el caso de las propiedades de compresión del dispositivo LRB, Bridgestone (2022) indica que la rigidez a la compresión (K_v) se puede calcular mediante la siguiente fórmula:

$$K_v = \alpha_v. E_c. \frac{A}{H}$$

Donde:

- α_v: Factor de corrección al módulo de Young.
- E_c: Módulo de compresión efectiva de la goma.
- A: Área plana de la goma laminada.

El área plana de la goma laminada (A) se calculó mediante la siguiente fórmula:

$$A = A_r + A_p$$

El módulo de compresión efectiva de la goma (E_c) se calculó mediante la siguiente fórmula:

$$E_c = \frac{E(1 + 2kS_1^2)}{\frac{1 + E(1 + 2kS_1^2)}{E_{cc}}}$$

Donde:

E: Módulo de Young de la goma.

– E_∞: Módulo volumétrico de la goma.

k: Factor de corrección del módulo de Young aparente según la dureza.

- S₁: Primer factor de forma.

El primer factor de forma (S₁) se calculó mediante la siguiente fórmula:

$$S_1 = \frac{D_0}{4t_r}$$

Donde:

D₀: Diámetro del aislador LRB.

- t_r: Espesor de una capa de goma.

Adicionalmente se usaron las fórmulas obtenidas del modelo bilineal de aisladores elastoméricos indicadas en 2.2.1.

$$D_y = \frac{Q}{K_1 - K_2}$$

$$F_y = Q + K_2 D_y$$

$$F_M = Q + K_2 D_M$$

$$E_d = 4Q(D_M - D_y)$$

$$E_S = 0.5K_{eff}D_M^2$$

La fuerza de restitución (F_R) del dispositivo LRB se calculó según la siguiente fórmula:

$$F_R = F_{M(D_M)} - F_{M(0.5D_M)}$$

Donde:

- F_{M(DM)}: Fuerza al 100% del desplazamiento traslacional.

- F_{M(0.5DM)}: Fuerza al 50% del desplazamiento traslacional.

La fuerza al 50% del desplazamiento traslacional $(F_{M(0.5DM)})$ se calculó según la geometría del modelo bilineal para aisladores elastoméricos con la siguiente fórmula:

$$F_{M(0.5D_M)} = F_{\nu} + K_2(0.5D_M - D_{\nu})$$

La Norma E.031 (MVCS, 2020c, p. 15) indica en el artículo 9 que la fuerza de restitución debe ser por lo menos 2.5% veces el peso de la estructura considerando el nivel de base.

$$F_R \ge 2.5\%P$$

Se determinó el área reducida (A_R) del aislador LRB mediante la fórmula indicada en el anexo II de la Norma E.031 (MVCS, 2020c, p. 45).

$$A_{R} = \frac{2A\left[D_{0}^{2}Sen^{-1}\left(\frac{\sqrt{D_{0}^{2} - D_{TM}^{2}}}{D_{0}}\right) - D_{TM}\sqrt{D_{0}^{2} - D_{TM}^{2}}\right]}{\pi D_{0}^{2}}$$

Se determinó la capacidad de carga de pandeo (P_{crítico}) del aislador LRB mediante la fórmula indicada en el anexo II de la Norma E.031 (MVCS, 2020c).

$$P_{crítico} = \frac{\pi}{\sqrt{8}} G_r S \frac{D_0}{H} A_R$$

Donde:

- G_r: Módulo de corte de la goma.

S: Factor de forma.

D₀: Diámetro del aislador LRB.

H: Altura total de la goma.

A_R: Área reducida.

El factor de forma (S) se calculó mediante la siguiente fórmula:

$$S = \frac{A_r}{\pi D_0 H}$$

Donde:

- A_r: Área efectiva en el plano del aislador.

A continuación, se muestra una serie de verificaciones indicadas en el anexo II de la Norma E.031 (MVCS, 2020) para dispositivos elastoméricos.

Se realizó la verificación del factor de seguridad para carga axial:

$$FS = 3 \le \frac{P_{crítico}}{P_{serv}}$$

Donde:

 P_{serv}: Carga sobre el dispositivo generada por la combinación de carga vertical promedio.

Se realizó la verificación del factor de seguridad para carga última:

$$FS = 1 \le \frac{P_{crítico}}{P_{\'ultimo}}$$

Donde:

 Púltimo: Carga sobre el dispositivo generada por la combinación de carga vertical máxima.

Se realizó la verificación por deformación por corte debido a la deformación mediante la siguiente fórmula:

$$\lambda_D = \frac{D_{TM}}{H} \le 2.5$$

Se realizó la verificación por deformación por corte debido a la compresión mediante la siguiente fórmula:

$$\lambda_C = \frac{6 \, P_{serv} \, S}{E_c \, A_R}$$

Se realizó la verificación por deformación por corte debido a la deformación angular mediante la siguiente fórmula:

$$\lambda_{\theta} = \frac{0.375 \, D_0^2 \, \theta}{t_r H}$$

Donde:

- D₀: Diámetro del aislador LRB.
- t_r: Espesor de una capa de goma.
- H: Altura total de la goma.
- Θ ≥ 0.003 en radianes.

Se realizó la verificación por deformación total por corte mediante la siguiente fórmula:

$$\lambda_D + \lambda_C + 0.5\lambda_{\Theta} \leq 6$$

B. Procedimiento para el diseño de aislador HDR. La rigidez efectiva de un HDR fue determinada mediante lo indicado en Bridgestone (2022).

$$K_{eff} = \frac{G_{eq}.A}{H}$$

Donde:

- G_{eq}: Módulo de corte equivalente de la goma.
- A: Área efectiva del plano del aislador.
- H: Altura total de la goma.

El catálogo de Bridgestone (2022) indica que el módulo de corte equivalente de la goma (G_{eq}) es un parámetro que depende del material. En esta investigación se utilizó el material denominado X0.4S, al cual le corresponde la siguiente fórmula:

$$G_{eq(\gamma)} = 0.054\gamma^4 - 0.416\gamma^3 + 1.192\gamma^2 - 1.583\gamma + 1.145$$

Donde:

- γ: Deformación por corte.

La deformación por corte (γ) se calculó mediante la siguiente fórmula:

$$\gamma = D_M/H$$

La rigidez post-fluencia (K₂) se calculó mediante la siguiente fórmula:

$$K_2 = K_{eff}(1 - u_{(\gamma)})$$

Donde:

 u_(γ): Función que proporciona la relación entre la resistencia característica y la fuerza cortante máxima en un ciclo histerético.

La función que proporciona la relación entre la resistencia característica y la fuerza cortante máxima de un ciclo histerético $(u_{(\gamma)})$ depende del material. En esta investigación se utilizó el material denominado X0.4S, al cual le corresponde la siguiente fórmula:

$$u_{(\gamma)} = -0.0132\gamma^3 + 0.0401\gamma^2 - 0.0190\gamma + 0.4001$$

La rigidez elástica (K₁) se calculó mediante la siguiente fórmula:

$$K_1 = 10K_2$$

La fuerza característica o de activación (Q) se calculó mediante la siguiente fórmula:

$$Q = u_{(\gamma)} K_{eff} H \gamma$$

El amortiguamiento efectivo del dispositivo HDR (β_{HDR}) depende del material. En esta investigación se utilizó el material denominado X0.4S, al cual le corresponde la siguiente fórmula:

$$\beta_{HDR} = -0.007\gamma^3 + 0.020\gamma^2 - 0.009\gamma + 0.236$$

Para el caso de las propiedades de compresión del dispositivo HDR, Bridgestone (2022) indica que la rigidez a la compresión (K_v) se puede calcular mediante la siguiente fórmula:

$$K_{v} = E_{C} \frac{A}{H}$$

- A: Área efectiva del plano del aislador.
- H: Altura total de la goma.
- E_c: Módulo de compresión efectiva de la goma.

El módulo de compresión efectiva de la goma (E_c) se calculó mediante la siguiente fórmula:

$$E_c = \frac{E(1 + 2kS_1^2)}{\frac{1 + E(1 + 2kS_1^2)}{E_{\infty}}}$$

Donde:

- E: Módulo de Young de la goma.
- E_{∞} : Módulo volumétrico de la goma.
- k: Factor de corrección del módulo de Young aparente según la dureza.
- S₁: Primer factor de forma.

El primer factor de forma (S₁) se calculó mediante la siguiente fórmula:

$$S_1 = \frac{D_0^2 - n_i D_i^2}{4t_r (D_0 + n_i D_i)}$$

Donde:

- D₀: Diámetro externo del dispositivo HDR.
- D_i: Diámetro interno del dispositivo HDR.
- n_i: Número de diámetro interior.
- t_r: Espesor de una capa de goma.

Adicionalmente se usaron las fórmulas obtenidas del modelo bilineal de aisladores elastoméricos indicadas en 2.2.1.

El cálculo de la fuerza de restitución (F_R) del dispositivo HDR se realizó siguiendo los mismos pasos que para el dispositivo LRB.

El cálculo del área reducida (A_R) del dispositivo HDR se realizó siguiendo los mismos pasos que para el dispositivo LRB.

El cálculo de la capacidad de carga de pandeo (P_{crítico}) del dispositivo HDR se realizó siguiendo los mismos pasos que para el dispositivo LRB.

Las verificaciones de los factores de seguridad para carga axial y carga última del dispositivo HDR se realizaron siguiendo los mismos pasos que para el dispositivo LRB.

Las verificaciones por deformación por corte debido a la deformación, compresión, deformación angular y total se realizaron siguiendo los mismos pasos que para el dispositivo LRB.

C. Procedimiento para el diseño de aislador SL. La rigidez efectiva de un SL se determinó mediante el modelo bilineal mostrado en 2.2.3.

$$K_{eff} = \frac{F_M}{D_M}$$

Donde:

- D_M: Desplazamiento máximo traslacional.
- F_M: Fuerza máxima.

La fuerza máxima (F_M) del dispositivo fue determinada mediante la siguiente fórmula:

$$F_M = \mu.P_{serv}$$

Donde:

- μ: Coeficiente de fricción.
- P_{serv}: Carga sobre el dispositivo generada por la combinación de carga vertical promedio.

Del modelo bilineal se consideró que la fuerza máxima (F_M), la fuerza de fluencia (Fy) y la fuerza característica o de activación (Q) son iguales.

$$F_M = F_v = Q$$

La energía disipada en un ciclo de histéresis (E_d) por el dispositivo SL se determinó mediante la siguiente fórmula:

$$E_d = 4F_M D_M$$

La energía de deformación máxima elástica (E_s) del dispositivo SL se determinó mediante la siguiente fórmula:

$$E_s = 0.5 F_M D_M$$

El amortiguamiento efectivo del dispositivo SL (β_{SL}) se determinó mediante la siguiente fórmula:

$$\beta_{SL} = \frac{E_d}{4\pi E_s}$$

La rigidez elástica (K₁) se calculó mediante la siguiente fórmula:

$$K_1 = \frac{F_M}{D_{\nu}}$$

Donde:

- D_y: Desplazamiento de fluencia.

Para determinar el diámetro del teflón (D) primero se determinó su área, para lo cual se usaron las siguientes fórmulas:

$$A_{Tefl\acute{o}n\,(1)} = \frac{P_{serv}}{\sigma_s}$$

$$A_{Tefl\'{o}n\ (2)} = \frac{P_{\'{u}ltimo}}{\sigma_u}$$

$$D = \sqrt{\frac{4A_{Tefl\'on}}{\pi}}$$

Donde:

- P_{serv}: Carga sobre el dispositivo generada por la combinación de carga vertical promedio.
- Púltimo: Carga sobre el dispositivo generada por la combinación de carga vertical máxima.
- σ_s: Esfuerzo axil permisible en servicio en el teflón.
- σ_u: Esfuerzo axil permisible en combinación con en el teflón.

El diámetro total de la placa deslizante (D_T) se determinó adicionando una covertura al diámetro del teflón:

$$D_T = D + Covertura$$

La rigidez a la compresión (K_v) se determinó mediante la siguiente fórmula:

$$K_{v} = \frac{E_{\infty}\pi D_{T}^{2}}{12t_{r}}$$

Donde:

- E_{∞} : Módulo volumétrico de la goma.
- t_r: Espesor del teflón.
- D_T: Diámetro total de la placa deslizante.

D. Procedimiento para el diseño de aislador TFP. Los cálculos iniciaron con las ecuaciones indicadas por McVitty y Constantinou (2015) en 2.2.4:

$$R_1 = R_4 \gg R_2 = R_3$$

 $\mu_2 = \mu_3 < \mu_1 = \mu_4$
 $d_1 = d_4 y d_2 = d_3$
 $h_1 = h_4 y h_2 = h_3$
 $R_{i,eff} = R_i - h_i$
 $d_i^* = \frac{R_{i,eff}}{R_i} d_i$

Se planteó un predimensionamiento para los radios efectivos ($R_{\rm eff}$) de los platos internos y externos:

$$R_{eff 1} = R_{eff 4} = 10D_M$$

$$R_{eff\ 2} = R_{eff\ 3} = \frac{R_{eff\ 1}}{8}$$

Se determinó la fuerza de fricción (F_f) en los platos internos y externos:

$$F_{f1} = F_{f4} = \mu_1 P_{serv}$$

$$F_{f2} = F_{f3} = \mu_2 P_{serv}$$

Se determinaron los desplazamientos en los platos internos y externos según lo indicado en Constantinou et al. (2011).

$$d_1^* = d_4^* < \frac{D_M}{2} - \left[(\mu_4 - \mu_3) R_{eff 3} \right]$$
$$d_2^* = d_3^* > (\mu_1 - \mu_2) R_{eff 2}$$

Se calculó el diámetro de la articulación deslizante rígida (D_R) por geometría:

$$D_R > \sqrt{\frac{4P_{serv}}{\pi\sigma_{m\acute{a}x}}}$$

Donde:

- $\sigma_{máx}$: Esfuerzo máximo a compresión del deslizador rígido.

La distancia vertical entre el punto pivote central y el centro de cada plato interno (h₂ y h₃) sumadas, debe ser como máximo el diámetro de la articulación deslizante rígida (D_R) para mantener la estabilidad del dispositivo.

$$h_2 + h_3 < D_R$$

La distancia vertical entre el punto pivote central y el centro de cada plato externo (h₁ y h₄) sumadas, se calculó como:

$$h_1 + h_4 = h_2 + h_3 + 2e_{platos\ internos}$$

Donde:

- e_{platos internos}: Espesor de los platos internos.

La rigidez vertical del dispositivo TFP (K_v) se calculó con la siguiente fórmula:

$$K_{v} = \frac{E.A_{R}}{h_{R}}$$

Donde:

- E: Módulo de elasticidad del acero.
- A_R: Área transversal del deslizador rígido.
- h_R: Altura del deslizador rígido (h₂+h₃).

Se determinaron los parámetros correspondientes a la fase 1.

Leiva y Aguiar (2018) mencionan que el desplazamiento máximo (D_{u1}) y la fuerza máxima (F_{M1}) en la fase 01 se pueden determinar con las siguientes fórmulas:

$$D_{u1} = (\mu_1 - \mu_2) R_{eff\ 2}$$

$$F_{M1} = \frac{P_{serv}.D_{u1}}{2R_{eff2}} + F_{f2}$$

Constantinou et al. (2011) mencionan que la fuerza característica o de activación (Q₁) de la fase 01 se puede determinar mediante la siguiente fórmula:

$$Q_1 = P_{serv} \cdot \mu_2$$

Por geometría del diagrama de histéresis se determinaron las siguientes fórmulas:

$$K_{eff 1} = \frac{F_{M1}}{D_{u1}}$$

$$E_{d1} = 4Q_1D_{u1}$$

$$E_{s1} = 0.5 D_{u1} F_{M1}$$

$$\beta_1 = \frac{E_{d1}}{4\pi E_{s1}}$$

Donde:

- K_{eff 1}: Rigidez efectiva del dispositivo TFP en la fase 1.
- Ed1: Energía disipada en un ciclo de histéresis del dispositivo TFP en la fase 1.
- E_{s1}: Energía de deformación máxima elástica del dispositivo TFP en la fase 1.
- β₁: Amortiguamiento efectivo del dispositivo TFP en la fase 1.

Se determinaron los parámetros correspondientes a la fase 2.

McVitty y Constantinou (2015) mencionan que el desplazamiento máximo (D_{u2}), la fuerza máxima (F_{M2}) la fuerza característica o de activación (Q_2) en la fase 02 se pueden determinar con las siguientes fórmulas:

$$D_{u2} = D_{u1} + 2d_1^*$$

$$\begin{split} F_{M2} &= \left(\frac{P_{serv}}{2R_{eff\,1}}\right) (D_{u2} - D_{u1}) + \mu_1 P_{serv} \\ Q_2 &= \left(\frac{P_{serv}}{R_{eff\,1} + R_{eff\,2}}\right) \left[\mu_1 \left(R_{eff\,1} - R_{eff\,2}\right) + 2\mu_2 R_{eff\,2}\right] \end{split}$$

La rigidez efectiva del dispositivo TFP en la fase 2 ($K_{\rm eff\,2}$) se calculó por geometría con la siguiente fórmula:

$$K_{eff\,2} = \frac{F_{M2}}{D_{u2}}$$

Leiva y Aguiar (2018) mencionan la que energía disipada en un ciclo de histéresis del dispositivo TFP en la fase 2 (E_{d2}) se puede calcular mediante la siguiente fórmula:

$$E_{d2} = 4(D_{u1}\mu_2 P_{serv} - D_{u1}F_{M2} + D_{u2}\mu_1 P_{serv})$$

La energía de deformación máxima elástica del dispositivo TFP en la fase 2 $(E_{\rm s2})$ se calculó por geometría del diagrama de histéresis con la siguiente fórmula:

$$E_{s2} = 0.5 D_{u2} F_{M2}$$

El amortiguamiento efectivo del dispositivo TFP en la fase 2 (β₂) se calculó con la siguiente fórmula:

$$\beta_2 = \frac{E_{d2}}{4\pi E_{s2}}$$

Se determinaron los parámetros correspondientes a la fase 3.

McVitty y Constantinou (2015) mencionan que el desplazamiento máximo (D_{u3}), la fuerza máxima (F_{M3}) la fuerza característica o de activación (Q_3) en la fase 03 se pueden determinar con las siguientes fórmulas:

$$\begin{split} D_{u3} &= 2d_1^* + 2d_2^* \\ F_{M3} &= \left[\frac{P_{serv}(D_{u3} - D_{u2})}{2R_{eff\,2}}\right] + \left[\frac{P_{serv}(D_{u2} - D_{u1})}{2R_{eff\,1}}\right] + P_{serv}\mu_1 \\ Q_3 &= P_{serv}\left[\mu_1 + (\mu_2 - \mu_1)\left(\frac{R_{eff\,2}}{R_{eff\,1}}\right)\right] \end{split}$$

La energía disipada en un ciclo de histéresis (E_{d3}) y la energía de deformación máxima elástica (E_{s3}) de la fase 3 del dispositivo TFP se calcularon por geometría del diagrama de histéresis con las siguientes fórmulas:

$$E_{d3} = 2E_{d1} + E_{d2}$$

$$E_{s3} = 0.5 D_{u3} F_{M3}$$

El amortiguamiento efectivo del dispositivo TFP en la fase 3 (β₃) se calculó con la siguiente fórmula:

$$\beta_3 = \frac{E_{d3}}{4\pi E_{s3}}$$

La fuerza de restitución (F_R) del dispositivo TFP se calculó según la siguiente fórmula:

$$F_R = F_{M(D_M)} - F_{M(0.5D_M)}$$

Donde:

- F_{M(DM)}: Fuerza al 100% del desplazamiento traslacional.
- F_{M(0.5DM)}: Fuerza al 50% del desplazamiento traslacional.

La fuerza al 50% del desplazamiento traslacional $(F_{M(0.5DM)})$ se calculó según la geometría del modelo trilineal para aisladores de TFP con la siguiente fórmula:

$$F_{M(0.5D_M)} = \left[\left(\frac{P_{serv}}{2R_{eff 1}} \right) (0.5D_{u2} - D_{u1}) \right] + P_{serv}\mu_1$$

La Norma E.031 (MVCS, 2020c, p. 15) indica en el artículo 9 que la fuerza de restitución debe ser por lo menos 2.5% veces el peso de la estructura considerando el nivel de base.

$$F_R \ge 2.5\%P$$

3.6.2.7. Diseño de los sistemas de aislamiento.:

A. Diseño del sistema LRB+SL. Posterior al análisis estático preliminar, se procedió a realizar el diseño de los aisladores que constituyen el sistema LRB+SL. Este sistema fue conformado por tres tipos de aisladores LRB y un tipo de aislador SL, repartidos en planta de

manera que la excentricidad natural sea la menor posible en ambas direcciones de análisis (X e Y) mediante un proceso iterativo, buscando el resultado más óptimo.

El diseño de los aisladores LRB fue realizado según lo indicado en Bridgestone (2022) y con las ecuaciones obtenidas del diagrama histerético bilineal para aisladores elastoméricos indicadas en 2.2.1 (véase Anexo C). En las tablas 14 y 15 se muestran los parámetros nominales de los dispositivos LRB y SL respectivamente.

Tabla 14Parámetros nominales de los aisladores LRB

Doganin sián	Dispositivo			IIidad
Descripción	LRB-1	LRB-2	LRB-3	- Unidad
Código del aislador del catálogo de	LH070G4	LH065G4	LH060G4	
Bridgestone	[E]	[D]	[E]	
Rigidez efectiva (K _{eff})	96.37	87.55	68.97	tonf/m
Rigidez post-fluencia (K2)	72.93	64.11	53.98	tonf/m
Rigidez inicial (K ₁)	948.15	833.47	701.73	tonf/m
Fuerza característica (Q)	6.38	6.38	4.08	tonf
Desplazamiento máximo (D _M)	0.272	0.272	0.272	m
Deformación por corte (γ)	1.346	1.373	1.360	
Desplazamiento de fluencia (D _y)	0.00729	0.00829	0.00630	m
Fuerza de fluencia (F _y)	6.91	6.91	4.42	tonf
Fuerza máxima (F _M)	26.21	23.81	18.76	tonf
Energía disipada en un ciclo de	6.75	6.73	4.34	tonf.m
histéresis (E _d)				
Energía de deformación máxima	3.56	3.24	2.55	tonf.m
elástica (E _s)				
Amortiguamiento efectivo (β_{eff})	15.08%	16.54%	13.54%	

Figura 27Diagrama histerético bilineal de los aisladores LRB (nominal)

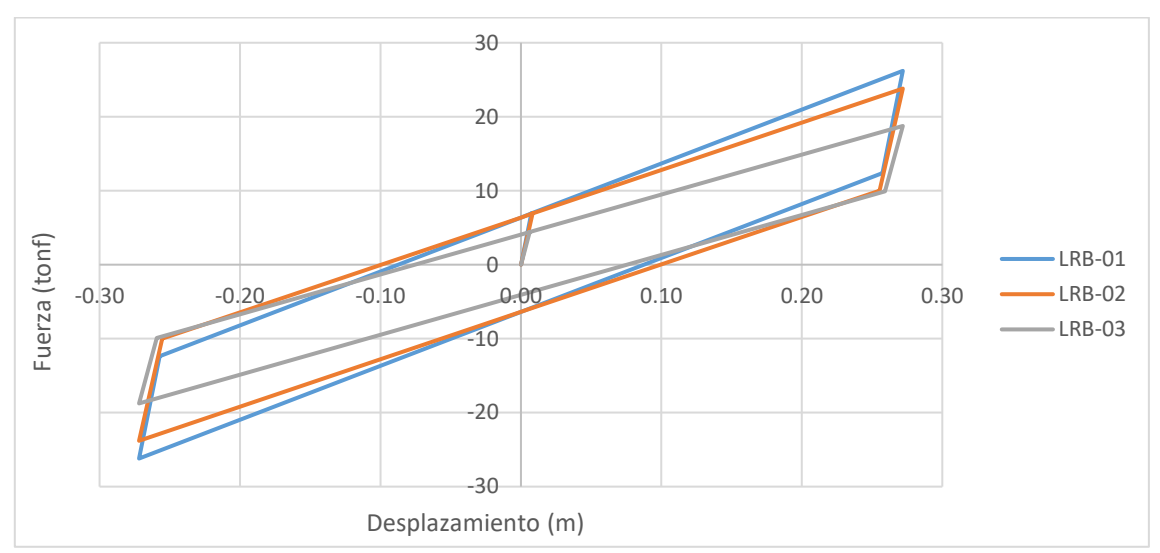
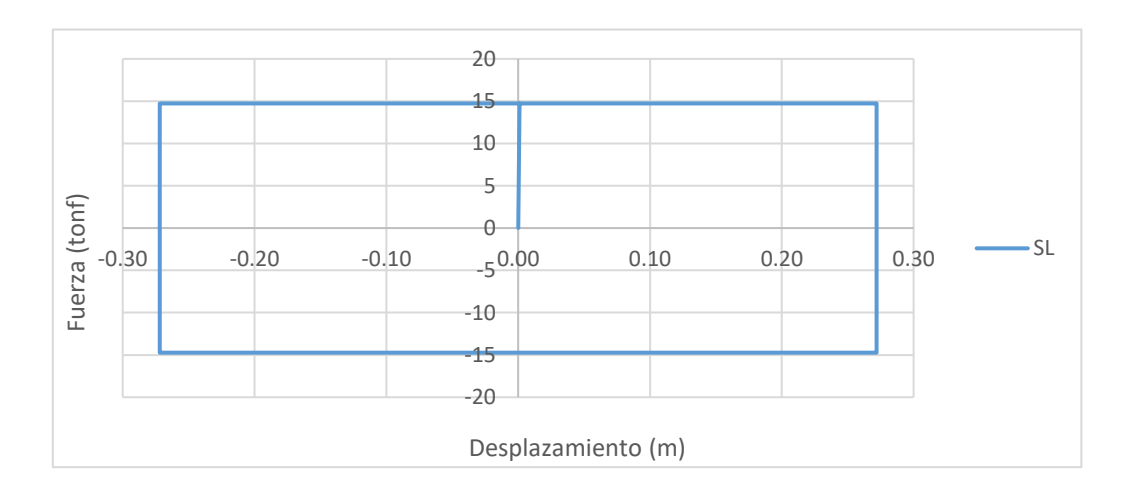


Tabla 15Parámetros nominales de los aisladores SL

Descripción	Dispositivo	Unidad
Descripcion	SL	- Umuau
Coeficiente de fricción (µ)	5.00%	
Rigidez efectiva (K _{eff})	54.17	tonf/m
Fuerza característica (Q)	14.73	tonf
Desplazamiento máximo (D _M)	0.272	m
Desplazamiento de fluencia (D _y)	0.001	m
Fuerza de fluencia (F _y)	14.73	tonf
Fuerza máxima (F _M)	14.73	tonf
Rigidez inicial (K ₁)	14734.95	tonf/m
Energía disipada en un ciclo de histéresis (E _d)	16.03	tonf.m
Energía de deformación máxima elástica (Es)	2.00	tonf.m
Amortiguamiento efectivo (β_{eff})	63.66%	

Figura 28Diagrama histerético bilineal de los aisladores SL (nominal)



Los parámetros en límite superior de los dispositivos LRB y SL se muestran en las tablas 16 y 17 respectivamente, los cuales fueron calculados en función a los parámetros nominales previamente determinados, considerando los dispositivos como Clase I y usando los factores de modificación $\lambda_{máx}$ mostrados en la tabla 7 para aisladores de caucho con núcleo de plomo e interfaz sin lubricación.

Tabla 16Parámetros en límite superior de los aisladores LRB

Dogovinoián	Dispositivo			Dispositivo		Unidad
Descripción	LRB-1	LRB-2	LRB-3	- Unidad		
Código del aislador del catálogo de	LH070G4	LH065G4	LH060G4			
Bridgestone	[E]	[D]	[E]			
Rigidez efectiva (K _{eff})	129.97	118.51	92.67	tonf/m		
Rigidez post-fluencia (K ₂)	94.81	83.35	70.17	tonf/m		
Rigidez inicial (K_1)	1232.59	1083.51	912.25	tonf/m		
Fuerza característica (Q)	9.57	9.57	6.13	tonf		
Desplazamiento máximo (D _M)	0.272	0.272	0.272	m		
Deformación por corte (γ)	1.346	1.373	1.360			
Desplazamiento de fluencia (D _y)	0.00841	0.00957	0.00727	m		
Fuerza de fluencia (F _y)	10.37	10.37	6.64	tonf		
Fuerza máxima (F _M)	35.35	32.23	25.21	tonf		
Energía disipada en un ciclo de	10.09	10.04	6.48	tonf.m		
histéresis (E _d)						
Energía de deformación máxima	4.81	4.38	3.43	tonf.m		
elástica (E _s)						
Amortiguamiento efectivo (β_{eff})	16.70%	18.24%	15.06%			

Figura 29Diagrama histerético bilineal de los aisladores LRB (límite superior)

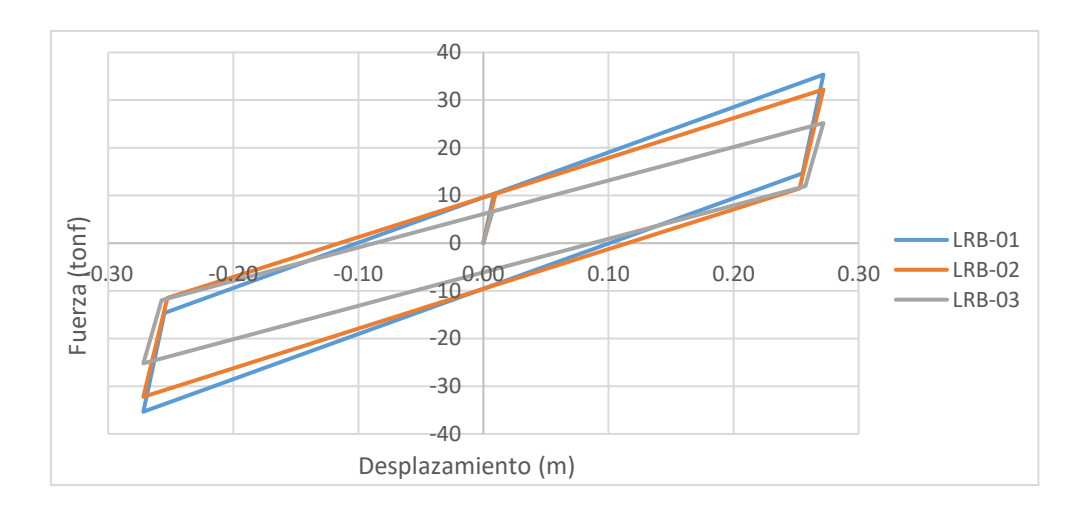
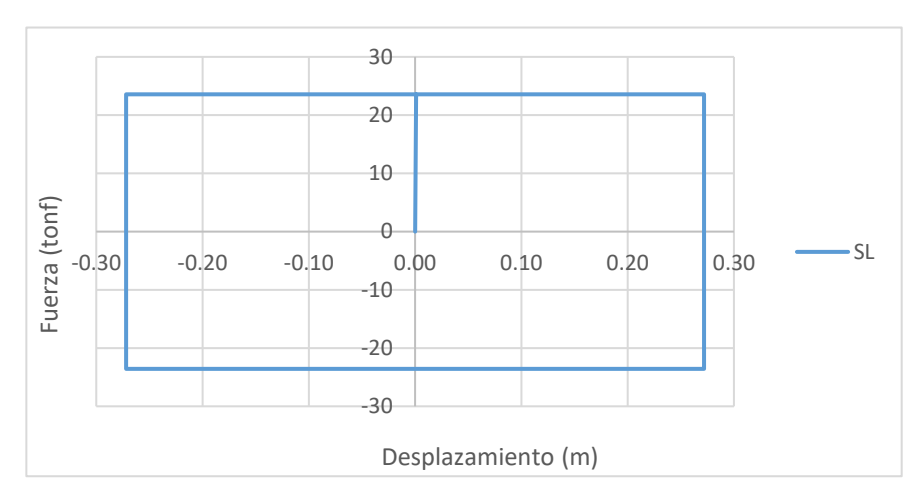


Tabla 17Parámetros en límite superior de los aisladores SL

Democinal (a)	Dispositivo	TI
Descripción	SL	Unidad
Coeficiente de fricción (µ)	8.00%	
Rigidez efectiva (Keff)	86.68	tonf/m
Fuerza característica (Q)	23.58	tonf
Desplazamiento máximo (D _M)	0.272	m
Desplazamiento de fluencia (D _y)	0.001	m
Fuerza de fluencia (F _y)	23.58	tonf
Fuerza máxima (F _M)	23.58	tonf
Rigidez inicial (K ₁)	23575.93	tonf/m
Energía disipada en un ciclo de histéresis (E _d)	25.64	tonf.m
Energía de deformación máxima elástica (Es)	3.21	tonf.m
Amortiguamiento efectivo (β_{eff})	63.66%	

Figura 30

Diagrama histerético bilineal de los aisladores SL (límite superior)



Los parámetros en límite inferior de los dispositivos LRB y SL se muestran en las tablas 18 y 19 respectivamente, los cuales fueron calculados en función a los parámetros nominales previamente determinados, considerando los dispositivos como Clase I y usando los factores de modificación $\lambda_{mín}$ mostrados en la tabla 7 para aisladores de caucho con núcleo de plomo e interfaz sin lubricación.

Tabla 18Parámetros en límite inferior de los aisladores LRB

D		Dispositivo		
Descripción	LRB-1	LRB-2	LRB-3	Unidad
Código del aislador del catálogo de Bridgestone	LH070G4 [E]	LH065G4 [D]	LH060G4 [E]	
Rigidez efectiva (K _{eff})	77.09	70.04	55.18	tonf/m
Rigidez post-fluencia (K2)	58.35	51.29	43.18	tonf/m
Rigidez inicial (K ₁)	758.52	666.78	561.38	tonf/m
Fuerza característica (Q)	5.10	5.10	3.27	tonf
Desplazamiento máximo (D _M)	0.272	0.272	0.272	m
Deformación por corte (γ)	1.346	1.373	1.360	
Desplazamiento de fluencia (D _y)	0.00729	0.00829	0.00630	m
Fuerza de fluencia (F _y)	5.53	5.53	3.54	tonf
Fuerza máxima (F _M)	20.97	19.05	15.01	tonf
Energía disipada en un ciclo de histéresis (E _d)	5.40	5.38	3.47	tonf.m
Energía de deformación máxima elástica (E _s)	2.85	2.59	2.04	tonf.m
Amortiguamiento efectivo (β_{eff})	15.08%	16.54%	13.54%	

Figura 31Diagrama histerético bilineal de los aisladores LRB (límite inferior)

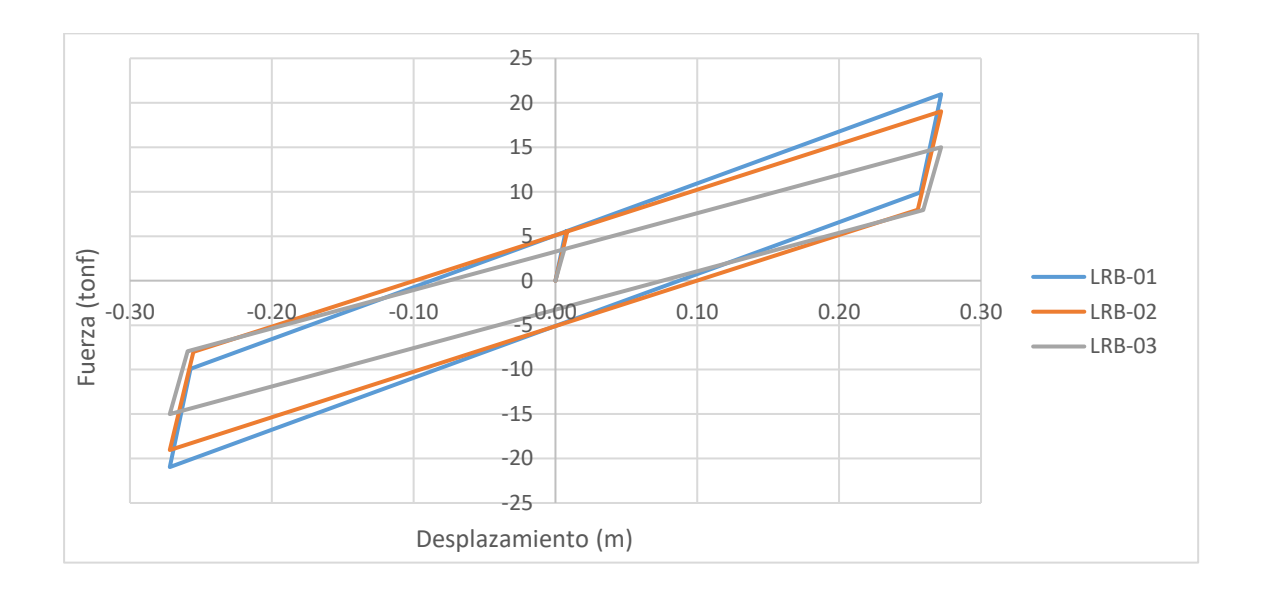
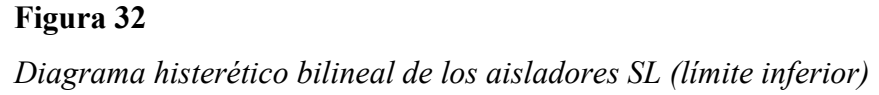
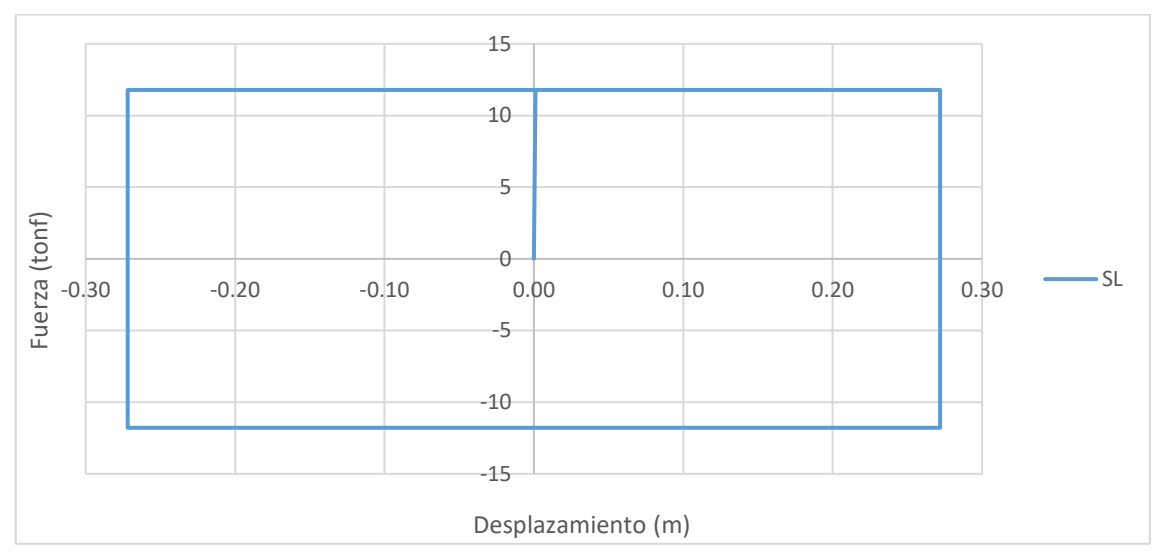


Tabla 19Parámetros en límite inferior de los aisladores SL

Description	Dispositivo	Unided
Descripción	SL	Unidad
Coeficiente de fricción (µ)	4.00%	
Rigidez efectiva (K _{eff})	43.34	tonf/m
Fuerza característica (Q)	11.79	tonf
Desplazamiento máximo (D _M)	0.272	m
Desplazamiento de fluencia (Dy)	0.001	m
Fuerza de fluencia (F _y)	11.79	tonf
Fuerza máxima (F _M)	11.79	tonf
Rigidez inicial (K ₁)	11787.96	tonf/m
Energía disipada en un ciclo de histéresis (E _d)	12.82	tonf.m
Energía de deformación máxima elástica (E _s)	1.60	tonf.m
Amortiguamiento efectivo (β _{eff})	63.66%	





Para obtener un aislamiento óptimo, se buscó distribuir los elementos estructurales y los aisladores con el objetivo de lograr que las participaciones modales de los tres primeros modos de vibración de la estructura en condiciones nominales sean mayores al 90%.

Tabla 20Participación modal de masas en el sistema LRB+SL

Condiciones	Modo	Periodo (s)	UX	UY	RZ
Nominal	1	3.219	8.44%	91.30%	0.23%
	2	3.217	91.48%	8.49%	0.01%
	3	2.882	0.06%	0.19%	99.73%
Límite superior	1	2.750	6.91%	92.79%	0.26%
	2	2.747	92.99%	6.95%	0.01%
	3	2.489	0.06%	0.21%	99.67%
Límite inferior	1	3.589	10.02%	89.72%	0.24%
	2	3.587	89.90%	10.08%	0.01%
	3	3.213	0.06%	0.19%	99.73%

Los parámetros totales del sistema LRB+SL fueron calculados para las condiciones nominales, de límite superior e inferior y se muestran en la tabla 21. En la tabla 22 se muestra la verificación de la fuerza de restitución del sistema LRB+SL.

Tabla 21Parámetros del sistema de aislamiento LRB+SL

	Límites de diseño			
Descripción	Límite inferior	Nominal	Límite superior	Unidad
Cantidad de dispositivos		45		und
Rigidez efectiva total (K _{eff-T})	2937.71	3672.14	5082.30	tonf/m
Peso de servicio total (P _{serv T})	9245.55	9245.55	9245.55	tonf
Energía disipada en un ciclo de histéresis total (E _{d-T})	301.75	377.19	578.62	tonf.m
Energía de deformación máxima elástica total (E _{s-T})	108.59	135.74	187.87	tonf.m
Rigidez vertical total (K _{v-T})	12609380.38	12609380.38	12609380.38	tonf/m
Fuerza característica total (Q _T)	282.50	353.13	542.96	tonf
Amortiguamiento efectivo total $(\beta_{eff T})$	22.11%	22.11%	24.51%	
Factor B _M	1.54	1.54	1.59	
Desplazamiento máximo (D _M)	0.272	0.272	0.264	m
Periodo fundamental (T)	3.559	3.184	2.706	S

Tabla 22Verificación de la fuerza de restitución del sistema LRB+SL

	Líı			
Descripción	Límite inferior	Nominal	Límite superior	Unidad
Fuerza Máxima al 100% (FM _{DM})	692.68	865.85	1169.70	tonf
Fuerza Máxima al 50% (FM _{0.5DM})	434.54	543.18	750.24	tonf
FM_{DM} - $FM_{0.5DM}$	258.13	322.67	419.47	tonf
Peso de servicio total (P _{serv T})	9245.55	9245.55	9245.55	tonf
$0.025~P_{serv~T}$	231.14	231.14	231.14	tonf
Verificación de la fuerza restitución	OK	OK	OK	

B. Diseño del sistema LRB+HDR+SL. Posterior al análisis estático preliminar, se procedió a realizar el diseño de los aisladores que conforman el sistema LRB+HDR+SL. Este sistema fue conformado por tres tipos de aisladores LRB, un tipo de aislador HDR y un tipo de aislador SL, repartidos en planta de manera que la excentricidad natural sea la menor posible en ambas direcciones de análisis (X e Y) mediante un proceso iterativo, buscando el resultado más óptimo.

El diseño de los aisladores LRB y HDR fue realizado según lo indicado en Bridgestone (2022) y con las ecuaciones obtenidas del diagrama histerético bilineal para aisladores elastoméricos indicadas en 2.2.1 (véase Anexo C).

En las tablas 23, 24 y 25 se muestran los parámetros nominales de los dispositivos LRB, HDR y SL respectivamente.

Tabla 23Parámetros nominales de los aisladores LRB

	Dispositivo			TT • 1 1
Descripción	LRB-1	LRB-2	LRB-3	- Unidad
Código del aislador del catálogo de	LH070G4	LH065G4	LH060G4	
Bridgestone	[E]	[E]	[E]	
Rigidez efectiva (Keff)	96.92	83.40	69.34	tonf/m
Rigidez post-fluencia (K ₂)	73.08	64.10	54.09	tonf/m
Rigidez inicial (K ₁)	950.08	833.28	703.16	tonf/m
Fuerza característica (Q)	6.38	5.17	4.08	tonf
Desplazamiento máximo (D _M)	0.267	0.267	0.267	m
Deformación por corte (γ)	1.323	1.350	1.337	
Desplazamiento de fluencia (Dy)	0.00728	0.00672	0.00629	m
Fuerza de fluencia (F _y)	6.91	5.60	4.42	tonf
Fuerza máxima (F _M)	25.92	22.30	18.54	tonf
Energía disipada en un ciclo de	6.64	5.39	4.26	tonf.m
histéresis (E _d)				
Energía de deformación máxima	3.46	2.98	2.48	tonf.m
elástica (E _s)				
Amortiguamiento efectivo (β_{eff})	15.25%	14.38%	13.69%	

Figura 33Diagrama histerético bilineal de los aisladores LRB (nominal)

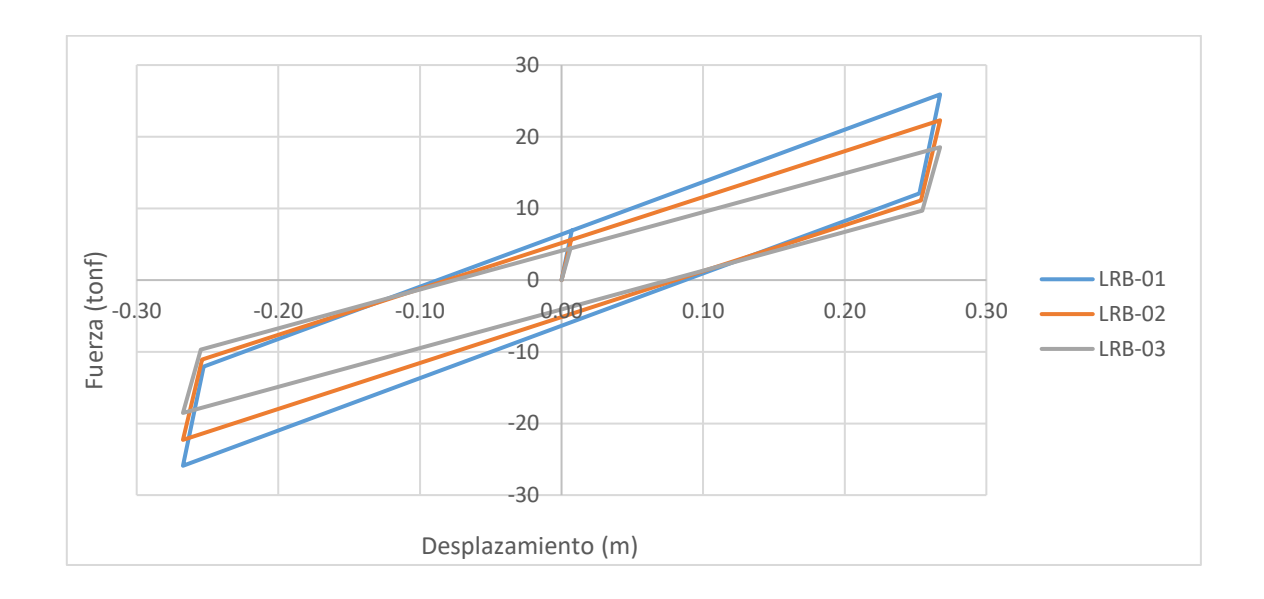


Tabla 24Parámetros nominales de los aisladores HDR

	Dispositivo	TT • 1 1
Descripción	HDR-1	Unidad
Código del aislador del catálogo de	HH080X4S	
Bridgestone	(20cm)	
Rigidez efectiva (K _{eff})	86.45	tonf/m
Rigidez post-fluencia (K ₂)	50.61	tonf/m
Rigidez inicial (K ₁)	506.05	tonf/m
Fuerza característica (Q)	9.59	tonf
Desplazamiento máximo (D _M)	0.267	m
Deformación por corte (γ)	1.337	
Desplazamiento de fluencia (D _y)	0.02106	m
Fuerza de fluencia (F _y)	10.66	tonf
Fuerza máxima (F _M)	23.12	tonf
Energía disipada en un ciclo de histéresis (E _d)	9.45	tonf.m
Energía de deformación máxima elástica (Es)	3.09	tonf.m
Amortiguamiento efectivo (β _{eff})	24.33%	

Figura 34Diagrama histerético bilineal de los aisladores HDR (nominal)

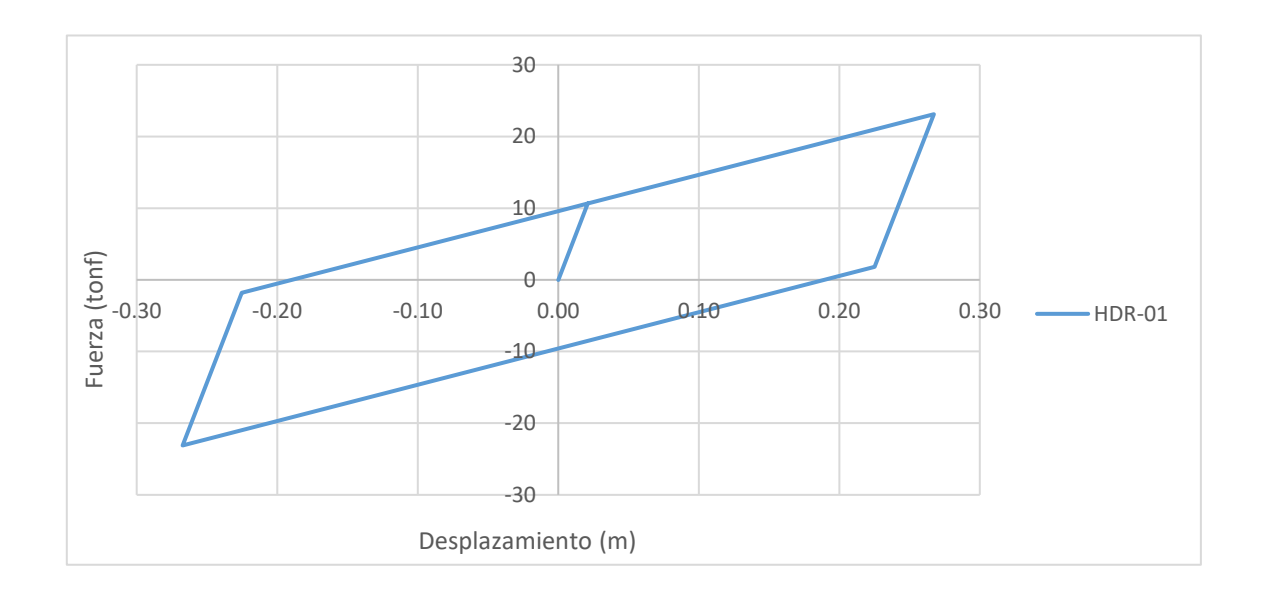
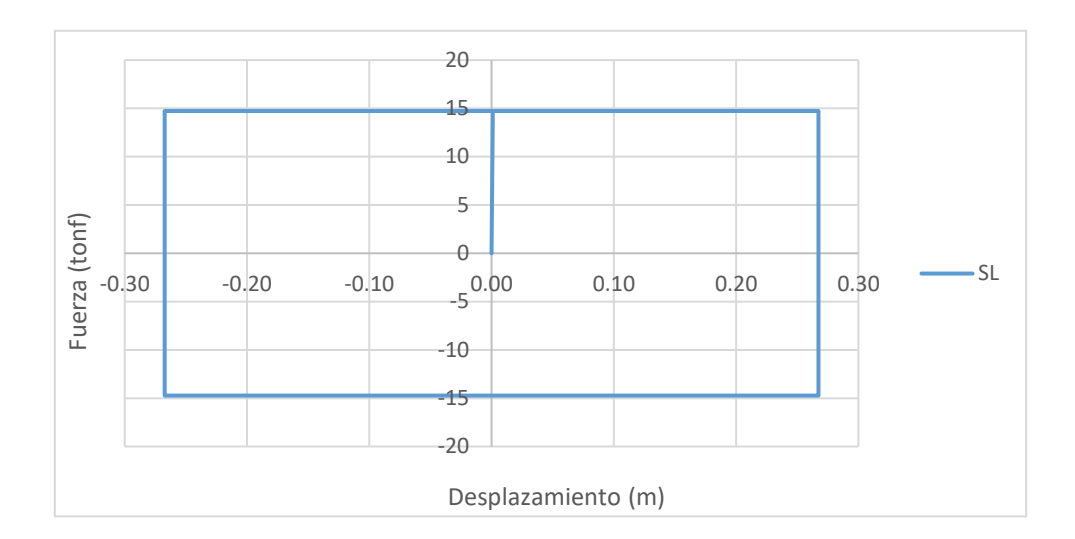


Tabla 25Parámetros nominales de los aisladores SL

Descripción	Dispositivo SL	Unidad
Coeficiente de fricción (µ)	5.00%	
Rigidez efectiva (K _{eff})	55.10	tonf/m
Fuerza característica (Q)	14.73	tonf
Desplazamiento máximo (D _M)	0.267	m
Desplazamiento de fluencia (D _y)	0.001	m
Fuerza de fluencia (F _y)	14.73	tonf
Fuerza máxima (F _M)	14.73	tonf
Rigidez inicial (K ₁)	14734.95	tonf/m
Energía disipada en un ciclo de histéresis (E _d)	15.76	tonf.m
Energía de deformación máxima elástica (Es)	1.97	tonf.m
Amortiguamiento efectivo (β _{eff})	63.66%	

Figura 35Diagrama histerético bilineal de los aisladores SL (nominal)



Los parámetros en límite superior de los dispositivos LRB, HDR y SL se muestran en las tablas 26, 27 y 28 respectivamente, los cuales fueron calculados en función a los parámetros nominales previamente determinados, considerando los dispositivos como Clase I y usando los factores de modificación $\lambda_{máx}$ mostrados en la tabla 7 para aisladores de caucho con núcleo de plomo, aisladores de alto amortiguamiento e interfaz sin lubricación.

Tabla 26Parámetros en límite superior de los aisladores LRB

Dogovinoión	rinción Dispositivo			
Descripción	LRB-1	LRB-2	LRB-3	Unidad
Código del aislador del catálogo de	LH070G4	LH065G4	LH060G4	
Bridgestone	[E]	[E]	[E]	
Rigidez efectiva (K _{eff})	130.77	112.29	93.20	tonf/m
Rigidez post-fluencia (K ₂)	95.01	83.33	70.32	tonf/m
Rigidez inicial (K ₁)	1235.11	1083.27	914.11	tonf/m
Fuerza característica (Q)	9.57	7.75	6.13	tonf
Desplazamiento máximo (D _M)	0.267	0.267	0.267	m
Deformación por corte (γ)	1.323	1.350	1.337	
Desplazamiento de fluencia (D _y)	0.00839	0.00775	0.00726	m
Fuerza de fluencia (F _v)	10.37	8.40	6.64	tonf
Fuerza máxima (F _M)	34.97	30.03	24.92	tonf
Energía disipada en un ciclo de	9.91	8.05	6.37	tonf.m
histéresis (E _d)				
Energía de deformación máxima	4.67	4.01	3.33	tonf.m
elástica (E _s)				
Amortiguamiento efectivo (β _{eff})	16.88%	15.96%	15.22%	

Figura 36Diagrama histerético bilineal de los aisladores LRB (límite superior)

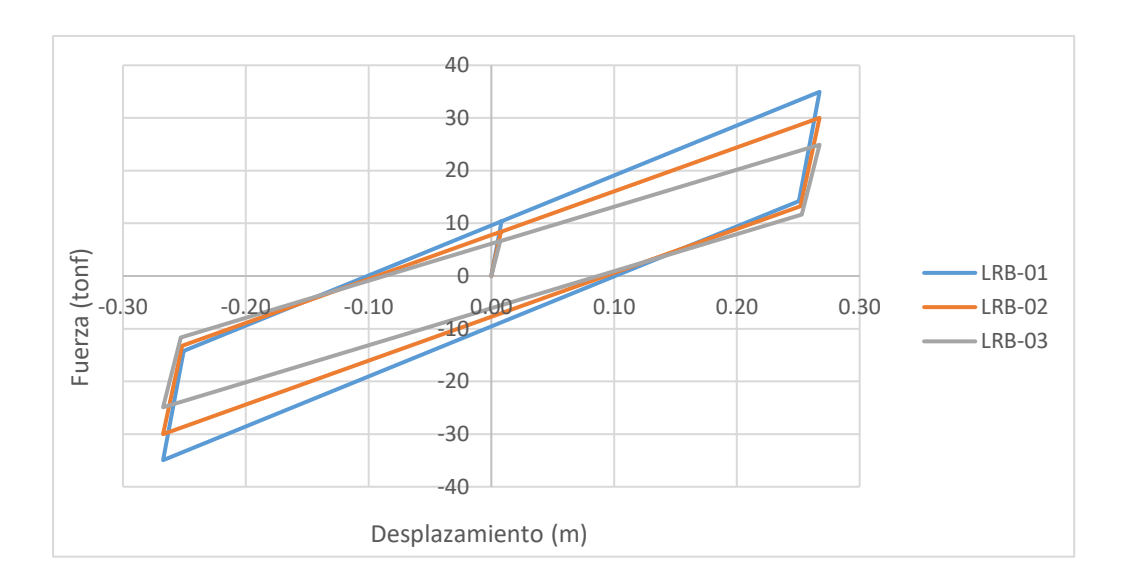


Tabla 27Parámetros en límite superior de los aisladores HDR

Descripción	Dispositivo HDR-1	Unidad
Código del aislador del catálogo de	HH080X4S	
Bridgestone	(20cm)	
Rigidez efectiva (K _{eff})	172.90	tonf/m
Rigidez post-fluencia (K ₂)	101.21	tonf/m
Rigidez inicial (K ₁)	1012.11	tonf/m
Fuerza característica (Q)	16.30	tonf
Desplazamiento máximo (D _M)	0.267	m
Deformación por corte (γ)	1.337	
Desplazamiento de fluencia (Dy)	0.01790	m
Fuerza de fluencia (F _y)	18.11	tonf
Fuerza máxima (F _M)	43.36	tonf
Energía disipada en un ciclo de histéresis (E _d)	16.27	tonf.m
Energía de deformación máxima elástica (Es)	6.18	tonf.m
Amortiguamiento efectivo (β _{eff})	20.94%	

Figura 37Diagrama histerético bilineal de los aisladores HDR (límite superior)

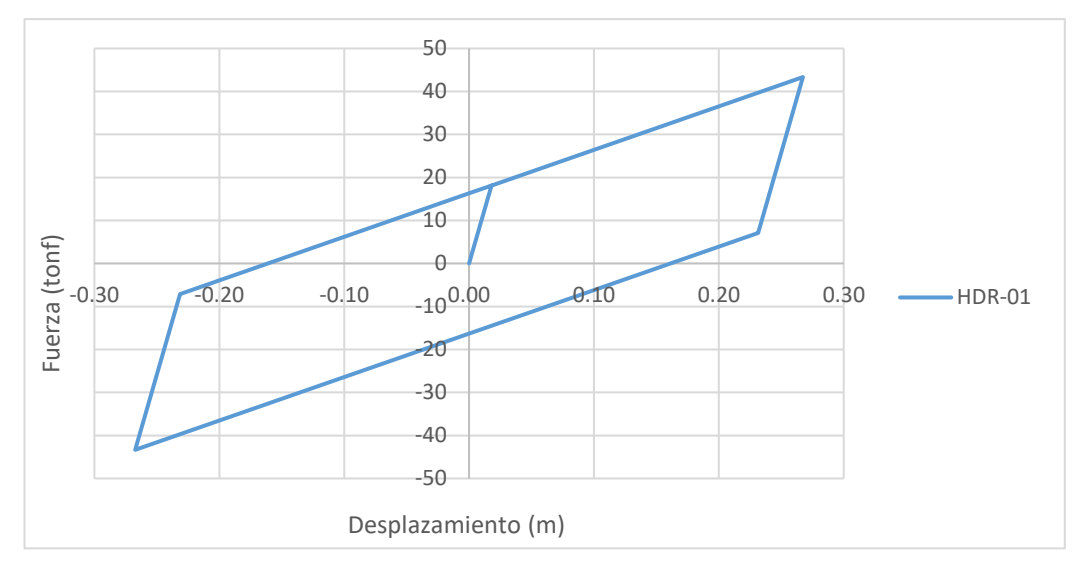
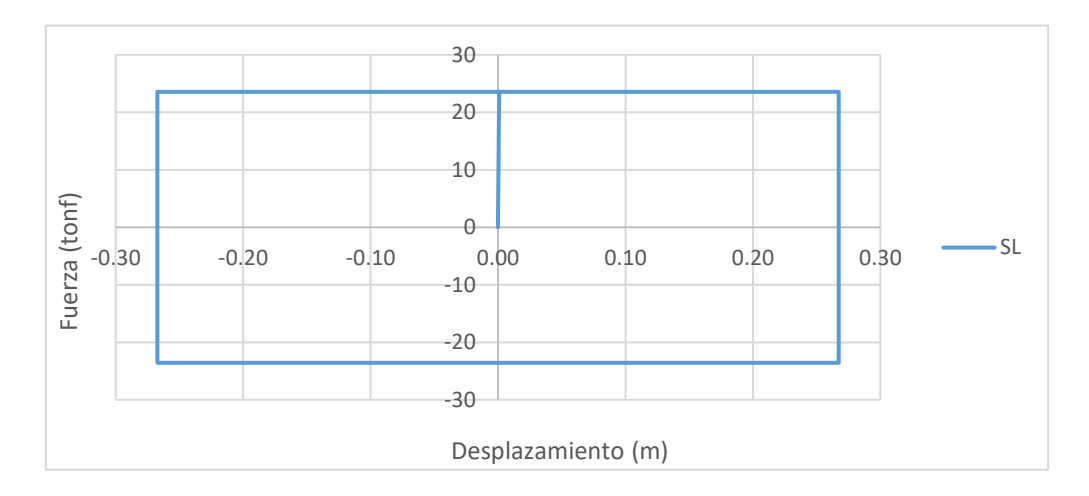


Tabla 28Parámetros en límite superior de los aisladores SL

Description	Dispositivo	Unidad
Descripción	SL	Unidad
Coeficiente de fricción (µ)	8.00%	
Rigidez efectiva (K _{eff})	88.16	tonf/m
Fuerza característica (Q)	23.58	tonf
Desplazamiento máximo (D _M)	0.267	m
Desplazamiento de fluencia (D _y)	0.001	m
Fuerza de fluencia (Fy)	23.58	tonf
Fuerza máxima (F _M)	23.58	tonf
Rigidez inicial (K ₁)	23575.93	tonf/m
Energía disipada en un ciclo de histéresis (E _d)	25.21	tonf.m
Energía de deformación máxima elástica (Es)	3.15	tonf.m
Amortiguamiento efectivo (β_{eff})	63.66%	

Figura 38Diagrama histerético bilineal de los aisladores SL (límite superior)



Los parámetros en límite inferior de los dispositivos LRB, HDR y SL se muestran en las tablas 29, 30 y 31 respectivamente, los cuales fueron calculados en función a los parámetros nominales previamente determinados, considerando los dispositivos como Clase I y usando los factores de modificación λmín mostrados en la tabla 7 para aisladores de caucho con núcleo de plomo, aisladores de alto amortiguamiento e interfaz sin lubricación.

Tabla 29Parámetros en límite inferior de los aisladores LRB

Dogovinoión		Dispositivo			
Descripción	LRB-1	LRB-2	LRB-3	Unidad	
Código del aislador del catálogo de	LH070G4	LH065G4	LH060G4		
Bridgestone	[E]	[E]	[E]		
Rigidez efectiva (K _{eff})	77.53	66.72	55.47	tonf/m	
Rigidez post-fluencia (K ₂)	58.47	51.28	43.27	tonf/m	
Rigidez inicial (K ₁)	760.07	666.63	562.53	tonf/m	
Fuerza característica (Q)	5.10	4.13	3.27	tonf	
Desplazamiento máximo (D _M)	0.267	0.267	0.267	m	
Deformación por corte (γ)	1.323	1.350	1.337		
Desplazamiento de fluencia (D _y)	0.00728	0.00672	0.00629	m	
Fuerza de fluencia (F _y)	5.53	4.48	3.54	tonf	
Fuerza máxima (F _M)	20.73	17.84	14.83	tonf	
Energía disipada en un ciclo de	5.31	4.31	3.41	tonf.m	
histéresis (E _d)					
Energía de deformación máxima	2.77	2.38	1.98	tonf.m	
elástica (E _s)					
Amortiguamiento efectivo (β _{eff})	15.25%	14.38%	13.69%		

Figura 39Diagrama histerético bilineal de los aisladores LRB (límite inferior)

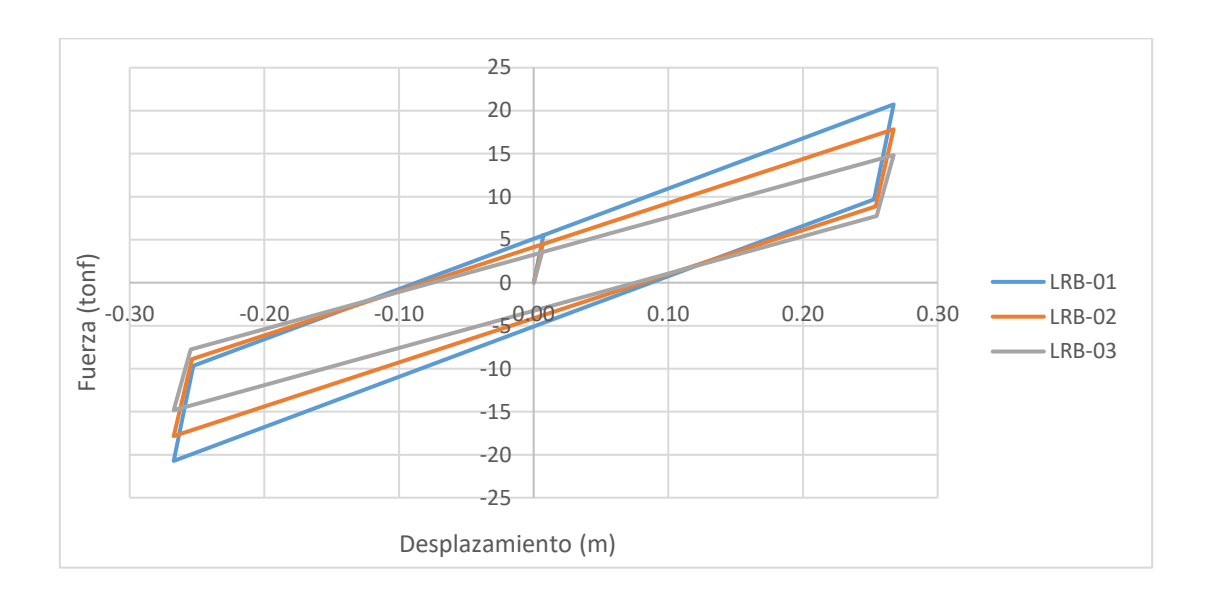


Tabla 30Parámetros en límite inferior de los aisladores HDR

Descripción	Dispositivo HDR-1	Unidad
Código del aislador del catálogo de Bridgestone	HH080X4S (20cm)	
Rigidez efectiva (K _{eff})	69.16	tonf/m
Rigidez post-fluencia (K ₂)	40.48	tonf/m
Rigidez inicial (K ₁)	404.84	tonf/m
Fuerza característica (Q)	7.67	tonf
Desplazamiento máximo (D _M)	0.267	m
Deformación por corte (γ)	1.337	
Desplazamiento de fluencia (D _y)	0.02106	m
Fuerza de fluencia (F _y)	8.52	tonf
Fuerza máxima (F _M)	18.49	tonf
Energía disipada en un ciclo de histéresis (E _d)	7.56	tonf.m
Energía de deformación máxima elástica (Es)	2.47	tonf.m
Amortiguamiento efectivo (β_{eff})	24.33%	

Figura 40Diagrama histerético bilineal de los aisladores HDR (límite inferior)

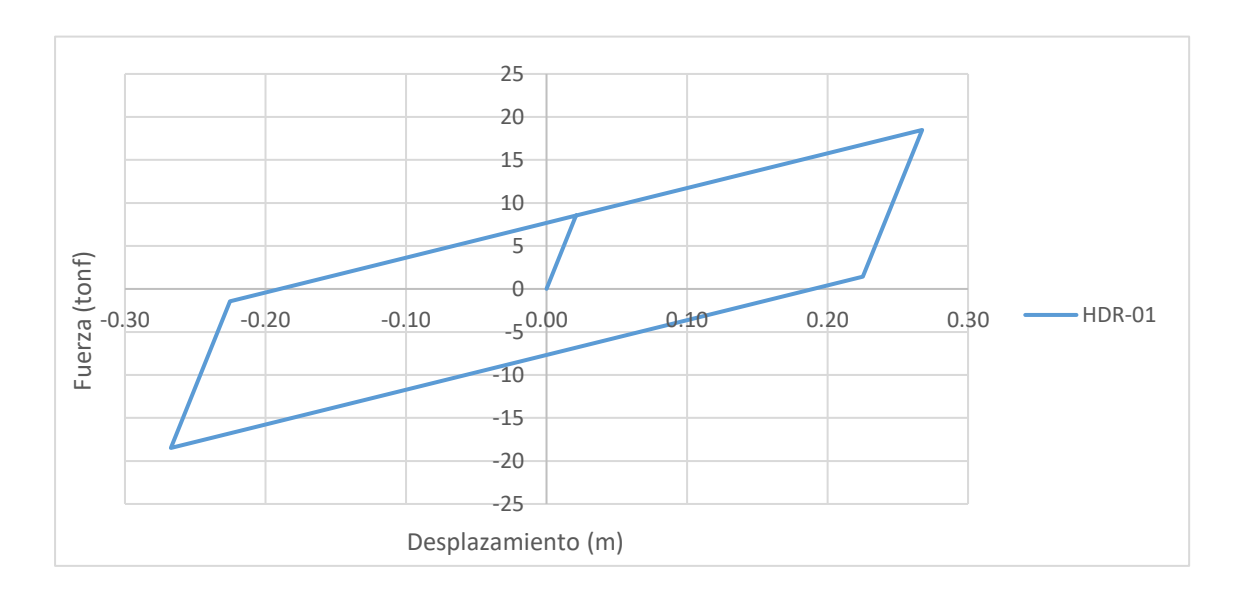
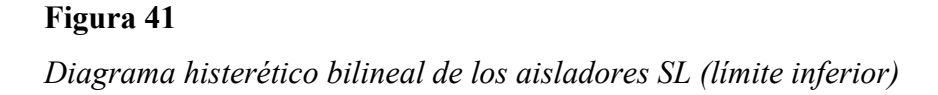
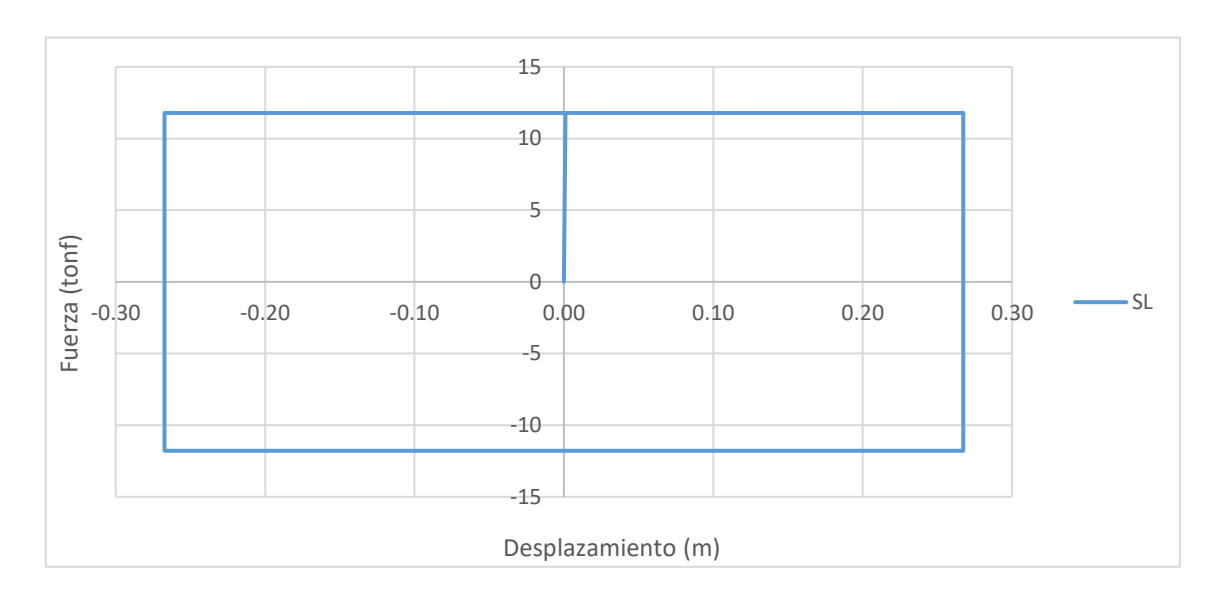


Tabla 31Parámetros en límite inferior de los aisladores SL

Description	Dispositivo	Unidad
Descripción	SL	Unidad
Coeficiente de fricción (µ)	4.00%	
Rigidez efectiva (K _{eff})	44.08	tonf/m
Fuerza característica (Q)	11.79	tonf
Desplazamiento máximo (D _M)	0.267	m
Desplazamiento de fluencia (D _y)	0.001	m
Fuerza de fluencia (F _y)	11.79	tonf
Fuerza máxima (F _M)	11.79	tonf
Rigidez inicial (K ₁)	11787.96	tonf/m
Energía disipada en un ciclo de histéresis (E _d)	12.60	tonf.m
Energía de deformación máxima elástica (Es)	1.58	tonf.m
Amortiguamiento efectivo (β_{eff})	63.66%	





Para obtener un aislamiento óptimo, se buscó distribuir los elementos estructurales y los aisladores con el objetivo de lograr que las participaciones modales de los tres primeros modos de vibración de la estructura en condiciones nominales sean mayores al 90%.

Tabla 32Participación modal de masas en el sistema LRB+HDR+SL

Condiciones	Modo	Periodo (s)	UX	UY	RZ
Nominal	1	3.290	8.70%	91.03%	0.25%
	2	3.288	91.22%	8.75%	0.01%
	3	2.955	0.06%	0.20%	99.71%
Límite superior	1	2.732	8.24%	91.24%	0.47%
	2	2.730	91.61%	8.33%	0.02%
	3	2.530	0.11%	0.38%	99.45%
Límite inferior	1	3.669	10.31%	89.41%	0.26%
	2	3.667	89.61%	10.37%	0.01%
	3	3.294	0.06%	0.21%	99.71%

Los parámetros totales del sistema LRB+HDR+SL fueron calculados para las condiciones nominales, de límite superior e inferior y se muestran en la tabla 33. En la tabla 34 se muestra la verificación de la fuerza de restitución del sistema LRB+HDR+SL.

Tabla 33Parámetros del sistema de aislamiento LRB+HDR+SL

	I			
Descripción	Límite inferior	Nominal	Límite superior	Unidad
Cantidad de dispositivos		45		
Rigidez efectiva total (K _{eff-T})	2809.12	3511.41	5151.06	tonf/m
Peso de servicio total (P _{serv T})	9250.38	9250.38	9250.38	tonf
Energía disipada en un ciclo de histéresis total (E _{d-T})	295.54	369.43	579.38	tonf.m
Energía de deformación máxima elástica total (E _{s-T})	100.37	125.47	184.06	tonf.m
Rigidez vertical total (K _{v-T})	12972349.99	12972349.99	12972349.99	tonf/m
Fuerza característica total (Q _T)	282.63	353.28	554.25	tonf
Amortiguamiento efectivo total ($\beta_{eff T}$)	23.43%	23.43%	25.05%	
Factor B_M	1.57	1.57	1.60	
Desplazamiento máximo (D _M)	0.267	0.267	0.262	m
Periodo fundamental (T)	3.640	3.256	2.688	S

Tabla 34Verificación de la fuerza de restitución del sistema LRB+HDR+SL

	Lír	-		
Descripción	Límite inferior	Nominal	Límite superior	Unidad
Fuerza Máxima al 100% (FM _{DM})	633.07	791.34	1126.87	tonf
Fuerza Máxima al 50% (FM _{0.5DM})	398.91	498.64	722.68	tonf
FM_{DM} - $FM_{0.5DM}$	234.16	292.70	404.19	tonf
Peso de servicio total (P _{serv T})	9250.38	9250.38	9250.38	tonf
0.025 P _{serv T}	231.26	231.26	231.26	tonf
Verificación de la fuerza restitución	OK	OK	OK	

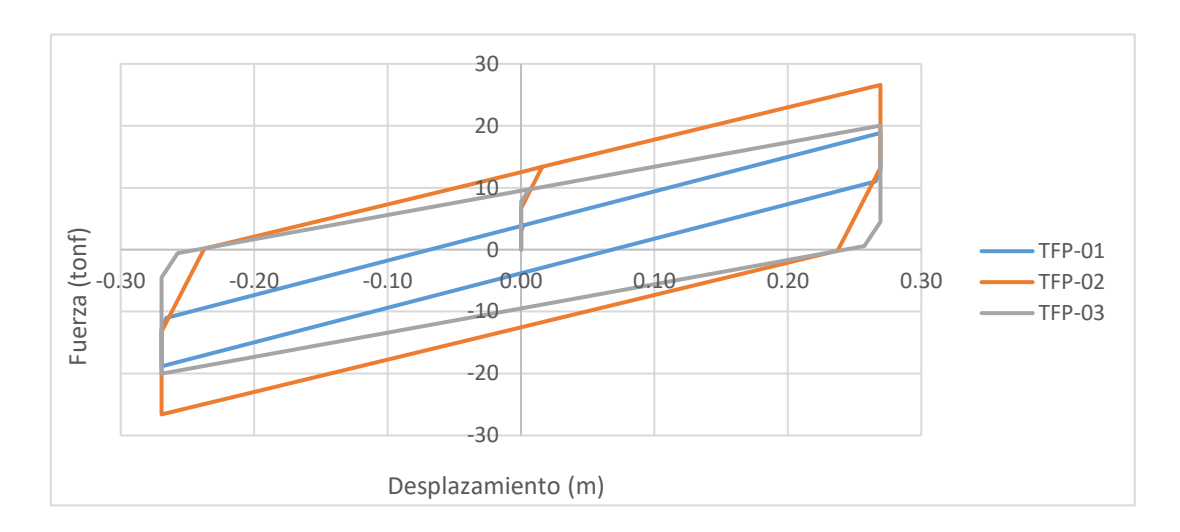
C. Diseño del sistema TPF. Posterior al análisis estático preliminar, se procedió a realizar el diseño de los aisladores que conforman el sistema TFP. Este sistema fue conformado por tres tipos de aisladores TFP, repartidos en planta de manera que la excentricidad natural sea la menor posible en ambas direcciones de análisis (X e Y) mediante un proceso iterativo, buscando el resultado más óptimo.

El diseño de los aisladores TFP (véase Anexo C) fue realizado según lo indicado en McVitty y Constantinou (2015) y considerando las recomendaciones de Leiva y Aguiar (2018). En la tabla 35 se muestran los parámetros nominales de los dispositivos TFP.

Tabla 35Parámetros nominales de los aisladores TFP

Description		 Unidad		
Descripción -	TFP-1	TFP-2	TFP-3	Unidad
Coeficiente de fricción Platos 1 y 4 (µ ₁ , µ ₄)	1.30%	8.00%	10.00%	
Coeficiente de fricción Platos 2 y 3 (µ2, µ3)	1.00%	4.00%	8.00%	
Fase 02				
Desplazamiento máximo de la Fase 02 (D _{u2})	0.2694	0.2694	0.2694	m
Fuerza máxima en la Fase 02 (F _{M2})	18.84	26.60	20.03	tonf
Fuerza de activación en la Fase 02 (Q2)	3.73	11.88	9.30	tonf
Rigidez efectiva en la Fase 02 (Keff2)	69.94	98.75	74.35	tonf/m
Energía disipada en un ciclo de activación en la Fase $02 (E_{d2})$	4.098	13.131	10.182	tonf.m
Energía elástica de deformación máxima en la Fase $02 (E_{s2})$	2.538	3.583	2.698	tonf.m
Amortiguamiento efectivo en la Fase 02 (β ₂)	12.85%	29.16%	30.03%	

Figura 42Diagrama histerético trilineal de los aisladores TFP (nominal)



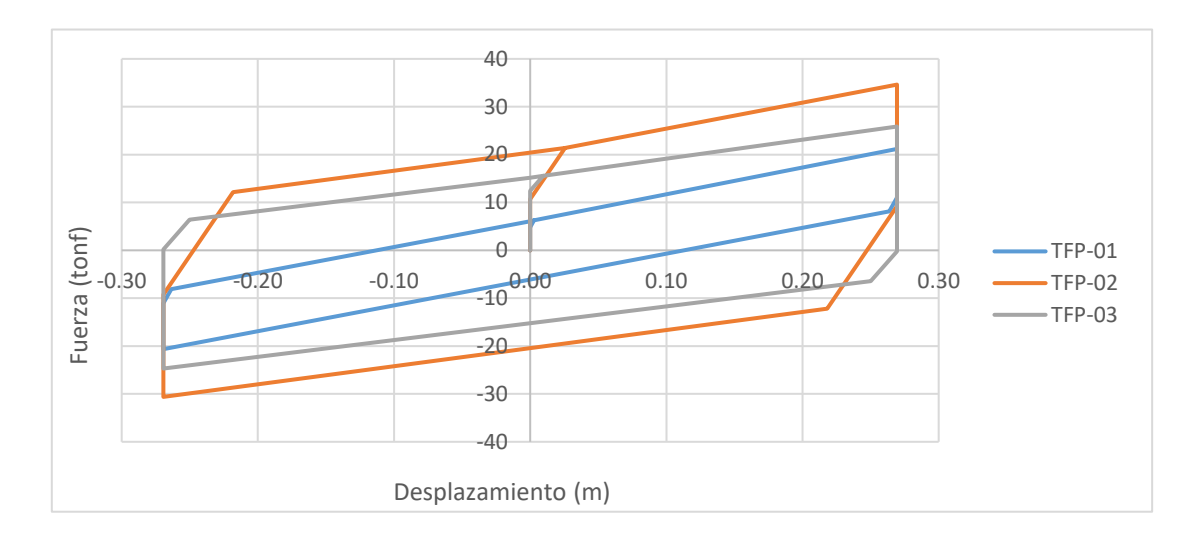
Los parámetros en límite superior de los dispositivos TFP se muestran en la tabla 36, los cuales fueron calculados en función a los parámetros nominales previamente determinados, considerando los dispositivos como Clase I y usando los factores de modificación $\lambda_{m\acute{a}x}$ mostrados en la tabla 7 para interfaz sin lubricación.

Tabla 36Parámetros en límite superior de los aisladores TFP

Dogovinción		Dispositivo		Unidad
Descripción -	TFP-1	TFP-2	TFP-3	Unidad
Coeficiente de fricción Platos 1 y 4 (µ ₁ , µ ₄)	2.08%	12.80%	16.00%	
Coeficiente de fricción Platos 2 y 3 (µ2, µ3)	1.60%	6.40%	12.80%	
Fase 02				
Desplazamiento máximo de la Fase 02 (D _{u2})	0.2705	0.2790	0.2730	m
Fuerza máxima en la Fase 02 (F _{M2})	21.19	34.62	25.86	tonf
Fuerza de activación en la Fase 02 (Q2)	5.96	19.01	14.89	tonf
Rigidez efectiva en la Fase 02 (K _{eff2})	78.33	124.10	94.74	tonf/m
Energía disipada en un ciclo de activación en la Fase $02 (E_{d2})$	6.577	21.420	16.471	tonf.m
Energía elástica de deformación máxima en la Fase $02 (E_{s2})$	2.865	4.830	3.530	tonf.m
Amortiguamiento efectivo en la Fase 02 (β_2)	18.27%	35.29%	37.13%	

Figura 43

Diagrama histerético trilineal de los aisladores TFP (límite superior)

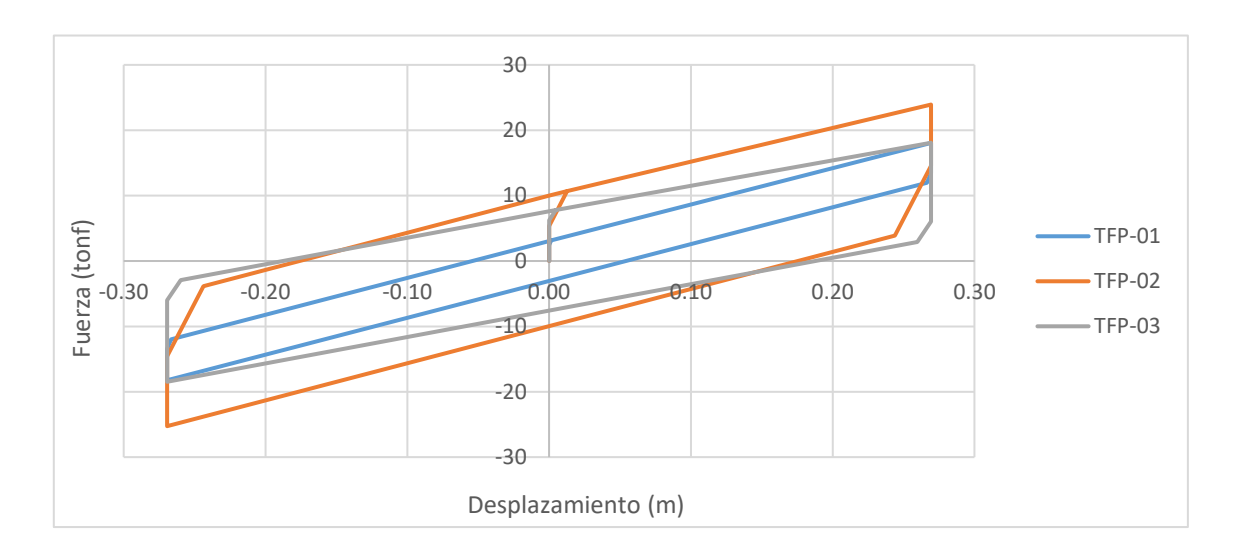


Los parámetros en límite inferior de los dispositivos de aislamiento TFP se muestran en la tabla 37, los cuales fueron calculados en función a los parámetros nominales previamente determinados, considerando los dispositivos como Clase I y usando los factores de modificación $\lambda_{mín}$ mostrados en la tabla 7 para interfaz sin lubricación.

Tabla 37Parámetros en límite inferior de los aisladores TFP

Dogovinoián		Dispositivo			
Descripción -	TFP-1	TFP-2	TFP-3	Unidad	
Coeficiente de fricción Platos 1 y 4 (µ ₁ , µ ₄)	1.04%	6.40%	8.00%		
Coeficiente de fricción Platos 2 y 3 (µ2, µ3)	0.80%	3.20%	6.40%		
Fase 02					
Desplazamiento máximo de la Fase 02 (D _{u2})	0.2690	0.2662	0.2682	m	
Fuerza máxima en la Fase 02 (F _{M2})	18.06	23.93	18.09	tonf	
Fuerza de activación en la Fase 02 (Q2)	2.98	9.51	7.44	tonf	
Rigidez efectiva en la Fase 02 (K _{eff2})	67.13	89.89	67.44	tonf/m	
Energía disipada en un ciclo de activación en la Fase $02 (E_{d2})$	3.275	10.436	8.116	tonf.m	
Energía elástica de deformación máxima en la Fase $02 (E_{s2})$	2.429	3.185	2.425	tonf.m	
Amortiguamiento efectivo en la Fase 02 (β2)	10.73%	26.08%	26.63%		

Figura 44Diagrama histerético trilineal de los aisladores TFP (límite inferior)



Para obtener un aislamiento óptimo, se buscó distribuir los elementos estructurales y los aisladores con el objetivo de lograr que las participaciones modales de los tres primeros modos de vibración de la estructura en condiciones nominales sean mayores al 90%.

Tabla 38Participación modal de masas en el sistema TFP

Condiciones	Modo	Periodo (s)	UX	UY	RZ
Nominal	1	3.195	9.65%	90.04%	0.29%
	2	3.193	90.29%	9.69%	0.00%
	3	2.857	0.04%	0.25%	99.68%
Límite superior	1	2.919	8.45%	91.30%	0.22%
	2	2.917	91.49%	8.47%	0.00%
	3	2.583	0.03%	0.19%	99.73%
Límite inferior	1	3.311	10.15%	89.51%	0.32%
	2	3.309	89.79%	10.19%	0.00%
	3	2.976	0.05%	0.28%	99.65%

Los parámetros totales del sistema TFP fueron calculados para las condiciones nominales, de límite superior e inferior y se muestran en la tabla 39.

En la tabla 40 se muestra la verificación de la fuerza de restitución del sistema TFP.

Tabla 39Parámetros del sistema de aislamiento TFP

	Límites de diseño				
Descripción	Límite inferior	Nominal	Límite superior	Unidad	
Cantidad de dispositivos		45			
Rigidez efectiva total $(K_{\text{eff-T}})$	3477.17	3741.04	4505.88	tonf/m	
Peso de servicio total (P _{serv T})	9273.59	9273.59	9273.59	tonf	
Energía disipada en un ciclo de histéresis total (E _{d-T})	309.95	389.39	632.39	tonf.m	
Energía de deformación máxima elástica total (E_{s-T})	124.40	135.74	170.88	tonf.m	
Rigidez vertical total (K_{v-T})	106028752.06	106028752.06	106028752.06	tonf/m	
Fuerza característica total (Q _T)	282.53	353.16	565.06	tonf	
Amortiguamiento efectivo total $(\beta_{eff T})$	19.83%	22.83%	29.45%		
Factor B_M	1.50	1.56	1.69		
Desplazamiento máximo (D _M)	0.280	0.269	0.248	m	
Periodo fundamental (T)	3.276	3.158	2.878	S	

Tabla 40Verificación de la fuerza de restitución del sistema TFP

	Límites de diseño			-
Descripción	Límite inferior	Nominal	Límite superior	Unidad
Fuerza Máxima al 100% (FM _{DM})	930.12	1007.79	1240.79	tonf
Fuerza Máxima al 50% (FM _{0.5DM})	612.49	688.18	915.26	tonf
FM_{DM} - $FM_{0.5DM}$	317.63	319.60	325.53	tonf
Peso de servicio total (P _{serv T})	9273.59	9273.59	9273.59	tonf
$0.025~P_{serv~T}$	231.84	231.84	231.84	tonf
Verificación de la fuerza restitución	OK	OK	OK	

3.6.2.8. Balance torsional de los sistemas de aislamiento. Se determinó el centro de masa y rigidez de los sistemas de aislamiento para calcular su excentricidad natural, reduciéndola lo más posible en ambas direcciones de análisis. Los dispositivos fueron ubicados convenientemente, considerando su rigidez efectiva (K_{eff}) y carga de servicio (P_{serv}).

El centro de masa de los sistemas de aislamiento se calculó según:

$$X_{CM} = \frac{\sum P_{serv i} X_i}{P_{serv T}}$$

$$Y_{CM} = \frac{\sum P_{serv i} Y_i}{P_{serv T}}$$

Donde:

- X_{CM}: Ubicación del centro de masa del sistema de aislamiento en el eje X.
- Y_{CM}: Ubicación del centro de masa del sistema de aislamiento en el eje Y.
- P_{serv i}: Combinación de carga vertical promedio sobre el i-ésimo aislador.
- P_{serv T}: Combinación de carga vertical promedio total sobre el sistema de aislamiento.

El centro de rigidez de los sistemas de aislamiento se calculó con las siguientes fórmulas:

$$X_{CR} = \frac{\sum K_{eff i} X_i}{K_M}$$

$$Y_{CR} = \frac{\sum K_{eff i} Y_i}{K_M}$$

Donde:

- X_{CR}: Ubicación del centro de rigidez del sistema de aislamiento en el eje X.
- Y_{CR}: Ubicación del centro de rigidez del sistema de aislamiento en el eje Y.
- K_{eff i}: Rigidez efectiva del i-ésimo aislador.
- K_M: Rigidez efectiva total del sistema de aislamiento.

La excentricidad natural se calcula mediante las siguientes fórmulas:

$$e_X = X_{CM} - X_{CR}$$

$$e_Y = Y_{CM} - Y_{CR}$$

A. Balance torsional del sistema LRB+SL. La tabla 41 presenta la posición del centro de masa y rigidez del sistema LRB+SL.

Tabla 41Centro de masa y rigidez del sistema de aislamiento LRB+SL

Descripción	X (m)	Y (m)	
Centro de masa	23.81	12.11	
Centro de rigidez	24.00	12.00	

De la tabla 41 se puede observar que el centro de masa y rigidez se encuentran muy cerca. Teniendo como excentricidad natural:

$$e_X=-0.19\ m$$

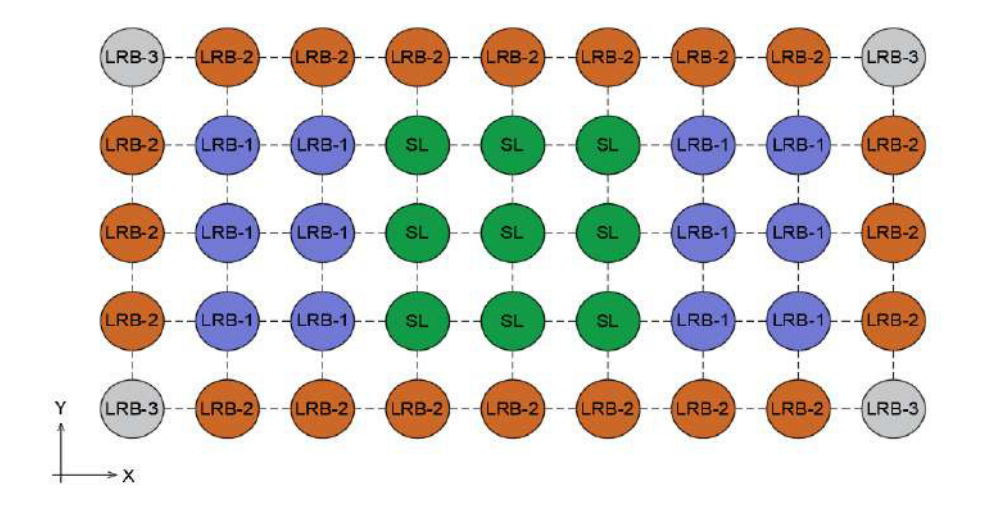
$$e_Y = 0.11 \, m$$

Ya que la excentricidad natural es muy baja, se deduce que el sistema de aislamiento está sometido a un muy leve efecto de torsión.

En la figura 41 se muestra la ubicación de los aisladores del sistema LRB+SL, el cual cuenta con los siguientes dispositivos: LRB-1, LRB-2, LRB-3 y SL.

Figura 45

Distribución en planta de los aisladores en el sistema LRB+SL



B. Balance torsional del sistema LRB+HDR+SL. La tabla 42 presenta la posición del centro de masa y rigidez del sistema LRB+HDR+SL.

Tabla 42

Centro de masa y rigidez del sistema de aislamiento LRB+HDR+SL

Descripción	X (m)	Y (m)
Centro de masa	23.81	12.11
Centro de rigidez	24.00	12.00

De la tabla 42 se puede observar que el centro de masa y rigidez se encuentran muy cerca. Teniendo como excentricidad natural:

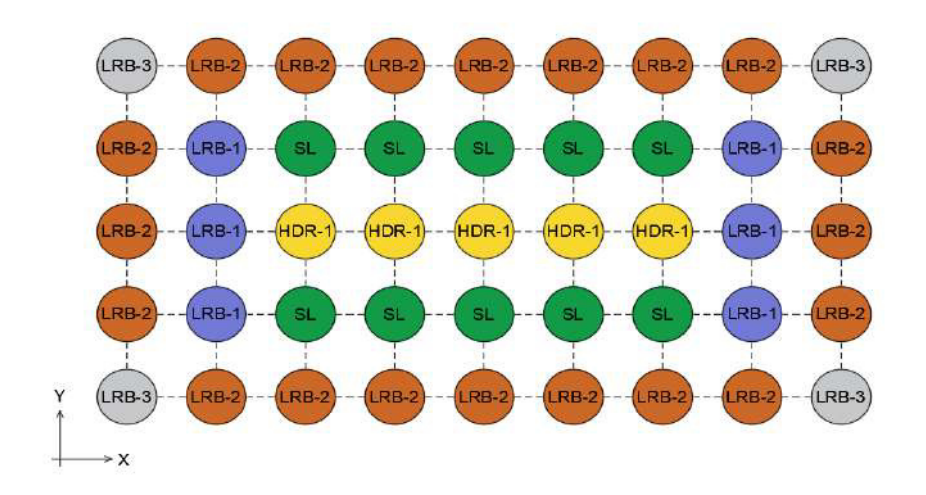
$$e_X = -0.19 \ m$$

$$e_Y = 0.11 \, m$$

Ya que la excentricidad natural es muy baja, se deduce que el sistema de aislamiento está sometido a un muy leve efecto de torsión.

En la figura 42 se muestra la ubicación de los aisladores del sistema LRB+HDR+SL, el cual cuenta con los siguientes dispositivos: LRB-1, LRB-2, LRB-3, HDR-1 y SL.

Figura 46Distribución en planta de los aisladores en el sistema LRB+HDR+SL



C. Balance torsional del sistema TFP. La tabla 43 presenta la posición del centro de masa y rigidez del sistema TFP.

Tabla 43Centro de masa y rigidez del sistema de aislamiento TFP

Descripción	X (m)	Y (m)
Centro de masa	23.78	12.10
Centro de rigidez	24.00	12.00

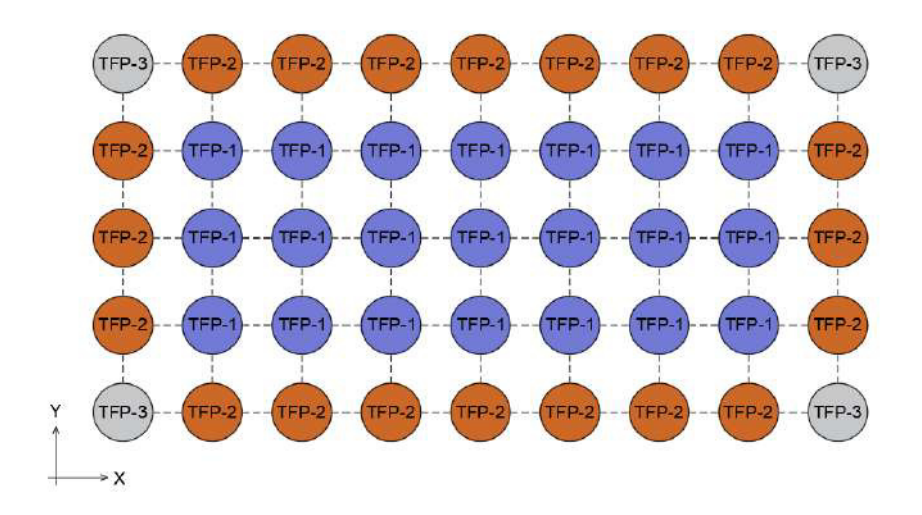
De la tabla 43 se puede observar que el centro de masa y rigidez se encuentran muy cerca. Teniendo como excentricidad natural:

$$e_X = -0.22 m$$
$$e_Y = 0.10 m$$

Ya que la excentricidad natural es muy baja, se deduce que el sistema de aislamiento está sometido a un muy leve efecto de torsión.

En la figura 43 se muestra la ubicación de los aisladores del sistema TFP, el cual cuenta con los siguientes dispositivos: TFP-1, TFP-2 y TFP-3.

Figura 47Distribución en planta de los aisladores en el sistema TFP



Etapa 03: Análisis dinámico modal espectral

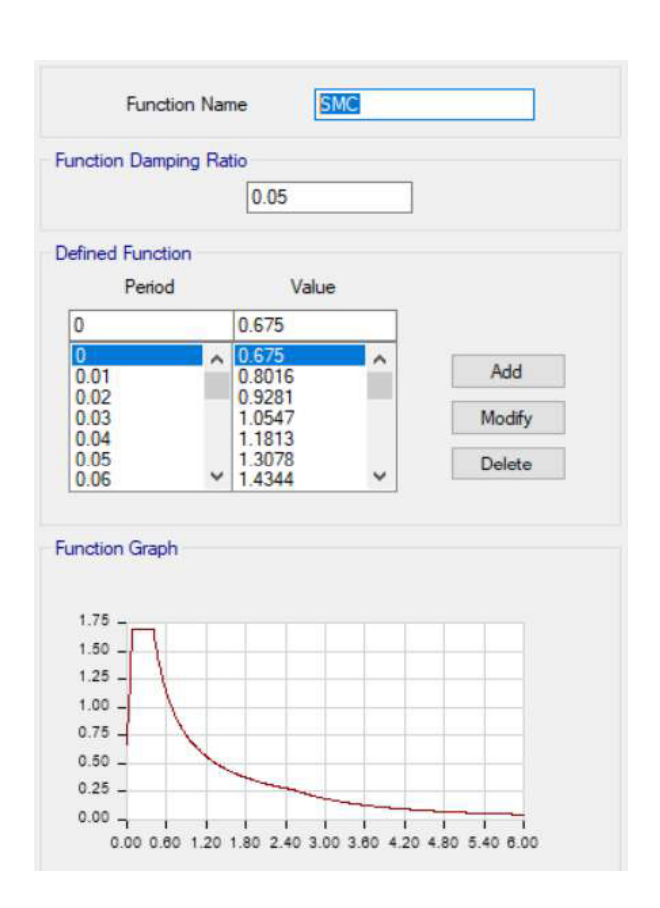
Este análisis no fue usado para obtener las respuestas estructurales que se buscaron en esta investigación, sin embargo, fue necesario para obtener información usada en el ANLTH.

3.6.3.1. Sismo máximo considerado (SMC). Según lo indicado en el artículo 14 de la Norma E.031 (MVCS, 2020) el SMC (espectro objetivo para el ANLTH) se determinó mediante la siguiente fórmula:

$$S_{aM} = 1.5 ZUCSg$$

Estos parámetros fueron definidos en la sección 3.6.2.2 de la presente investigación. El SMC fue insertado en el software ETABS versión 22.5.0.

Figura 48SMC según las Normas E.030 y E.031



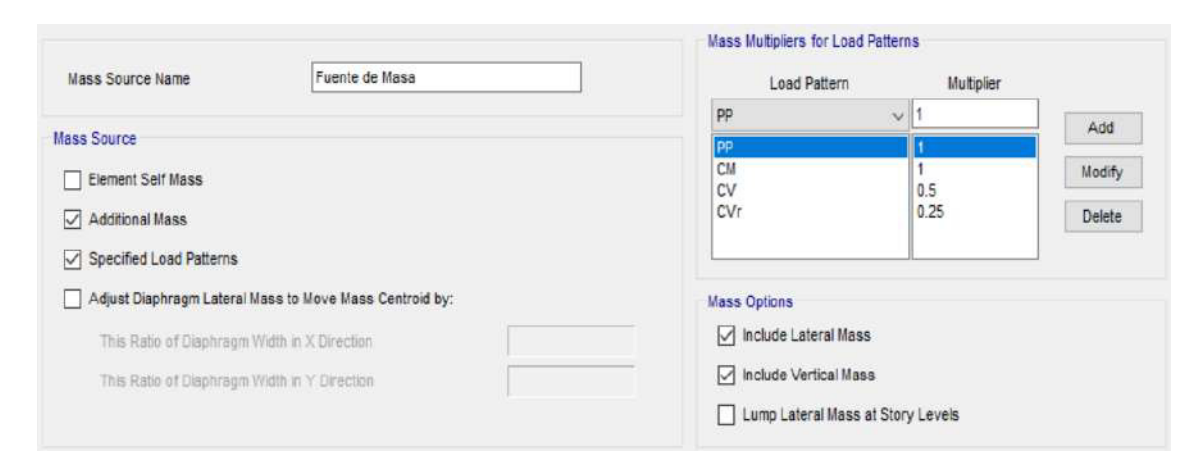
3.6.3.2. Modelado numérico para el análisis modal espectral. Fueron ingresados parámetros requeridos en ETABS versión 22.5.0 para obtener los resultados buscados.

Según lo indicado en el artículo 26 de la Norma E.030 (MVCS, 2020), se debe considerar el 50% de la carga viva para edificaciones de categoría A, como es el caso de las edificaciones hospitalarias y 25% de la carga viva en azoteas.

Figura 49

Asignación de peso sísmico

Figura 50



Se consideró una participación del 100% de participación al espectro en la dirección de análisis principal y un 30% al espectro en la otra dirección perpendicular, modificando el factor de escala con 9.81 m/s^2 .

Caso de carga para el análisis modal espectral en la dirección X

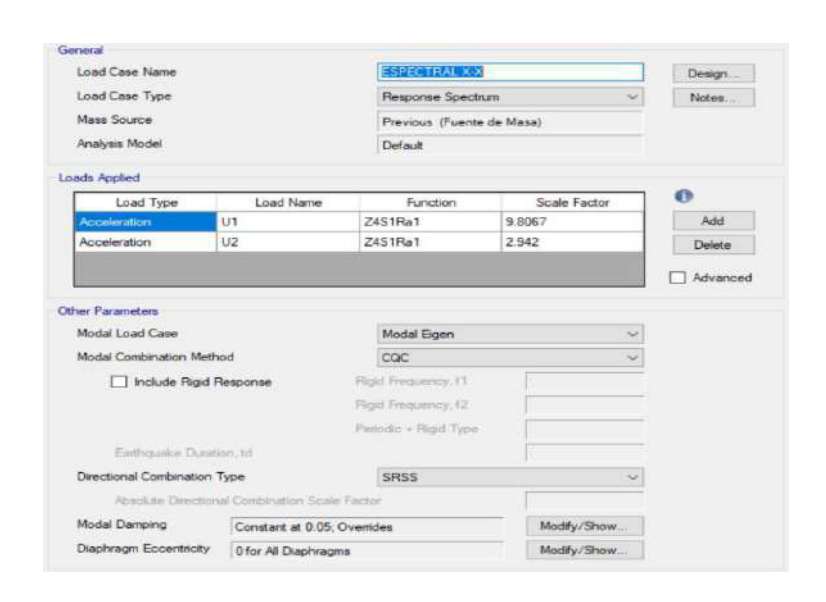
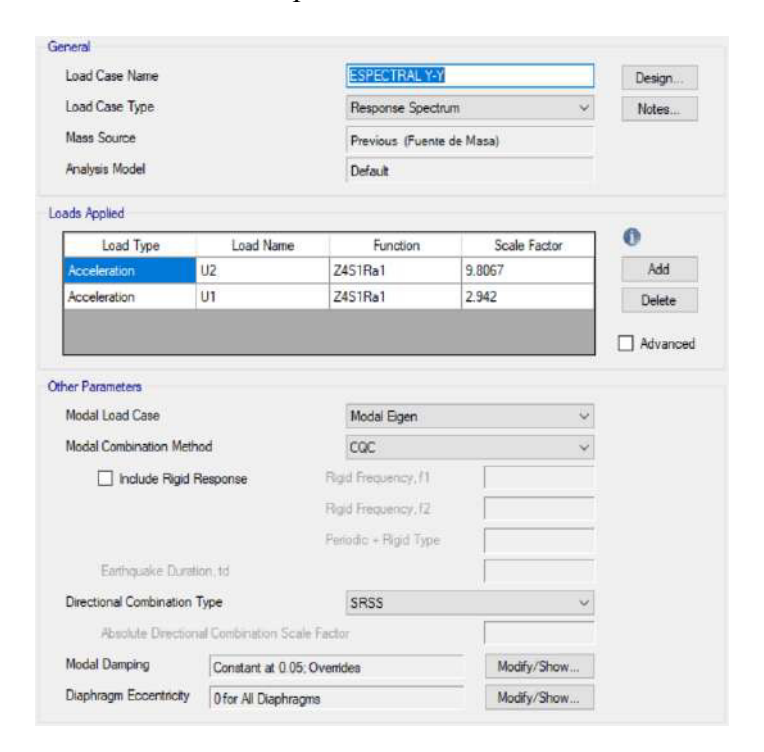


Figura 51

Caso de carga para el análisis modal espectral en la dirección Y



3.6.3.3. Verificación de fuerzas de tracción en los aisladores. El artículo 9 de la Norma E.031 (MVCS, 2020) indica que no se permite levantamientos locales en los dispositivos de aislamiento, a menos que estos no conduzcan a sobreesfuerzos o inestabilidad de los aisladores o elementos estructurales. Sin embargo, los aisladores de fricción como es el caso de los dispositivos SL y TFP son especialmente sensibles a estos efectos ya que dependen directamente de la fricción con la superficie de contacto para trabajar correctamente, por ese motivo es importante asegurarse que estos dispositivos no presenten levantamientos locales producto de fuerzas de tracción.

Para realizar estos cálculos se utilizaron las propiedades en límite superior de los aisladores y la combinación de carga vertical mínima indicada en el artículo 12 de la Norma E.031 (MVCS, 2020) y en la tabla 6 de la presente investigación.

Figura 52 *Ubicación de los dispositivos de aislamiento*

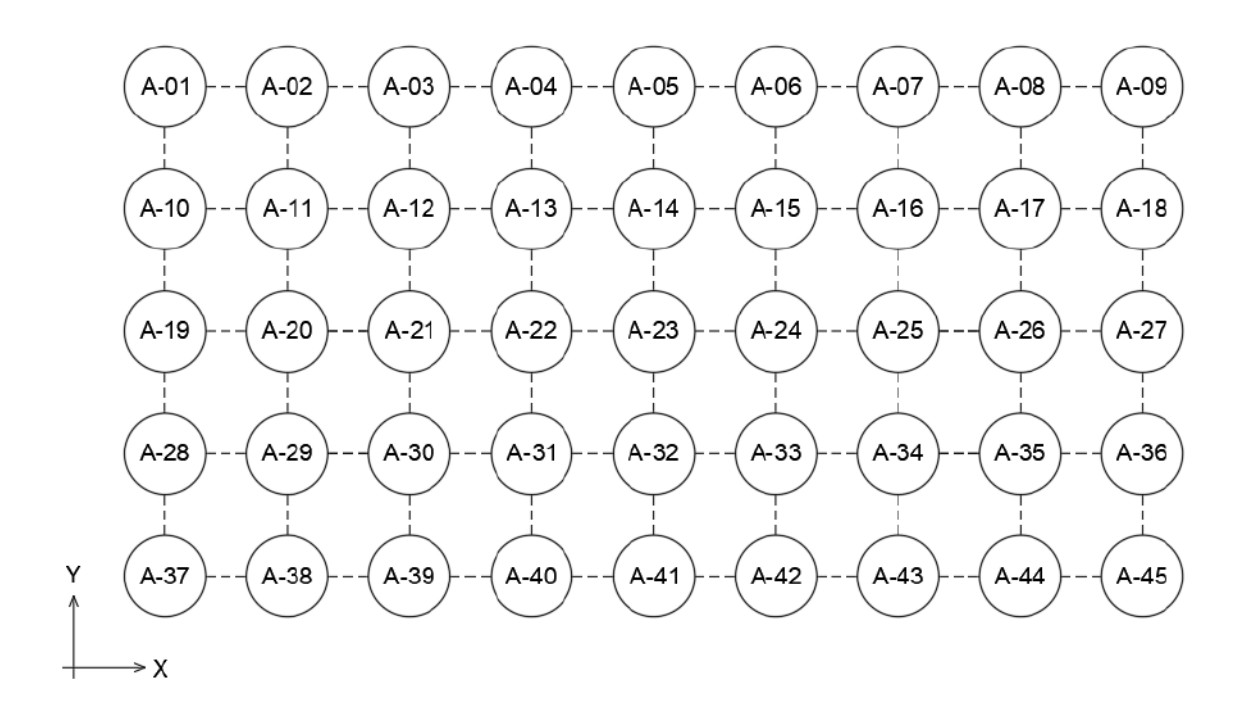


 Tabla 44

 Cargas verticales mínimas que actúan sobre los aisladores

Sistema de	Carga vertical	Ubicación
aislamiento	mínima	
LRB+SL	2.21 tonf	A-09
LRB+HDR+SL	2.32 tonf	A-09
TFP	24.35 tonf	A-09

En la tabla 44 se puede observar que los dispositivos que conformaron los tres sistemas de aislamiento no presentaron fuerzas de tracción, ya que las menores cargas verticales producto de la combinación de carga vertical mínima se encuentran en compresión, evitando así levantamientos locales, siendo el sistema TFP el que presentó el mejor comportamiento al obtener una carga mínima en compresión de 24.35 tonf, mucho mayor a la obtenida por los otros dos sistemas de aislamiento.

3.6.3.4. Límites para fuerzas cortantes V_b y desplazamientos D_{TM}. El artículo 26 de la Norma E.031 (MVCS, 2020) indica que la fuerza cortante que actúa en el sistema de aislamiento (V_b) debido al SMC no debe ser menor al 90% de V_b obtenida mediante el análisis estático, mientras que el desplazamiento máximo del sistema de aislamiento (D_{TM}) debido al SMC no debe ser menor al 80% de D_{TM} obtenida mediante el análisis estático.

 Tabla 45

 Fuerzas y desplazamientos laterales mínimos de los sistemas de aislamiento

Sistema de	Parámetros	Análisis		Análisis mod	dal espectra	al
Aislamiento		Estático		X		Y
LRB+SL	V _b (tonf)	998.12	1317.86	132.03% V _b	1318.12	132.06% V _b
	$D_{TM}\left(m\right)$	0.327	0.271	$83.00\%\ D_{TM}$	0.271	$83.10\% D_{TM}$
LRB+HDR+SL	V _b (tonf)	938.37	1315.34	$140.17\%\ V_b$	1316.15	$140.26\%~V_b$
	$D_{TM}\left(m\right)$	0.321	0.263	$81.84\% D_{TM}$	0.263	81.97% D _{TM}
TFP	V _b (tonf)	1007.79	1079.99	$107.16\%~V_b$	1079.52	$107.12\%~V_b$
	$D_{TM}\left(m\right)$	0.323	0.280	$86.79\%\ D_{TM}$	0.283	87.54% D _{TM}

Nota. V_b fue analizada en límite superior y D_{TM} fue analizado en límite inferior.

Etapa 04: Análisis dinámico no lineal tiempo-historia

La Norma E.031 (MVCS, 2020) indica en el artículo 18 que el ANLTH puede ser usado para diseñar cualquier tipo de edificio sísmicamente aislado, no estando sujeto a otras limitaciones.

En cada sistema de aislamiento evaluado, fue necesario desarrollar tres modelos numéricos en el software ETABS versión 22.5.0, cada uno correspondiente a las condiciones nominal, de límite superior e inferior.

3.6.4.1. Elección y procesamiento de los registros sísmicos. Según lo indicado en el artículo 15 de la Norma E.031 (MVCS, 2020), fueron elegidos siete pares de registros sísmicos, cada uno con dos componentes horizontales de aceleración en las direcciones Este-Oeste (EW) y Norte-Sur (NS), obtenidos de la red nacional de acelerógrafos (REDACIS- CISMID).

Tabla 46

Registros sísmicos utilizados

NIO	N° Ubicación	Fecha	Estación	Suelo	Magnitud	PGA (cm/s ²)		Duración
1		геспа	Estacion	Suelo	Magiiituu	EW	NS	(seg)
1	Huacho	17/10/1966	PRQ	Rígido	8.1 Mw	180.56	268.24	65.64
2	Huaraz	30/05/1970	PRQ	Rígido	6.6 Mb	105.05	97.81	45.08
3	Cañete	03/10/1974	PRQ	Rígido	6.6 Mb	194.21	180.09	97.96
4	Ilo	07/07/2001	TAC001	Rígido	6.5 Mb	35.93	40.42	128.67
5	Tacna	05/05/2010	TAC001	Rígido	6.5 ML	154.00	190.00	118.00
6	Iquique 1	01/04/2014	TAC001	Rígido	8.2 Mw	72.49	69.51	152.21
7	Iquique 2	02/04/2014	TAC001	Rígido	7.4 Mw	32.59	17.09	150.00

Se usaron las estaciones acelerométricas del Parque de la reserva (PRQ) ubicada en Lima, y de la Universidad Nacional Jorge Basadre Grohmann (TAC001) ubicada en Tacna, ambas emplazadas sobre suelo rígido.

En las figuras 49 y 50 se muestran las dos componentes horizontales de aceleración del registro original del sismo Iquique 1, ocurrido el primero de abril del año 2014 en Chile, y es presentado como ejemplo del procedimiento realizado.

Figura 53

Registro original de aceleraciones del sismo Iquique 1 en la dirección EW

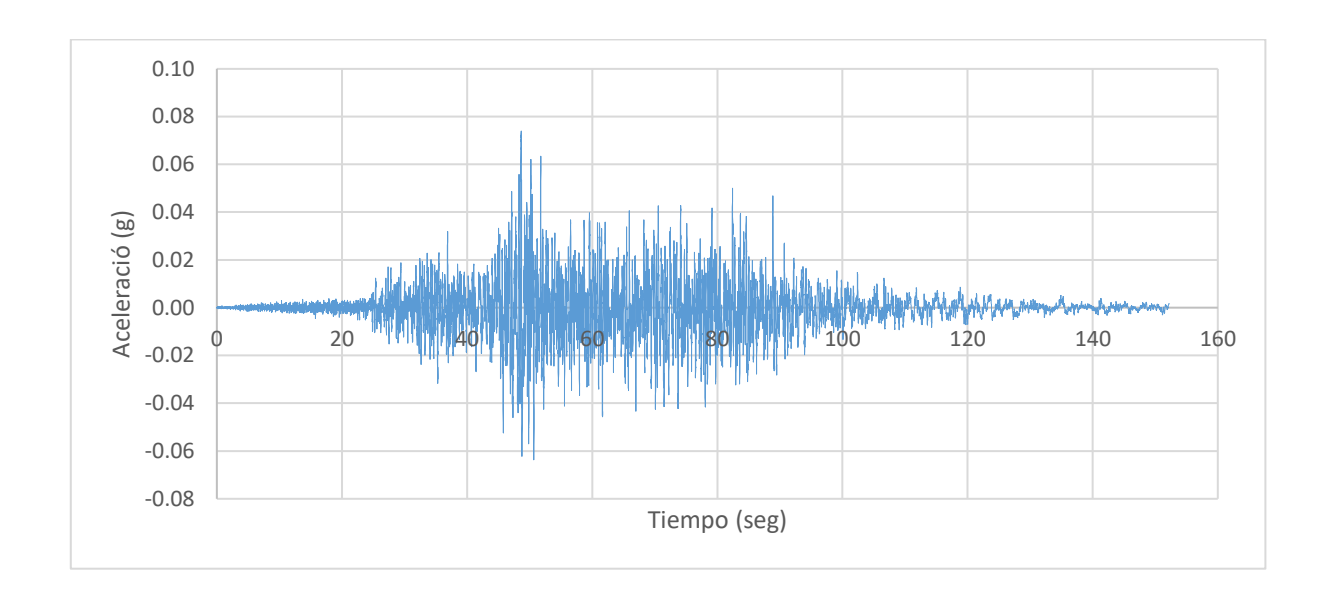
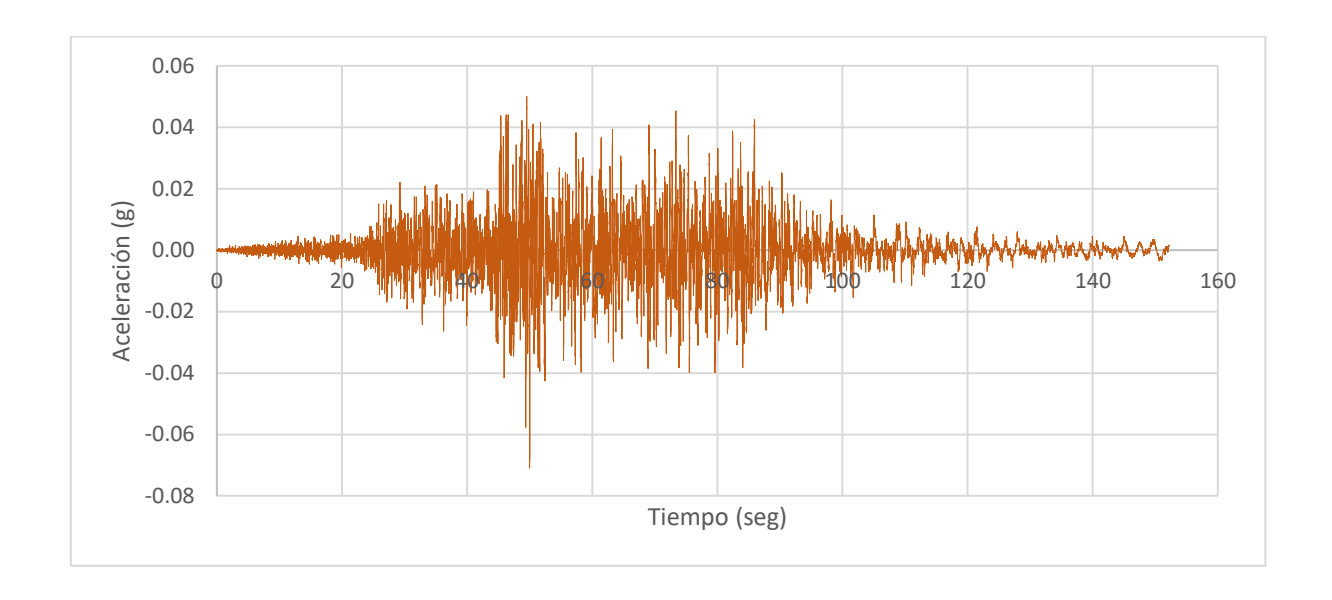


Figura 54Registro original de aceleraciones del sismo Iquique 1 en la dirección NS



Se realizó la corrección de línea base y filtrado de frecuencias mediante el uso del software SeismoSignal v2025.

Figura 55

Registro de aceleración, velocidad y desplazamiento del sismo Iquique 1 en la dirección

Este-Oeste, corregido y filtrado

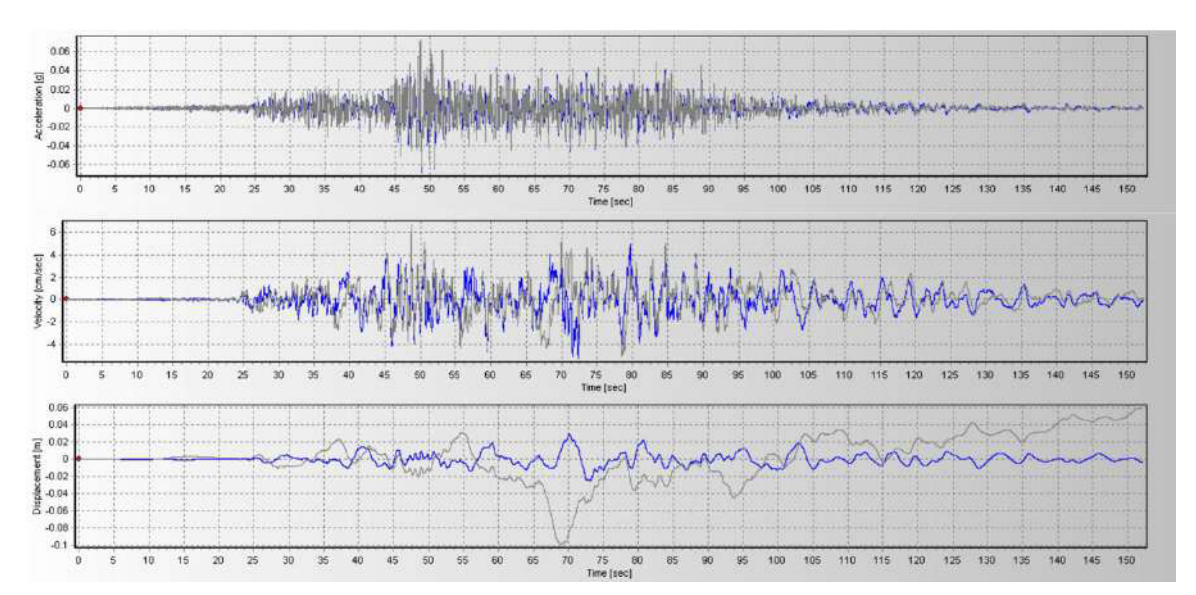
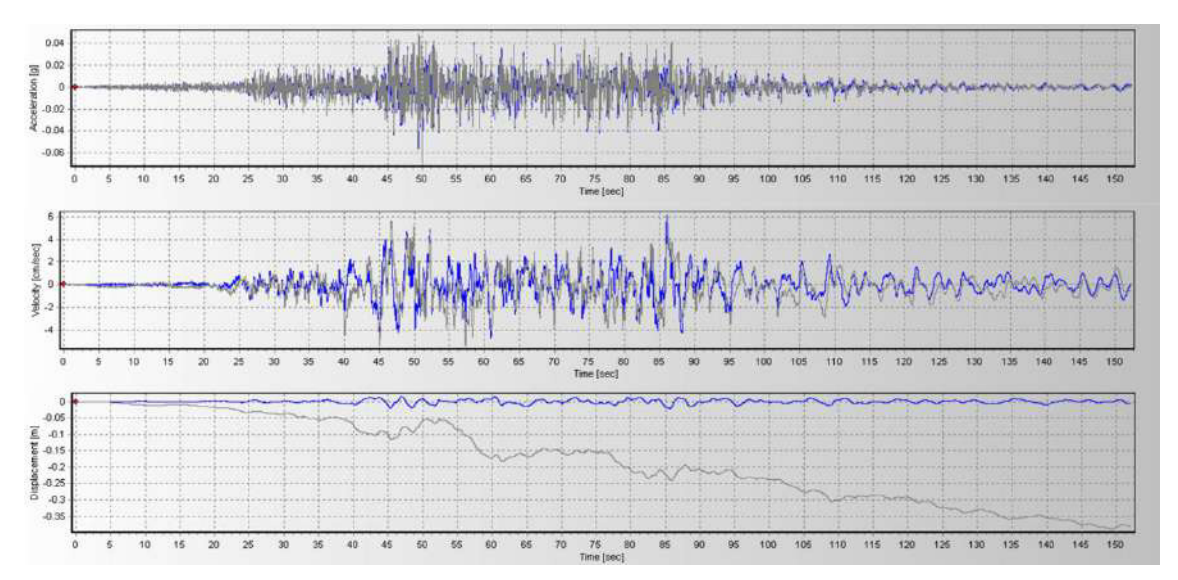


Figura 56Registro de aceleración, velocidad y desplazamiento del sismo Iquique 1 en la dirección
Norte-Sur, corregido y filtrado



Se escaló el espectro del sismo Iquique 1 (corregido y filtrado) al espectro objetivo o SMC mediante el uso del software SeismoMatch v2025. Cada par de registro fue escalado en el rango de periodos $0.20T_{\rm M}$ calculado usando las propiedades en límite superior y $1.25T_{\rm M}$ usando las propiedades en límite inferior.

Figura 57

Espectro del sismo Iquique 1 en la dirección EW escalado al SMC

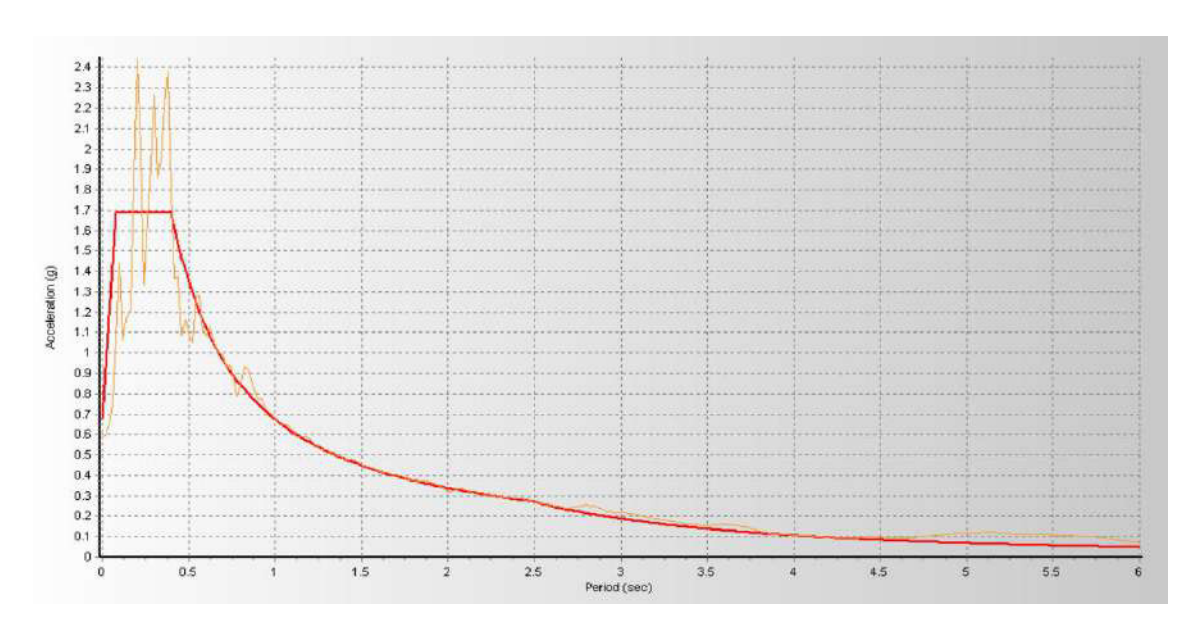
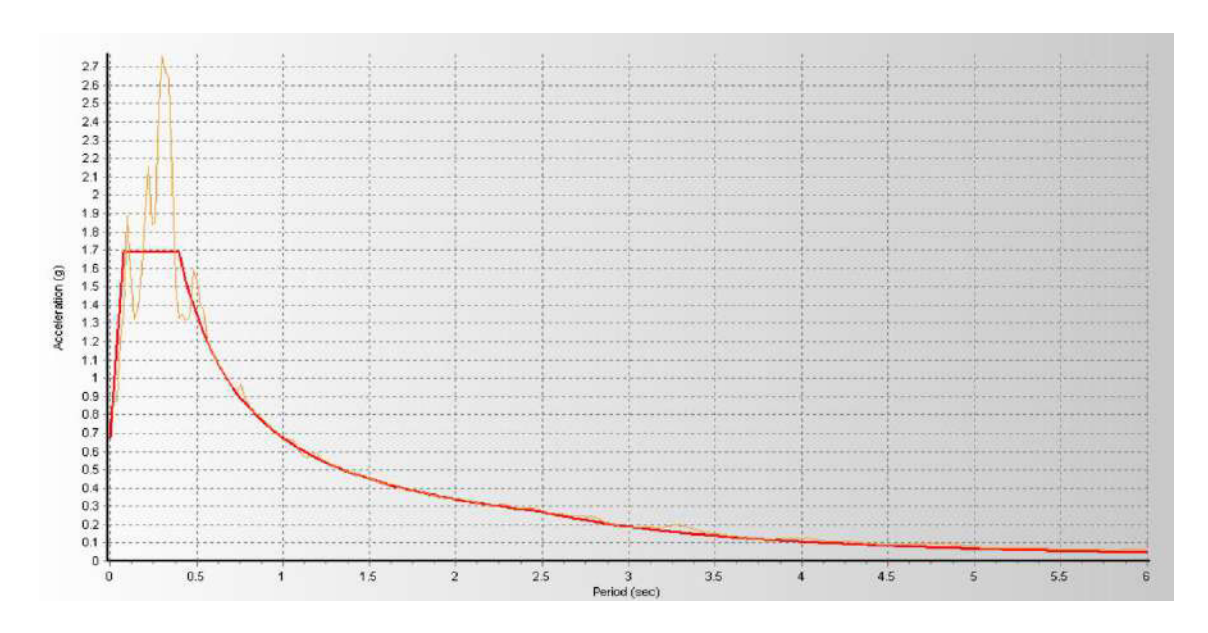


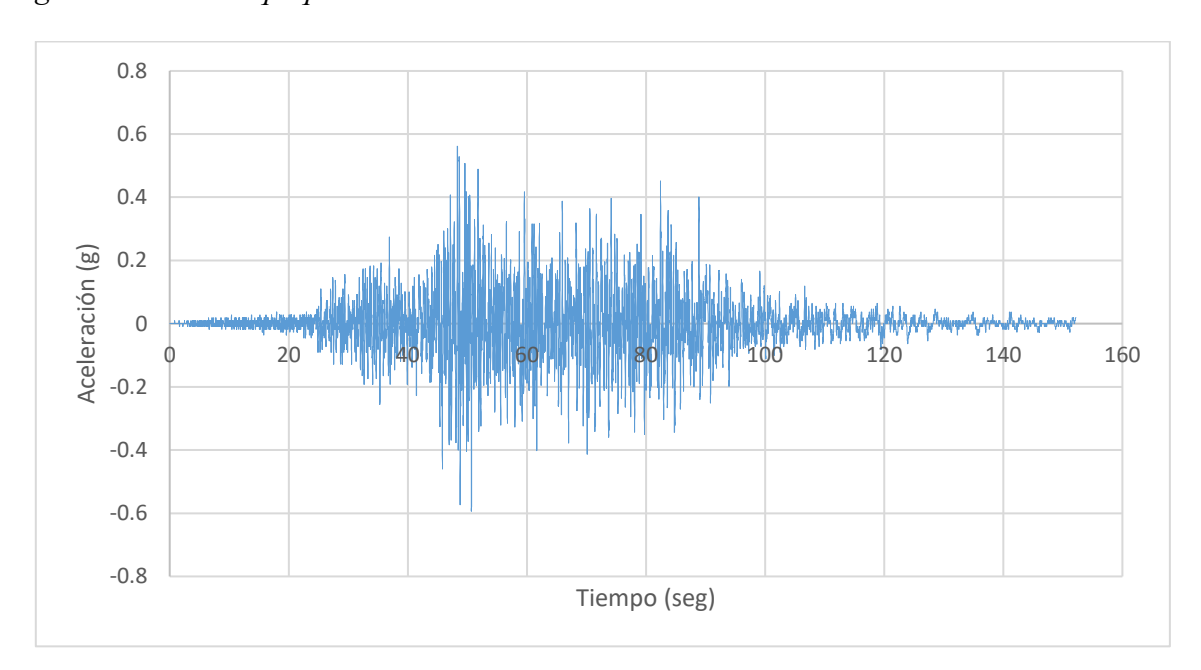
Figura 58

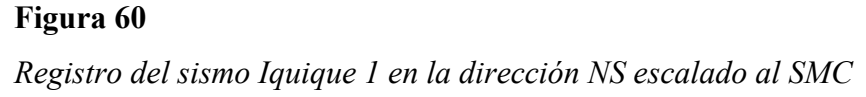
Espectro del sismo Iquique 1 en la dirección NS escalado al SMC

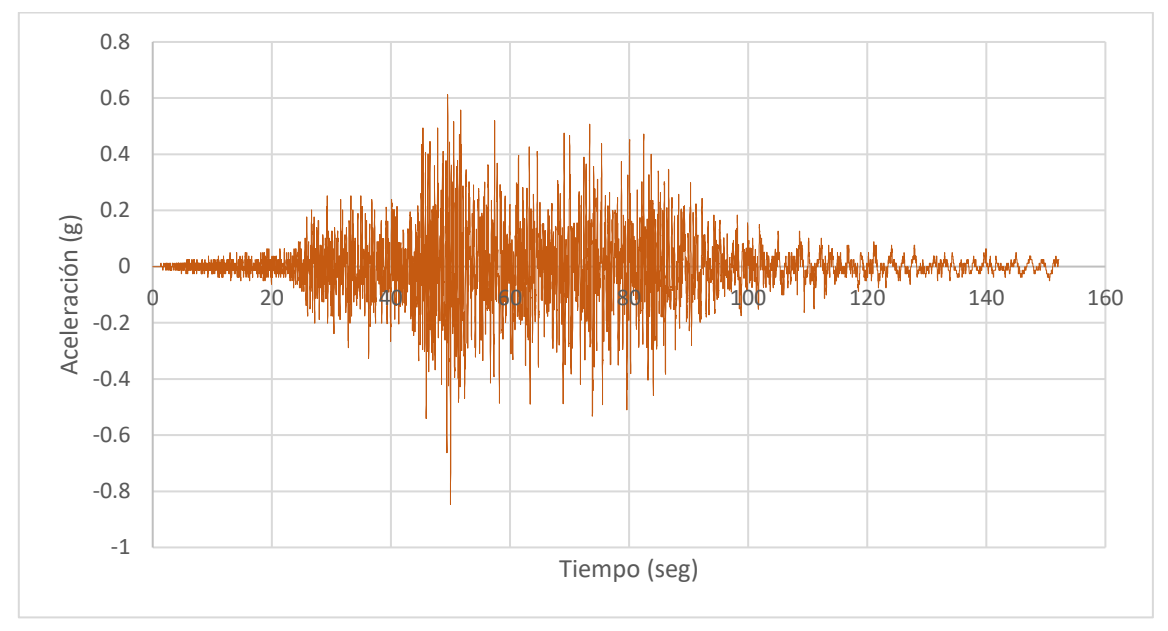


Se obtuvo finalmente el registro corregido, filtrado y escalado tal como se muestra en las figuras 55 y 56, los cuales fueron usados en los modelos numéricos en el software ETABS versión 22.5.0.

Figura 59Registro del sismo Iquique 1 en la dirección EW escalado al SMC







3.6.4.2. Modelamiento numérico para el análisis tiempo-historia. Se hicieron modelos numéricos en el software ETABS versión 22.5.0 para las condiciones nominales, de límite superior e inferior.

Se procedió a definir una función tiempo-historia tipo rampa y luego un caso de carga utilizando el FNA (Fast Nonlinear Analysis) que incluyó la función tipo rampa, considerando además un amortiguamiento del 99.99% en todos los modos de vibración con el objetivo de evitar que el edificio permanezca vibrando verticalmente (Melendrez y Pantoja, 2020).

Figura 61Función tiempo-historia tipo rampa

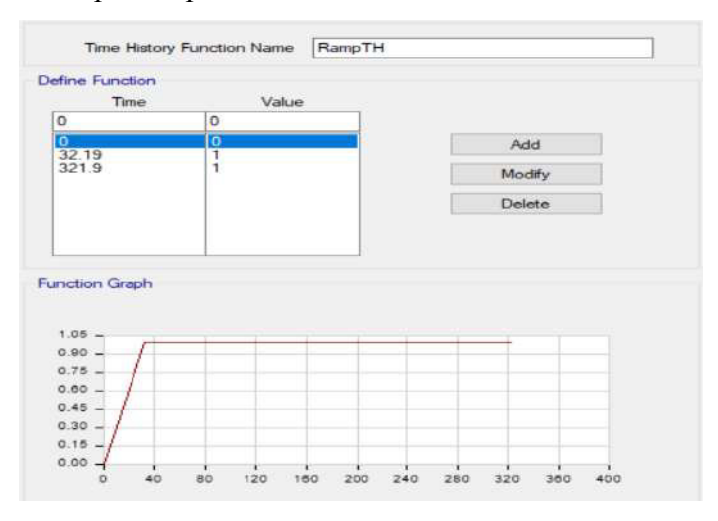
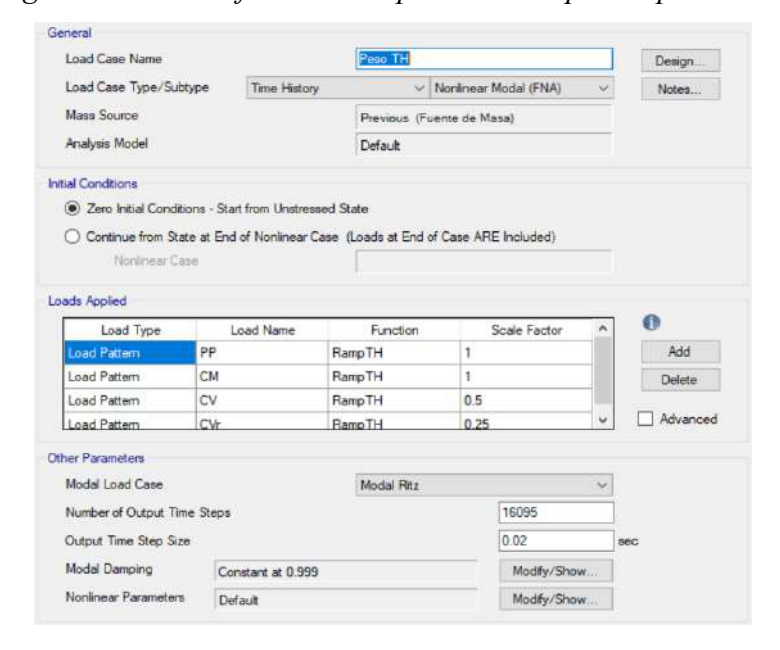


Figura 62

Caso de carga de gravedad con la función tiempo-historia tipo rampa



Se procedió a definir los registros ya procesados como una función tiempo historia en el software ETABS versión 22.5.0.

Figura 63 *Registro Iquique 1 en la dirección EW*

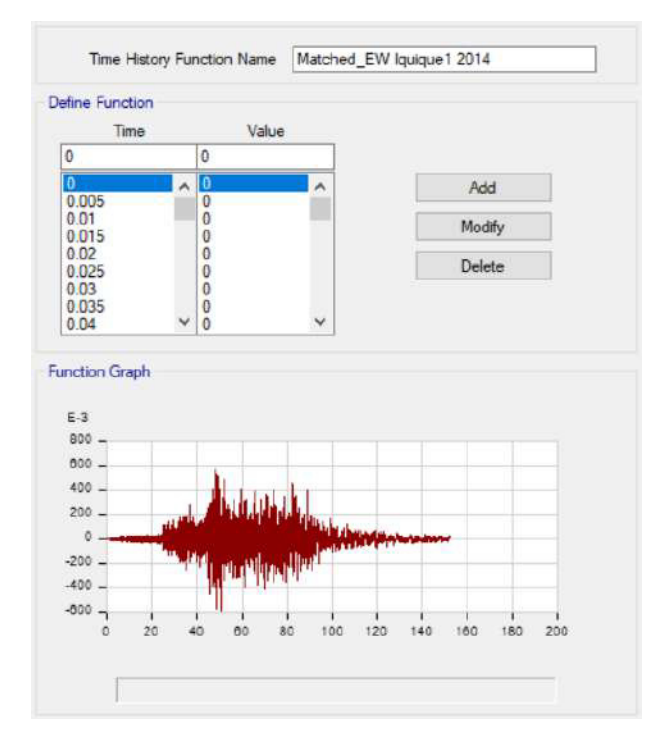
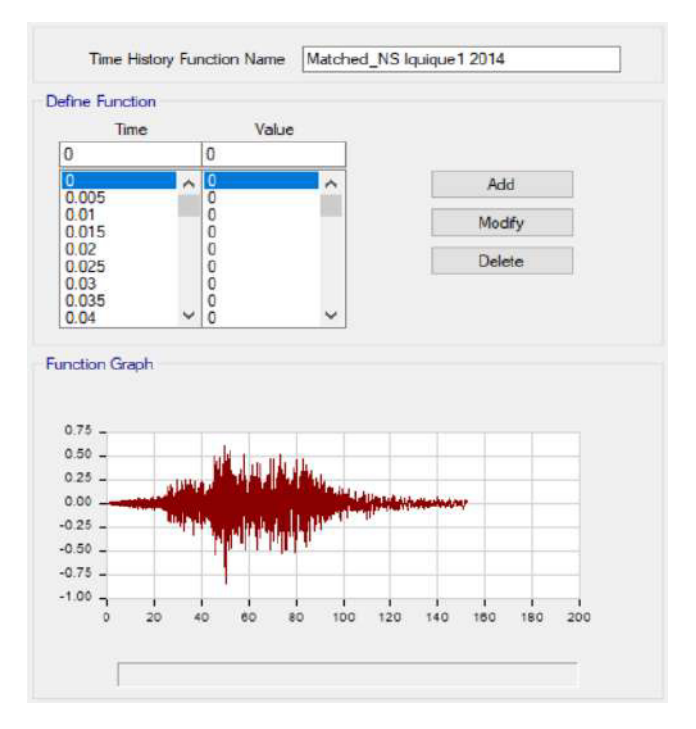


Figura 64 *Registro Iquique 1 en la dirección NS*



Según el artículo 15 de la Norma E.031 (MVCS, 2020), se le asignó un 90% de participación al espectro en la dirección de análisis principal y un 44% al espectro en la otra dirección perpendicular, modificando el factor de escala con la aceleración de la gravedad (9.81 m/s²). Lo anterior fue considerado como caso de carga para cada registro sísmico y en las dos direcciones de análisis, utilizando también el FNA.

Figura 65

Caso de carga para el sismo Iquique 1 en la dirección EW

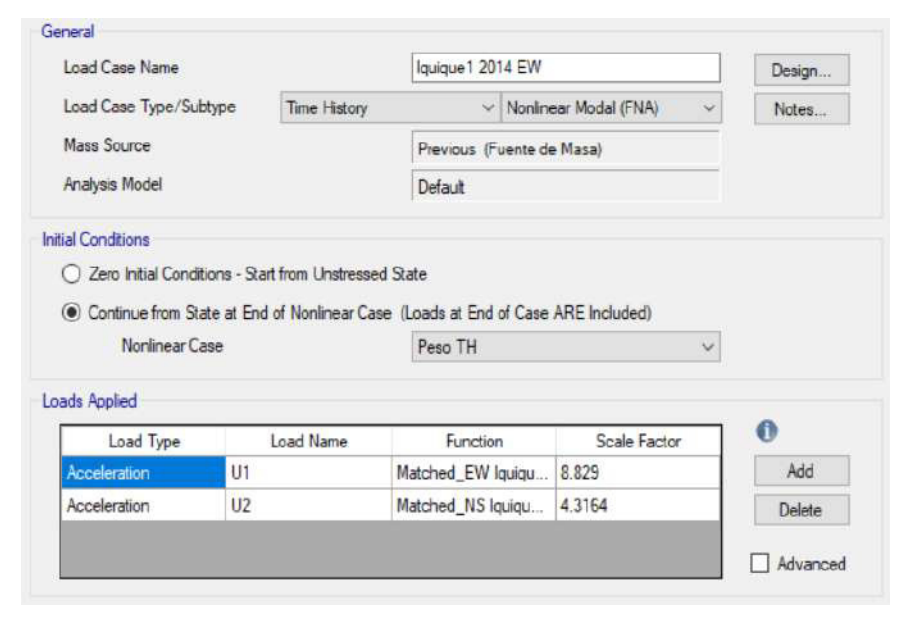
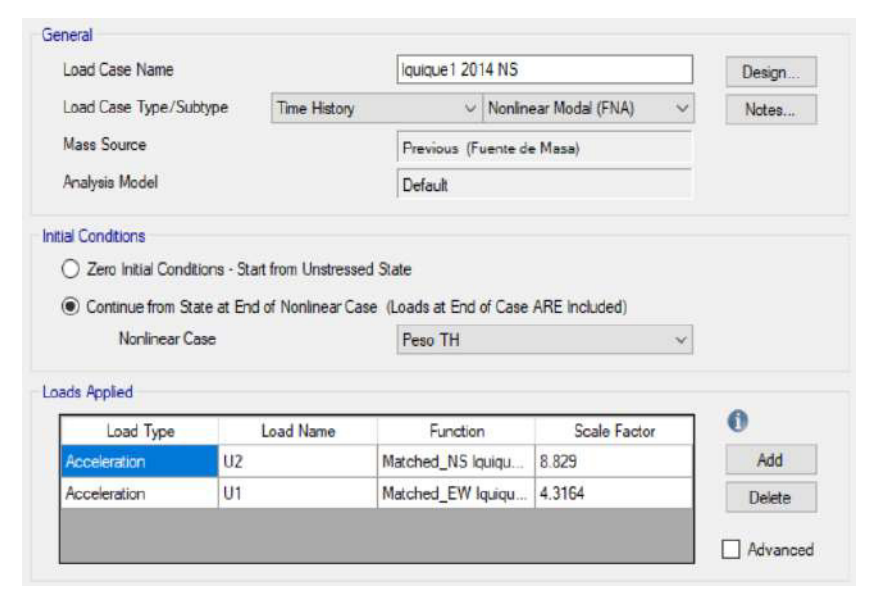


Figura 66Caso de carga para el sismo Iquique 1 en la dirección NS



Se procedió a calcular los parámetros no lineales de los dispositivos de aislamiento para las condiciones nominales, de límite inferior y de límite superior (véase Anexo C), los cuales fueron modelados en el software ETABS versión 22.5.0 como elementos tipo link. En las figuras 63, 64, 65 y 66 se muestran los parámetros no lineales de algunos dispositivos en límite superior.

Figura 67

Parámetros no lineales del dispositivo LRB 1 del sistema LRB+SL

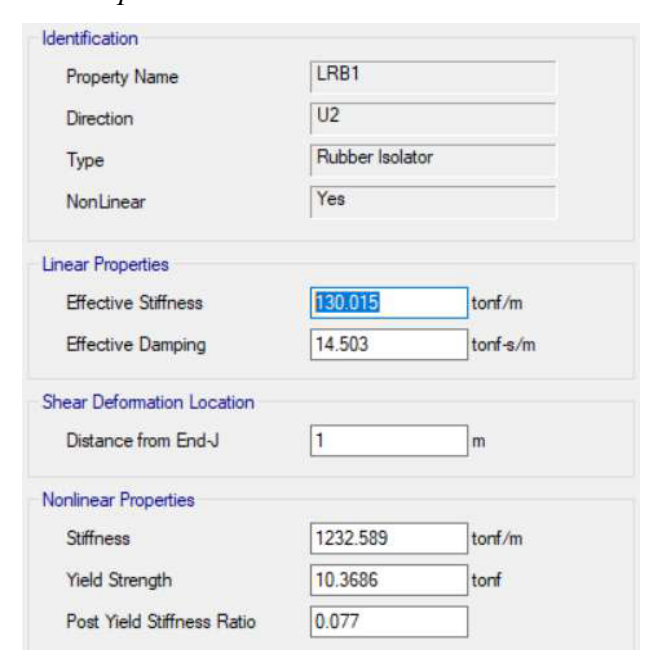


Figura 68Parámetros no lineales del dispositivo SL del sistema LRB+SL

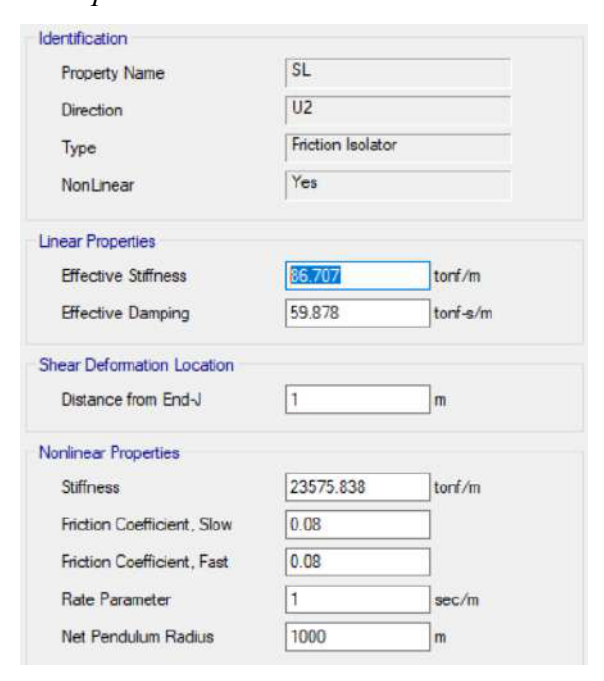


Figura 69Parámetros no lineales del dispositivo HDR 1 del sistema LRB+HDR+SL

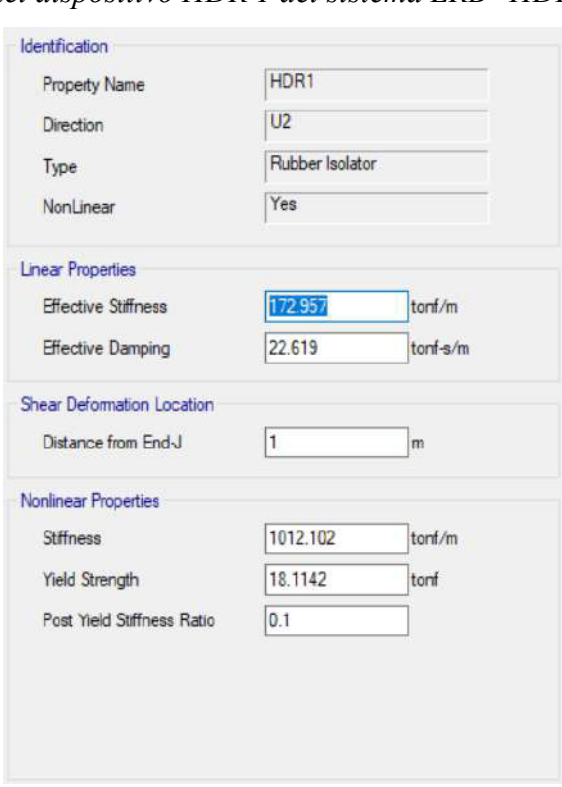
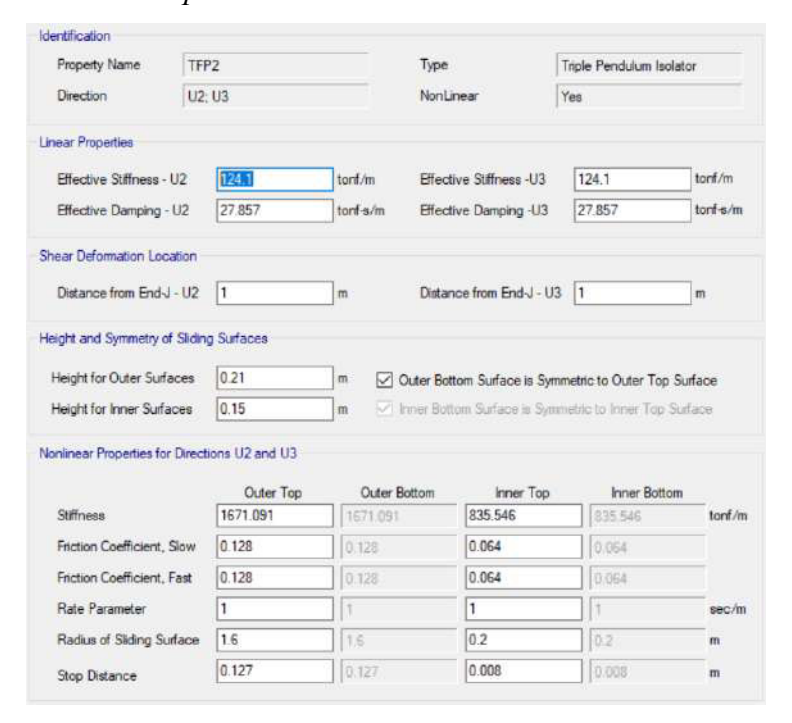


Figura 70Parámetros no lineales del dispositivo TFP 2 del sistema TFP



3.6.4.3. Límites para fuerzas cortantes V_b y V_s. El artículo 26 de la Norma E.031 (MVCS, 2020) indica que para el análisis tiempo-historia en estructuras regulares, las fuerzas laterales en elementos estructurales sobre el sistema de aislamiento deben limitarse a que la fuerza cortante que actúa en el sistema de aislamiento (V_b) no debe ser menor al 80% de V_b obtenida mediante el análisis estático, mientras que la fuerza cortante en la base de la superestructura aislada (V_s) no debe ser menor al 100% de V_s obtenida mediante el análisis estático.

Tabla 47Fuerzas laterales mínimas para los sistemas de aislamiento

Sistema de	Fuerza	Análisis	Análisis no lineal tiempo-historia				
Aislamiento	Cortante	Estático	X			Y	
LRB+SL	V _b (tonf)	998.12	952.37	95.42% V _b	1011.04	101.30% V _b	
	V_s (tonf)	913.16	935.65	$102.46\%~V_s$	985.68	$107.94\%~V_s$	
LRB+HDR	V _b (tonf)	938.37	957.65	$102.05\%~V_b$	1028.32	$109.59\%~V_b$	
+SL	V_s (tonf)	864.09	943.99	$109.25\%~V_s$	974.94	$112.83\%~V_s$	
TFP	V _b (tonf)	1007.79	938.09	$93.08\%~V_b$	1005.46	$99.77\%~V_b$	
	V_s (tonf)	924.12	925.97	$100.20\%~V_s$	962.66	$104.17\%~V_s$	

Nota. V_b y V_s fueron analizadas en límite superior.

3.7. Análisis de datos

Se efectuó mediante estadística descriptiva, la cual fue aplicada a cada indicador de la variable dependiente, donde los resultados encontrados fueron representados mediante tabulaciones, diagramas de dispersión e histogramas.

IV. RESULTADOS

Fueron obtenidos mediante el análisis dinámico no lineal tiempo-historia para los tres sistemas de aislamiento sísmico evaluados, determinados para los siete pares de registros sísmicos y su promedio en las direcciones de análisis X e Y, tal cual se indica en el artículo 25 de la Norma E.031 (MVCS, 2020).

Derivas de entrepiso

Las máximas derivas de entrepiso fueron determinadas considerando las propiedades de límite superior.

La Norma E.031 (MVCS, 2020) indica que las máximas derivas de entrepiso determinadas mediante el ANLTH no deben ser mayores a 0.005, sin embargo, en el capítulo 5 del manual técnico HAZUS-MH MR4 (FEMA, 2003) se indica que las máximas derivas de entrepiso no deben ser mayores a 0.0033, siendo este último más exigente.

A continuación, se muestran las máximas derivas de entrepiso de la superestructura obtenidas al usar el sistema LRB+SL para cada registro de aceleración.

Tabla 48Máximas derivas de entrepiso para el sistema LRB+SL en el eje X

	Derivas Máximas X-X (LRB+SL)									
Nivel	Huacho 1966	Huaraz 1970	Cañete 1974	Ilo 2001	Tacna 2010	Iquique 1 2014	Iquique 2 2014			
5	0.000603	0.000628	0.000537	0.000796	0.000449	0.000625	0.000769			
4	0.000822	0.001028	0.000862	0.001189	0.000720	0.001020	0.001240			
3	0.001140	0.001317	0.001104	0.001352	0.000944	0.001336	0.001576			
2	0.001257	0.001352	0.001247	0.001256	0.001138	0.001436	0.001627			
1	0.001047	0.001051	0.001043	0.001017	0.001070	0.001146	0.001257			

 $\begin{tabular}{ll} Figura~71 \\ \it M\'{a}ximas~derivas~de~entrepiso~para~el~sistema~LRB+SL~en~el~eje~X \\ \end{tabular}$

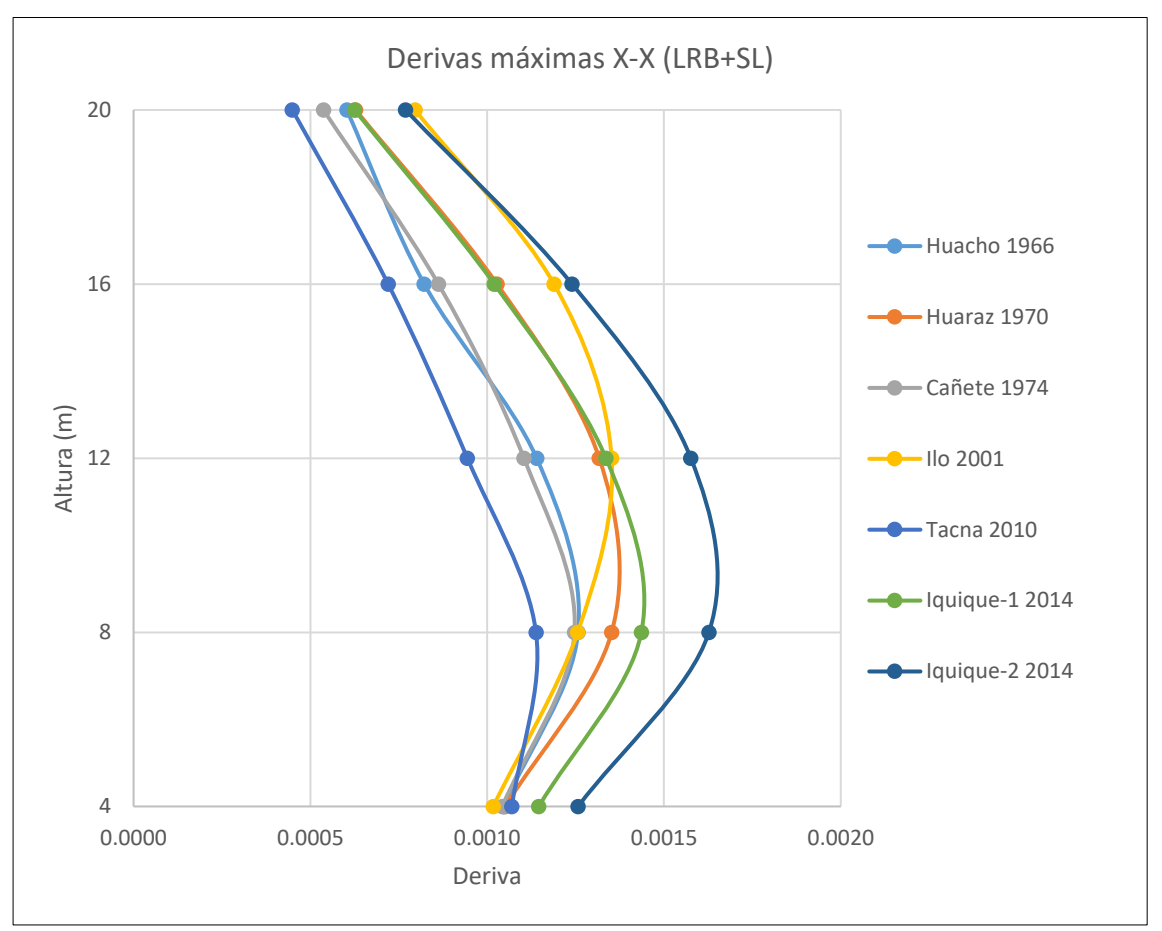
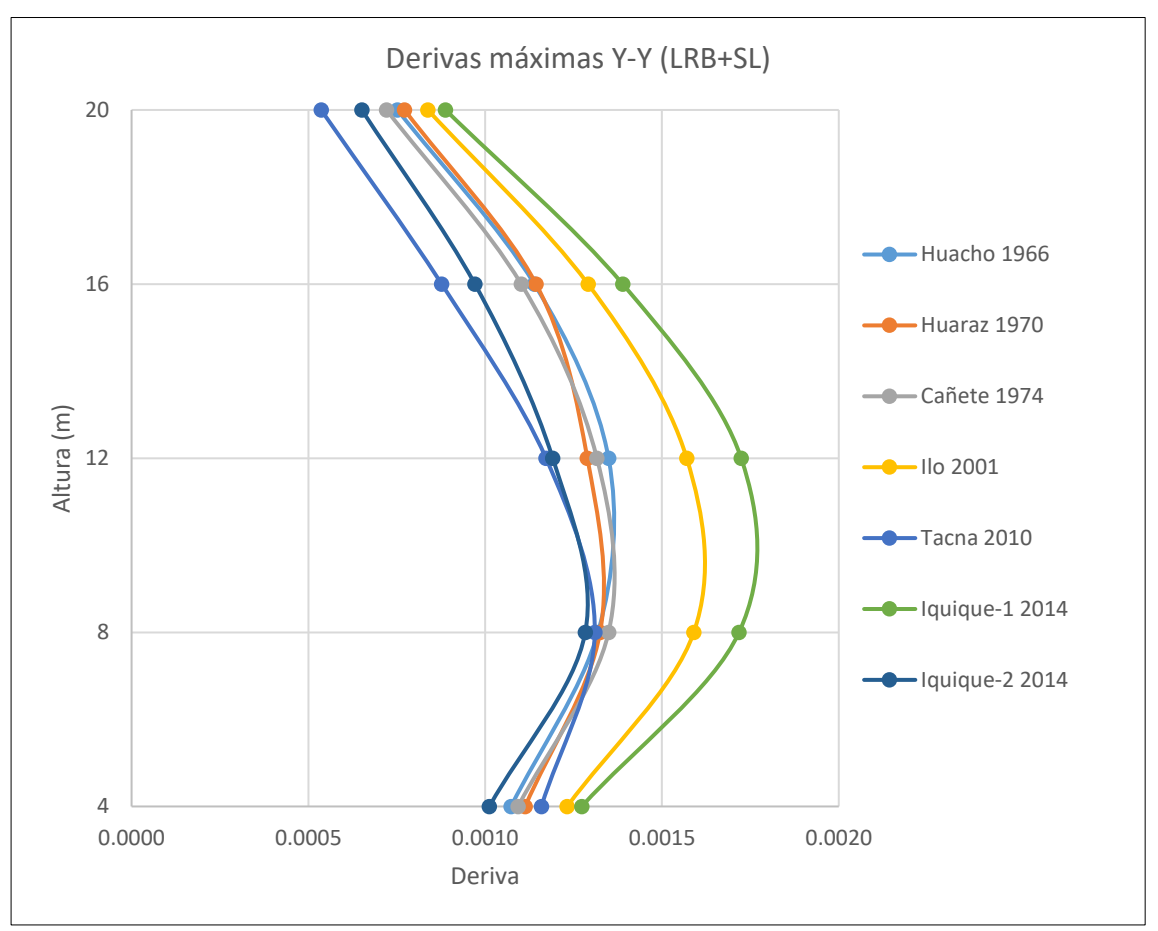


Tabla 49Máximas derivas de entrepiso para el sistema LRB+SL en el eje Y

	Derivas Máximas Y-Y (LRB+SL)									
Nivel	Huacho 1966	Huaraz 1970	Cañete 1974	Ilo 2001	Tacna 2010	Iquique 1 2014	Iquique 2 2014			
5	0.000752	0.000772	0.000721	0.000838	0.000536	0.000888	0.000651			
4	0.001139	0.001144	0.001102	0.001291	0.000877	0.001389	0.000971			
3	0.001349	0.001289	0.001316	0.001570	0.001172	0.001724	0.001191			
2	0.001319	0.001325	0.001349	0.001590	0.001310	0.001718	0.001283			
1	0.001073	0.001113	0.001093	0.001232	0.001159	0.001273	0.001012			

Figura 72 *Máximas derivas de entrepiso para el sistema LRB+SL en el eje Y*



A continuación, se muestran las máximas derivas de entrepiso de la superestructura obtenidas al usar el sistema LRB+HDR+SL para cada registro de aceleración.

Tabla 50Máximas derivas de entrepiso para el sistema LRB+HDR+SL en el eje X

	Derivas Máximas X-X (LRB+HDR+SL)									
Nivel	Huacho	Huaraz	Cañete	Ilo	Tacna	Iquique 1				
	1966	1970	1974	2001	2010	2014	2014			
5	0.000559	0.000627	0.000583	0.000639	0.000449	0.000572	0.000779			
4	0.000760	0.000995	0.000807	0.000999	0.000712	0.000878	0.001194			
3	0.000989	0.001275	0.001087	0.001236	0.000937	0.001188	0.001428			
2	0.001140	0.001307	0.001277	0.001279	0.001125	0.001272	0.001445			
1	0.001017	0.001052	0.001084	0.001038	0.001058	0.001003	0.001090			

Figura 73 *Máximas derivas de entrepiso para el sistema LRB+HDR+SL en el eje X*

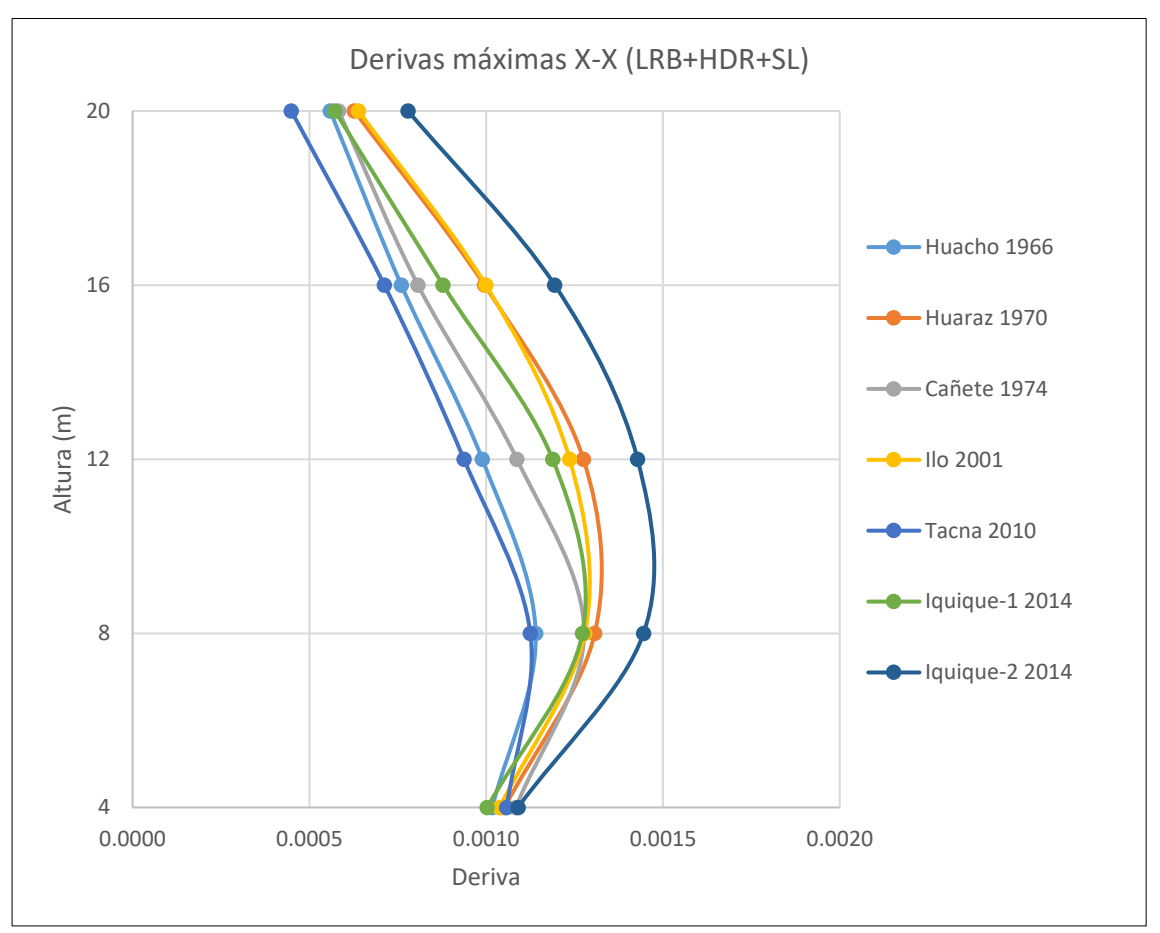
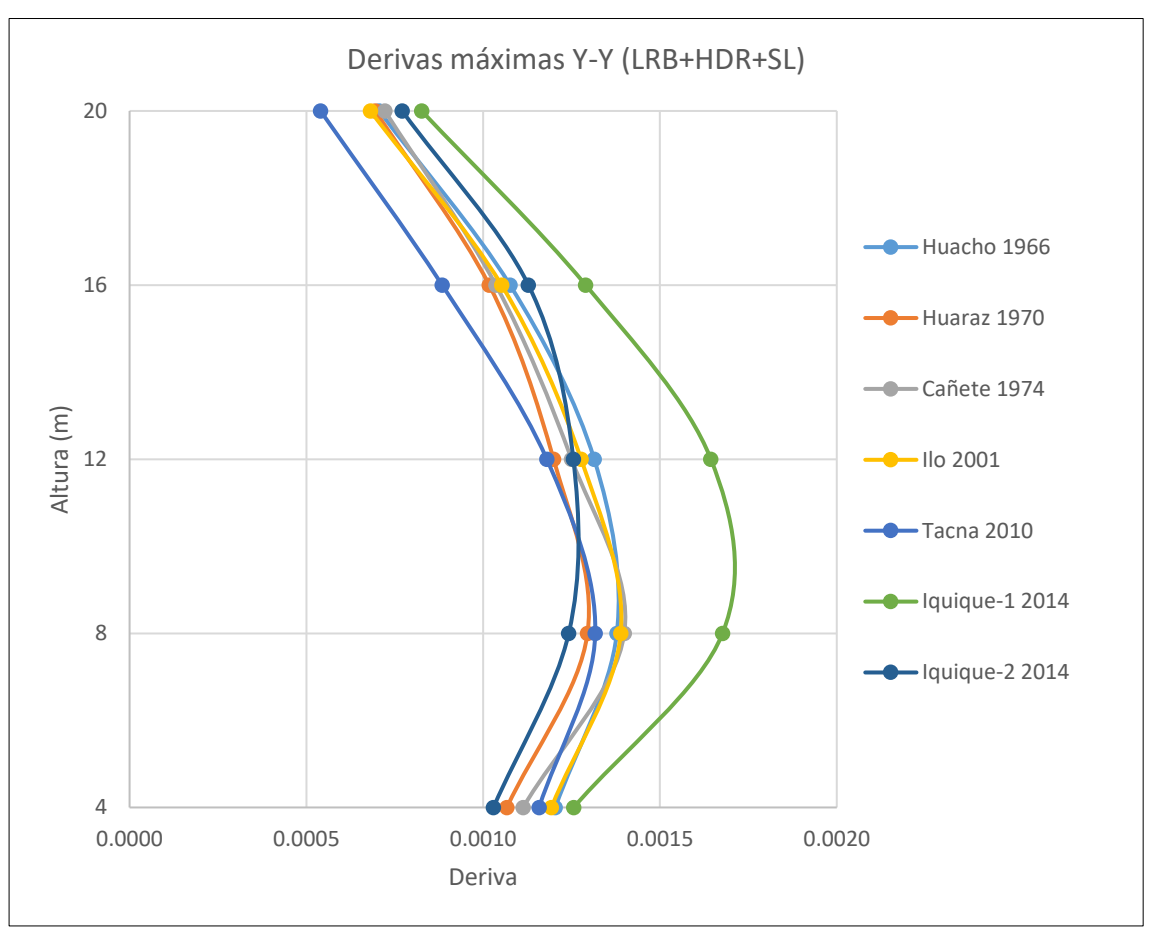


Tabla 51Máximas derivas de entrepiso para el sistema LRB+HDR+SL en el eje Y

	Derivas Máximas Y-Y (LRB+HDR+SL)									
Nivel	Huacho 1966	Huaraz 1970	Cañete 1974	Ilo 2001	Tacna 2010	Iquique 1 2014	Iquique 2 2014			
5	0.000706	0.000695	0.000722	0.000681	0.000540	0.000826	0.000771			
4	0.001076	0.001017	0.001036	0.001052	0.000884	0.001290	0.001128			
3	0.001314	0.001199	0.001250	0.001277	0.001180	0.001644	0.001255			
2	0.001378	0.001295	0.001399	0.001389	0.001317	0.001677	0.001242			
1	0.001204	0.001067	0.001113	0.001193	0.001158	0.001256	0.001029			

Figura 74 *Máximas derivas de entrepiso para el sistema LRB+HDR+SL en el eje Y*



A continuación, se muestran las máximas derivas de entrepiso de la superestructura obtenidas al usar el sistema TFP para cada registro de aceleración.

Tabla 52Máximas derivas de entrepiso para el sistema TFP en el eje X

	Derivas Máximas X-X (TFP)									
Nivel	Huacho 1966	Huaraz 1970	Cañete 1974	Ilo 2001	Tacna 2010	Iquique 1 2014	Iquique 2 2014			
5	0.000484	0.000537	0.000432	0.000463	0.000504	0.000476	0.000657			
4	0.000776	0.000837	0.000720	0.000773	0.000811	0.000777	0.001065			
3	0.000966	0.001012	0.000961	0.001024	0.001018	0.000999	0.001363			
2	0.001007	0.001029	0.001080	0.001126	0.001039	0.001048	0.001432			
1	0.000888	0.000843	0.000959	0.000966	0.000848	0.000850	0.001145			

Figura 75 $\textit{Máximas derivas de entrepiso para el sistema TFP en el eje <math>X$

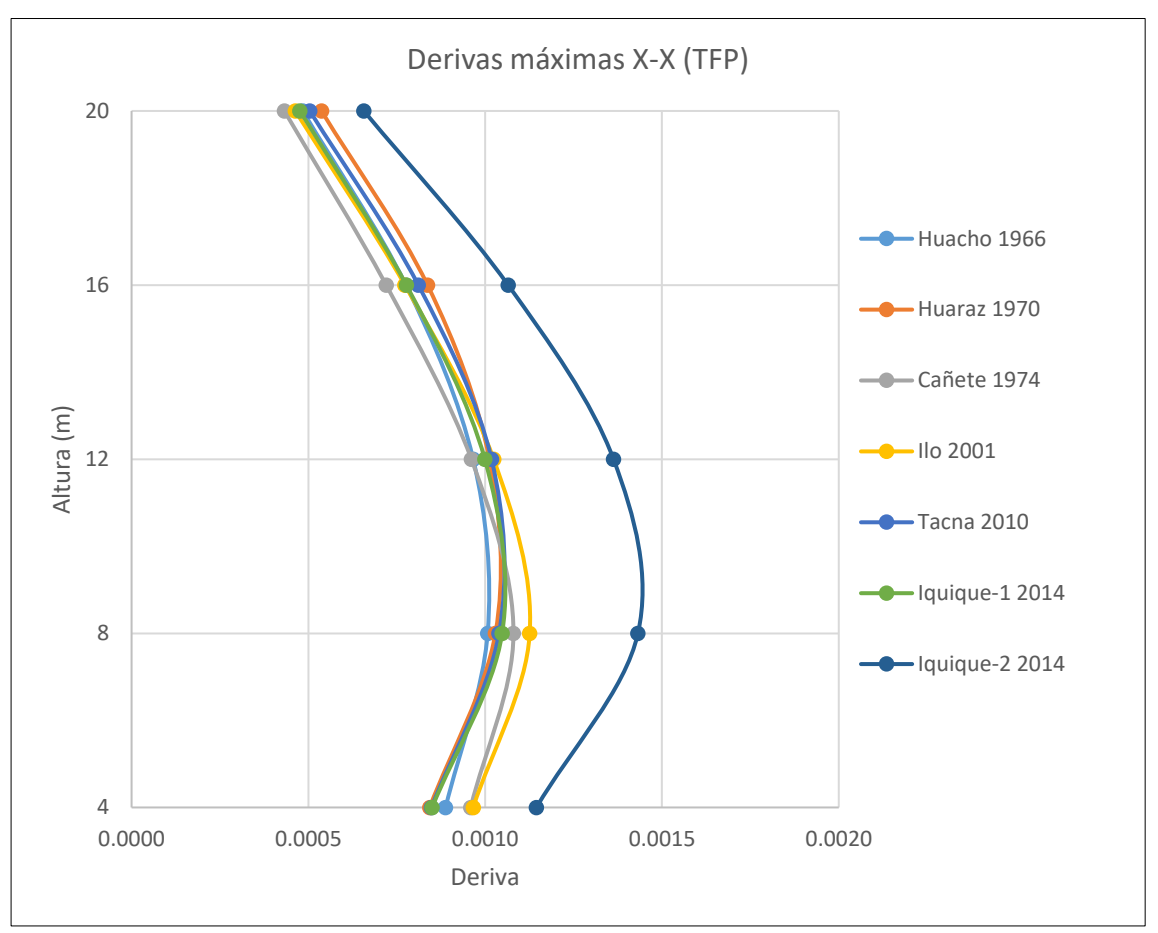
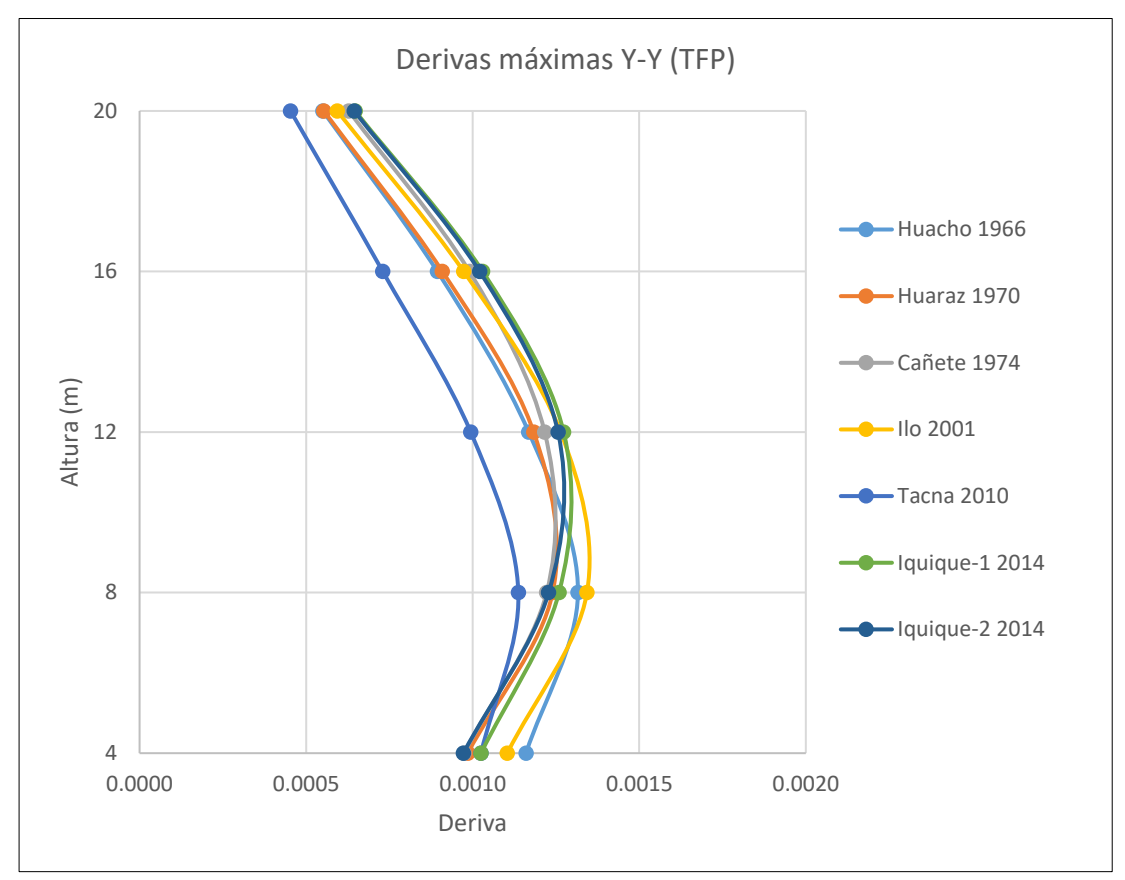


Tabla 53Máximas derivas de entrepiso para el sistema TFP en el eje Y

	Derivas Máximas Y-Y (TFP)									
Nivel	Huacho 1966	Huaraz 1970	Cañete 1974	Ilo 2001	Tacna 2010	Iquique 1 2014	Iquique 2 2014			
5	0.000550	0.000553	0.000628	0.000593	0.000453	0.000647	0.000644			
4	0.000894	0.000909	0.000990	0.000973	0.000730	0.001030	0.001021			
3	0.001168	0.001183	0.001216	0.001264	0.000994	0.001273	0.001256			
2	0.001316	0.001240	0.001222	0.001343	0.001137	0.001259	0.001228			
1	0.001160	0.000985	0.000974	0.001104	0.001025	0.001025	0.000972			

Figura 76 *Máximas derivas de entrepiso para el sistema TFP en el eje Y*



A continuación, se muestra el promedio de las máximas derivas de entrepiso de los siete pares de registros de aceleración utilizados en la superestructura para los tres sistemas de aislamiento.

Tabla 54Derivas máximas promedio para los tres sistemas de aislamiento

	4.14	Derivas máximas promedio									
Nivel	Altura (m)	LRE	8+SL	LRB+H	DR+SL	TFP					
	(111)	X-X	Y-Y	X-X	Y-Y	X-X	Y-Y				
5	20.00	0.000630	0.000737	0.000601	0.000706	0.000508	0.000581				
4	16.00	0.000983	0.001130	0.000906	0.001069	0.000823	0.000935				
3	12.00	0.001253	0.001373	0.001163	0.001303	0.001049	0.001193				
2	8.00	0.001330	0.001413	0.001264	0.001385	0.001109	0.001249				
1	4.00	0.001090	0.001136	0.001049	0.001146	0.000928	0.001035				

Figura 77Derivas máximas promedio de los tres sistemas de aislamiento en el eje X

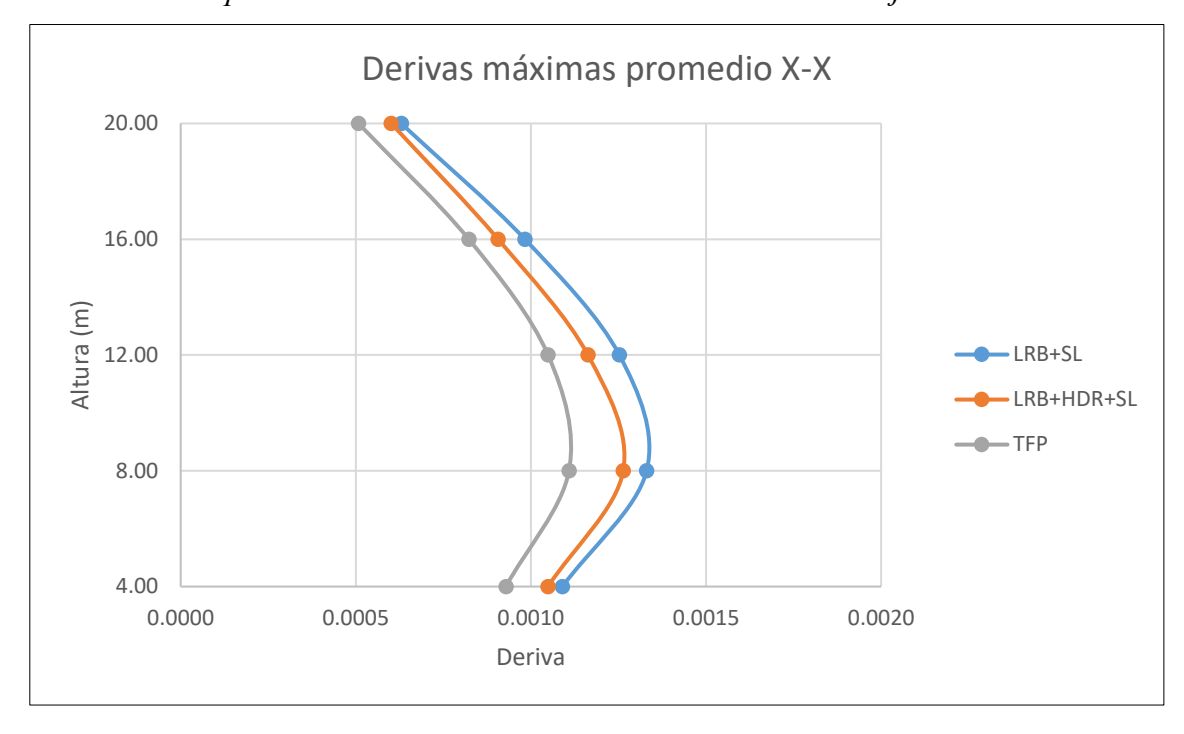
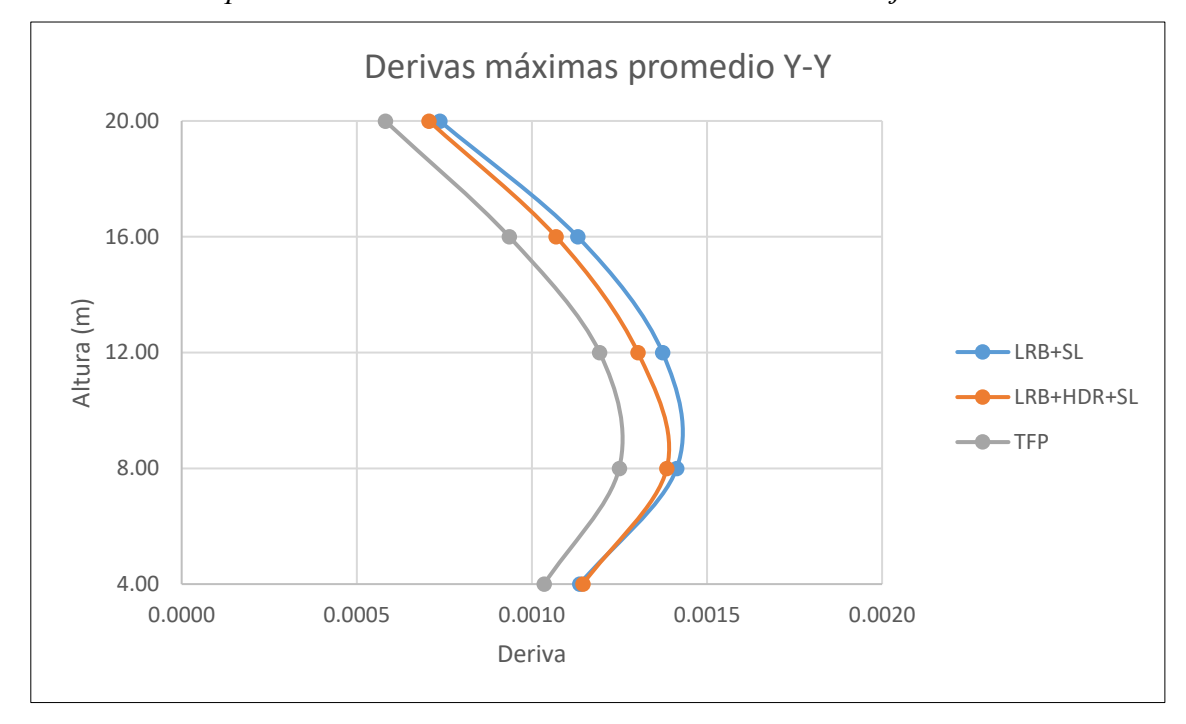


Figura 78Derivas máximas promedio de los tres sistemas de aislamiento en el eje Y



Se puede observar en las figuras 73 y 74 que ninguna de las derivas máximas promedio de entrepiso de los tres sistemas de aislamiento supera el límite de 0.0033 indicado en el

capítulo 5 del manual técnico HAZUS-MH MR4 (FEMA, 2003, p. 45) y menos aún el límite de 0.005 indicado en la Norma E.031 (MVCS, 2020c, p. 34).

Como se observa en la tabla 54, la máxima deriva promedio de entrepiso del sistema LRB+SL fue de 0.001330 en el eje X y de 0.001413 en el eje Y, para el caso del sistema LRB+HDR+SL fue de 0.001264 en el eje X y de 0.001385 en el eje Y, por último, para el caso del sistema TFP fue de 0.001109 en el eje X y de 0.001249 en el eje Y.

Se concluyó que el sistema TFP fue el que presentó las menores derivas de entrepiso para ambas direcciones de análisis X e Y.

Aceleraciones de piso

Las máximas aceleraciones de piso fueron determinadas considerando las propiedades de límite superior. La Norma E.031 (MVCS, 2020) no indica ningún tipo de restricción para las aceleraciones de piso, sin embargo, en el capítulo 5 del manual técnico HAZUS-MH MR4 (FEMA, 2003) se indica que estas no deben ser mayores a 0.30g.

A continuación, se muestran las máximas aceleraciones de piso de la superestructura obtenidas al usar el sistema LRB+SL para cada registro de aceleración.

Tabla 55Máximas aceleraciones de piso para el sistema LRB+SL en el eje X

	Aceleraciones Máximas X-X (LRB+SL)										
Nivel	Huacho 1966	Huaraz 1970	Cañete 1974	Ilo 2001	Tacna 2010	Iquique 1 2014	Iquique 2 2014				
5	0.369g	0.375g	0.296g	0.435g	0.281g	0.340g	0.377g				
4	0.229g	0.263g	0.211g	0.272g	0.173g	0.253g	0.301g				
3	0.223g	0.203g	0.202g	0.210g	0.167g	0.182g	0.190g				
2	0.209g	0.220g	0.189g	0.193g	0.145g	0.186g	0.192g				
1	0.211g	0.250g	0.191g	0.233g	0.190g	0.260g	0.287g				
Piso Técnico	0.307g	0.310g	0.269g	0.324g	0.206g	0.272g	0.353g				

Figura 79 *Máximas aceleraciones de piso para el sistema LRB+SL en el eje X*

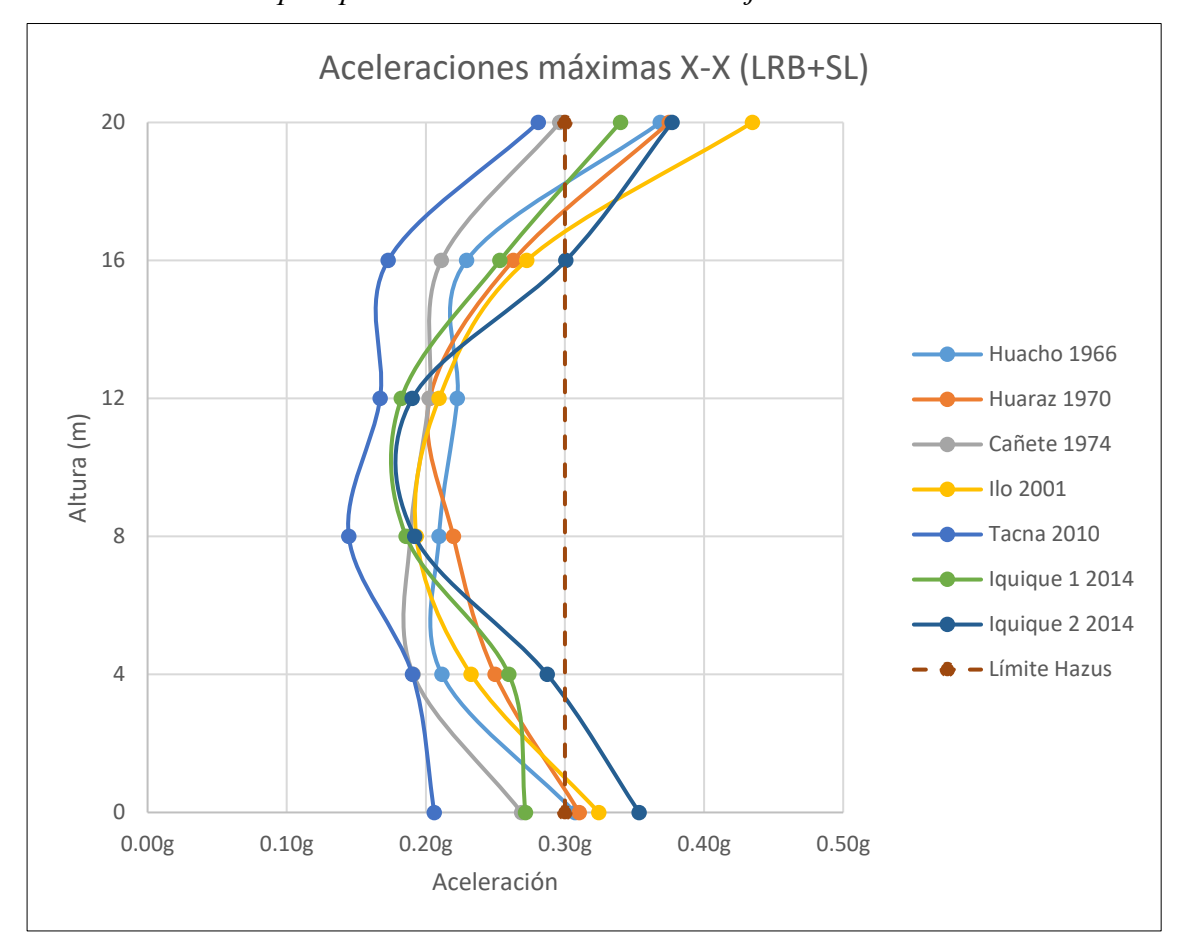
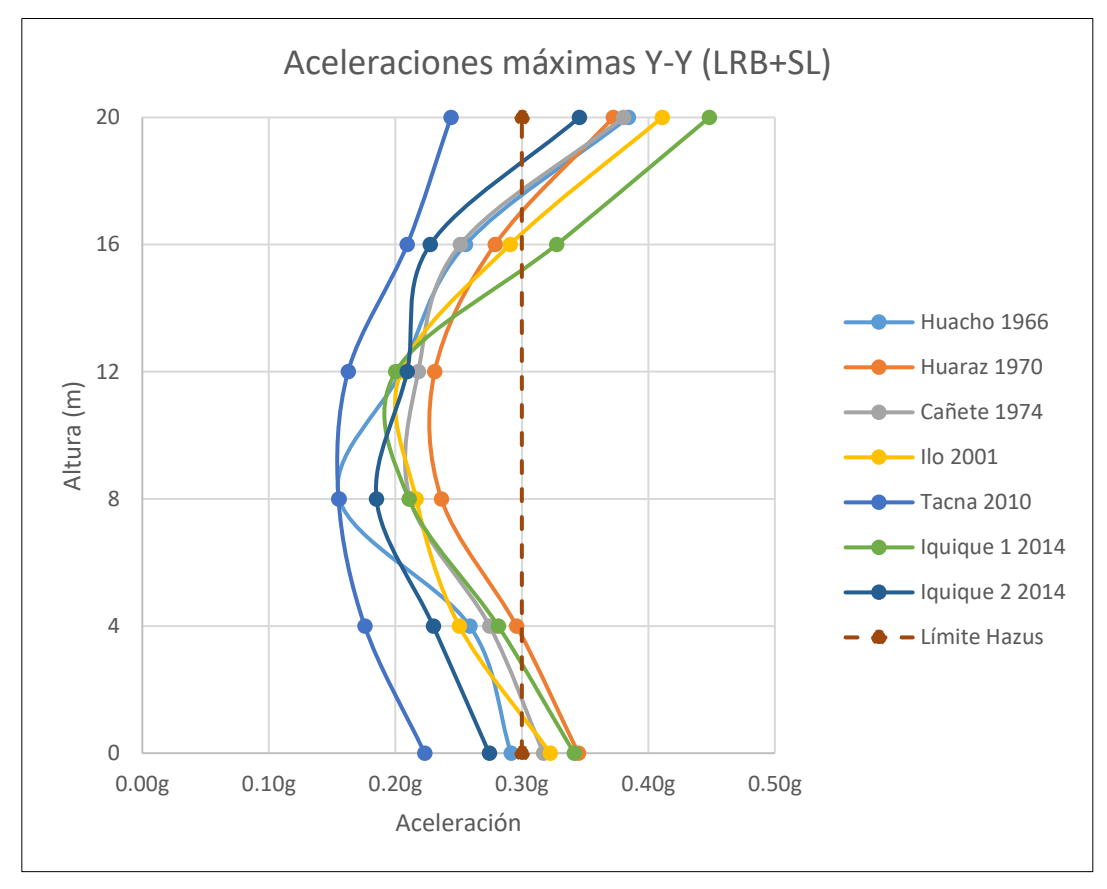


Tabla 56Máximas aceleraciones de piso para el sistema LRB+SL en el eje Y

	Aceleraciones Máximas Y-Y (LRB+SL)										
Nivel	Huacho 1966	Huaraz 1970	Cañete 1974	Ilo 2001	Tacna 2010	Iquique 1 2014	Iquique 2 2014				
5	0.384g	0.372g	0.380g	0.411g	0.244g	0.448g	0.345g				
4	0.255g	0.279g	0.251g	0.291g	0.209g	0.327g	0.228g				
3	0.205g	0.231g	0.218g	0.204g	0.163g	0.200g	0.209g				
2	0.156g	0.236g	0.212g	0.216g	0.155g	0.211g	0.185g				
1	0.259g	0.296g	0.275g	0.251g	0.176g	0.281g	0.230g				
Piso Técnico	0.291g	0.345g	0.317g	0.322g	0.223g	0.341g	0.274g				

Figura 80Máximas aceleraciones de piso para el sistema LRB+SL en el eje Y



A continuación, se muestran las máximas aceleraciones de piso de la superestructura obtenidas al usar el sistema LRB+HDR+SL para cada registro de aceleración.

Tabla 57Máximas aceleraciones de piso para el sistema LRB+HDR+SL en el eje X

Aceleraciones Máximas X-X (LRB+HDR+SL)										
Nivel	Huacho	Huaraz	Cañete	Ilo	Tacna	Iquique 1	Iquique 2			
	1966	1970	1974	2001	2010	2014	2014			
5	0.378g	0.387g	0.348g	0.344g	0.231g	0.316g	0.414g			
4	0.205g	0.256g	0.209g	0.254g	0.174g	0.234g	0.296g			
3	0.184g	0.199g	0.200g	0.196g	0.168g	0.184g	0.199g			
2	0.208g	0.226g	0.192g	0.203g	0.156g	0.182g	0.215g			
1	0.285g	0.258g	0.231g	0.257g	0.179g	0.243g	0.262g			
Piso Técnico	0.321g	0.323g	0.268g	0.299g	0.214g	0.253g	0.353g			

Figura 81 *Máximas aceleraciones de piso para el sistema LRB+HDR+SL en el eje X*

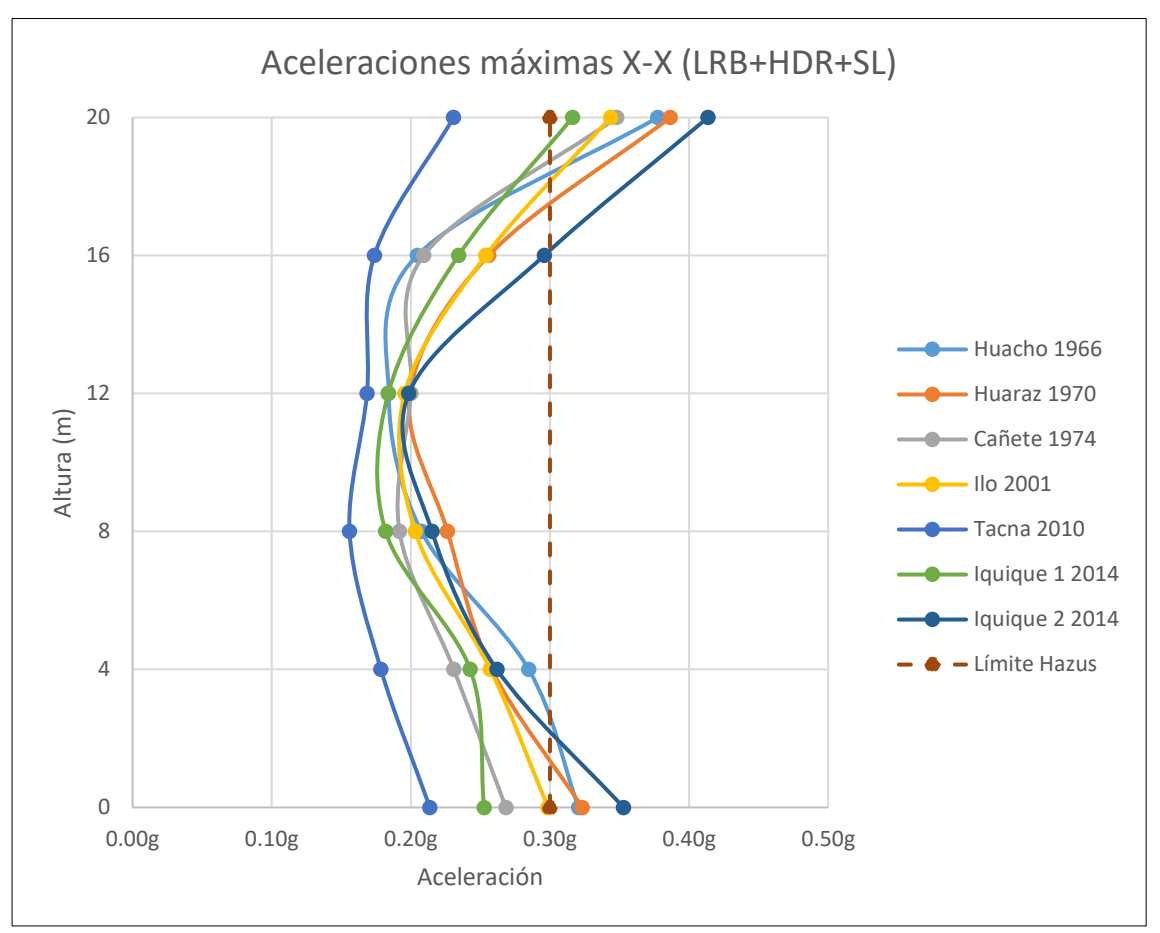
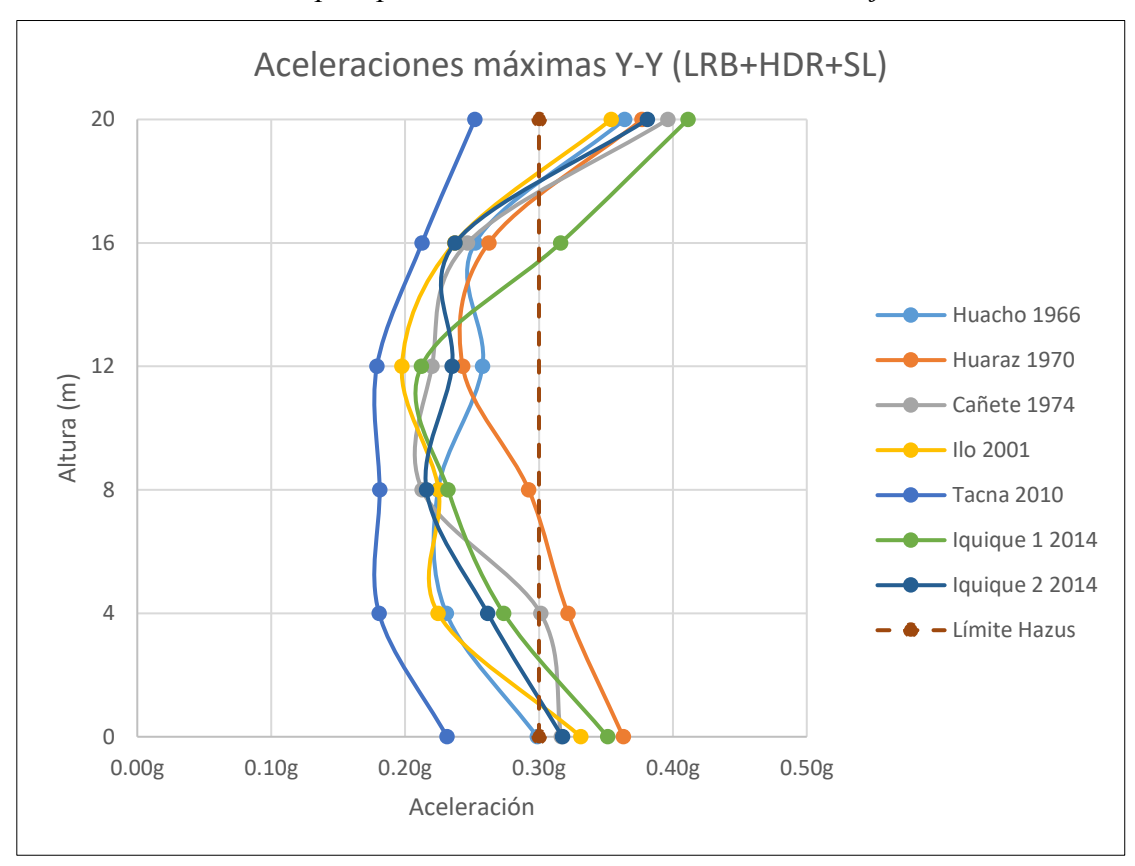


Tabla 58Máximas aceleraciones de piso para el sistema LRB+HDR+SL en el eje Y

	Aceleraciones Máximas Y-Y (LRB+HDR+SL)										
Nivel	Huacho 1966	Huaraz 1970	Cañete 1974	Ilo 2001	Tacna 2010	Iquique 1 2014	Iquique 2 2014				
5	0.364g	0.377g	0.396g	0.354g	0.252g	0.411g	0.381g				
4	0.252g	0.262g	0.247g	0.237g	0.213g	0.316g	0.237g				
3	0.258g	0.243g	0.220g	0.198g	0.179g	0.212g	0.235g				
2	0.225g	0.292g	0.213g	0.225g	0.181g	0.232g	0.216g				
1	0.231g	0.322g	0.301g	0.225g	0.181g	0.274g	0.262g				
Piso Técnico	0.299g	0.363g	0.317g	0.331g	0.231g	0.351g	0.317g				

Figura 82 *Máximas aceleraciones de piso para el sistema LRB+HDR+SL en el eje Y*



A continuación, se muestran las máximas aceleraciones de piso de la superestructura obtenidas al usar el sistema TFP para cada registro de aceleración.

Tabla 59Máximas aceleraciones de piso para el sistema TFP en el eje X

	Aceleraciones Máximas X-X (TFP)										
Nivel	Huacho 1966	Huaraz 1970	Cañete 1974	Ilo 2001	Tacna 2010	Iquique 1 2014	Iquique 2 2014				
5	0.250g	0.288g	0.211g	0.235g	0.240g	0.235g	0.311g				
4	0.193g	0.201g	0.164g	0.196g	0.193g	0.192g	0.247g				
3	0.140g	0.133g	0.139g	0.135g	0.127g	0.134g	0.162g				
2	0.135g	0.128g	0.118g	0.132g	0.127g	0.119g	0.137g				
1	0.168g	0.170g	0.137g	0.160g	0.173g	0.177g	0.230g				
Piso Técnico	0.233g	0.225g	0.182g	0.204g	0.210g	0.206g	0.259g				

Figura 83 $M\'{a}ximas\ aceleraciones\ de\ piso\ para\ el\ sistema\ TFP\ en\ el\ eje\ X$

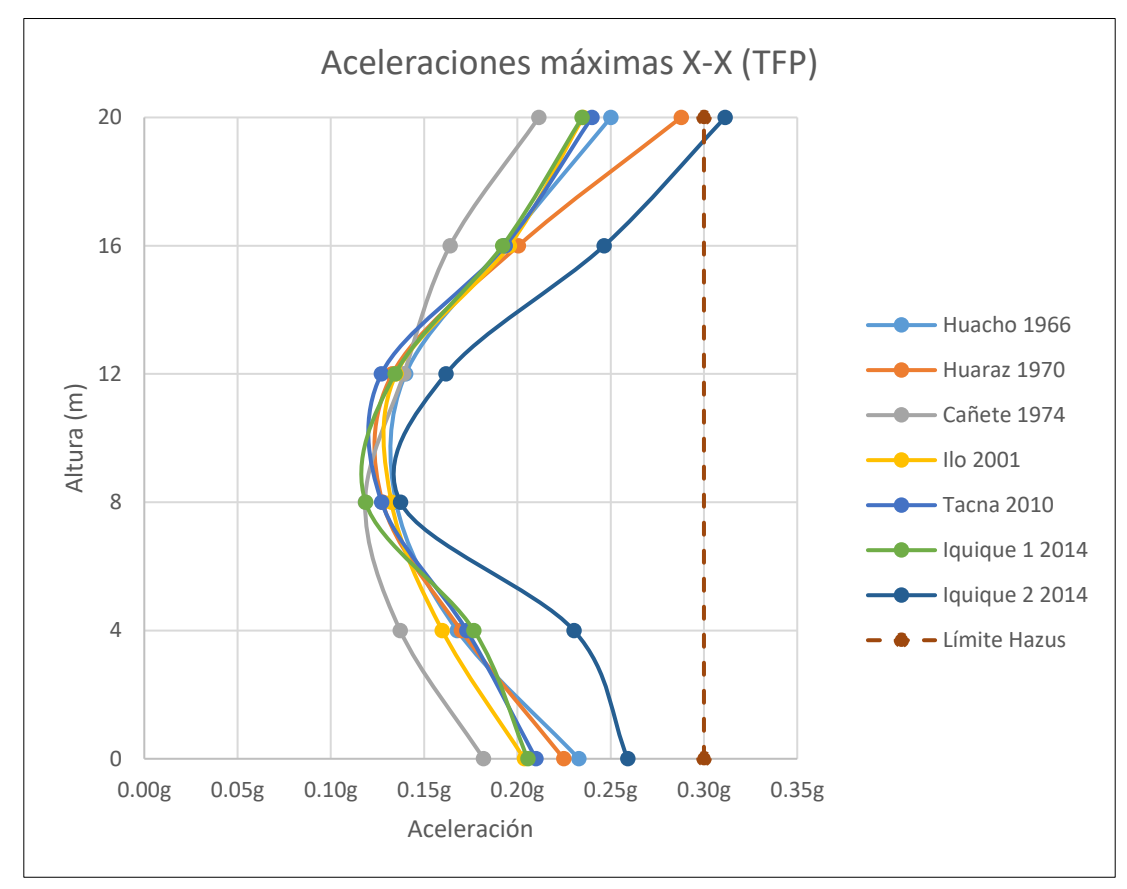
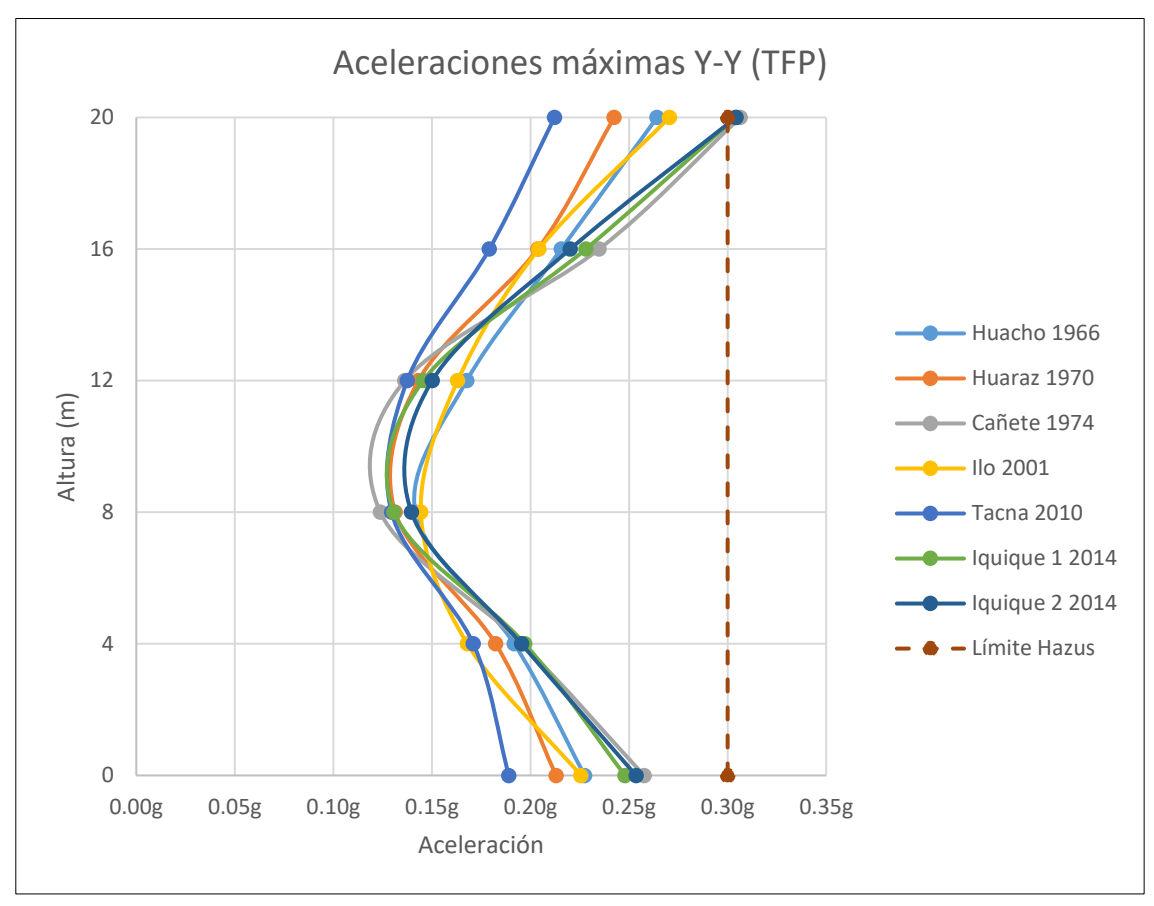


Tabla 60Máximas aceleraciones de piso para el sistema TFP en el eje Y

	Aceleraciones Máximas Y-Y (TFP)										
Nivel	Huacho Huaraz Cañete Ilo Tacna Iqu						Iquique 2				
1	1966	1970	1974	2001	2010	2014	2014				
5	0.264g	0.242g	0.306g	0.270g	0.212g	0.304g	0.304g				
4	0.216g	0.204g	0.235g	0.204g	0.179g	0.228g	0.220g				
3	0.168g	0.143g	0.136g	0.163g	0.137g	0.146g	0.150g				
2	0.142g	0.131g	0.124g	0.144g	0.129g	0.131g	0.140g				
1	0.192g	0.182g	0.196g	0.168g	0.171g	0.197g	0.195g				
Piso Técnico	0.227g	0.213g	0.258g	0.226g	0.189g	0.248g	0.254g				

Figura 84 *Máximas aceleraciones de piso para el sistema TFP en el eje Y*



A continuación, se muestra el promedio de las máximas aceleraciones de piso de los siete pares de registros utilizados en la superestructura para los tres sistemas de aislamiento.

 Tabla 61

 Aceleraciones máximas promedio para los tres sistemas de aislamiento

	A 14	Aceleraciones máximas promedio							
Nivel	Altura (m)	LRB+SL		LRB+H	DR+SL	TFP			
	(111)	X-X	Y-Y	X-X	Y-Y	X-X	Y-Y		
5	20.00	0.353g	0.369g	0.345g	0.362g	0.253g	0.272g		
4	16.00	0.243g	0.263g	0.233g	0.252g	0.198g	0.212g		
3	12.00	0.197g	0.204g	0.190g	0.221g	0.139g	0.149g		
2	8.00	0.191g	0.196g	0.197g	0.226g	0.128g	0.134g		
1	4.00	0.232g	0.252g	0.245g	0.256g	0.173g	0.186g		
Piso Técnico	0.00	0.292g	0.302g	0.290g	0.316g	0.217g	0.231g		

Figura 85 $\label{eq:Aceleraciones} \textit{Aceleraciones máximas promedio de los sistemas de aislamiento en el eje X}$

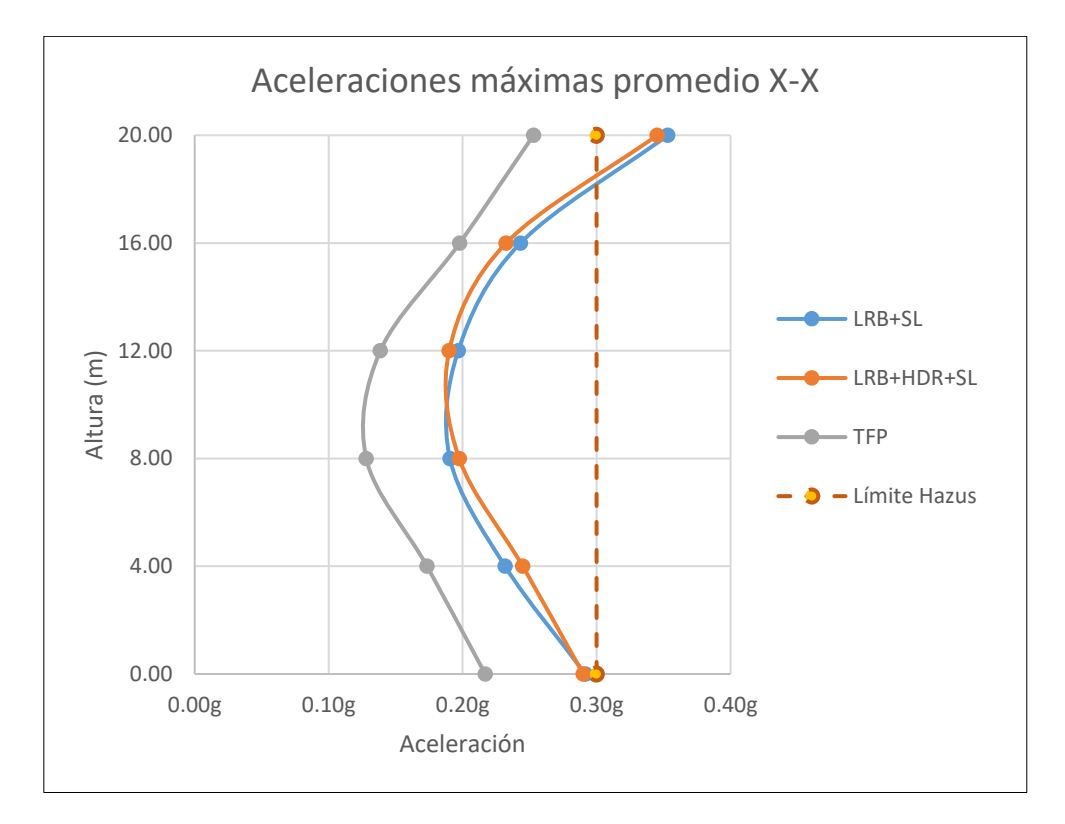
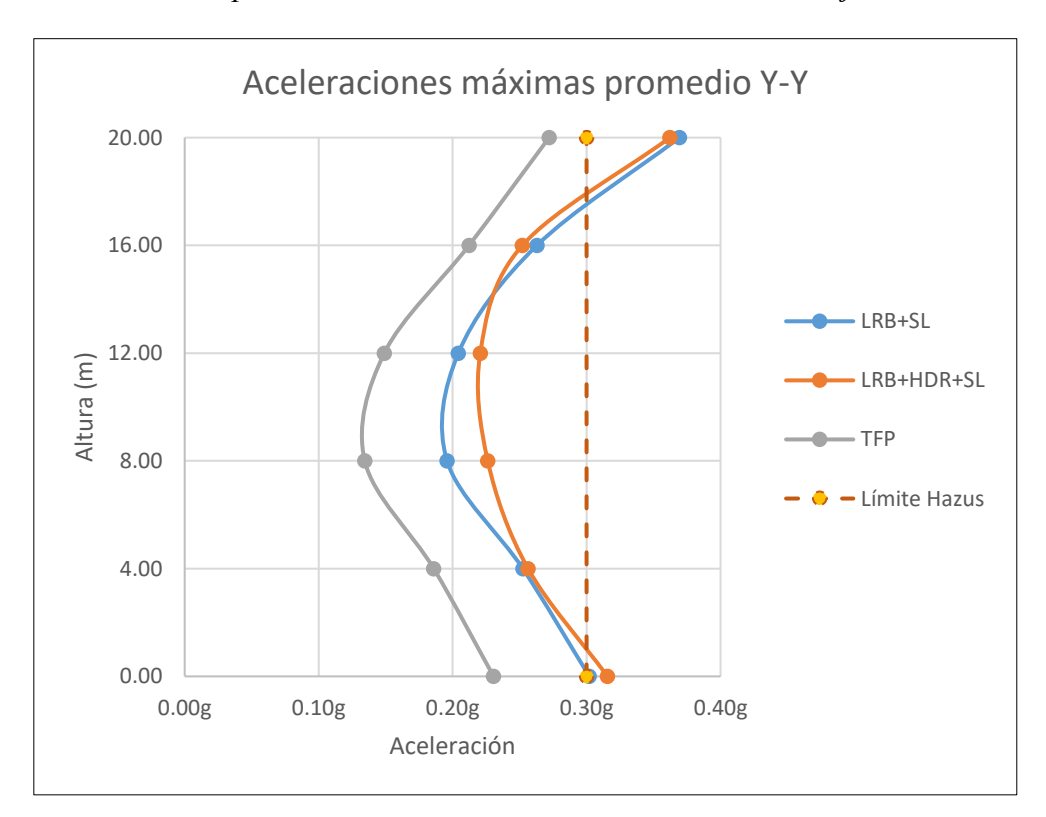


Figura 86

Aceleraciones máximas promedio de los sistemas de aislamiento en el eje Y



Se puede observar en las figuras 81 y 82 que la azotea y el nivel de base de la estructura con sistemas LRB+SL y LRB+HDR+SL presenta aceleraciones de piso mayores al límite de 0.30g indicado en el capítulo 5 del manual técnico HAZUS-MH MR4 (FEMA, 2003). Por el contrario, el sistema TFP presenta aceleraciones de piso menores a 0.30g en todos los niveles.

Como se observa en la tabla 61, la máxima aceleración promedio de piso del sistema LRB+SL fue de 0.353g en el eje X y de 0.369g en el eje Y, para el caso del sistema LRB+HDR+SL fue de 0.345g en el eje X y de 0.362g en el eje Y, por último, para el caso del sistema TFP fue de 0.253g en el eje X y de 0.272g en el eje Y.

Se concluyó que el sistema TFP fue el que presentó las menores aceleraciones de piso para ambas direcciones de análisis X e Y.

Desplazamiento máximo del sistema de aislamiento (D_{TM})

Los desplazamientos máximos de los tres sistemas de aislamiento fueron obtenidos para las propiedades de límite inferior. A continuación, se muestran estos desplazamientos para cada par de registro de aceleración.

 Tabla 62

 Desplazamientos máximos de los tres sistemas de aislamiento para cada registro sísmico

Registros	LRB	+ SL	LRB + H	DR + SL	TFP		
Sísmicos	$D_{TM X}(m)$	D _{TM} Y (m)	D _{TM} x (m)	D _{TM Y} (m)	D _{TM} x (m)	$D_{TMY}(m)$	
Huacho 1966	0.211	0.272	0.190	0.161	0.221	0.269	
Huaraz 1970	0.119	0.197	0.143	0.261	0.153	0.247	
Cañete 1974	0.203	0.215	0.197	0.237	0.188	0.248	
Ilo 2001	0.189	0.229	0.174	0.250	0.248	0.282	
Tacna 2010	0.218	0.168	0.191	0.140	0.200	0.192	
Iquique 1 2014	0.186	0.212	0.202	0.199	0.182	0.229	
Iquique 2 2014	0.247	0.215	0.221	0.182	0.223	0.231	
Promedio	0.196	0.215	0.188	0.205	0.202	0.243	

Figura 87 $Desplazamientos\ m\'aximos\ de\ los\ tres\ sistemas\ de\ aislamiento\ para\ cada\ registro\ s\'ismico\ en$ $el\ eje\ X$

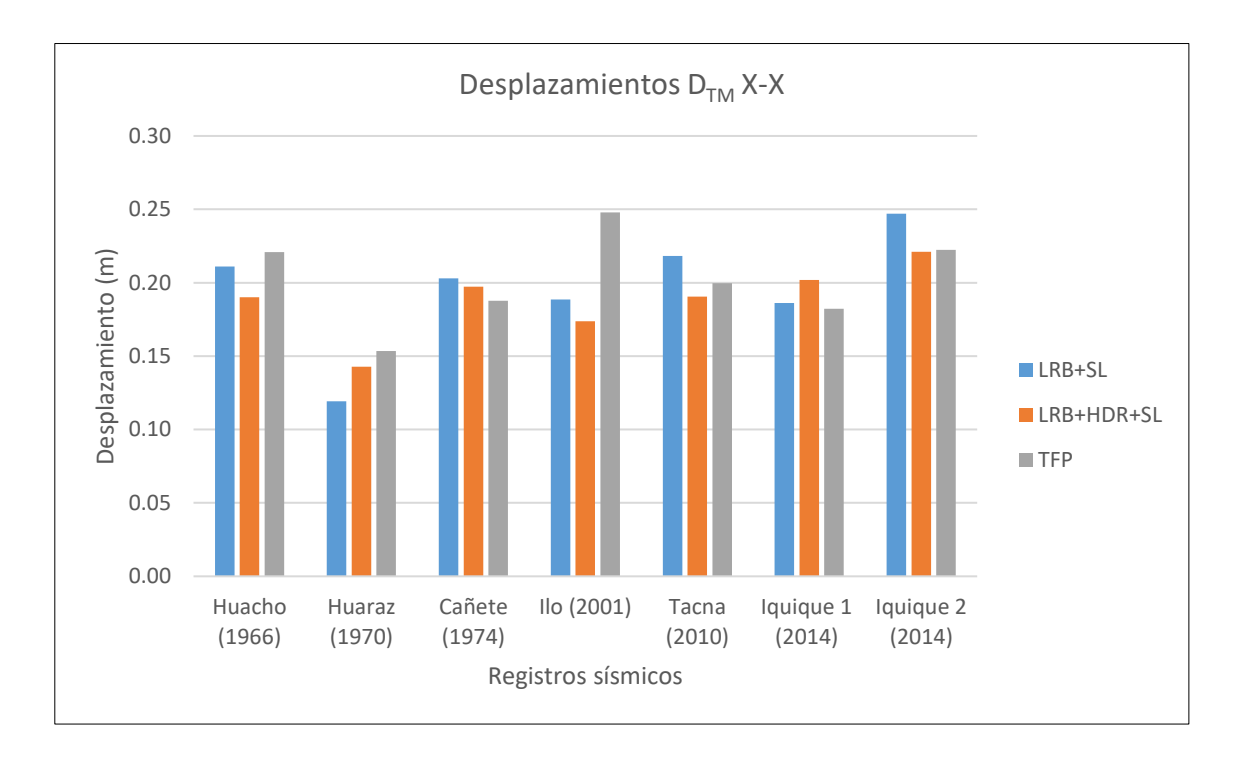
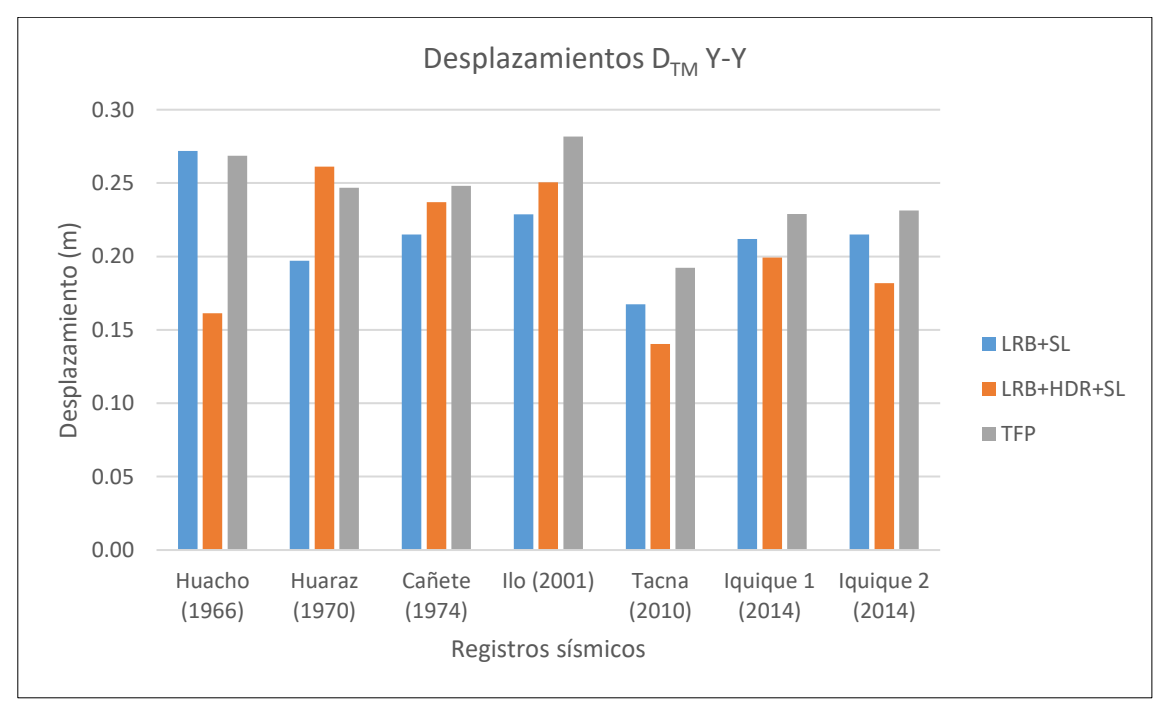


Figura 88Desplazamientos máximos de los tres sistemas de aislamiento para cada registro sísmico en el eje Y



A continuación, se muestran los promedios de los desplazamientos máximos de los tres sistemas de aislamiento.

Figura 89

Desplazamientos máximos promedio de los tres sistemas de aislamiento sísmico en el eje X

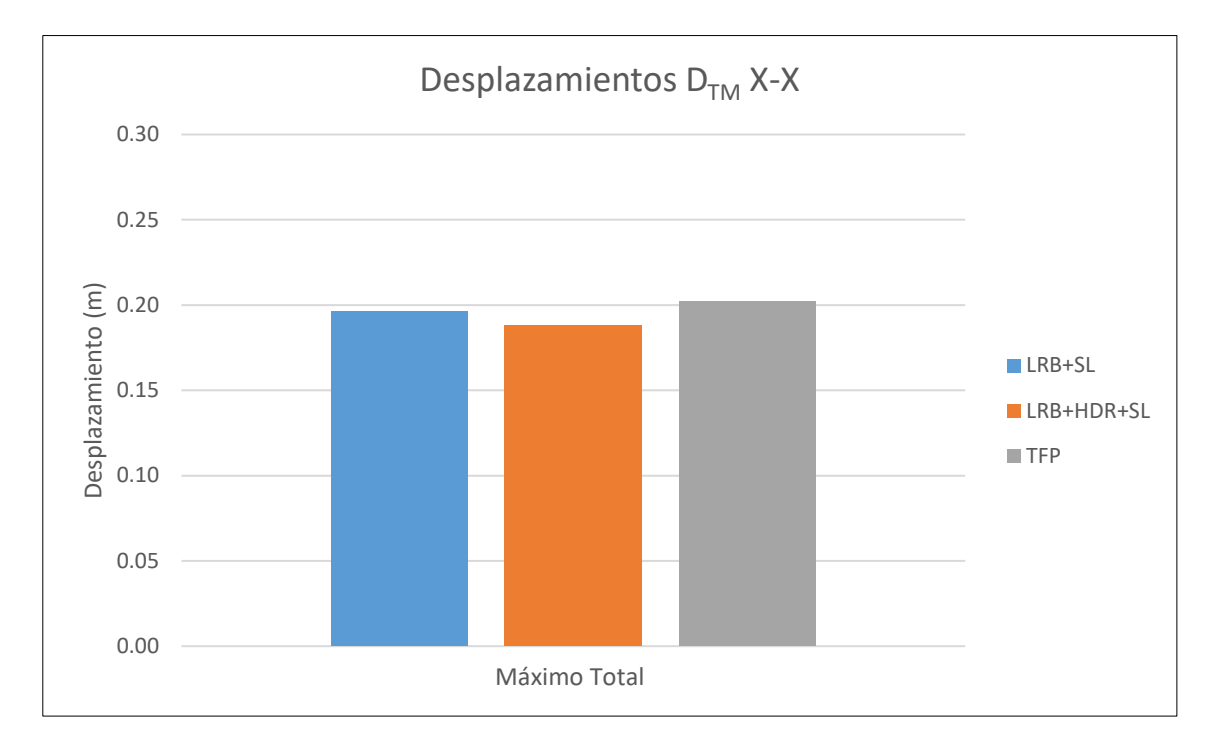
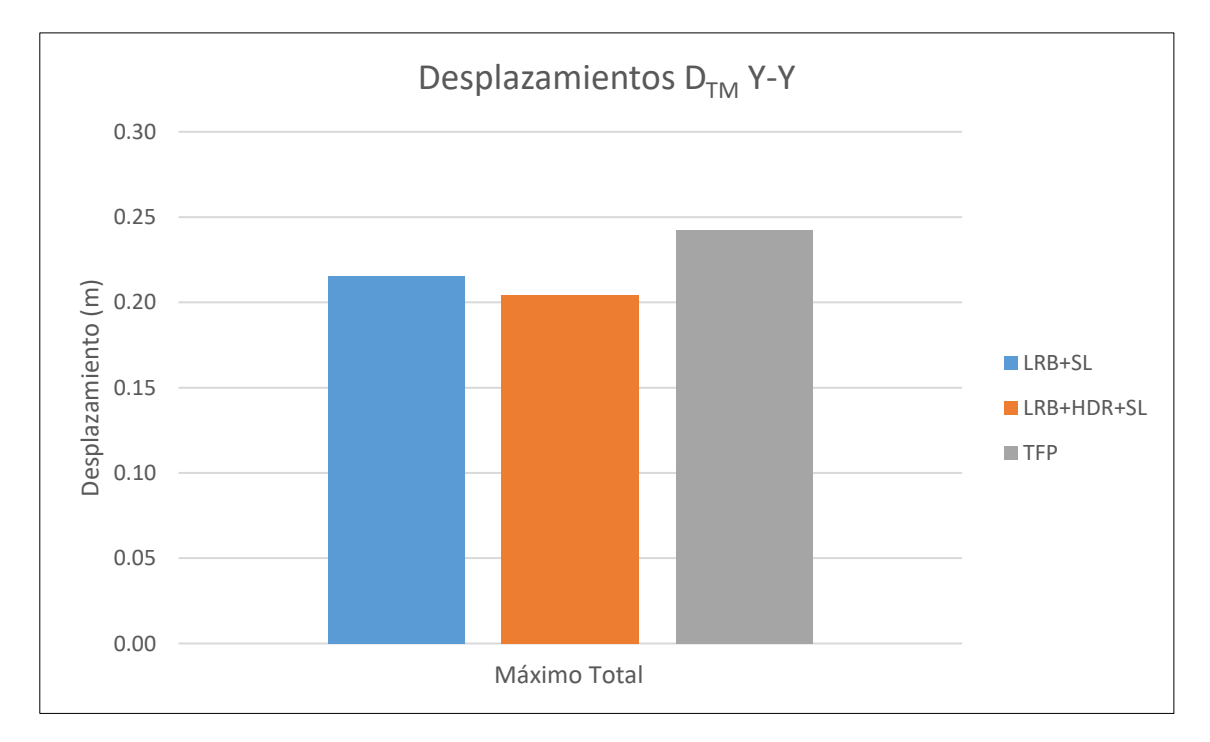


Figura 90 $Desplazamientos\ m\'aximos\ promedio\ de\ los\ tres\ sistemas\ de\ aislamiento\ s\'amico\ en\ el\ eje\ Y$



Se puede observar en la tabla 62 que los desplazamientos máximos promedio del sistema LRB+SL fueron de 0.196 m en el eje X y de 0.215 m en el eje Y, para el caso del sistema LRB+HDR+SL fueron de 0.188 m en el eje X y de 0.205 m en el eje Y, por último, para el caso del sistema TFP fueron de 0.202 m en el eje X y de 0.243 m en el eje Y.

Se concluyó que el sistema TFP fue el que presentó los mayores desplazamientos en ambas direcciones de análisis X e Y.

Fuerza cortante en la base de la superestructura aislada (Vs)

Las fuerzas cortantes obtenidas en la base de la estructura sobre cada sistema de aislamiento analizado fueron determinadas considerando las propiedades de límite superior. A continuación, se muestran estas fuerzas cortantes para cada par de registro de aceleración.

Tabla 63

Fuerzas cortantes máximas en la base de la estructura sobre los sistemas de aislamiento para cada registro sísmico

D : 4	LRB	+ SL	LRB + HDR + SL		TFP	
Registros Sísmicos	V _{S-X (EW)} (tonf)	V _{S-Y (NS)} (tonf)	V _{S-X (EW)} (tonf)	V _{S-Y (NS)} (tonf)	V _{S-X (EW)} (tonf)	V _{S-Y (NS)} (tonf)
Huacho (1966)	937.57	1016.81	945.73	957.49	1028.76	1013.99
Huaraz (1970)	846.38	1019.10	918.29	1062.62	851.78	903.90
Cañete (1974)	892.60	932.89	1018.77	1044.30	964.77	970.10
Ilo (2001)	893.41	914.78	914.16	950.48	992.41	966.83
Tacna (2010)	1085.64	1031.17	1068.32	1010.08	832.49	915.80
Iquique 1 (2014)	898.63	933.84	900.07	910.62	885.42	949.31
Iquique 2 (2014)	995.30	1051.16	842.56	888.97	926.15	1018.70
Promedio	935.65	985.68	943.99	974.94	925.97	962.66

Figura 91Fuerzas cortantes máximas en la base de la estructura sobre los sistemas de aislamiento para cada registro sísmico en el eje X

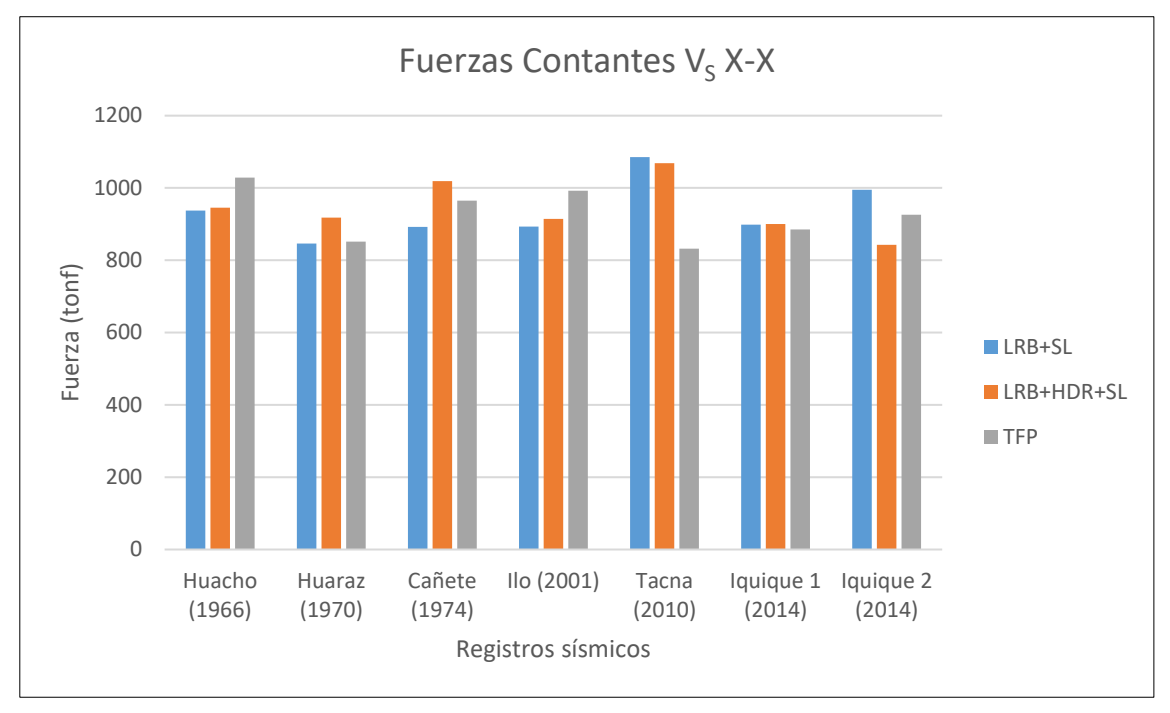
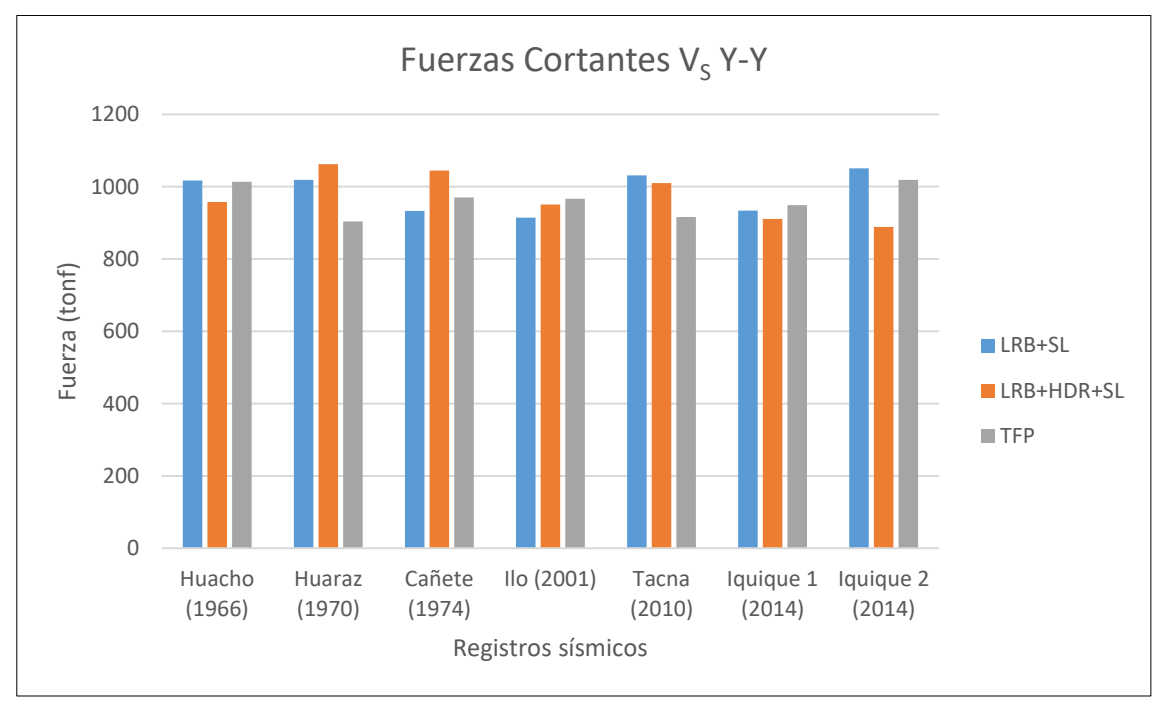


Figura 92Fuerzas cortantes máximas en la base de la estructura sobre los sistemas de aislamiento para cada registro sísmico en el eje Y



A continuación, se muestran las fuerzas cortantes máximas promedio en la base de la estructura sobre los tres sistemas de aislamiento.

Figura 93 $Fuerzas\ cortantes\ m\'aximas\ promedio\ en\ la\ base\ de\ la\ estructura\ sobre\ los\ tres\ sistemas\ de$ aislamiento en el eje X

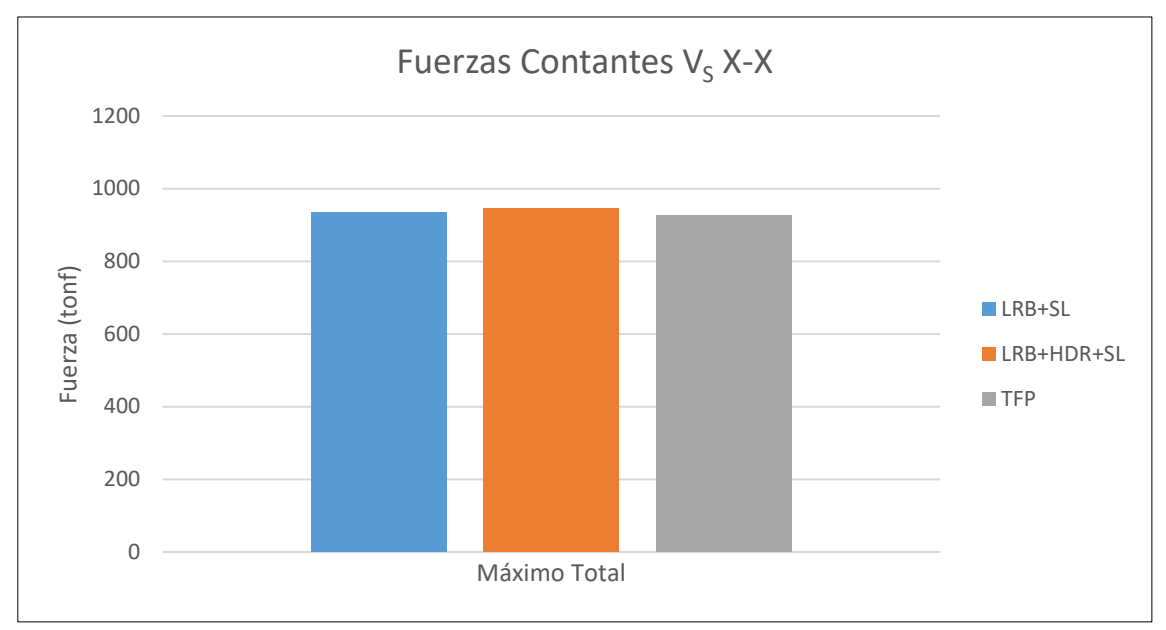
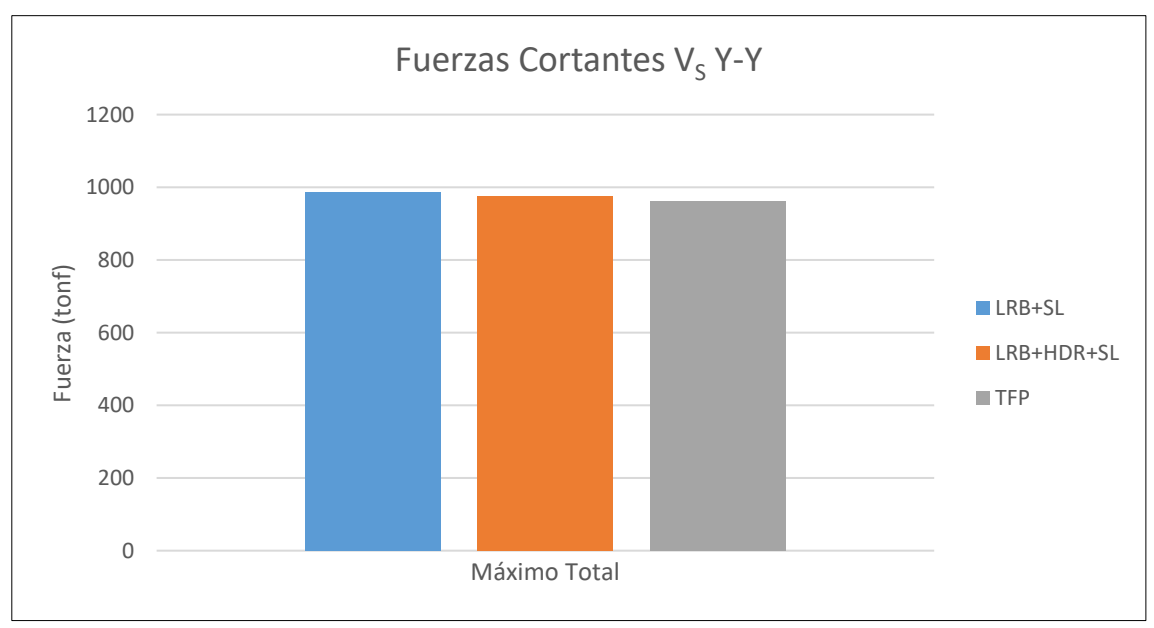


Figura 94Fuerzas cortantes máximas promedio en la base de la estructura sobre los tres sistemas de aislamiento en el eje Y



Se puede observar en la tabla 63 que las fuerzas cortantes máximas promedio en la base de la estructura sobre el sistema LRB+SL fueron de 935.65 tonf en el eje X y de 985.68 tonf en el eje Y, para el caso del sistema LRB+HDR+SL fueron de 943.99 tonf en el eje X y de 974.94 tonf en el eje Y, por último, para el caso del sistema TFP fueron de 925.97 tonf en el eje X y de 962.66 tonf en el eje Y.

Se concluyó que el sistema TFP fue el que presentó las menores fuerzas cortantes en la base de la estructura sobre el sistema de aislamiento en ambas direcciones de análisis X e Y.

Fuerza cortante en el sistema de aislamiento (V_b)

Las fuerzas cortantes que actúan en los sistemas de aislamiento sísmico fueron determinadas considerando las propiedades de límite superior. A continuación, se muestran estas fuerzas cortantes para cada par de registros de aceleración.

 Tabla 64

 Fuerzas cortantes máximas en los sistemas de aislamiento para cada registro sísmico

D : 4	LRB	+ SL	LRB + H	DR + SL	TI	⁷ P
Registros Sísmicos	V _{b-X (EW)} (tonf)	$V_{b-Y\ (NS)}$ (tonf)	V _{b-X (EW)} (tonf)	$V_{b-Y\ (NS)}$ (tonf)	$V_{b-X (EW)}$ (tonf)	$V_{b-Y (NS)}$ (tonf)
Huacho (1966)	989.42	1068.54	973.67	1014.02	1018.22	1072.64
Huaraz (1970)	875.26	1046.86	834.21	1081.41	896.49	930.48
Cañete (1974)	902.37	993.56	1035.30	1090.09	976.59	1015.22
Ilo (2001)	913.95	885.69	943.81	992.04	904.04	1004.42
Tacna (2010)	1112.56	1035.39	1115.58	1079.23	872.51	964.52
Iquique 1 (2014)	914.65	970.11	933.69	983.68	926.04	1008.40
Iquique 2 (2014)	958.41	1077.15	867.28	957.73	972.72	1042.55
Promedio	952.37	1011.04	957.65	1028.32	938.09	1005.46

Figura 95 $Fuerzas\ cortantes\ m\'aximas\ en\ los\ sistemas\ de\ aislamiento\ para\ cada\ registro\ s\'ismico\ en\ el$ eje X

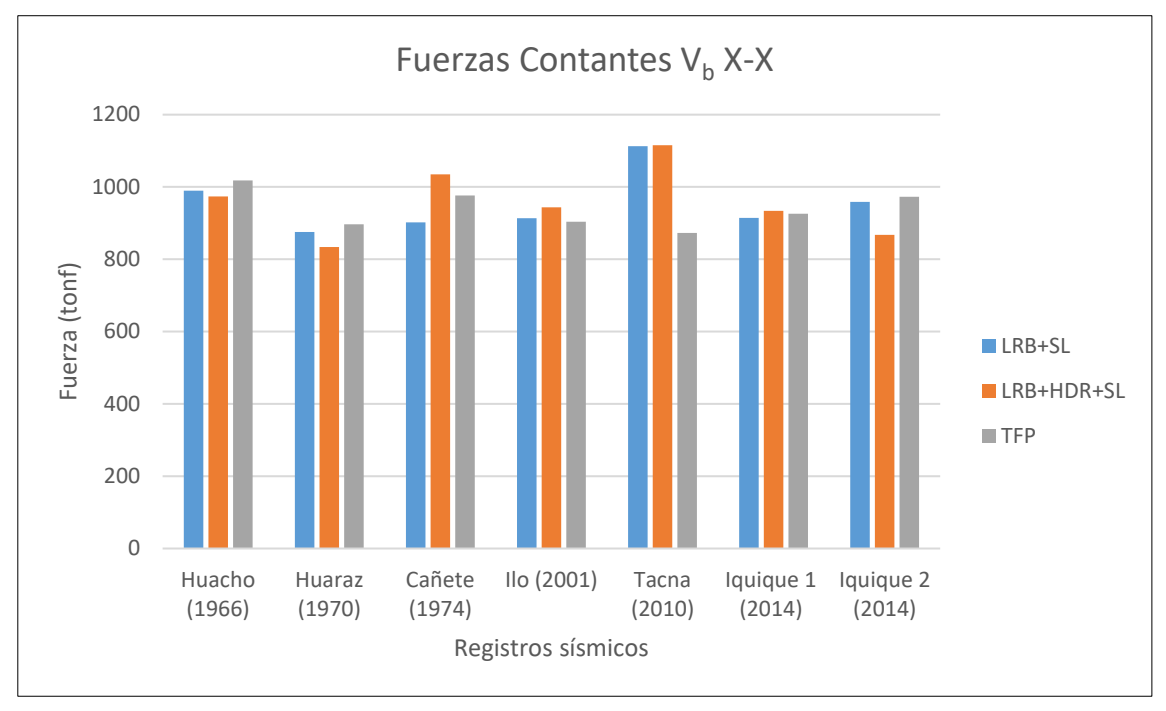
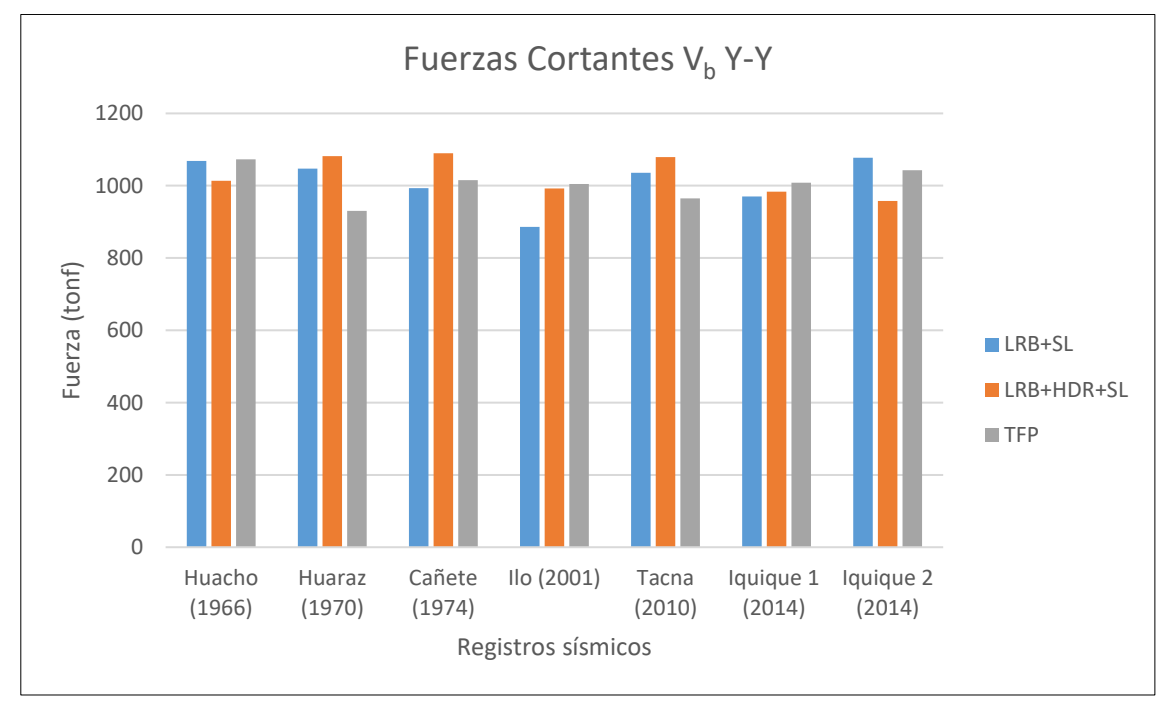


Figura 96Fuerzas cortantes máximas en los sistemas de aislamiento para cada registro sísmico en el eje Y



A continuación, se muestran las fuerzas cortantes máximas sobre los tres sistemas de aislamiento o elementos estructurales bajo el nivel de aislamiento.

Figura 97 $Fuerzas\ cortantes\ m\'aximas\ en\ los\ tres\ sistemas\ de\ aislamiento\ en\ el\ eje\ X$

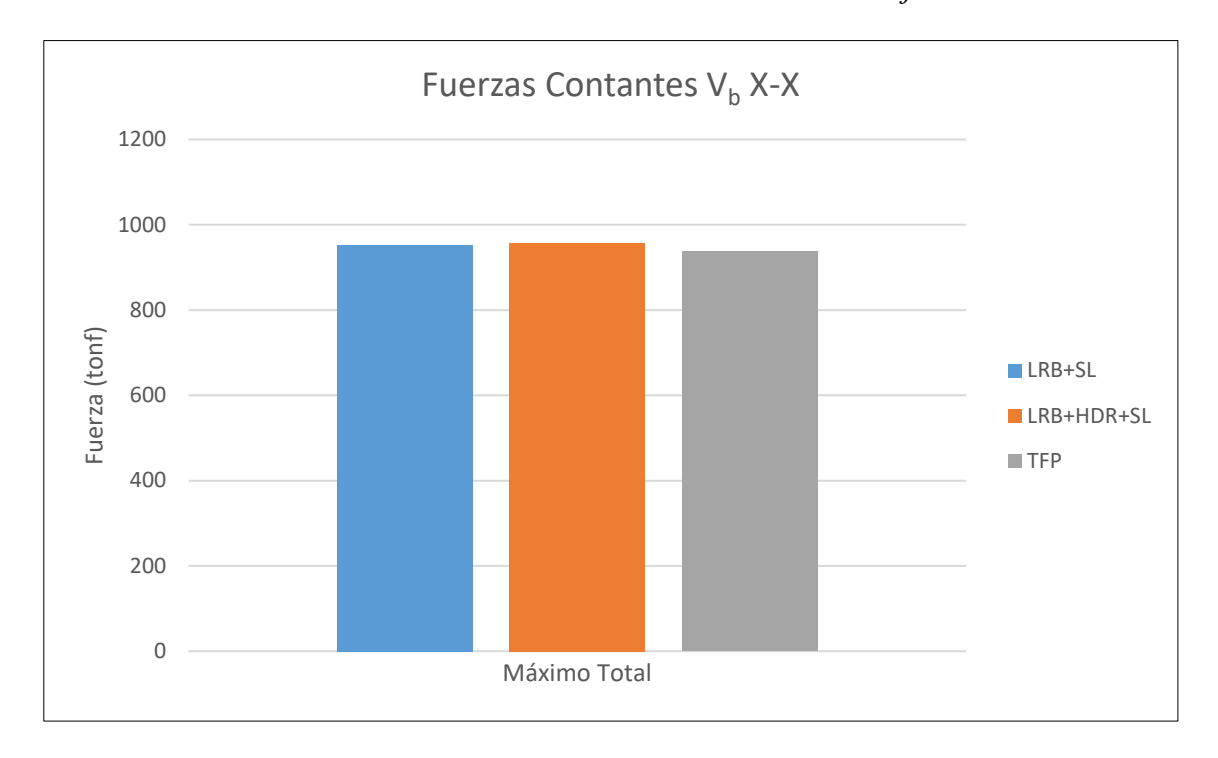
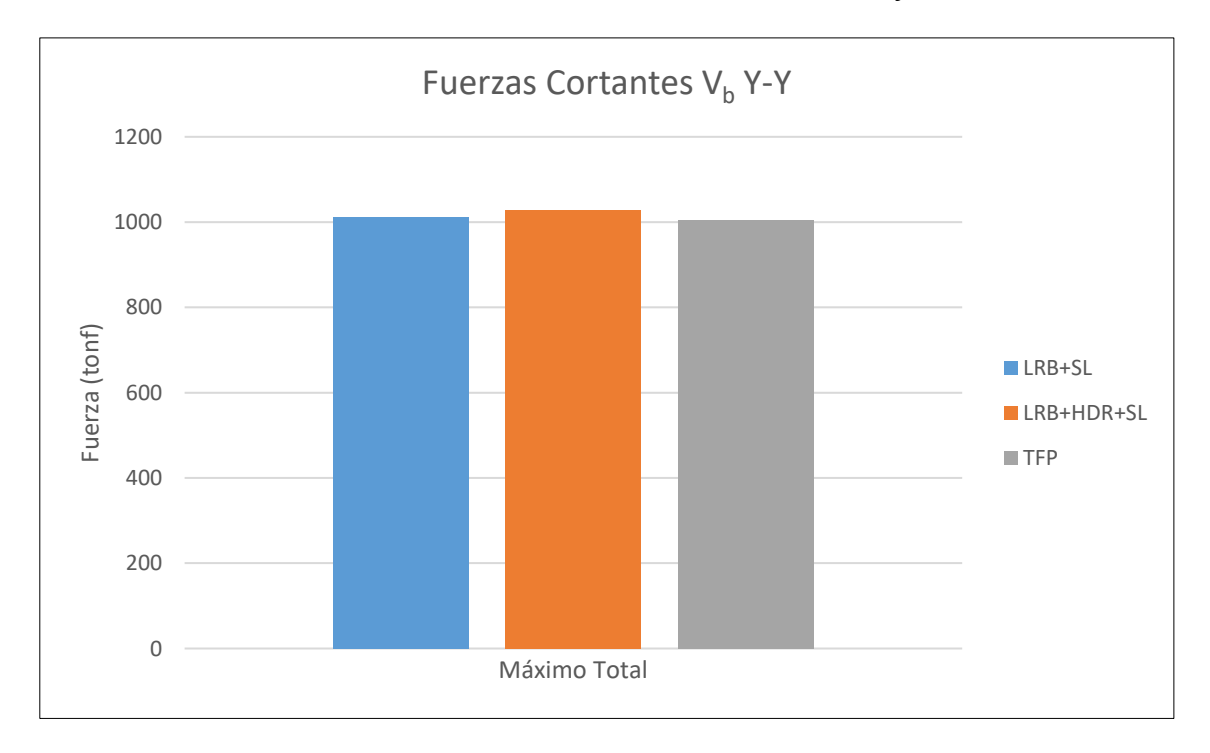


Figura 98Fuerzas cortantes máximas en los tres sistemas de aislamiento en el eje Y



Se puede observar en la tabla 64 que las fuerzas cortantes máximas promedio en el sistema LRB+SL fueron de 952.37 tonf en el eje X y de 1011.04 tonf en el eje Y, para el caso del sistema LRB+HDR+SL fueron de 957.65 tonf en el eje X y de 1028.32 tonf en el eje Y, por último, para el caso del sistema TFP fueron de 938.09 tonf en el eje X y de 1005.46 tonf en el eje Y.

Se concluyó que el sistema TFP fue el que presentó las menores fuerzas cortantes en el sistema de aislamiento en ambas direcciones de análisis X e Y.

V. DISCUSIÓN DE RESULTADOS

Derivas de entrepiso

Los resultados mostrados en la tabla 54 indicaron que las mayores derivas promedio de entrepiso del sistema LRB+SL fueron de 0.001330 en el eje X y de 0.001413 en el eje Y, del sistema LRB+HDR+SL fueron de 0.001264 en el eje X y de 0.001385 en el eje Y, y del sistema TFP fueron de 0.001109 en el eje X y de 0.001249 en el eje Y, donde se observó que al usar dispositivos TFP se logró obtener menores derivas. Melendrez y Pantoja (2020) mencionan que al comparar cuatro sistemas de aislamiento en una edificación aporticada, de trece niveles, de uso comercial, ubicada en la zona sísmica 4 y con un suelo rígido S₁, las menores derivas de entrepiso se obtuvieron al utilizar el sistema conformado por dispositivos de triple péndulo de fricción (TFP), teniendo como máximos resultados derivas de 0.0047 en el eje X y 0.0040 en el eje Y. Estos resultados son en cierta medida similares a los encontrados en la presente investigación, sin embargo, son mayores a los mostrados en la tabla 54 para el sistema TFP. Una de las posibles causas de esta diferencia en los resultados podría deberse a las configuraciones de las edificaciones utilizadas, ya que Melendrez y Pantoja (2020) analizaron una edificación que al ser más alta presentó un ratio de esbeltez de aproximadamente 2.30, mayor al 0.82 correspondiente a la edificación hospitalaria evaluada en esta investigación, lo que pudo hacerla más susceptible a la acción de las cargas sísmicas, además de contar con un período fundamental más largo y por ende mayores desplazamientos, lo que pudo haber influido en mayores derivas.

Por otro lado, Chacón (2018) menciona que al comparar tres sistemas de aislamiento en una edificación aporticada, de tres niveles, de uso hospitalario, ubicada en la zona sísmica 3 y con un suelo blando S₃, las menores derivas de entrepiso se obtuvieron al utilizar el sistema conformado por dispositivos de triple péndulo de fricción (TFP), teniendo como máximos resultados derivas de 0.0019 en el eje X y 0.0022 en el eje Y sin considerar la interacción suelo

estructura, y derivas de 0.0020 en el eje X y 0.0024 en el eje Y considerando la interacción suelo estructura. Estos resultados son en cierta medida similares a los encontrados en la presente investigación, sin embargo, son mayores a los mostrados en la tabla 54 para el sistema TFP. La posible causa de esta diferencia en los resultados podrían deberse al tipo de suelo, ya que Chacón (2018) analizó una edificación, que a pesar de tener menor altura, estar en la zona sísmica 3 y un menor ratio de esbeltez de aproximadamente 0.64 en comparación con el 0.82 de la edificación hospitalaria evaluada en esta investigación, estaba cimentada sobre suelo blando, este tipo de suelo se caracteriza por amplificar los desplazamientos del terreno ante la acción sísmica, lo cual pudo haber influido en mayores derivas en la superestructura.

Aceleraciones de piso

Los resultados mostrados en la tabla 61 indicaron que las mayores aceleraciones promedio de piso del sistema LRB+SL fueron de 0.353g en el eje X y de 0.369g en el eje Y, del sistema LRB+HDR+SL fueron de 0.345g en el eje X y de 0.362g en el eje Y, y del sistema TFP fueron de 0.253g en el eje X y de 0.272g en el eje Y, donde se observó que al usar dispositivos TFP se logró obtener menores aceleraciones de piso. Chacón (2018) menciona que al comparar tres sistemas de aislamiento en una edificación aporticada, de cuatro niveles, de uso hospitalario, ubicada en la zona sísmica 3 y con un suelo blando S₃, las menores aceleraciones de piso se obtuvieron al utilizar el sistema conformado por dispositivos de triple péndulo de fricción (TFP), teniendo como máximos resultados aceleraciones de 160.49 cm/seg² (0.164g) en el eje X y 161.58 cm/seg² (0.165g) en el eje Y sin considerar la interacción suelo estructura, y aceleraciones de 171.25 cm/s² (0.175g) en el eje X y 168.26 cm/seg² (0.172g) en el eje Y considerando la interacción suelo estructura, todos en el último nivel. Estos resultados son en cierta medida similares a los encontrados en la presente investigación, sin embargo, son menores a los mostrados en la tabla 61 para el sistema TFP. Las posibles causas de esta diferencia en los resultados podrían deberse a la zona sísmica y al tipo de suelo de cimentación,

ya que Chacón (2018) analizó una edificación que se encuentra en la zona sísmica 3, que es menos demandante, emplazada sobre un suelo blando, el cual se caracteriza por aumenta el periodo fundamental de la superestructura, lo cual pudo haber influido en menores aceleraciones de piso.

Desplazamiento máximo del sistema de aislamiento (D_{TM})

Los resultados mostrados en la tabla 62 indicaron que los mayores desplazamientos promedio del sistema LRB+SL fueron de 0.196m en el eje X y de 0.215m en el eje Y, del sistema LRB+HDR+SL fueron de 0.188 m en el eje X y de 0.205m en el eje Y, y del sistema TFP fueron de 0.202m en el eje X y de 0.243m en el eje Y, donde se observó que al usar dispositivos TFP se obtuvieron los mayores desplazamientos. Melendrez y Pantoja (2020) mencionan que al comparar cuatro sistemas de aislamiento en una edificación aporticada, de trece niveles, de uso comercial, ubicada en la zona sísmica 4 y con un suelo rígido S₁, los mayores desplazamientos del sistema de aislamiento se obtuvieron al utilizar el sistema conformado por dispositivos TFP, teniendo como máximos resultados desplazamientos de 18.23 in (46.30 cm) en el eje X y 21.10 in (53.59 cm) en el eje Y. Estos resultados son en cierta medida similares a los encontrados en la presente investigación, sin embargo, son mayores a los mostrados en la tabla 62 para el sistema TFP. Una de las posibles causas de esta diferencia en los resultados podría deberse a las configuraciones de las edificaciones utilizadas, ya que Melendrez y Pantoja (2020) analizaron una edificación mucho más alta y por ende con un periodo fundamental mayor, lo que pudo haber inducido en mayores desplazamientos del sistema de aislamiento.

Por otro lado, Chacón (2018) menciona que al comparar tres sistemas de aislamiento en una edificación aporticada, de cuatro niveles, de uso hospitalario, ubicada en la zona sísmica 3 y con un suelo blando S₃, los mayores desplazamientos del sistema de aislamiento se obtuvieron al utilizar el sistema conformado por dispositivos TFP, teniendo como máximos

resultados desplazamientos de 43.74 cm en el eje X y 43.63 cm en el eje Y sin considerar la interacción suelo estructura, y desplazamientos de 40.18 cm en el eje X y 40.13 cm en el eje Y considerando la interacción suelo estructura. Estos resultados son en cierta medida similares a los encontrados en la presente investigación, sin embargo, son mayores a los mostrados en la tabla 62 para el sistema TFP. La posible causas de esta diferencia en los resultados podrían deberse al tipo de suelo de cimentación, ya que Chacón (2018) analizó una edificación que se encuentra cimentada sobre suelo blando, el cual se caracteriza por amplificar los desplazamientos del terreno ante la acción sísmica, lo que pudo haber inducido en mayores desplazamientos del sistema de aislamiento.

Fuerza cortante en la base de la superestructura aislada (Vs)

Los resultados mostrados en la tabla 63 indicaron que las mayores fuerzas cortantes promedio en la base de la estructura sobre el sistema LRB+SL fueron de 935.65 tonf en el eje X y de 985.68 tonf en el eje Y, para el sistema LRB+HDR+SL fueron de 943.99 tonf en el eje X y de 974.94 tonf en el eje Y, y para el sistema TFP fueron de 925.97 tonf en el eje X y de 962.66 tonf en el eje Y, donde se observó que al usar dispositivos TFP se obtuvieron las menores fuerzas cortantes en la base de la estructura sobre el sistema de aislamiento. Melendrez y Pantoja (2020) mencionan que al comparar cuatro sistemas de aislamiento en una edificación aporticada, de trece niveles, de uso comercial, ubicada en la zona sísmica 4 y con un suelo rígido S₁, las menores fuerzas cortantes en la base de la estructura sobre el sistema de aislamiento se obtuvieron al utilizar el sistema conformado por dispositivos TFP, teniendo como resultado la fuerza cortante de 4175.45 Klb (1893.95 tonf). Este resultado es en cierta medida similar a los encontrados en la presente investigación, sin embargo, son mayores a los mostrados en la tabla 63 para el sistema TFP. Una de las posibles causas de esta diferencia en los resultados podría deberse a las configuraciones de las edificaciones utilizadas, ya que Melendrez y Pantoja (2020) analizaron una edificación con mayores dimensiones y por ende

mayor peso, lo que influye directamente en el incremento de las fuerzas cortantes en la base de la estructura sobre el sistema de aislamiento.

Fuerza cortante en el sistema de aislamiento (V_b)

Los resultados mostrados en la tabla 64 indicaron que las mayores fuerzas cortantes promedio en el sistema LRB+SL fueron de 952.37 tonf en el eje X y de 1011.04 tonf en el eje Y, para el sistema LRB+HDR+SL fueron de 957.65 tonf en el eje X y de 1028.32 tonf en el eje Y, y para el sistema TFP fueron de 938.09 tonf en el eje X y de 1005.46 tonf en el eje Y, donde se observó que al usar dispositivos TFP se obtuvieron las menores fuerzas cortantes en el sistema de asilamiento. Melendrez y Pantoja (2020) mencionan que al comparar cuatro sistemas de aislamiento en una edificación aporticada, de trece niveles, de uso comercial, ubicada en la zona sísmica 4 y con un suelo rígido S₁, las menores fuerzas cortantes en el sistema de aislamiento se obtuvieron al utilizar el sistema conformado por dispositivos TFP, teniendo como resultado la fuerza cortante de 4530.30 Klb (2054.91 tonf). Este resultado es en cierta medida similar a los encontrados en la presente investigación, sin embargo, son mayores a los mostrados en la tabla 64 para el sistema TFP. Una de las posibles causas de esta diferencia en los resultados podría deberse a que Melendrez y Pantoja (2020) analizaron una edificación con mayores dimensiones y por ende mayor peso, lo que influye directamente en el incremento de las fuerzas cortantes en el sistema de aislamiento.

VI. CONCLUSIONES

- 6.1. En esta investigación se definió que las derivas máximas promedio de entrepiso de la edificación hospitalaria ubicada en la ciudad de Ilo son influenciadas positivamente debido al uso de los tres sistemas de aislamiento, ya que en todos los casos las derivas son menores a los límites establecidos en la Norma E.031 (MVCS, 2020) y en el capítulo 5 del manual técnico HAZUS-MH MR4 (FEMA, 2003), encontrando que el sistema LRB+HDR+SL presenta máximas derivas mayores en un 13.97% en el eje X y 10.89% en el eje Y respecto al sistema TFP, y que el sistema LRB+SL presenta máximas derivas mayores en un 20.00% en el eje X y 13.14% en el eje Y respecto al sistema TFP, concluyendo que el sistema TFP presenta las menores derivas de entrepiso, lo cual se puede observar en la tabla 54 y las figuras 73 y 74.
- 6.2. En esta investigación se estableció que las aceleraciones máximas promedio de piso de la edificación hospitalaria ubicada en la ciudad de Ilo son influenciadas positivamente debido al uso de los tres sistemas de aislamiento en la mayoría de niveles de la superestructura con la excepción de la azotea y el nivel de base para el caso de los sistemas LRB+HDR+SL y LRB+SL debido a que superan el límite establecido en el capítulo 5 del manual técnico HAZUS-MH MR4 (FEMA, 2003), encontrando que el sistema LRB+HDR+SL presenta máximas aceleraciones mayores en un 36.49% en el eje X y 33.15% en el eje Y respecto al sistema TFP, y que el sistema LRB+SL presenta máximas aceleraciones mayores en un 39.62% en el eje X y 35.77% en el eje Y respecto al sistema TFP, concluyendo que el sistema TFP presenta las menores aceleraciones de piso y cumple los con límites establecidos en el capítulo 5 del manual técnico HAZUS-MH MR4 (FEMA, 2003) en todos los niveles de la superestructura, lo cual se puede observar en la tabla 61 y las figuras 81 y 82.
- 6.3. En esta investigación se determinó que los desplazamientos máximos promedio del sistema de aislamiento de la edificación hospitalaria ubicada en la ciudad de Ilo son influenciados

significativamente debido al uso de los tres sistemas de aislamiento, encontrando que el sistema LRB+HDR+SL presenta desplazamientos menores en un 6.91% en el eje X y 15.69% en el eje Y respecto al sistema TFP, y que el sistema LRB+SL presenta desplazamientos menores en un 2.94% en el eje X y 11.24% en el eje Y respecto al sistema TFP, concluyendo que el sistema TFP presenta los mayores desplazamientos en el sistema de aislamiento, lo cual se puede observar en la tabla 62 y las figuras 85 y 86.

- 6.4. En esta investigación se precisó que las fuerzas cortantes máximas promedio en la base de la estructura sobre el sistema de aislamiento de la edificación hospitalaria ubicada en la ciudad de Ilo son influenciados significativamente debido al uso de los tres sistemas de aislamiento, encontrando que el sistema LRB+HDR+SL presenta fuerzas cortantes mayores en un 1.95% en el eje X y 1.28% en el eje Y respecto al sistema TFP, y que el sistema LRB+SL presenta fuerzas cortantes mayores en un 1.05% en el eje X y 2.39% en el eje Y respecto al sistema TFP, concluyendo que el sistema TFP presenta las menores fuerzas cortantes en la base de la superestructura aislada, lo cual se puede observar en la tabla 63 y las figuras 89 y 90.
- 6.5. En esta investigación se calculó que las fuerzas cortantes máximas promedio actuantes en el sistema de aislamiento de la edificación hospitalaria ubicada en la ciudad de Ilo son influenciados significativamente debido al uso de los tres sistemas de aislamiento, encontrando que el sistema LRB+HDR+SL presenta fuerzas cortantes mayores en un 2.09% en el eje X y 2.27% en el eje Y respecto al sistema TFP, y que el sistema LRB+SL presenta fuerzas cortantes mayores en un 1.52% en el eje X y 0.56% en el eje Y respecto al sistema TFP, concluyendo que el sistema TFP presenta las menores fuerzas cortantes en el sistema de aislamiento, lo cual se puede observar en la tabla 64 y las figuras 93 y 94.
- 6.6. En esta investigación se determinó que los tres sistemas de aislamiento analizados influyen positivamente en las respuestas estructurales de la edificación hospitalaria ubicada en la

ciudad de Ilo, permitiendo un mejor comportamiento de la edificación, donde las menores derivas de entrepiso se obtuvieron al usar el sistema TFP (véase la tabla 54), las menores aceleraciones de piso se obtuvieron al usar el sistema TFP (véase la tabla 61), los mayores desplazamientos del sistema de aislamiento se obtuvieron al usar el sistema TFP (véase la tabla 62), las menores fuerzas cortantes en la base de la superestructura aislada se obtuvieron al usar el sistema TFP (véase la tabla 63) y las menores fuerzas cortantes en el sistema de aislamiento se obtuvieron al usar el sistema TFP (véase la tabla 64). Finalmente, se concluyó que las mejores respuestas estructurales de la edificación hospitalaria sísmicamente aislada se obtuvieron al usar el sistema conformado por dispositivos de triple péndulo de fricción (TFP).

VII. RECOMENDACIONES

- 7.1 Se recomienda que, al diseñar un sistema de aislamiento sísmico, este lo conformen varios tipos de aisladores, ya que de esta manera se puede controlar mejor la rigidez efectiva de los dispositivos y del sistema de aislamiento, permitiendo a su vez un mejor control del levantamiento local producto de las fuerzas de tracción vertical en estos dispositivos, así como las derivas de entrepiso, aceleraciones de piso, desplazamiento máximo del sistema de aislamiento, fuerza cortante en la base de la superestructura aislada y fuerza cortante en el sistema de aislamiento.
- 7.2 En el caso de la presencia de fuerzas de tracción vertical en los aisladores, es recomendable la reducción de los peraltes de las vigas de los pórticos que se encuentran directamente sobre estos, sin embargo, se debe tener en cuenta que al aplicar este criterio las derivas de entrepiso podrían incrementarse.
- 7.3 Se recomienda que la Norma E.031 incluya un apartado sobre los límites de las aceleraciones de piso en edificaciones sísmicamente aisladas ya que un adecuado control de este tipo de aceleraciones permitiría reducir los daños en elementos no estructurales, elementos estructurales que no conformen el sistema de resistencia sísmica y el contenido de edificaciones, teniendo en cuenta que hasta la fecha de la publicación de este trabajo no se especifica ninguna consideración al respecto.
- 7.4 Para la reducción de aceleraciones de piso es recomendable el uso de losas macizas y el incremento de su espesor de ser necesario, sin embargo, el incremento del peso de la losa podría incrementar las derivas de entrepiso, las fuerzas cortantes en la base de la superestructura aislada y las fuerzas cortantes en el sistema de aislamiento.
- 7.5 Proseguir la investigación con otros tipos de dispositivos de aislamiento como es el caso de aisladores elastoméricos de caucho natural, aisladores de quintuple péndulo de fricción, entre otros.

- 7.6 Estudiar las respuestas estructurales de edificaciones sísmicamente aisladas con diferentes tipos de configuraciones irregulares, incluyendo las extremas.
- 7.7 Investigar las respuestas estructurales de edificaciones sísmicamente aisladas cimentadas sobre suelos blandos.
- 7.8 Estudiar la interacción suelo estructura en la respuesta estructural de edificaciones sísmicamente aisladas sobre diferentes estratos de suelo.
- 7.9 Realizar análisis dinámico no lineal tiempo-historia en edificaciones sísmicamente aisladas considerando sismos de campo cercano, los cuales ocurren a una distancia menor a 20 km del epicentro.

VIII. REFERENCIAS

- Aguilar, W. (2020). Estudio geotécnico con fines de cimentación superficial para una vivienda unifamiliar ubicada en el parque industrial, Pampa Inalámbrica, Ilo, 2020. [Tesis de pregrado, Universidad José Carlos Mariátegui]. Repositorio Institucional UJCM. https://repositorio.ujcm.edu.pe/bitstream/20.500.12819/1903/1/Wilber_tesis_titulo_20 22.pdf
- Barbosa, R., Álvarez, J. y Carrillo, J. (2018). Aceleraciones de piso para diseño de elementos no estructurales y estructurales que no hacen parte del sistema de resistencia sísmica en edificios. *Revista Ingenierías Universidad de Medellín*, 17(33), pp. 99-119. https://doi.org/10.22395/rium.v17n33a5
- Blanco, A. (1994). Estructuración y diseño de edificaciones de concreto armado. Colegio de Ingenieros del Perú.
- Bridgestone. (octubre de 2022). Seismic isolation product line up.

 https://www.bridgestone.com/products/diversified/antiseismic rubber/
- Cabezas, E., Andrade, D. y Torres, J. (2018). *Introducción a la metodología de la investigación científica*. Universidad de las Fuerzas Armadas ESPE. https://institutorambell.blogspot.com/2022/12/introduccion-la-metodologia-de-la.html
- Calvi, P. y Calvi, G. (2018). Historical development of friction-based seismic isolation systems. *Soil Dynamics and Earthquake Engineering*, 106(12), pp. 14-30. https://doi.org/10.1016/j.soildyn.2017.12.003
- Chacón, C. (2018). Eficiencia de respuesta sísmica de la infraestructura del hospital materno infantil de la ciudad de Juliaca, diseñado con aisladores de base considerando la flexibilidad del suelo. [Tesis de pregrado, Universidad Peruana Unión]. Repositorio Institucional UPEU. http://repositorio.upeu.edu.pe/handle/20.500.12840/851

- Chen, B., Dai, J., Song, T. y Guan, Q. (2022). Research and development of high-performance high-damping rubber Materials for high-damping rubber isolation bearings: A review. *Polymers*, *14*(12), pp. 1-36. https://doi.org/10.3390/polym14122427
- Constantinou, M., Kalpakidis, I., Filiatrault, A. y Lay, R. (2011). *LRFD-based analysis and design procedures for bridge bearings and seismic isolators*. University at Buffalo. https://www.eng.buffalo.edu/mceer-reports/11/11-0004.pdf
- De Domenico, D., Ricciardi, G. y Zhang, R. (2020). Optimal design and seismic performance of tuned fluid inerter applied to structures with friction pendulum isolators. *Soil Dynamics and Earthquake Engineering*, *13*(2), pp. 1-17. https://doi.org/10.1016/j.soildyn.2020.106099
- Escobar-Pérez, J. y Cuervo-Martínez, Á. (2008). Validez de contenido y juicio de expertos:

 una aproximación a su utilización. *Avances en medición*, 6(1), pp. 27-36.

 https://www.humanas.unal.edu.co/lab_psicometria/application/files/9416/0463/3548/

 Vol 6. Artículo3 Juicio de expertos 27-36.pdf
- Federal Emergency Management Agency. (2003). *Multi-hazard Loss Estimation Methodology*, *Earthquake Model HAZUS-MH MR4 Technical Manual*.

 http://www.civil.ist.utl.pt/~mlopes/conteudos/DamageStates/hazus_mr4_earthquake_t

 ech manual.pdf
- Genatios, C. y Lafuente, M. (2016). *Introducción al uso de aisladores y disipadores en estructuras*. CAF Banco de Desarrollo de América Latina y el Caribe. https://scioteca.caf.com/handle/123456789/1213
- Guaygua, B. (2015). *Análisis experimental y analítico de aisladores elastoméricos*. [Tesis de maestría, Universidad Central del Ecuador]. Repositorio Institucional UCE. http://www.dspace.uce.edu.ec/handle/25000/4239

- Hernández, R., Fernández, C. y Baptista, M. (2014). *Metodología de la Investigación*. (6ª ed.). McGraw Hill.
- Janampa, B. (2018). Diseño del sistema de aislamiento sísmico de un edificio hospitalario usando dispositivos HDR. [Tesis de pregrado, Pontificia Universidad Católica del Perú]. Repositorio Institucional PUCP. http://hdl.handle.net/20.500.12404/13234
- Leiva, P. y Aguiar, R. (2018). Análisis no lineal del aislador de triple péndulo de fricción mediante el modelo tri-lineal. *Ciencia*, 19(1), pp. 95-119. https://doi.org/10.24133/ciencia.v19i1.329
- López, C., Retamales, R. y Kannegeisser, T. (10 noviembre de 2011). *Protección sísmica de estructuras, sistemas de aislación sísmica y disipación de energía*. Corporación de Desarrollo Tecnológico, Cámara Chilena de la Construcción. https://www.cdt.cl/?post_type=dlm_download&p=76545
- Mamani, F. (2023). Análisis comparativo de la respuesta estructural de edificaciones de forma regular e irregular con zapatas aisladas en el distrito de San Miguel, San Román, Puno, 2021. [Tesis de pregrado, Universidad Continental]. Repositorio Institucional UC. https://hdl.handle.net/20.500.12394/13455
- McVitty, W. y Constantinou, M. (2015). Property modification factors for seismic isolators:

 design guidance for buildings. University at Buffalo.

 https://www.eng.buffalo.edu/mceer-reports/15/15-0005.pdf
- Melendrez, J. y Pantoja, C. (2020). Análisis comparativo de un edificio con cuatro tipos de aisladores sísmicos en el distrito de la Victoria. [Tesis de pregrado, Universidad Ricardo Palma]. Repositorio Institucional URP. https://repositorio.urp.edu.pe/entities/publication/553abc92-7100-4d75-80cb-a6a3dd9ff9a1

- Mendo, A. (2015). Bases para la implementación de la norma peruana de análisis y diseño de edificios con aislación sísmica. [Tesis de maestría, Pontificia Universidad Católica del Perú]. Repositorio Institucional PUCP. http://hdl.handle.net/20.500.12404/6817
- Ministerio de Vivienda, Construcción y Saneamiento. (2020a). *Norma E.020 Cargas*. https://drive.google.com/file/d/15atg-9w0OEXjR5C1m6IXUFihwYeUh1aN/view
- Ministerio de Vivienda, Construcción y Saneamiento. (2020b). Norma E.030 Diseño Sismorresistente.

https://drive.google.com/file/d/1W14N6JldWPN8wUZSqWZnUphg6C559bi-/view

Ministerio de Vivienda, Construcción y Saneamiento. (2020c). Norma E.031 Aislamiento Sísmico.

https://drive.google.com/file/d/1IZ22Z1h3jfZpp4GKdsLLFQ1FIVSUVUso/view

- Moscoso, J. (2019). Evaluación del desempeño de edificaciones hospitalarias prefabricadas con aislamiento sísmico en el Perú. [Tesis de maestría, Pontificia Universidad Católica del Perú]. Repositorio Institucional PUCP. http://hdl.handle.net/20.500.12404/14990
- Takagi, J. y Wada, A. (2019). Recent earthquakes and the need for a new philosophy for earthquake-resistant design. *Soil Dynamics and Earthquake Engineering*, 119(45), pp. 499-507. https://doi.org/10.1016/j.soildyn.2017.11.024
- Talavera, A. (2017). Experiencia nacional en edificaciones con sistemas de protección sísmica.

 Recuperado el 15 de enero del 2022 de http://www3.vivienda.gob.pe/dnc/archivos/difusion/eventos/2017/5.Experiencia

 Nacional en Sist. de protec. sísmica (Alvaro Talavera).pdf
- Tavera, H. (2017). Actualización del escenario por sismo, tsunami y exposición en la región central del Perú. Instituto Geofisico del Perú. http://hdl.handle.net/20.500.12816/781
- Tipula, C. (2024). Análisis comparativo del comportamiento estructural de una edificación multifamiliar con reforzamiento sísmico mediante tres tipos de aisladores, Juliaca-

- 2023. [Tesis de pregrado, Universidad Privada de Tacna]. Repositorio Institucional UPT. https://repositorio.upt.edu.pe/handle/20.500.12969/3460
- Vaiana, N., Capuano, R., Sessa, S., Marmo, F. y Rosati, L. (2021). Nonlinear dynamic analysis of seismically base-isolated structures by a novel opensees hysteretic material model.

 Applied Sciences, 11(3), pp. 1-13. https://doi.org/10.3390/app11030900
- Valerio, J. (2015). Análisis comparativo de un edificio fijo en la base vs un edificio aislado utilizando 4 tipos de aisladores sísmicos. [Tesis de maestría, Universidad Politécnica de Cataluña]. Repositorio Institucional UPC. http://hdl.handle.net/2117/80231
- Villagómez, D. (2015). Lineamientos para el análisis y diseño de edificaciones sísmicamente aisladas en el Perú. [Tesis de maestría, Pontificia Universidad Católica del Perú]. Repositorio Institucional PUCP. http://hdl.handle.net/20.500.12404/6729
- Villavicencio, E. (2015). Análisis sísmico estructural comparativo para edificios con aisladores de base tipo elastoméricos y friccionantes, para los diferentes tipos de suelos del Ecuador. [Tesis de maestría, Escuela Politécnica Nacional]. Repositorio Institucional EPN. http://bibdigital.epn.edu.ec/handle/15000/15639

IX. ANEXOS



TÍTULO: EVALUACIÓN DE LA RESPUESTA ESTRUCTURAL DE UNA EDIFICACIÓN HOSPITALARIA USANDO TRES SISTEMAS DE AISLAMIENTO SÍSMICO EN LA CIUDAD DE ILO-PERÚ

EN LA CIUDAD DE ILO-PERU								
PROBLEMAS	OBJETIVOS	HIPÓTESIS	VARIABLES	DIMENSIÓN	INDICADORES			
Problema general	Objetivo general	Hipótesis general	Variable	- Aisladores de	- Rigidez efectiva (tonf/m)			
¿En qué medida influye el	Determinar en qué	El sistema de aislamiento	independiente	triple péndulo de	- Desplazamiento máximo de fase (m)			
uso de tres sistemas de	medida influye el uso de	sísmico con dispositivos de	- Tres sistemas	- Tres sistemas	- Tres sistemas		fricción (TFP)	- Fuerza característica (tonf)
aislamiento sísmico en la	tres sistemas de	triple péndulo de fricción	de aislamiento		- Energía disipada en un ciclo de histéresis (tonf.m)			
respuesta estructural de una edificación	aislamiento sísmico en la respuesta estructural de	(TFP) permitirá obtener mejores resultados en la	sísmico		- Energía de deformación máxima elástica (tonf.m)			
hospitalaria ubicada en la	una edificación	respuesta estructural de la			- Amortiguamiento efectivo (adimensional)			
ciudad de Ilo?	hospitalaria ubicada en la	edificación hospitalaria			- Fuerza máxima (tonf)			
	ciudad de Ilo.	evaluada, ubicada en la ciudad de Ilo.		- Aisladores	- Rigidez efectiva (tonf/m)			
		ciudad de iio.		elastoméricos de	- Rigidez inicial (tonf/m)			
				núcleo de plomo (LRB) +	- Rigidez post-fluencia (tonf/m)			
				Deslizadores	- Fuerza característica (tonf)			
				Planos de Fricción (SL)	- Energía disipada en un ciclo de histéresis (tonf.m)			
	(SE)		(3L)	- Energía de deformación máxima elástica (tonf.m)				
					- Amortiguamiento efectivo (adimensional)			
					- Fuerza de fluencia (tonf)			
					- Fuerza máxima (tonf)			
					- Desplazamiento de fluencia (m)			
				- Aisladores	- Rigidez efectiva (tonf/m)			
				elastoméricos de núcleo de plomo	- Rigidez inicial (tonf/m)			
				(LRB) + Aisladores	- Rigidez post-fluencia (tonf/m)			
				elastoméricos de	- Fuerza característica (tonf)			
				alto amortiguamiento	- Energía disipada en un ciclo de histéresis (tonf.m)			
				(HDR) +	- Energía de deformación máxima elástica (tonf.m)			
				Deslizadores	- Amortiguamiento efectivo (adimensional)			
							Planos de Fricción (SL)	- Fuerza de fluencia (tonf)
					- Fuerza máxima (tonf)			
					- Desplazamiento de fluencia (m)			

TÍTULO: EVALUACIÓN DE LA RESPUESTA ESTRUCTURAL DE UNA EDIFICACIÓN HOSPITALARIA USANDO TRES SISTEMAS DE AISLAMIENTO SÍSMICO EN LA CIUDAD DE ILO-PERÚ								
PROBLEMAS	OBJETIVOS	HIPÓTESIS	VARIABLES	DIMENSIÓN	INDICADORES			

PROBLEMAS	OBJETIVOS	HIPÓTESIS	VARIABLES	DIMENSIÓN	INDICADORES
Problemas específicos a) ¿De qué manera influye el uso de tres sistemas de aislamiento sísmico en las derivas de entrepiso de una edificación hospitalaria ubicada en la ciudad de llo?	Objetivos específicos a) Definir de qué manera influye el uso de tres sistemas de aislamiento sísmico en las derivas de entrepiso de una edificación hospitalaria ubicada en la ciudad de Ilo.	Aipótesis específicas a) El sistema de aislamiento sísmico con dispositivos de triple péndulo de fricción (TFP) permitirá obtener mejores resultados en las derivas de entrepiso de la edificación hospitalaria evaluada, ubicada en la ciudad de llo.	Variable dependiente - Respuesta estructural de una edificación hospitalaria	- Respuesta sísmica de la superestructura	- Derivas de entrepiso (adimensional)
b) ¿Cómo influye el uso de tres sistemas de aislamiento sísmico en las aceleraciones de piso de una edificación hospitalaria ubicada en la ciudad de llo?	b) Establecer cómo influye el uso de tres sistemas de aislamiento sísmico en las aceleraciones de piso de una edificación hospitalaria ubicada en la ciudad de Ilo.	b) El sistema de aislamiento sísmico con dispositivos de triple péndulo de fricción (TFP) permitirá obtener mejores resultados en las aceleraciones de piso de la edificación hospitalaria evaluada, ubicada en la ciudad de llo.			- Aceleraciones de piso (m/s²)

PROBLEMAS	OBJETIVOS	HIPÓTESIS	VARIABLES	DIMENSIÓN	INDICADORES
c) ¿De qué modo influye el uso de tres sistemas de aislamiento sísmico en el desplazamiento máximo del sistema de aislamiento de una edificación hospitalaria ubicada en la ciudad de IIo?	c) Determinar de qué modo influye el uso de tres sistemas de aislamiento sísmico en el desplazamiento máximo del sistema de aislamiento de una edificación hospitalaria ubicada en la ciudad de llo.	c) El sistema de aislamiento sísmico con dispositivos de triple péndulo de fricción (TFP) permitirá obtener mejores resultados en el desplazamiento máximo del sistema de aislamiento de la edificación hospitalaria evaluada, ubicada en la ciudad de llo.			- Fuerza cortante en la base de la superestructura aislada (tonf)
d) ¿Cuánto influye el uso de tres sistemas de aislamiento sísmico en la fuerza cortante que actúa en la base de la superestructura aislada de una edificación hospitalaria ubicada en la ciudad de Ilo?	d) Precisar cuánto influye el uso de tres sistemas de aislamiento sísmico en la fuerza cortante que actúa en la base de la superestructura aislada de una edificación hospitalaria ubicada en la ciudad de llo.	d) El sistema de aislamiento sísmico con dispositivos de triple péndulo de fricción (TFP) permitirá obtener mejores resultados en la fuerza cortante que actúa en la base de la superestructura aislada de la edificación hospitalaria evaluada, ubicada en la ciudad de llo.		- Respuesta sísmica del sistema de aislamiento	- Fuerza cortante en el sistema de aislamiento (to

PROBLEMAS	OBJETIVOS	HIPÓTESIS	VARIABLES	DIMENSIÓN	INDICADORES
e) ¿En qué medida influye el uso de tres sistemas de hislamiento sísmico en la uerza cortante que actúa en el sistema de hislamiento de una edificación hospitalaria hicada en la ciudad de lo?	e) Calcular en qué medida influye el uso de tres sistemas de aislamiento sísmico en la fuerza cortante que actúa en el sistema de aislamiento de una edificación hospitalaria ubicada en la ciudad de llo.	e) El sistema de aislamiento sísmico con dispositivos de triple péndulo de fricción (TFP) permitirá obtener mejores resultados en la fuerza cortante que actúa en el sistema de aislamiento de la edificación hospitalaria evaluada, ubicada en la ciudad de Ilo.			- Desplazamiento máximo del sistema de aislamiento (m)



TÍT	TULO: EVALUACIÓN DE LA RESF		EDIFICACIÓN HOSPITALARIA U A CIUDAD DE ILO-PERÚ	JSANDO TRES SISTEMAS DE AISLAMIENTO SÍSMICO	
VARIABLES	DEFINICIÓN CONCEPTUAL	DEFINICION OPERACIONAL	DIMENSIÓN	INDICADORES	ESCALA DE MEDICIÓN
Variable independiente - Tres sistemas de aislamiento sísmico.	Los sistemas de aislamiento sísmico buscan evitar que la superestructura sufra de de daños producto de LRB+SL, LRB+HDR+SL y TFP,	Aisladores de triple péndulo de fricción (TFP)	- Rigidez efectiva (tonf/m) - Desplazamiento máximo de fase (m) - Fuerza característica (tonf) - Energía disipada en un ciclo de histéresis (tonf.m) - Energía de deformación máxima elástica (tonf.m) - Amortiguamiento efectivo (adimensional) - Fuerza máxima (tonf)	De razón	
	uso en edificaciones que deben mantener su operatividad durante y después a un sismo, como es el caso de hospitales (Genatios y Lafuente, 2016). La Norma E.031 (MVCS, 2020c, p. 10) indica que los sistemas de aislamiento sísmico están conformados por elementos estructurales	E.031 (MVCS, 2020c) y el manual técnico HAZUS-MH MR4 (FEMA, 2003).	- Aisladores elastoméricos de núcleo de plomo (LRB) + Deslizadores Planos de Fricción (SL)	 Rigidez efectiva (tonf/m) Rigidez inicial (tonf/m) Rigidez post-fluencia (tonf/m) Fuerza característica (tonf) Energía disipada en un ciclo de histéresis (tonf.m) Energía de deformación máxima elástica (tonf.m) Amortiguamiento efectivo (adimensional) Fuerza de fluencia (tonf) Fuerza máxima (tonf) Desplazamiento de fluencia (m) 	De razón
	como dispositivos de aislamiento, vigas, losas macizas, capiteles entre otros.		- Aisladores elastoméricos de núcleo de plomo (LRB) + Aisladores elastoméricos de alto amortiguamiento (HDR) + Deslizadores Planos de Fricción (SL)	 Rigidez efectiva (tonf/m) Rigidez inicial (tonf/m) Rigidez post-fluencia (tonf/m) Fuerza característica (tonf) Energía disipada en un ciclo de histéresis (tonf.m) Energía de deformación máxima elástica (tonf.m) Amortiguamiento efectivo (adimensional) Fuerza de fluencia (tonf) Fuerza máxima (tonf) Desplazamiento de fluencia (m) 	De razón

ΤÍ	TULO: EVALUACIÓN DE LA RESF		EDIFICACIÓN HOSPITALARIA (A CIUDAD DE ILO-PERÚ	USANDO TRES SISTEMAS DE AISLAMIENTO SÍSMICO	
VARIABLES	DEFINICIÓN CONCEPTUAL	DEFINICION OPERACIONAL	DIMENSIÓN	INDICADORES	ESCALA DE MEDICIÓN
Variable dependiente - Respuesta estructural de una edificación hospitalaria.	La respuesta estructural de una edificación es la manera en que una estructura responde ante la acción de fuerzas externas que actúan sobre ella (Mamani, 2021).	En esta variable se desarrollarán modelos numéricos en software de la edificación hospitalaria con los tres sistemas de aislamiento sísmico y se realizará el análisis	Respuesta sísmica de la superestructura	Derivas de entrepiso (adimensional)	De razón
		dinámico no lineal tiempo- historia hasta obtener los indicadores derivas de entrepiso, aceleraciones de piso, fuerza cortante en la base de la superestructura aislada, fuerza cortante en		Aceleraciones de piso (m/s2)	De razón
		el sistema de aislamiento y desplazamiento máximo del sistema de aislamiento, los cuales serán comparados entre cada sistema de aislamiento sísmico para obtener las		Fuerza cortante en la base de la superestructura aislada (tonf)	De razón
	conclusiones de la investigación.	Respuesta sísmica del sistema de aislamiento	Fuerza cortante en el sistema de aislamiento (tonf)	De razón	
				Desplazamiento máximo del sistema de aislamiento (m)	De razón



Diseño de los dispositivos que conforman el sistema de aislamiento LRB+SL

Tabla C1Diseño nominal de los aisladores LRB

D		Dispositivo		TT*1 1
Descripción	LRB-1	LRB-2	LRB-3	- Unidad
Código del aislador del catálogo de Bridgestone	LH070G4 [E]	LH065G4 [D]	LH060G4 [E]	
Cantidad de aisladores	12	20	4	und
Peso de servicio sobre cada aislador LRB (P_{serv})	289.64	168.89	100.53	tonf
Peso máximo sobre el aislador LRB (P _{max})	542.21	341.08	203.06	tonf
Módulo de corte de la goma al 100% (G_{eq})	39.26	39.26	39.26	tonf/m ²
Módulo aparente del plomo a cortante (α_p)	59.45	59.45	59.45	tonf/m ²
Peso del aislador LRB	0.82	0.74	0.67	tonf
Diámetro del aislador (Do)	0.700	0.65	0.60	m
Área efectiva en el plano del aislador LRB (A _{ep})	0.3770	0.3240	0.2777	m^2
Altura total de la goma (H)	0.202	0.198	0.200	m
Número de capas de goma	43	45	50	und
Espesor de cada capa de goma (t _r)	0.0047	0.0044	0.004	m
Altura total del aislador elegido LRB (H _T)	0.3883	0.3904	0.4079	m
Diámetro efectivo del núcleo de plomo (D _p)	0.10	0.10	0.08	m
Área efectiva del núcleo de plomo (Ap)	0.0079	0.0079	0.0050	m^2
Esfuerzo a corte de fluencia del plomo (σ_{pb})	812.41	812.41	812.41	tonf/m ²
Ratio de rigidez inicial y post-fluencia $(10 \le \varepsilon \le 15)$	13	13	13	
Desplazamiento máximo (D _M)	0.272	0.272	0.272	m
Desplazamiento total máximo (D _{TM})	0.327	0.327	0.327	m
Deformación por corte (γ)	1.346	1.373	1.360	
Rigidez post-fluencia (K2)	72.93	64.11	53.98	tonf/m
Rigidez inicial (K_1)	948.15	833.47	701.73	tonf/m
Fuerza característica (Q)	6.38	6.38	4.08	tonf
Rigidez efectiva (K _{eff})	96.37	87.55	68.97	tonf/m

Dagaminaión		Dispositivo		- Unidad	
Descripción	LRB-1	LRB-2	LRB-3		
Amortiguamiento horizontal (Ch)	10.76	8.96	4.54	tonf.s/m	
Desplazamiento de fluencia (D _y)	0.00729	0.00829	0.00630	m	
Energía disipada en un ciclo de histéresis (E _d)	6.75	6.73	4.34	tonf.m	
Energía de deformación máxima elástica (E _s)	3.56	3.24	2.55	tonf.m	
Amortiguamiento efectivo (β_{eff})	0.151	0.165	0.135		
Fuerza de fluencia (F _y)	6.91	6.91	4.42	tonf	
Fuerza máxima (F _M)	26.21	23.81	18.76	tonf	
Factor B_M	1.35	1.40	1.31		
Módulo de Young (E)	224.34	224.34	224.34	tonf/m ²	
Módulo volumétrico (E∞)	119919.07	119919.07	119919.07	$tonf/m^2$	
Factor de corrección por rugosidad (k)	0.85	0.85	0.85		
Primer factor de forma del material (S ₁)	37.23	36.93	37.50		
Segundo factor de forma del material (S ₂)	3.46	3.28	3.00		
Módulo de compresión efectiva de la goma (E _c)	119919.05	119919.05	119919.05	tonf/m ²	
Factor de corrección al módulo de Young (α _v)	1.23	1.23	1.23		
Rigidez a compresión vertical del aislador (K_v)	281020.43	247215.18	208511.44	tonf/m	
Amortiguamiento vertical (C _v)	72.02	51.58	36.55	tonf.s/m	
Verificación por capacidad axial					
Área reducida (A _r)	0.16	0.13	0.10	m^2	
Factor forma (S)	36.48	36.06	36.83		
Peso crítico del aislador (Pcr)	907.98	664.82	466.81	tonf	
Peso de servicio sobre cada aislador LRB (P _{serv})	289.64	168.89	100.53	tonf	
P_{cr} / P_{serv}	3.13	3.94	4.64		
Factor de seguridad para carga axial	3	3	3		
Verificación por carga axial	OK	OK	OK		
Peso máximo sobre el aislador LRB (P _{max})	542.21	341.08	203.06	tonf	
P _{cr} / P _{max}	1.67	1.95	2.30		
Factor de seguridad para carga axial última	1	1	1		

Descripción		Dispositivo			
Descripción	LRB-1	LRB-2	LRB-3	- Unidad	
Verificación por carga axial última	OK	OK	OK		
Verificación de deformaciones por corte					
Deformación por corte debido a deformación	1.62	1.65	1.63		
Deformación por corte debido a compresión	3.21	2.37	1.91		
Deformación por corte debido a deformación angular	1.94	1.82	1.69		
Deformación total por corte	5.79	4.93	4.39		
Límite de deformación total por corte	6	6	6		
Verificación total por corte	OK	OK	OK		

Tabla C2Diseño en límite superior de los aisladores LRB

Descripción	Dispositivo			TI: 41
	LRB-1	LRB-2	LRB-3	Unidad
Código del aislador del catálogo de	LH070G4	LH065G4	LH060G4	
Bridgestone	[E]	[D]	[E]	
Desplazamiento máximo (D _M)	0.272	0.272	0.272	m
Desplazamiento total máximo (D _{TM})	0.327	0.327	0.327	m
Deformación por corte (γ)	1.346	1.373	1.360	
Factor de modificación para K2	1.3	1.3	1.3	
Rigidez post-fluencia (K2)	94.81	83.35	70.17	tonf/m
Rigidez inicial (K ₁)	1232.59	1083.51	912.25	tonf/m
Factor de modificación para Q	1.5	1.5	1.5	
Fuerza característica (Q)	9.57	9.57	6.13	tonf
Rigidez efectiva (K _{eff})	129.97	118.51	92.67	tonf/m
Amortiguamiento horizontal (Ch)	14.50	11.96	6.20	tonf.s/m
Desplazamiento de fluencia (D _y)	0.00841	0.00957	0.00727	m
Energía disipada en un ciclo de histéresis (E_d)	10.09	10.04	6.48	tonf.m
Energía de deformación máxima elástica (E _s)	4.81	4.38	3.43	tonf.m
Amortiguamiento efectivo (β _{eff})	0.167	0.182	0.151	
Fuerza de fluencia (F _y)	10.37	10.37	6.64	tonf
Fuerza máxima (F _M)	35.35	32.23	25.21	tonf

Description		Dispositivo		TI: 1. 1
Descripción	LRB-1	LRB-2	LRB-3	- Unidad
Factor B _M	1.40	1.45	1.35	
Verificación por capacidad axial				
Área reducida (A _r)	0.16	0.13	0.10	m^2
Factor forma (S)	36.48	36.06	36.83	
Peso crítico del aislador (Pcr)	907.98	664.82	466.81	tonf
Peso de servicio sobre cada aislador LRB (P _{serv})	289.64	168.89	100.53	tonf
P_{cr} / P_{serv}	3.13	3.94	4.64	
Factor de seguridad para carga axial	3	3	3	
Verificación por carga axial	OK	OK	OK	
Peso máximo sobre el aislador LRB (P _{max})	559.53	360.88	215.14	tonf
P_{cr} / P_{max}	1.62	1.84	2.17	
Factor de seguridad para carga axial última	1	1	1	
Verificación por carga axial última	OK	OK	OK	
Verificación de deformaciones por corte				
Deformación por corte debido a deformación	1.62	1.65	1.63	
Deformación por corte debido a compresión	3.21	2.37	1.91	
Deformación por corte debido a deformación angular	1.94	1.82	1.69	
Deformación total por corte	5.79	4.93	4.39	
Límite de deformación total por corte	6	6	6	
Verificación total por corte	OK	OK	OK	

Tabla C3Diseño en límite inferior de los aisladores LRB

		Dispositivo			
Descripción	LRB-1	LRB-2	LRB-3	Unidad	
Código del aislador del catálogo de	LH070G4	LH065G4	LH060G4		
Bridgestone	[E]	[D]	[E]		
Desplazamiento máximo (D _M)	0.272	0.272	0.272	m	
Desplazamiento total máximo (D _{TM})	0.327	0.327	0.327	m	
Deformación por corte (γ)	1.346	1.373	1.360		

December in the	TId. d			
Descripción	LRB-1	LRB-2	LRB-3	- Unidad
Factor de modificación para K ₂	0.8	0.8	0.8	
Rigidez post-fluencia (K ₂)	58.35	51.29	43.18	tonf/m
Rigidez inicial (K ₁)	758.52	666.78	561.38	tonf/m
Factor de modificación para Q	0.8	0.8	0.8	
Fuerza característica (Q)	5.10	5.10	3.27	tonf
Rigidez efectiva (K _{eff})	77.09	70.04	55.18	tonf/m
Amortiguamiento horizontal (Ch)	9.62	8.02	4.06	tonf.s/m
Desplazamiento de fluencia (D _y)	0.00729	0.00829	0.00630	m
Energía disipada en un ciclo de histéresis (E_d)	5.40	5.38	3.47	tonf.m
Energía de deformación máxima elástica (E _s)	2.85	2.59	2.04	tonf.m
Amortiguamiento efectivo (β _{eff})	0.151	0.165	0.135	
Fuerza de fluencia (F _y)	5.53	5.53	3.54	tonf
Fuerza máxima (F _M)	20.97	19.05	15.01	tonf
Factor B _M	1.35	1.40	1.31	
Verificación por capacidad axial				
Área reducida (A _r)	0.16	0.13	0.10	m^2
Factor forma (S)	36.48	36.06	36.83	
Peso crítico del aislador (Pcr)	907.98	664.82	466.81	tonf
Peso de servicio sobre cada aislador LRB (P _{serv})	289.64	168.89	100.53	tonf
P_{cr} / P_{serv}	3.13	3.94	4.64	
Factor de seguridad para carga axial	3	3	3	
Verificación por carga axial	OK	OK	OK	
Peso máximo sobre el aislador LRB (P _{max})	531.73	329.22	195.78	tonf
P_{cr} / P_{max}	1.71	2.02	2.38	
Factor de seguridad para carga axial última	1	1	1	
Verificación por carga axial última	OK	OK	OK	
Verificación de deformaciones por corte				
Deformación por corte debido a deformación	1.62	1.65	1.63	
Deformación por corte debido a compresión	3.21	2.37	1.91	

Dogowinoión		- Unidad		
Descripción	LRB-1	LRB-2	LRB-3	- Ollidad
Deformación por corte debido a deformación angular	1.94	1.82	1.69	
Deformación total por corte	5.79	4.93	4.39	
Límite de deformación total por corte	6	6	6	
Verificación total por corte	OK	OK	OK	

Tabla C4Diseño nominal de los aisladores SL

Descrinción	Dispositivo	- Unidad
Descripción	SL	Ullidad
Cantidad de aisladores	9	und
Desplazamiento máximo (D _M)	0.272	m
Desplazamiento total máximo (D _{TM})	0.327	m
Peso de servicio sobre cada aislador SL (Pserv)	294.70	tonf
Peso máximo sobre el aislador SL (P _{max})	556.35	tonf
Coeficiente de fricción (µ)	5.00%	
Fuerza de fluencia (F _y)	14.73	tonf
Fuerza característica (Q)	14.73	tonf
Fuerza máxima (F _M)	14.73	tonf
Rigidez efectiva (K _{eff})	54.17	tonf/m
Energía disipada en un ciclo de histéresis (E _d)	16.03	tonf.m
Energía de deformación máxima elástica (Es)	2.00	tonf.m
Amortiguamiento efectivo (β _{eff})	63.66%	
Desplazamiento de fluencia (D _y)	0.001	m
Rigidez inicial (K ₁)	14734.95	tonf/m
Coeficiente de amortiguamiento horizontal (Ch)	47.34	tonf.s/m
Esfuerzo axil permisible en el teflón (σ_s)	2039.44	$tonf/m^2$
Esfuerzo axil permisible en combinación del teflón (σ_u)	4078.88	$tonf/m^2$
Área del teflón 1	0.14	m^2
Área del teflón 2	0.14	m^2
Área final del teflón (el mayor de 1 y 2)	0.14	m^2
Diámetro de la placa de teflón (D)	0.43	m
Diámetro total del POT (D _T)	0.48	m
Rigidez vertical (K _v)	384309.54	tonf/m
Coeficiente de amortiguamiento vertical (C _v)	339.78	tonf.s/m

Tabla C5Diseño en límite superior de los aisladores SL

Description	Dispositivo	TT: d. d
Descripción	SL	Unidad
Factor de modificación	1.6	
Coeficiente de fricción modificado (µmod)	8.00%	
Fuerza de fluencia (F _y)	23.58	tonf
Fuerza característica (Q)	23.58	tonf
Fuerza máxima (F _M)	23.58	tonf
Rigidez efectiva (K _{eff})	86.68	tonf/m
Energía disipada en un ciclo de histéresis (E _d)	25.64	tonf.m
Energía de deformación máxima elástica (Es)	3.21	tonf.m
Amortiguamiento efectivo (βeff)	63.66%	
Desplazamiento de fluencia (D _y)	0.001	m
Rigidez inicial (K ₁)	23575.93	tonf/m
Coeficiente de amortiguamiento horizontal (Ch)	59.88	tonf.s/m
Esfuerzo axil permisible en el teflón (σ_s)	2039.44	$tonf/m^2$
Esfuerzo axil permisible en combinación del teflón (σ_u)	4078.88	$tonf/m^2$
Área del teflón 1	0.14	m^2
Área del teflón 2	0.14	m^2
Área final del teflón (el mayor de 1 y 2)	0.14	m^2
Diámetro de la placa de teflón (D)	0.43	m
Diámetro total del POT (D _T)	0.48	m
Rigidez vertical (K _v)	384309.54	tonf/m
Coeficiente de amortiguamiento vertical (C _v)	339.78	tonf.s/m

Tabla C6Diseño en límite inferior de los aisladores SL

Descripción	Dispositivo	Unidad
Descripcion	SL	Ullidad
Factor de modificación	0.8	
Coeficiente de fricción modificado (μ_{mod})	4.00%	
Fuerza de fluencia (F _y)	11.79	tonf
Fuerza característica (Q)	11.79	tonf
Fuerza máxima (F _M)	11.79	tonf
Rigidez efectiva (K _{eff})	43.34	tonf/m

Descripción	Dispositivo SL	Unidad
Engraío diginado en un cialo de histórosis (E.)	12.82	tonf.m
Energía disipada en un ciclo de histéresis (E _d)		
Energía de deformación máxima elástica (E _s)	1.60	tonf.m
Amortiguamiento efectivo (βeff)	63.66%	
Desplazamiento de fluencia (D _y)	0.001	m
Rigidez inicial (K ₁)	11787.96	tonf/m
Coeficiente de amortiguamiento horizontal (Ch)	42.34	tonf.s/m
Esfuerzo axil permisible en el teflón (σ_s)	2039.44	$tonf/m^2$
Esfuerzo axil permisible en combinación del teflón (σ_u)	4078.88	$tonf/m^2$
Área del teflón 1	0.14	m^2
Área del teflón 2	0.14	m^2
Área final del teflón (el mayor de 1 y 2)	0.14	m^2
Diámetro de la placa de teflón (D)	0.43	m
Diámetro total del POT (D _T)	0.48	m
Rigidez vertical (K _v)	384309.54	tonf/m
Coeficiente de amortiguamiento vertical (C _v)	339.78	tonf.s/m

Diseño de los dispositivos que conforman el sistema de aislamiento LRB+HDR+SL

Tabla C7Diseño nominal de los aisladores LRB

Dagarinaión		Dispositivo			
Descripción	LRB-1	LRB-2	LRB-3	- Unidad	
Código del aislador del catálogo de Bridgestone	LH070G4 [E]	LH065G4 [E]	LH060G4 [E]		
Cantidad de aisladores	6	20	4	und	
Peso de servicio sobre cada aislador LRB (P _{serv})	284.67	168.85	100.46	tonf	
Peso máximo sobre el aislador LRB (P _{max})	530.32	334.70	200.62	tonf	
Módulo de corte de la goma al 100% (G_{eq})	39.26	39.26	39.26	tonf/m ²	
Módulo aparente del plomo a cortante (α_p)	59.45	59.45	59.45	tonf/m ²	
Peso del aislador LRB	0.82	0.74	0.67	tonf	
Diámetro del aislador (Do)	0.700	0.65	0.60	m	
Área efectiva en el plano del aislador LRB (A _{ep})	0.3770	0.3255	0.2777	m^2	
Altura total de la goma (H)	0.202	0.198	0.200	m	
Número de capas de goma	43	45	50	und	
Espesor de cada capa de goma (t _r)	0.0047	0.0044	0.004	m	
Altura total del aislador elegido LRB (H _T)	0.3883	0.3904	0.4079	m	
Diámetro efectivo del núcleo de plomo (D _p)	0.10	0.09	0.08	m	
Área efectiva del núcleo de plomo (Ap)	0.0079	0.0064	0.0050	m^2	
Esfuerzo a corte de fluencia del plomo (σ_{pb})	812.41	812.41	812.41	tonf/m ²	
Ratio de rigidez inicial y post-fluencia $(10 \le \varepsilon \le 15)$	13	13	13		
Desplazamiento máximo (D _M)	0.267	0.267	0.267	m	
Desplazamiento total máximo (D _{TM})	0.321	0.321	0.321	m	
Deformación por corte (γ)	1.323	1.350	1.337		
Rigidez post-fluencia (K2)	73.08	64.10	54.09	tonf/m	
Rigidez inicial (K ₁)	950.08	833.28	703.16	tonf/m	
Fuerza característica (Q)	6.38	5.17	4.08	tonf	
Rigidez efectiva (Keff)	96.92	83.40	69.34	tonf/m	

Descripción	Descripción Dispositivo			
Descripción	LRB-1	LRB-2	LRB-3	- Unidad
Amortiguamiento horizontal (Ch)	10.87	7.11	4.63	tonf.s/m
Desplazamiento de fluencia (D _y)	0.00728	0.00672	0.00629	m
Energía disipada en un ciclo de histéresis (E _d)	6.64	5.39	4.26	tonf.m
Energía de deformación máxima elástica (E _s)	3.46	2.98	2.48	tonf.m
Amortiguamiento efectivo (β_{eff})	0.152	0.144	0.137	
Fuerza de fluencia (F _y)	6.91	5.60	4.42	tonf
Fuerza máxima (F _M)	25.92	22.30	18.54	tonf
Factor B _M	1.36	1.33	1.31	
Módulo de Young (E)	224.34	224.34	224.34	tonf/m ²
Módulo volumétrico (E∞)	119919.07	119919.07	119919.07	$tonf/m^2$
Factor de corrección por rugosidad (k)	0.85	0.85	0.85	
Primer factor de forma del material (S ₁)	37.23	36.93	37.50	
Segundo factor de forma del material (S ₂)	3.46	3.28	3.00	
Módulo de compresión efectiva de la goma (E _c)	119919.05	119919.05	119919.05	tonf/m ²
Factor de corrección al módulo de Young (α _v)	1.23	1.23	1.23	
Rigidez a compresión vertical del aislador (K _v)	281020.43	247220.94	208511.44	tonf/m
Amortiguamiento vertical (C _v)	71.40	51.58	36.54	tonf.s/m
Verificación por capacidad axial				
Área reducida (A _r)	0.17	0.13	0.10	m^2
Factor forma (S)	36.48	36.23	36.83	
Peso crítico del aislador (Pcr)	925.61	682.97	479.34	tonf
Peso de servicio sobre cada aislador LRB (P _{serv})	284.67	168.85	100.46	tonf
P _{cr} / P _{serv}	3.25	4.04	4.77	
Factor de seguridad para carga axial	3	3	3	
Verificación por carga axial	OK	OK	OK	
Peso máximo sobre el aislador LRB (P _{max})	530.32	334.70	200.62	tonf
P _{cr} / P _{max}	1.75	2.04	2.39	
Factor de seguridad para carga axial última	1	1	1	

Descripción		- Unidad		
Descripción	LRB-1	LRB-2	LRB-3	- Unidad
Verificación por carga axial última	OK	OK	OK	
Verificación de deformaciones por corte				
Deformación por corte debido a deformación	1.59	1.62	1.61	
Deformación por corte debido a compresión	3.09	2.32	1.86	
Deformación por corte debido a deformación angular	1.94	1.82	1.69	
Deformación total por corte	5.65	4.86	4.31	
Límite de deformación total por corte	6	6	6	
Verificación total por por corte	OK	OK	OK	

Tabla C8Diseño en límite superior de los aisladores LRB

Dogovinsión		Dispositivo			
Descripción	LRB-1	LRB-2	LRB-3	Unidad	
Código del aislador del catálogo de	LH070G4	LH065G4	LH060G4		
Bridgestone	[E]	[E]	[E]		
Desplazamiento máximo (D _M)	0.267	0.267	0.267	m	
Desplazamiento total máximo (D _{TM})	0.321	0.321	0.321	m	
Deformación por corte (γ)	1.323	1.350	1.337		
Factor de modificación para K ₂	1.3	1.3	1.3		
Rigidez post-fluencia (K ₂)	95.01	83.33	70.32	tonf/m	
Rigidez inicial (K ₁)	1235.11	1083.27	914.11	tonf/m	
Factor de modificación para Q	1.5	1.5	1.5		
Fuerza característica (Q)	9.57	7.75	6.13	tonf	
Rigidez efectiva (K _{eff})	130.77	112.29	93.20	tonf/m	
Amortiguamiento horizontal (Ch)	14.64	9.64	6.32	tonf.s/m	
Desplazamiento de fluencia (Dy)	0.00839	0.00775	0.00726	m	
Energía disipada en un ciclo de histéresis (E_d)	9.91	8.05	6.37	tonf.m	
Energía de deformación máxima elástica (E _s)	4.67	4.01	3.33	tonf.m	
Amortiguamiento efectivo (β_{eff})	0.169	0.160	0.152		
Fuerza de fluencia (F _y)	10.37	8.40	6.64	tonf	
Fuerza máxima (F _M)	34.97	30.03	24.92	tonf	

Denoting 1/2	Dispositivo			TT: 1. 1
Descripción	LRB-1	LRB-2	LRB-3	- Unidad
Factor B _M	1.41	1.38	1.36	
Verificación por capacidad axial				
Área reducida (A _r)	0.17	0.13	0.10	m^2
Factor forma (S)	36.48	36.23	36.83	
Peso crítico del aislador (Pcr)	925.61	682.97	479.34	tonf
Peso de servicio sobre cada aislador LRB (P _{serv})	284.67	168.85	100.46	tonf
P_{cr} / P_{serv}	3.25	4.04	4.77	
Factor de seguridad para carga axial	3	3	3	
Verificación por carga axial	OK	OK	OK	
Peso máximo sobre el aislador LRB (P _{max})	551.80	358.53	215.16	tonf
P_{cr} / P_{max}	1.68	1.90	2.23	
Factor de seguridad para carga axial última	1	1	1	
Verificación por carga axial última	OK	OK	OK	
Verificación de deformaciones por corte				
Deformación por corte debido a deformación	1.59	1.62	1.61	
Deformación por corte debido a compresión	3.09	2.32	1.86	
Deformación por corte debido a deformación angular	1.94	1.82	1.69	
Deformación total por corte	5.65	4.86	4.31	
Límite de deformación total por corte	6	6	6	
Verificación total por corte	OK	OK	OK	

Tabla C9Diseño en límite inferior de los aisladores LRB

Descripción Dispositivo			Unidad	
Descripcion	LRB-1	LRB-2	LRB-3	Unidad
Código del aislador del catálogo de	LH070G4	LH065G4	LH060G4	
Bridgestone	[E]	[E]	[E]	
Desplazamiento máximo (D _M)	0.267	0.267	0.267	m
Desplazamiento total máximo (D _{TM})	0.321	0.321	0.321	m
Deformación por corte (γ)	1.323	1.350	1.337	

Demoninalita		Dispositivo		TT: 1. 1
Descripción	LRB-1	LRB-2	LRB-3	- Unidad
Factor de modificación para K ₂	0.8	0.8	0.8	
Rigidez post-fluencia (K2)	58.47	51.28	43.27	tonf/m
Rigidez inicial (K ₁)	760.07	666.63	562.53	tonf/m
Factor de modificación para Q	0.8	0.8	0.8	
Fuerza característica (Q)	5.10	4.13	3.27	tonf
Rigidez efectiva (K _{eff})	77.53	66.72	55.47	tonf/m
Amortiguamiento horizontal (Ch)	9.72	6.36	4.14	tonf.s/m
Desplazamiento de fluencia (Dy)	0.00728	0.00672	0.00629	m
Energía disipada en un ciclo de histéresis (E _d)	5.31	4.31	3.41	tonf.m
Energía de deformación máxima elástica (E _s)	2.77	2.38	1.98	tonf.m
Amortiguamiento efectivo (β _{eff})	0.152	0.144	0.137	
Fuerza de fluencia (F _y)	5.53	4.48	3.54	tonf
Fuerza máxima (F _M)	20.73	17.84	14.83	tonf
Factor B_M	1.36	1.33	1.31	
Verificación por capacidad axial				
Área reducida (A _r)	0.17	0.13	0.10	m^2
Factor forma (S)	36.48	36.23	36.83	
Peso crítico del aislador (Pcr)	925.61	682.97	479.34	tonf
Peso de servicio sobre cada aislador LRB (P _{serv})	284.67	168.85	100.46	tonf
P_{cr} / P_{serv}	3.25	4.04	4.77	
Factor de seguridad para carga axial	3	3	3	
Verificación por carga axial	OK	OK	OK	
Peso máximo sobre el aislador LRB (P _{max})	520.55	323.52	193.82	tonf
P_{cr} / P_{max}	1.78	2.11	2.47	
Factor de seguridad para carga axial última	1	1	1	
Verificación por carga axial última	OK	OK	OK	
Verificación de deformaciones por corte				
Deformación por corte debido a deformación	1.59	1.62	1.61	
Deformación por corte debido a compresión	3.09	2.32	1.86	

Docarinaión	Dispositivo			- Unidad
Descripción	LRB-1	LRB-2	LRB-3	- Ollidad
Deformación por corte debido a deformación angular	1.94	1.82	1.69	
Deformación total por corte	5.65	4.86	4.31	
Límite de deformación total por corte	6	6	6	
Verificación total por por corte	OK	OK	OK	

Tabla C10Diseño nominal de los aisladores HDR

Descripción	Dispositivo HDR-1	- Unidad
Código del aislador del catálogo de Bridgestone	HH080X4S (20cm)	
Cantidad de aisladores	5	und
Peso de servicio sobre cada aislador HDR (Pserv)	285.27	tonf
Peso máximo sobre el aislador HDR (P _{max})	538.40	tonf
Módulo de corte de la goma al 100% (G _{eq})	39.973024	$tonf/m^2$
Peso del aislador HDR	1.21	tonf
Diámetro externo del aislador (Do)	0.80	m
Diámetro interno del aislador (Di)	0.020	m
Altura total de la goma (H)	0.200	m
Número de capas de goma	37	und
Espesor de cada capa de goma (t _r)	0.0054	m
Altura total del aislador elegido HDR (H _T)	0.4222	m
Área efectiva en el plano del aislador HDR (Aep)	0.5023	m^2
Ratio de rigidez inicial y post-fluencia (ε)	10	
Desplazamiento máximo (D _M)	0.267	m
Desplazamiento total máximo (D _{TM})	0.321	m
Deformación por corte (γ)	1.337	
Módulo de corte de la goma equivalente ($G_{eq}[\gamma]$)	337.67	$tonf/m^2$
Amortiguamiento efectivo equivalente $(\beta_{eq[\gamma]})$	0.243	
Relación equivalente resistencia característica al cortante $(u_{eq[\gamma]})$	0.415	
Rigidez efectiva (Keff)	86.45	tonf/m
Rigidez post-fluencia (K ₂)	50.61	tonf/m
Rigidez inicial (K ₁)	506.05	tonf/m
Fuerza característica (Q)	9.59	tonf
Desplazamiento de fluencia (D _y)	0.0211	m

Descripción	Dispositivo HDR-1	— Unidad
Energía disipada en un ciclo de histéresis (E _d)	9.4468	tonf.m
Energía de deformación máxima elástica (E _s)	3.0900	tonf.m
Fuerza de fluencia (F _v)	10.66	tonf
Fuerza máxima (F _M)	23.12	tonf
Amortiguamiento efectivo (β _{eff})	0.243	
Factor BM	1.59	
Verificación por capacidad axial		
Área reducida (A _r)	0.25	m^2
Factor forma (S)	37.01	
Peso crítico del aislador (P _{cr})	1428.53	tonf
Peso de servicio sobre cada aislador LRB (P _{serv})	285.27	tonf
P_{cr} / P_{serv}	5.01	
Factor de seguridad para carga axial	3	
Verificación por carga axial	OK	
Peso máximo sobre el aislador LRB (P _{max})	538.40	tonf
P_{cr} / P_{max}	2.65	
Factor de seguridad para carga axial última	1	
Verificación por carga axial última	OK	
Verificación de deformaciones por corte		
Deformación por corte debido a deformación	1.61	
Deformación por corte debido a compresión	1.89	
Deformación por corte debido a deformación angular	2.22	
Deformación total por corte	4.61	
Límite de deformación total por corte	6	
Verificación total por corte	OK	

Tabla C11Diseño en límite superior de los aisladores HDR

Descripción	Dispositivo	– Unidad
Descripcion	HDR-1	- Onidad
Código del aislador del catálogo de Bridgestone	HH080X4S	
	(20cm)	
Desplazamiento máximo (D _M)	0.267	m
Desplazamiento total máximo (D _{TM})	0.321	m
Deformación por corte (γ)	1.337	
Módulo de corte de la goma equivalente (G _{eq [γ]})	34.43	tonf/m
Factor de modificación para K ₂	2	

Descripción –	Dispositivo	– Unidad
•	HDR-1	
Módulo de corte de la goma equivalente modificado $(G_{eq \text{ mod } [\gamma]})$	68.87	tonf/m
Amortiguamiento efectivo equivalente $(\beta_{eq[\gamma]})$	0.243	
Relación equivalente resistencia característica al cortante $u_{eq[\gamma]}$	0.415	
Rigidez efectiva (K _{eff})	172.90	tonf/m
Rigidez post-fluencia (K ₂)	101.21	tonf/m
Rigidez inicial (K ₁)	1012.11	tonf/m
Factor de modificación para Q	1.7	
Fuerza característica (Q)	16.30	tonf
Desplazamiento de fluencia (D _y)	0.0179	m
Energía disipada en un ciclo de histéresis (E _d)	16.27	tonf.m
Energía de deformación máxima elástica (Es)	6.18	tonf.m
Fuerza de fluencia (F _y)	18.11	tonf
Fuerza máxima (F _M)	43.36	tonf
Amortiguamiento efectivo (β _{eff})	0.209	
Factor B_M	1.52	
Verificación por capacidad axial		
Área reducida (A _r)	0.25	m^2
Factor forma (S)	37.01	
Peso crítico del aislador (Pcr)	2857.07	tonf
Peso de servicio sobre cada aislador LRB (Pserv)	285.27	tonf
P_{cr} / P_{serv}	10.02	
Factor de seguridad para carga axial	3	
Verificación por carga axial	OK	
Peso máximo sobre el aislador LRB (P _{max})	563.84	tonf
P_{cr} / P_{max}	5.07	
Factor de seguridad para carga axial última	1	
Verificación por carga axial última	OK	
Verificación de deformaciones por corte		
Deformación por corte debido a deformación	1.61	
Deformación por corte debido a compresión	1.89	
Deformación por corte debido a deformación angular	2.22	
Deformación total por corte	4.61	
Límite de deformación total por corte	6	
Verificación total por corte	OK	

Tabla C12Diseño en límite inferior de los aisladores HDR

D : ''	Dispositivo	TT ' 1 1
Descripción -	HDR-1	– Unidad
Código del aislador del catálogo de Bridgestone	HH080X4S (20cm)	
Desplazamiento máximo (D _M)	0.267	m
Desplazamiento total máximo (D _{TM})	0.321	m
Deformación por corte (γ)	1.337	
Módulo de corte de la goma equivalente $(G_{eq}[\gamma])$	34.43	tonf/m
Factor de modificación para K ₂	0.8	
Módulo de corte de la goma equivalente modificado $(G_{eq \mod [\gamma]})$	27.55	tonf/m
Amortiguamiento efectivo equivalente $(\beta_{eq[\gamma]})$	0.243	
Relación equivalente resistencia característica al cortante $u_{eq[\gamma]}$	0.415	
Rigidez efectiva (K _{eff})	69.16	tonf/m
Rigidez post-fluencia (K ₂)	40.48	tonf/m
Rigidez inicial (K ₁)	404.84	tonf/m
Factor de modificación para Q	0.80	
Fuerza característica (Q)	7.67	tonf
Desplazamiento de fluencia (D _y)	0.0211	m
Energía disipada en un ciclo de histéresis (E _d)	7.5575	tonf.m
Energía de deformación máxima elástica (Es)	2.4720	tonf.m
Fuerza de fluencia (F _y)	8.52	tonf
Fuerza máxima (F _M)	18.49	tonf
Amortiguamiento efectivo (β _{eff})	0.243	
Factor B_M	1.59	
Verificación por capacidad axial		
Área reducida (A _r)	0.25	m^2
Factor forma (S)	37.01	
Peso crítico del aislador (Pcr)	1142.83	tonf
Peso de servicio sobre cada aislador LRB (Pserv)	285.27	tonf
$P_{\rm cr}$ / $P_{\rm serv}$	4.01	
Factor de seguridad para carga axial	3	
Verificación por carga axial	OK	
Peso máximo sobre el aislador LRB (P _{max})	526.77	tonf
P_{cr} / P_{max}	2.17	

Dogovinoión	Dispositivo	IIidad
Descripción	HDR-1	– Unidad
Factor de seguridad para carga axial última	1	
Verificación por carga axial última	OK	
Verificación de deformaciones por corte		
Deformación por corte debido a deformación	1.61	
Deformación por corte debido a compresión	1.89	
Deformación por corte debido a deformación angular	2.22	
Deformación total por corte	4.61	
Límite de deformación total por corte	6	
Verificación total por corte	OK	

Tabla C13Diseño nominal de los aisladores SL

Descripción	Dispositivo	Unidad
-	SL	
Cantidad de aisladores	10	und
Desplazamiento máximo (D _M)	0.267	m
Desplazamiento total máximo (D _{TM})	0.321	m
Peso de servicio sobre cada aislador SL (Pserv)	294.70	tonf
Peso máximo sobre el aislador SL (P _{max})	548.72	tonf
Coeficiente de fricción (µ)	5.00%	
Fuerza de fluencia (F _y)	14.73	tonf
Fuerza característica (Q)	14.73	tonf
Fuerza máxima (F _M)	14.73	tonf
Rigidez efectiva (K _{eff})	55.10	tonf/m
Energía disipada en un ciclo de histéresis (E _d)	15.76	tonf.m
Energía de deformación máxima elástica (Es)	1.97	tonf.m
Amortiguamiento efectivo (β _{eff})	63.66%	
Desplazamiento de fluencia (D _y)	0.001	m
Rigidez inicial (K ₁)	14734.95	tonf/m
Coeficiente de amortiguamiento horizontal (Ch)	47.74	tonf.s/m
Esfuerzo axil permisible en el teflón (σ_s)	2039.44	$tonf/m^2$
Esfuerzo axil permisible en combinación del teflón (σ _u)	4078.88	$tonf/m^2$
Área del teflón 1	0.14	m^2
Área del teflón 2	0.13	m^2
Área final del teflón (el mayor de 1 y 2)	0.14	m^2

Descripción	Dispositivo	- Unidad
Descripcion	SL	Omaa
Diámetro de la placa de teflón (D)	0.43	m
Diámetro total del POT (D _T)	0.48	m
Rigidez vertical (K _v)	384309.54	tonf/m
Coeficiente de amortiguamiento vertical (C _v)	339.78	tonf.s/m

Tabla C14Diseño en límite superior de los aisladores SL

Descripción	Dispositivo	11
Descripción	SL	Unidad
Factor de modificación	1.6	
Coeficiente de fricción modificado (μ_{mod})	8.00%	
Fuerza de fluencia (F _y)	23.58	tonf
Fuerza característica (Q)	23.58	tonf
Fuerza máxima (F _M)	23.58	tonf
Rigidez efectiva (K _{eff})	88.16	tonf/m
Energía disipada en un ciclo de histéresis (E _d)	25.21	tonf.m
Energía de deformación máxima elástica (Es)	3.15	tonf.m
Amortiguamiento efectivo (β_{eff})	63.66%	
Desplazamiento de fluencia (D _y)	0.001	m
Rigidez inicial (K ₁)	23575.93	tonf/m
Coeficiente de amortiguamiento horizontal (Ch)	60.39	tonf.s/m
Esfuerzo axil permisible en el teflón (σ_s)	2039.44	$tonf/m^2$
Esfuerzo axil permisible en combinación del teflón (σ_u)	4078.88	$tonf/m^2$
Área del teflón 1	0.14	m^2
Área del teflón 2	0.13	m^2
Área final del teflón (el mayor de 1 y 2)	0.14	m^2
Diámetro de la placa de teflón (D)	0.43	m
Diámetro total del POT (D _T)	0.48	m
Rigidez vertical (K _v)	384309.54	tonf/m
Coeficiente de amortiguamiento vertical (C _v)	339.78	tonf.s/m

Tabla C15Diseño en límite inferior de los aisladores SL

Description	Dispositivo	111.1
Descripción	SL	Unidad
Factor de modificación	0.8	
Coeficiente de fricción modificado (µmod)	4.00%	
Fuerza de fluencia (F _y)	11.79	tonf
Fuerza característica (Q)	11.79	tonf
Fuerza máxima (F _M)	11.79	tonf
Rigidez efectiva (Keff)	44.08	tonf/m
Energía disipada en un ciclo de histéresis (E _d)	12.60	tonf.m
Energía de deformación máxima elástica (Es)	1.58	tonf.m
Amortiguamiento efectivo (β _{eff})	63.66%	
Desplazamiento de fluencia (D _y)	0.001	m
Rigidez inicial (K ₁)	11787.96	tonf/m
Coeficiente de amortiguamiento horizontal (Ch)	42.70	tonf.s/m
Esfuerzo axil permisible en el teflón (σ_s)	2039.44	$tonf/m^2$
Esfuerzo axil permisible en combinación del teflón (σ_u)	4078.88	$tonf/m^2$
Área del teflón 1	0.14	m^2
Área del teflón 2	0.13	m^2
Área final del teflón (el mayor de 1 y 2)	0.14	m^2
Diámetro de la placa de teflón (D)	0.43	m
Diámetro total del POT (D _T)	0.48	m
Rigidez vertical (K _v)	384309.54	tonf/m
Coeficiente de amortiguamiento vertical (C _v)	339.78	tonf.s/m

Diseño de los dispositivos que conforman el sistema de aislamiento TFP

Tabla C16Diseño nominal de los aisladores TFP

Description		Dispositivo		TT ! 1. 1
Descripción	TFP-1	TFP-2	TFP-3	- Unidad
Cantidad de aisladores	21	20	4	und
Peso de servicio sobre cada aislador LRB (P _{serv})	300.65	167.11	97.22	tonf
Desplazamientos máximos (D _M)	0.269	0.269	0.269	m
Coeficiente de fricción Plato 01 (µ1)	1.30%	8.00%	10.00%	
Coeficiente de fricción Plato 02 (µ2)	1.00%	4.00%	8.00%	
Coeficiente de fricción Plato 03 (µ3)	1.00%	4.00%	8.00%	
Coeficiente de fricción Plato 04 (µ4)	1.30%	8.00%	10.00%	
Radio efectivo del plato 1 (Reff ₁)	2.694	1.600	1.242	m
Radio efectivo del plato 2 (Reff ₂)	0.300	0.200	0.150	m
Radio efectivo del plato 3 (Reff ₃)	0.300	0.200	0.150	m
Radio efectivo del plato 4 (Reff ₄)	2.694	1.600	1.242	m
Fuerza de fricción del plato 1 (F _{fl})	3.908	13.369	9.722	tonf
Fuerza de fricción del plato 1 (F _{f2})	3.006	6.684	7.778	tonf
Fuerza de fricción del plato 1 (F _{f3})	3.006	6.684	7.778	tonf
Fuerza de fricción del plato 1 (F _{f4})	3.908	13.369	9.722	tonf
Desplazamiento curvo del plato 1 (d ₁ *)	0.134	0.127	0.132	m
Desplazamiento curvo del plato 2 (d ₂ *)	0.001	0.008	0.003	m
Desplazamiento curvo del plato 3 (d ₃ *)	0.001	0.008	0.003	m
Desplazamiento curvo del plato 4 (d ₄ *)	0.134	0.127	0.132	m
Suma de alturas de los platos 1 y 4 $(h_1 + h_4)$	0.210	0.210	0.210	m
Suma de alturas de los platos 2 y 3 $(h_2 + h_3)$	0.150	0.150	0.150	m
Altura del plato 1 (h ₁)	0.105	0.105	0.105	m
Altura del plato 2 (h ₂)	0.075	0.075	0.075	m
Altura del plato 3 (h ₃)	0.075	0.075	0.075	m
Altura del plato 4 (h4)	0.105	0.105	0.105	m
Radio de curvatura del plato 1 (R ₁)	2.799	1.705	1.347	m
Radio de curvatura del plato 2 (R ₂)	0.375	0.275	0.225	m
Radio de curvatura del plato 3 (R ₃)	0.375	0.275	0.225	m

		Dispositivo		TT '1 1
Descripción	TFP-1	TFP-2	TFP-3	Unidad
Radio de curvatura del plato 4 (R ₄)	2.799	1.705	1.347	m
Desplazamiento horizontal del plato 1 (d ₁)	0.1390	0.1350	0.1428	m
Desplazamiento horizontal del plato 2 (d ₂)	0.0011	0.0110	0.0045	m
Desplazamiento horizontal del plato 3 (d ₃)	0.0011	0.0110	0.0045	m
Desplazamiento horizontal del plato 4 (d ₄)	0.1390	0.1350	0.1428	m
Cálculo de la rigidez vertical de los aisladores TFP				
Módulo de elasticidad del acero (E)	20000000	20000000	20000000	$tonf/m^2$
Área transversal del deslizador rígido (A _R)	0.018	0.018	0.018	m^2
Altura del deslizador rígido (h _R)	0.150	0.15	0.15	m
Rigidez vertical del TFP (K _v)	2356194.5	2356194.5	2356194.5	tonf/m
FASE 01				
Desplazamiento máximo de la Fase 01 (Dul)	0.0018	0.0160	0.0060	m
Fuerza máxima en la Fase 01 (F _{M1})	3.91	13.37	9.72	tonf
Fuerza de activación del dispositivo en la Fase 01 (Q ₁)	3.01	6.68	7.78	tonf
Rigidez efectiva en la Fase 01 (K _{effl})	2171.35	835.55	1620.41	tonf/m
Energía disipada en un ciclo de activación en la Fase 01 (E _{d1})	0.022	0.428	0.187	tonf.m
Energía elástica de deformación máxima en la Fase $01 (E_{s1})$	0.004	0.107	0.029	tonf.m
Amortiguamiento efectivo en la Fase $01~(\beta_1)$	48.97%	31.83%	50.93%	
FASE 02				
Desplazamiento máximo de la Fase 02 (Du2)	0.2694	0.2694	0.2694	m
Fuerza máxima en la Fase 02 (F _{M2})	18.84	26.60	20.03	tonf
Fuerza de activación del dispositivo en la Fase 02 (Q ₂)	3.73	11.88	9.30	tonf
Rigidez efectiva en la Fase 02 (K _{eff 2})	69.94	98.75	74.35	tonf/m
Energía disipada en un ciclo de activación en la Fase 02 (E _{D2})	4.098	13.131	10.182	tonf.m
Energía elástica de deformación máxima en la Fase 02 (E _{s2})	2.538	3.583	2.698	tonf.m
Amortiguamiento efectivo en la Fase 02 (β ₂)	12.85%	29.16%	30.03%	
Desplazamiento de fluencia (D _y)	0.00090	0.00800	0.00300	m
Amortiguamiento horizontal (C _v)	7.268	19.820	13.591	tonf.s/m
FASE 03				
Desplazamiento máximo de la Fase 03 (Du3)	0.2694	0.2694	0.2694	m

December		- Unidad		
Descripción	TFP-1	TFP-2	TFP-3	Unidad
Fuerza máxima en la Fase 03 (F _{M3})	18.84	26.60	20.03	tonf
Fuerza de activación del dispositivo en la Fase 03 (Q _{d3})	3.81	12.53	9.49	tonf
Rigidez efectiva en la Fase 03 (K _{eff 3})	69.94	98.75	74.35	tonf/m
Energía disipada en un ciclo de activación en la Fase 03 (E_{D3})	4.141	13.986	10.556	tonf.m
Energía elástica de deformación máxima en la Fase 03 (E _{s3})	2.538	3.583	2.698	tonf.m
Amortiguamiento efectivo en la Fase 03 (β ₃)	12.98%	31.06%	31.14%	

Tabla C17Diseño en límite superior de los aisladores TFP

Denotically		Dispositivo		TT:1. 1
Descripción	TFP-1	TFP-2	TFP-3	- Unidad
Cantidad de aisladores	21	20	4	und
Peso de servicio sobre cada aislador LRB (P _{serv})	300.65	167.11	97.22	tonf
Desplazamientos máximos (D _M)	0.269	0.269	0.269	m
Factor de modificación para μ	1.6	1.6	1.6	
Coeficiente de fricción Plato 01 (µ ₁)	2.08%	12.80%	16.00%	
Coeficiente de fricción Plato 02 (µ2)	1.60%	6.40%	12.80%	
Coeficiente de fricción Plato 03 (µ3)	1.60%	6.40%	12.80%	
Coeficiente de fricción Plato 04 (µ4)	2.08%	12.80%	16.00%	
Radio efectivo del plato 1 (Reff ₁)	2.694	1.600	1.242	m
Radio efectivo del plato 2 (Reff ₂)	0.300	0.200	0.150	m
Radio efectivo del plato 3 (Reff ₃)	0.300	0.200	0.150	m
Radio efectivo del plato 4 (Reff ₄)	2.694	1.600	1.242	m
Fuerza de fricción del plato 1 (F _{f1})	6.253	21.390	15.556	tonf
Fuerza de fricción del plato 1 (F _{f2})	4.810	10.695	12.445	tonf
Fuerza de fricción del plato 1 (F _{f3})	4.810	10.695	12.445	tonf
Fuerza de fricción del plato 1 (F _{f4})	6.253	21.390	15.556	tonf
Desplazamiento curvo del plato 1 (d ₁ *)	0.134	0.127	0.132	m
Desplazamiento curvo del plato 2 (d ₂ *)	0.001	0.008	0.003	m
Desplazamiento curvo del plato 3 (d ₃ *)	0.001	0.008	0.003	m
Desplazamiento curvo del plato 4 (d ₄ *)	0.134	0.127	0.132	m

Descripción		Dispositivo		Unidad
•	TFP-1	TFP-2	TFP-3	Omaa
Suma de alturas de los platos 1 y 4 (h ₁ + h ₄)	0.210	0.210	0.210	m
Suma de alturas de los platos 2 y 3 $(h_2 + h_3)$	0.150	0.150	0.150	m
Altura del plato 1 (h ₁)	0.105	0.105	0.105	m
Altura del plato 2 (h ₂)	0.075	0.075	0.075	m
Altura del plato 3 (h ₃)	0.075	0.075	0.075	m
Altura del plato 4 (h ₄)	0.105	0.105	0.105	m
Radio de curvatura del plato 1 (R ₁)	2.799	1.705	1.347	m
Radio de curvatura del plato 2 (R2)	0.375	0.275	0.225	m
Radio de curvatura del plato 3 (R ₃)	0.375	0.275	0.225	m
Radio de curvatura del plato 4 (R4)	2.799	1.705	1.347	m
Desplazamiento horizontal del plato 1 d ₁)	0.139	0.135	0.143	m
Desplazamiento horizontal del plato 2 d ₂)	0.001	0.011	0.005	m
Desplazamiento horizontal del plato 3 d ₃)	0.001	0.011	0.005	m
Desplazamiento horizontal del plato 4 d ₄)	0.139	0.135	0.143	m
Cálculo de la rigidez vertical de los isladores TFP				
Nódulo de elasticidad del acero (E)	20000000	20000000	20000000	tonf/m ²
rea transversal del deslizador rígido A_R)	0.018	0.018	0.018	m^2
altura del deslizador rígido (h _R)	0.150	0.15	0.15	m
Rigidez vertical del TFP (K _v)	2356194.5	2356194.5	2356194.5	tonf/m
ASE 01				
Desplazamiento máximo de la Fase 01 Dul)	0.0029	0.0256	0.0096	m
uerza máxima en la Fase 01 (F _{M1})	6.25	21.39	15.56	tonf
uerza de activación del dispositivo en a Fase $01 \ (Q_1)$	4.81	10.69	12.44	tonf
tigidez efectiva en la Fase 01 (K _{eff1})	2171.35	835.55	1620.41	tonf/m
nergía disipada en un ciclo de ctivación en la Fase 01 (E _{d1})	0.055	1.095	0.478	tonf.m
Energía elástica de deformación náxima en la Fase 01 (E _{s1})	0.009	0.274	0.075	tonf.m
Amortiguamiento efectivo en la Fase 01 (β ₁)	48.97%	31.83%	50.93%	

Denoiselle		Dispositivo		TT:1- 1
Descripción	TFP-1	TFP-2	TFP-3	- Unidad
FASE 02				
Desplazamiento máximo de la Fase 02 (D _{u2})	0.2705	0.2790	0.2730	m
Fuerza máxima en la Fase 02 (F _{M2})	21.19	34.62	25.86	tonf
Fuerza de activación del dispositivo en la Fase 02 (Q ₂)	5.96	19.01	14.89	tonf
Rigidez efectiva en la Fase 02 (K _{eff 2})	78.33	124.10	94.74	tonf/m
Energía disipada en un ciclo de activación en la Fase 02 (E _{D2})	6.577	21.420	16.471	tonf.m
Energía elástica de deformación máxima en la Fase 02 (E ₅₂)	2.865	4.830	3.530	tonf.m
Amortiguamiento efectivo en la Fase 02 (β ₂)	18.27%	35.29%	37.13%	
Desplazamiento de fluencia (D _y)	0.00144	0.01280	0.00480	m
Amortiguamiento horizontal (C _v)	13.001	27.857	19.690	tonf.s/m
FASE 03				
Desplazamiento máximo de la Fase 03 (D _{u3})	0.2694	0.2694	0.2694	m
Fuerza máxima en la Fase 03 (F _{M3})	20.64	30.61	24.70	tonf
Fuerza de activación del dispositivo en la Fase 03 (Q _{d3})	6.09	20.05	15.18	tonf
Rigidez efectiva en la Fase 03 (K _{eff 3})	76.63	113.63	91.68	tonf/m
Energía disipada en un ciclo de activación en la Fase 03 (E _{D3})	6.688	23.610	17.427	tonf.m
Energía elástica de deformación máxima en la Fase 03 (E ₅₃)	2.781	4.123	3.326	tonf.m
Amortiguamiento efectivo en la Fase 03 (β ₃)	19.14%	45.57%	41.69%	

Tabla C18Diseño en límite inferior de los aisladores TFP

Dogorinoión		- Unidad		
Descripción	TFP-1	TFP-2	TFP-3	Ullidad
Cantidad de aisladores	21	20	4	und
Peso de servicio sobre cada aislador LRB (P _{serv})	300.65	167.11	97.22	tonf
Desplazamientos máximos (D _M)	0.269	0.269	0.269	m
Factor de modificación para μ	0.8	0.8	0.8	

Descripción Dispositivo				1111
Descripción	TFP-1	TFP-2	TFP-3	- Unidad
Coeficiente de fricción Plato 01 (µ1)	1.04%	6.40%	8.00%	
Coeficiente de fricción Plato 02 (µ2)	0.80%	3.20%	6.40%	
Coeficiente de fricción Plato 03 (µ3)	0.80%	3.20%	6.40%	
Coeficiente de fricción Plato 04 (µ4)	1.04%	6.40%	8.00%	
Radio efectivo del plato 1 (Reff ₁)	2.694	1.600	1.242	m
Radio efectivo del plato 2 (Reff ₂)	0.300	0.200	0.150	m
Radio efectivo del plato 3 (Reff ₃)	0.300	0.200	0.150	m
Radio efectivo del plato 4 (Reff ₄)	2.694	1.600	1.242	m
Fuerza de fricción del plato 1 (F _{f1})	3.127	10.695	7.778	tonf
Fuerza de fricción del plato 1 (F _{f2})	2.405	5.347	6.222	tonf
Fuerza de fricción del plato 1 (F _{f3})	2.405	5.347	6.222	tonf
Fuerza de fricción del plato 1 (F _{f4})	3.127	10.695	7.778	tonf
Desplazamiento curvo del plato 1 (d ₁ *)	0.134	0.127	0.132	m
Desplazamiento curvo del plato 2 (d ₂ *)	0.001	0.008	0.003	m
Desplazamiento curvo del plato 3 (d ₃ *)	0.001	0.008	0.003	m
Desplazamiento curvo del plato 4 (d ₄ *)	0.134	0.127	0.132	m
Suma de alturas de los platos 1 y 4 $(h_1 + h_4)$	0.210	0.210	0.210	m
Suma de alturas de los platos 2 y 3 $(h_2 + h_3)$	0.150	0.150	0.150	m
Altura del plato 1 (h ₁)	0.105	0.105	0.105	m
Altura del plato 2 (h ₂)	0.075	0.075	0.075	m
Altura del plato 3 (h ₃)	0.075	0.075	0.075	m
Altura del plato 4 (h ₄)	0.105	0.105	0.105	m
Radio de curvatura del plato 1 (R ₁)	2.799	1.705	1.347	m
Radio de curvatura del plato 2 (R ₂)	0.375	0.275	0.225	m
Radio de curvatura del plato 3 (R ₃)	0.375	0.275	0.225	m
Radio de curvatura del plato 4 (R ₄)	2.799	1.705	1.347	m
Desplazamiento horizontal del plato 1 (d_1)	0.139	0.135	0.143	m
Desplazamiento horizontal del plato 2 (d ₂)	0.001	0.011	0.005	m
Desplazamiento horizontal del plato 3 (d ₃)	0.001	0.011	0.005	m
Desplazamiento horizontal del plato 4 (d ₄)	0.139	0.135	0.143	m

Danainaita	Dispositivo			TT: 1. 1
Descripción	TFP-1	TFP-2	TFP-3	- Unidad
Cálculo de la rigidez vertical de los aisladores TFP				
Módulo de elasticidad del acero (E)	20000000	20000000	20000000	tonf/m ²
Área transversal del deslizador rígido (A_R)	0.018	0.018	0.018	m^2
Altura del deslizador rígido (h _R)	0.150	0.150	0.150	m
Rigidez vertical del TFP (K _v)	2356194.5	2356194.5	2356194.5	tonf/m
FASE 01				
Desplazamiento máximo de la Fase 01 (Dul)	0.0014	0.0128	0.0048	m
Fuerza máxima en la Fase 01 (F _{M1})	3.13	10.69	7.78	tonf
Fuerza de activación del dispositivo en la Fase 01 (Q ₁)	2.41	5.35	6.22	tonf
Rigidez efectiva en la Fase 01 (Keffl)	2171.35	835.55	1620.41	tonf/m
Energía disipada en un ciclo de activación en la Fase 01 (E _{d1})	0.014	0.274	0.119	tonf.m
Energía elástica de deformación máxima en la Fase 01 (E _{s1})	0.002	0.068	0.019	tonf.m
Amortiguamiento efectivo en la Fase 01 (β ₁)	48.97%	31.83%	50.93%	
FASE 02				
Desplazamiento máximo de la Fase 02 (D _{u2})	0.2690	0.2662	0.2682	m
Fuerza máxima en la Fase 02 (F _{M2})	18.06	23.93	18.09	tonf
Fuerza de activación del dispositivo en la Fase 02 (Q ₂)	2.98	9.51	7.44	tonf
Rigidez efectiva en la Fase 02 (K _{eff 2})	67.13	89.89	67.44	tonf/m
Energía disipada en un ciclo de activación en la Fase 02 (E _{D2})	3.275	10.436	8.116	tonf.m
Energía elástica de deformación máxima en la Fase 02 (E ₅₂)	2.429	3.185	2.425	tonf.m
Amortiguamiento efectivo en la Fase 02 (β ₂)	10.73%	26.08%	26.63%	
Desplazamiento de fluencia (D _y)	0.00072	0.00640	0.00240	m
Amortiguamiento horizontal (C _v)	5.195	16.496	11.185	tonf.s/m
FASE 03				
Desplazamiento máximo de la Fase 03 (D _{u3})	0.2694	0.2694	0.2694	m
Fuerza máxima en la Fase 03 (F _{M3})	18.24	25.26	18.47	tonf

Descripción		I India		
Descripción -	TFP-1	TFP-2	TFP-3	- Unidad
Fuerza de activación del dispositivo en la Fase 03 (Q _{d3})	3.05	10.03	7.59	tonf
Rigidez efectiva en la Fase 03 (K _{eff 3})	67.71	93.78	68.58	tonf/n
Energía disipada en un ciclo de activación en la Fase 03 (E _{D3})	3.302	10.984	8.355	tonf.n
Energía elástica de deformación máxima en la Fase 03 (Es3)	2.457	3.403	2.488	tonf.n
Amortiguamiento efectivo en la Fase 03 (β₃)	10.70%	25.69%	26.72%	



Lazos histeréticos de dispositivos del sistema de aislamiento LRB+SL

Figura D1Lazo histerético de dispositivo LRB 01 en límite superior en la dirección EW

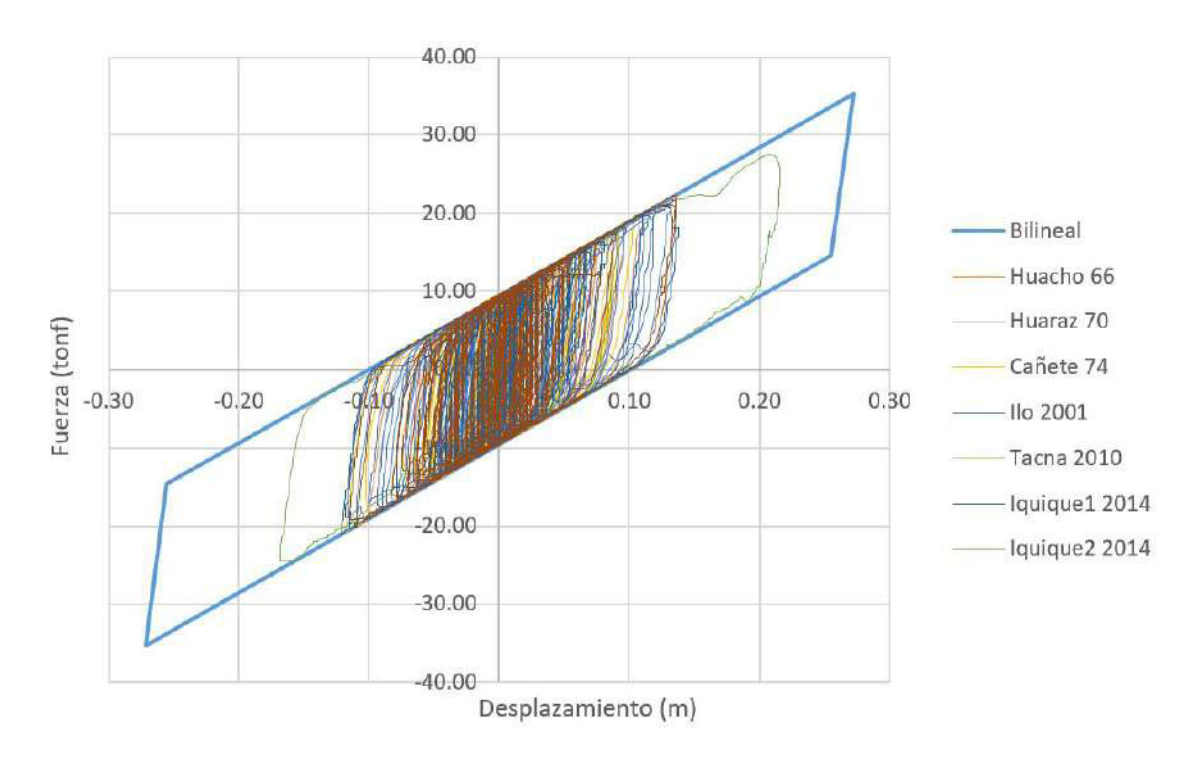


Figura D2Lazo histerético de dispositivo LRB 01 en límite inferior en la dirección EW

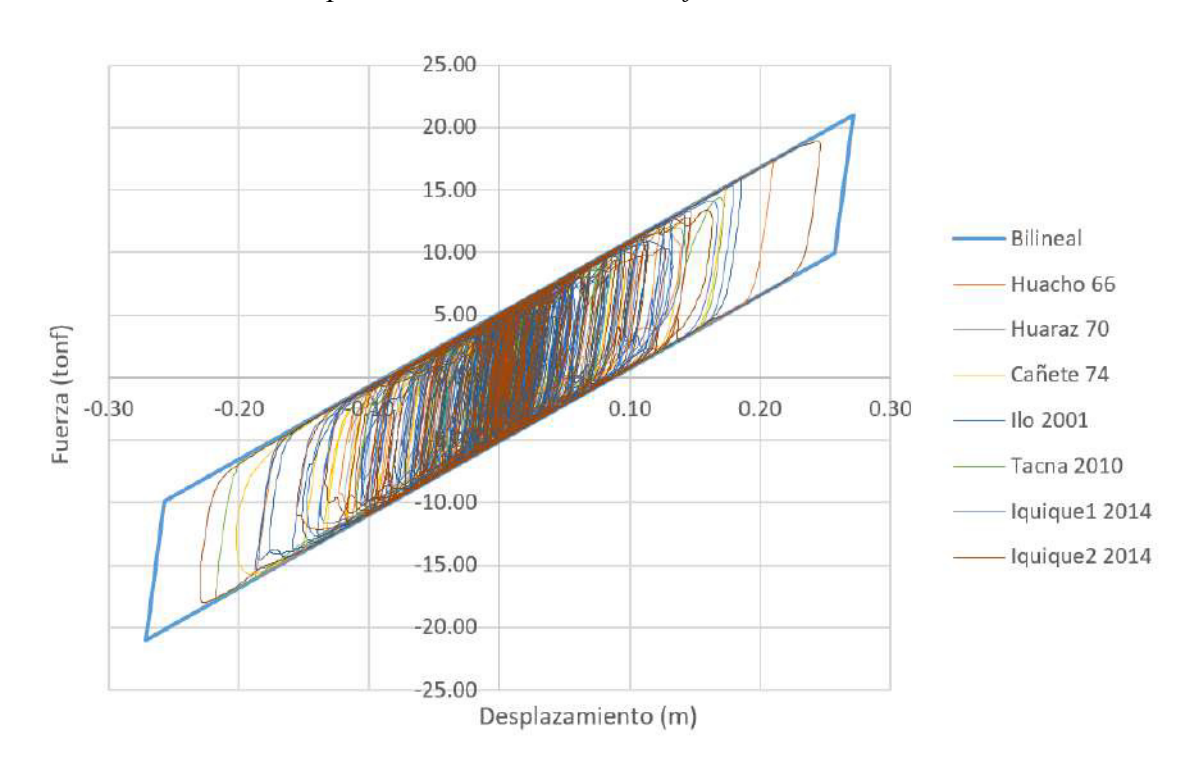


Figura D3Lazo histerético de dispositivo LRB 01 en límite superior en la dirección NS

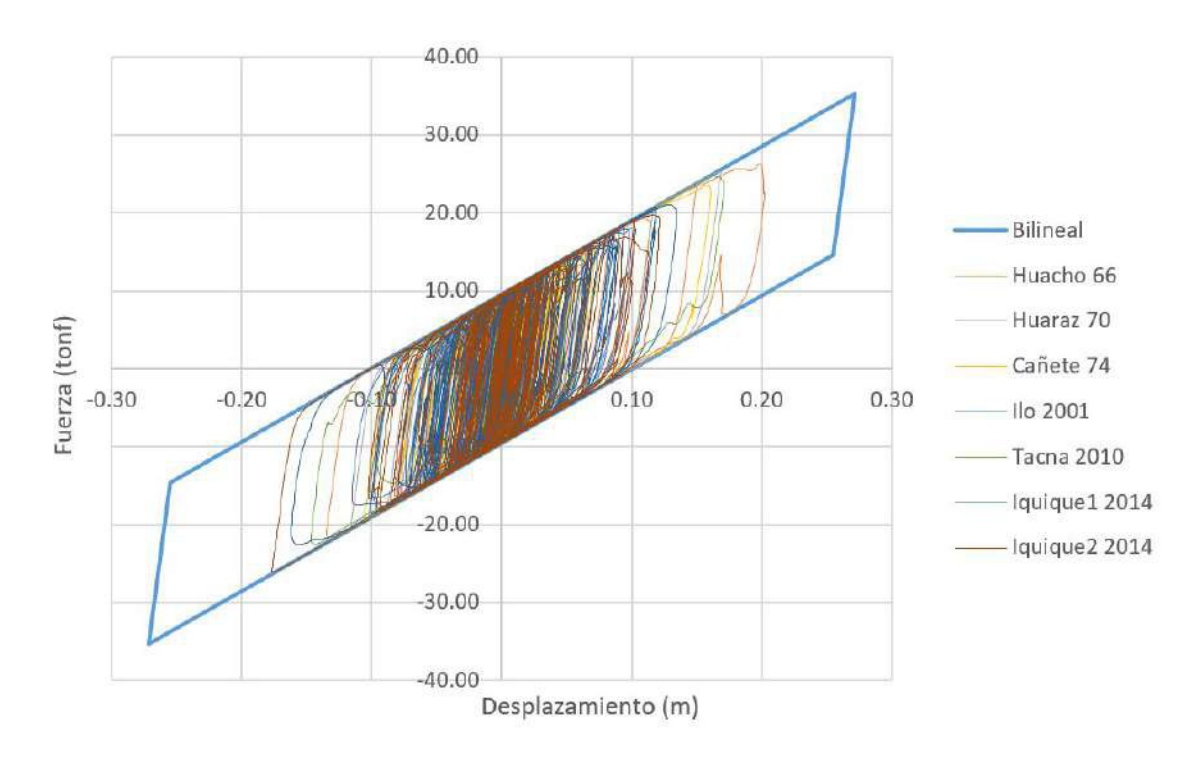


Figura D4Lazo histerético de dispositivo LRB 01 en límite inferior en la dirección NS

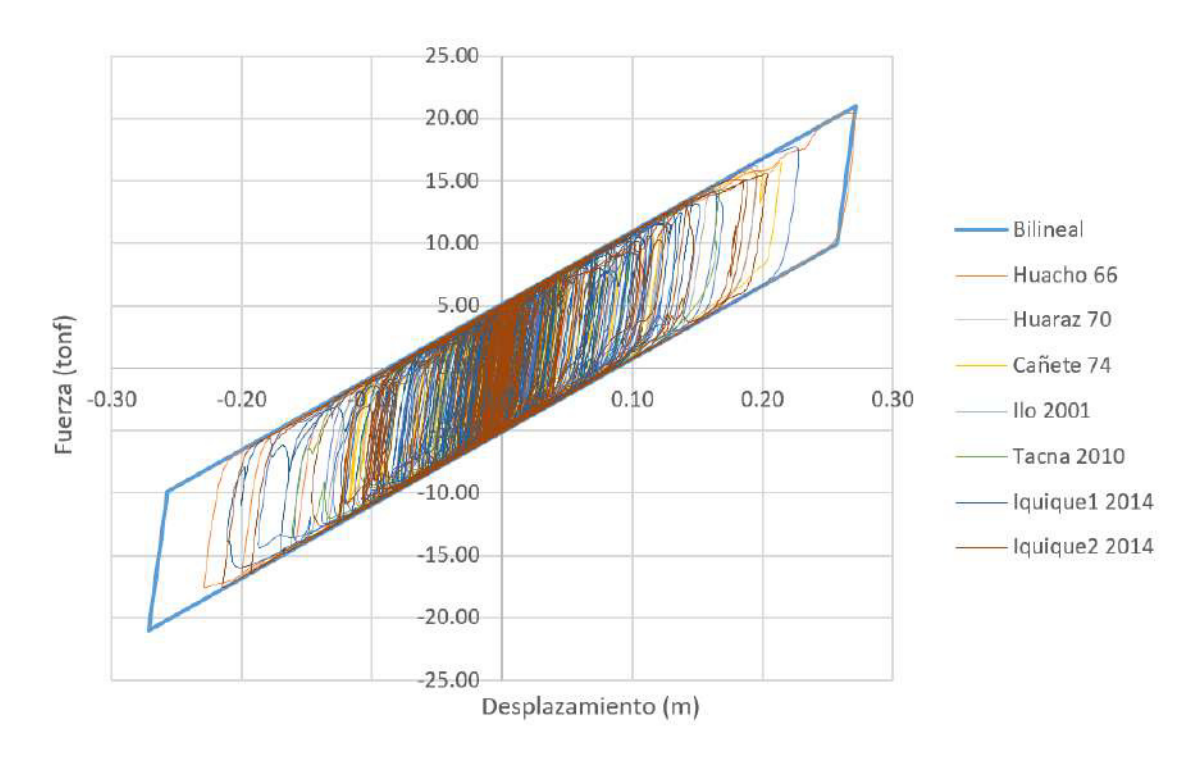


Figura D5Lazo histerético de dispositivo SL en límite superior en la dirección EW

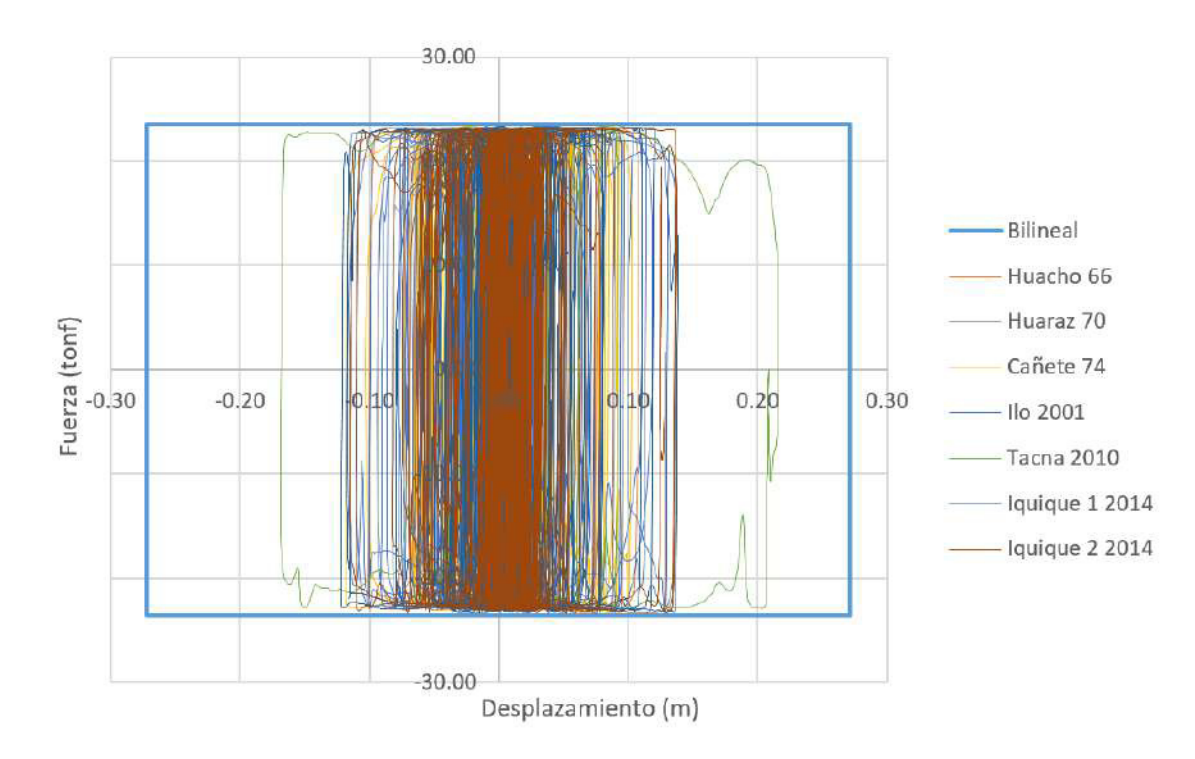


Figura D6Lazo histerético de dispositivo SL en límite inferior en la dirección EW

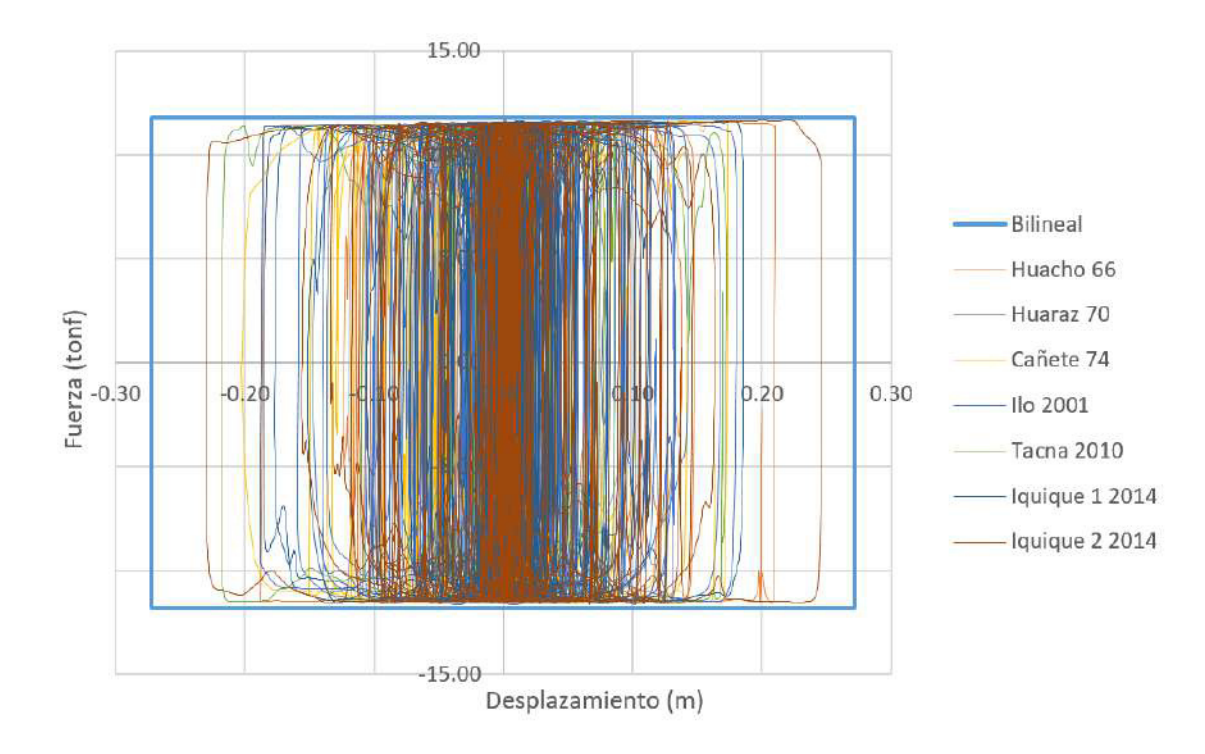


Figura D7Lazo histerético de dispositivo SL en límite superior en la dirección NS

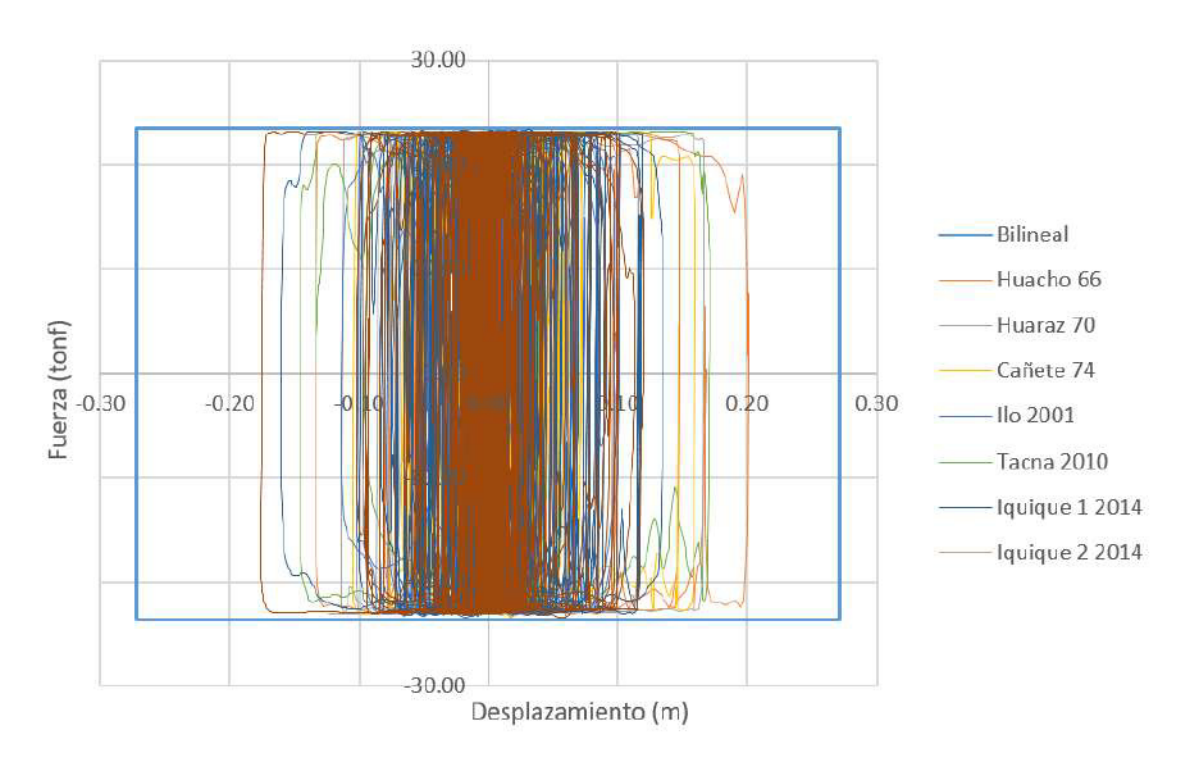
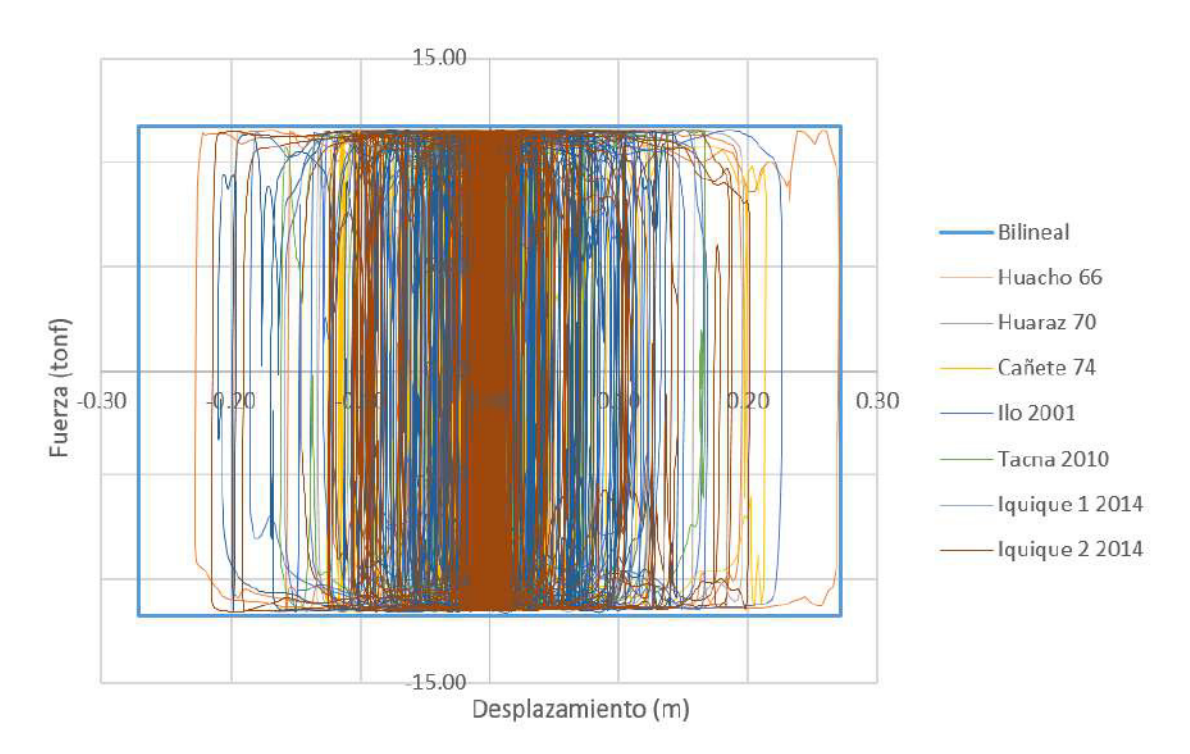


Figura D8Lazo histerético de dispositivo SL en límite inferior en la dirección NS



Lazos histeréticos de dispositivos del sistema de aislamiento LRB+HDR+SL

Figura D9Lazo histerético de dispositivo LRB 01 en límite superior en la dirección EW

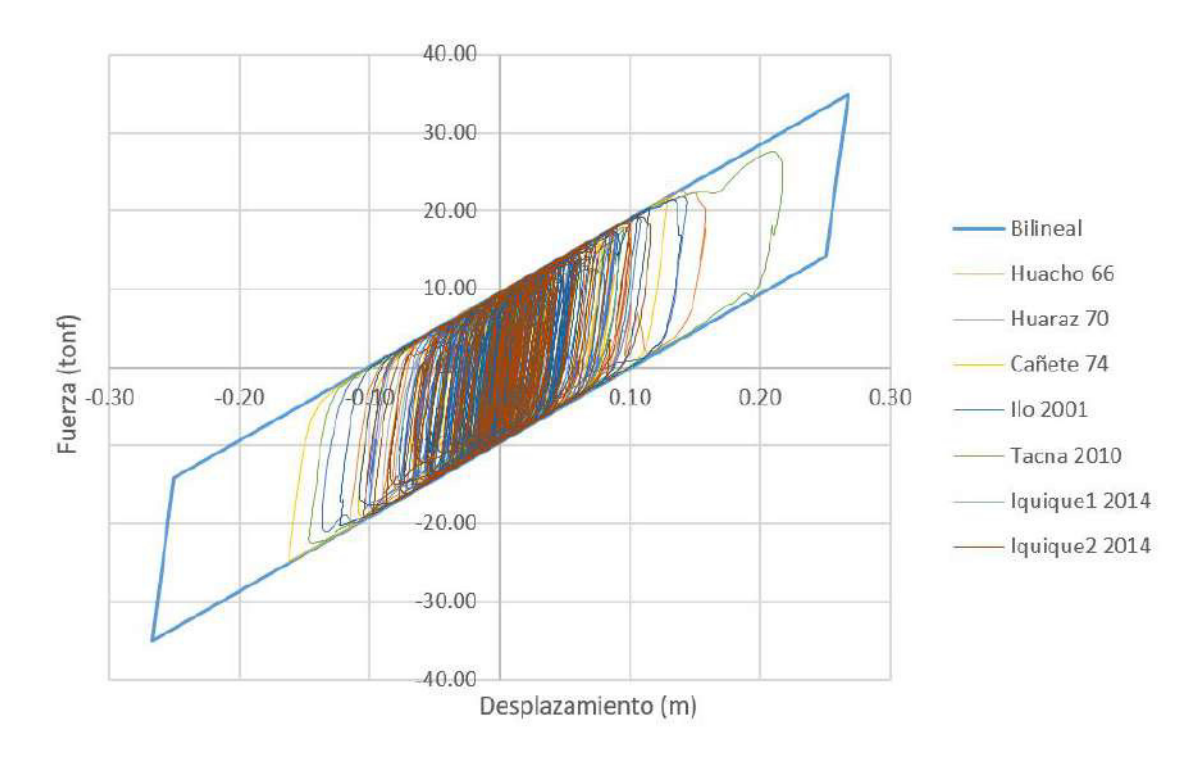


Figura D10

Lazo histerético de dispositivo LRB 01 en límite inferior en la dirección EW

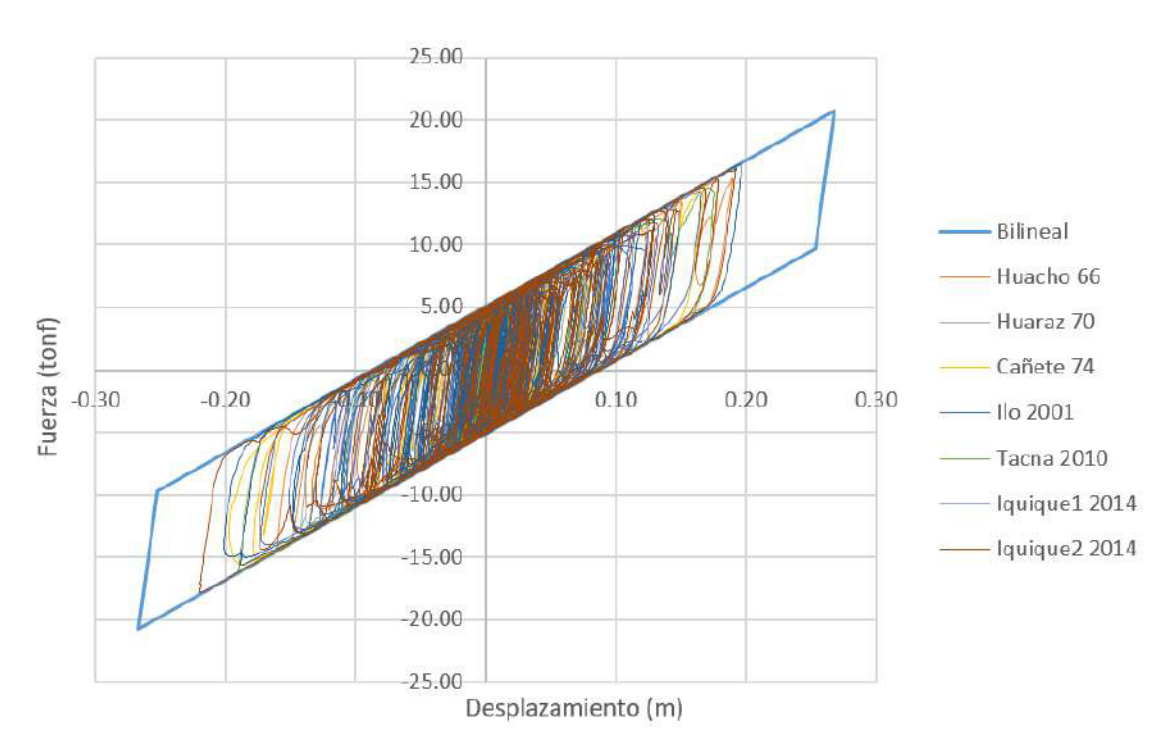


Figura D11Lazo histerético de dispositivo LRB 01 en límite superior en la dirección NS

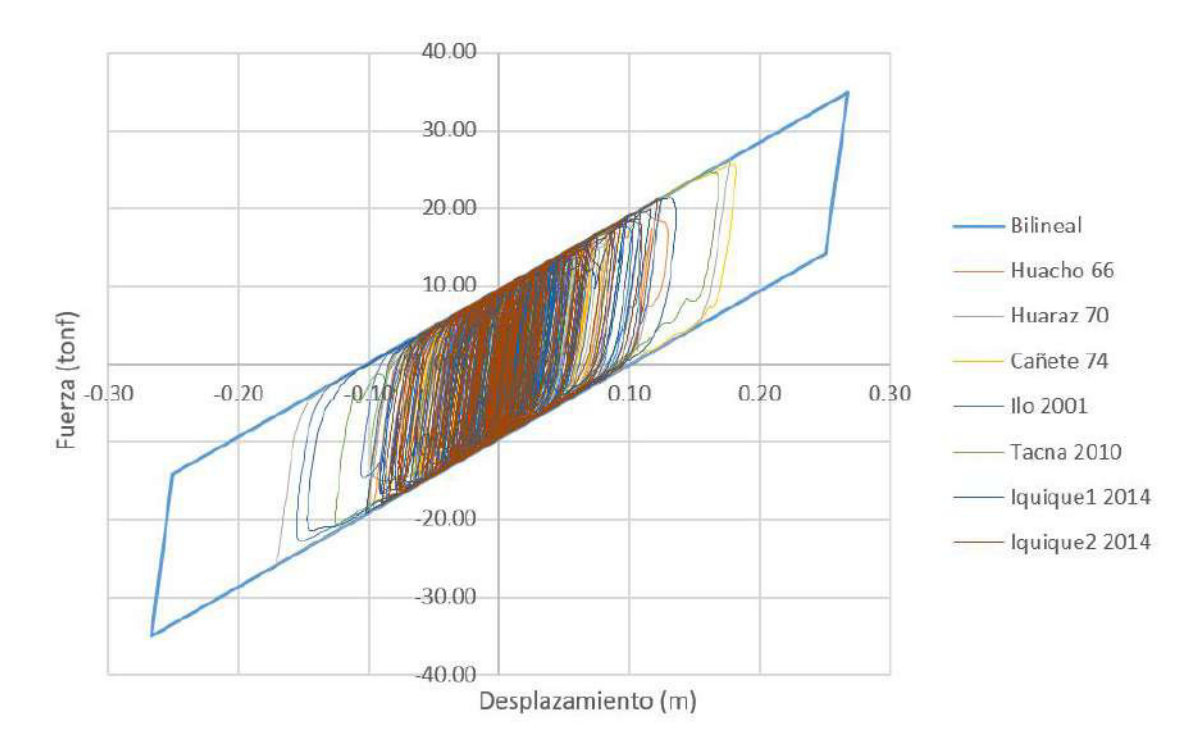


Figura D12Lazo histerético de dispositivo LRB 01 en límite inferior en la dirección NS

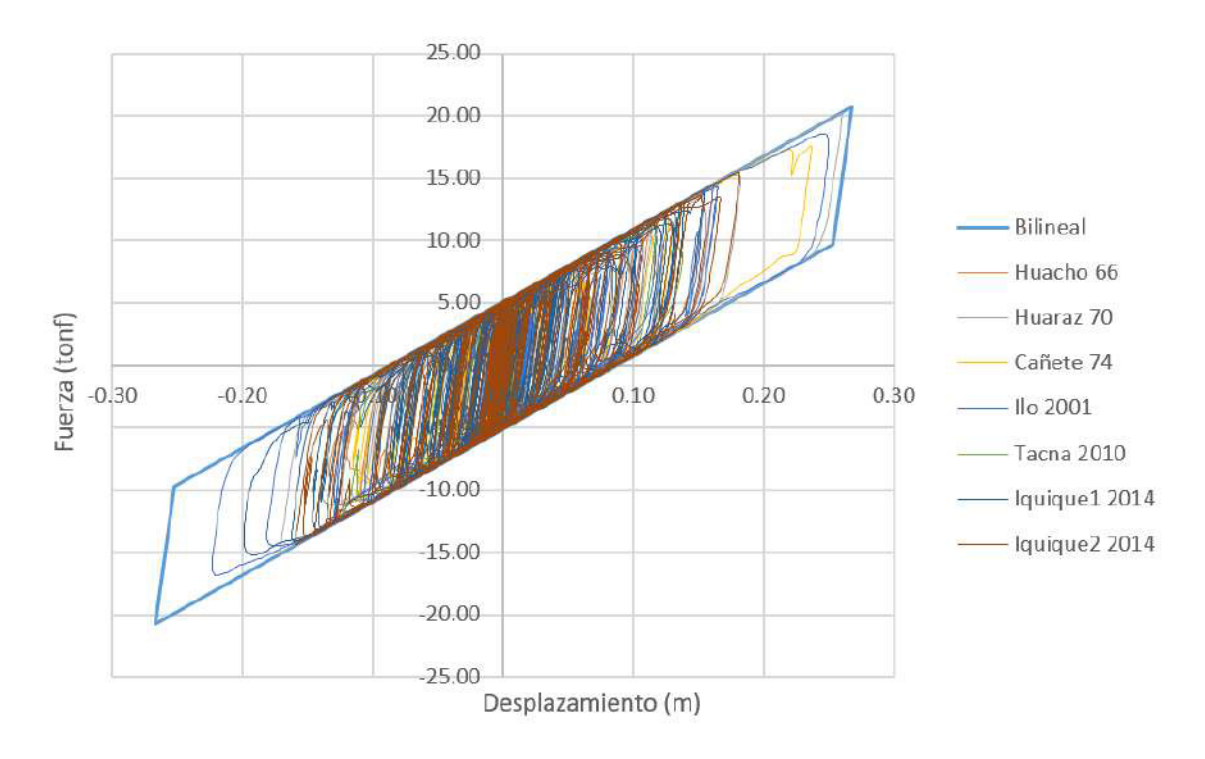


Figura D13Lazo histerético de dispositivo HDR 01 en límite superior en la dirección EW

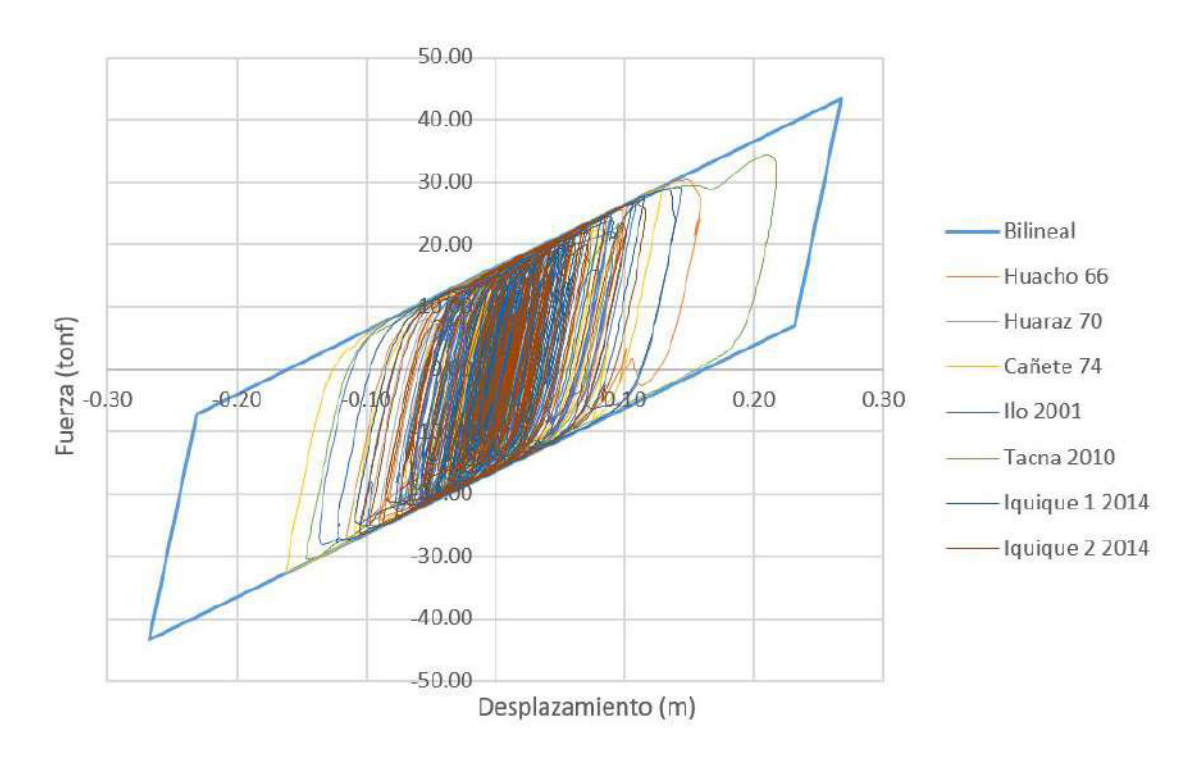


Figura D14Lazo histerético de dispositivo HDR 01 en límite inferior en la dirección EW

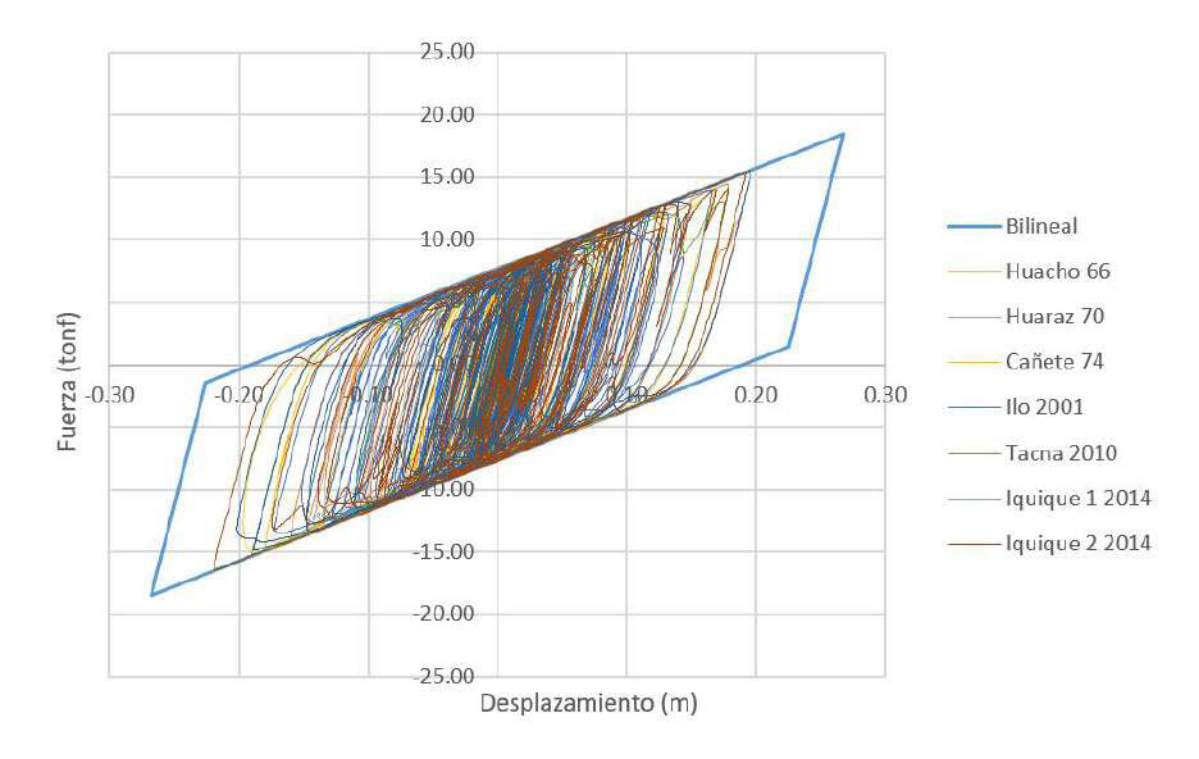


Figura D15Lazo histerético de dispositivo HDR 01 en límite superior en la dirección NS

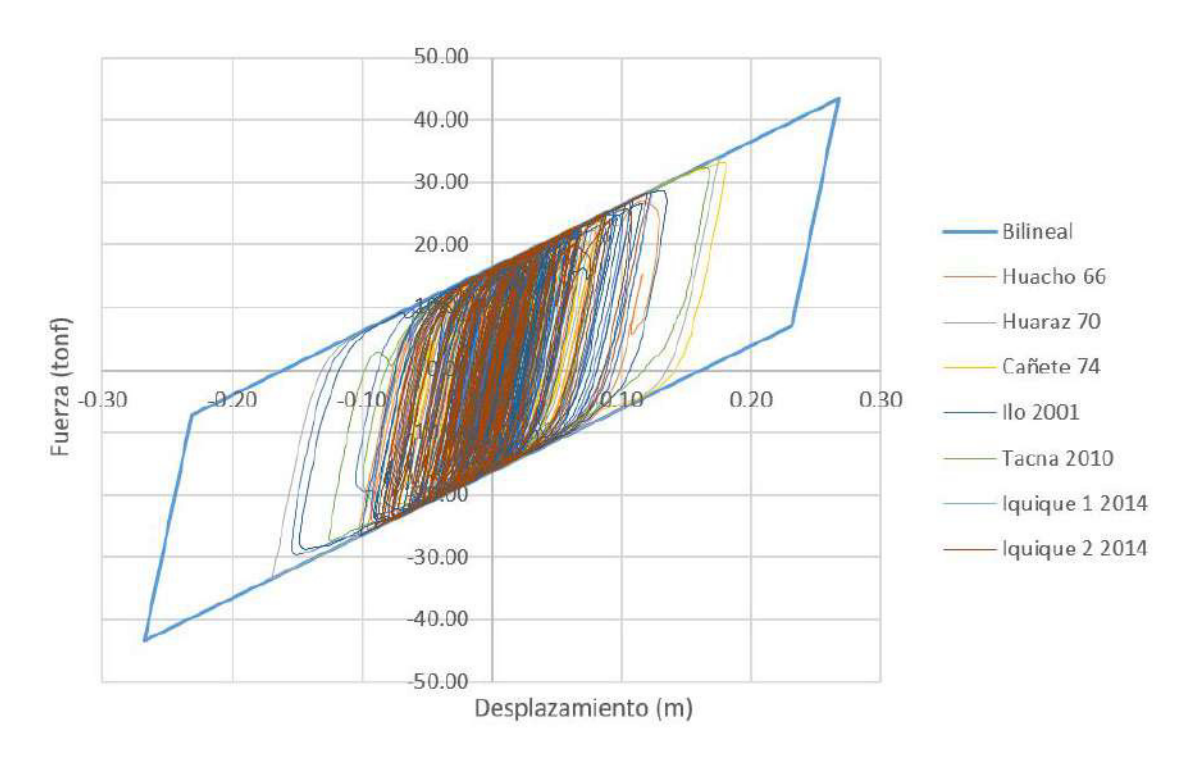


Figura D16Lazo histerético de dispositivo HDR 01 en límite inferior en la dirección NS

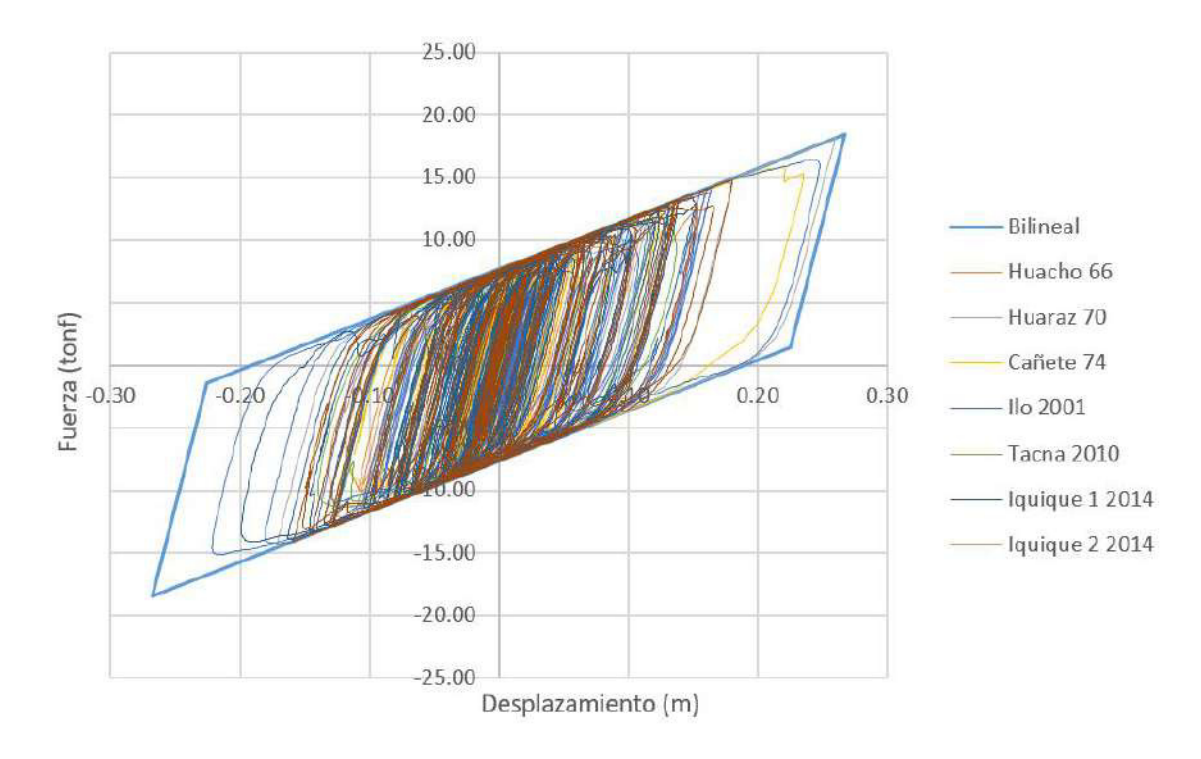


Figura D17Lazo histerético de dispositivo SL en límite superior en la dirección EW

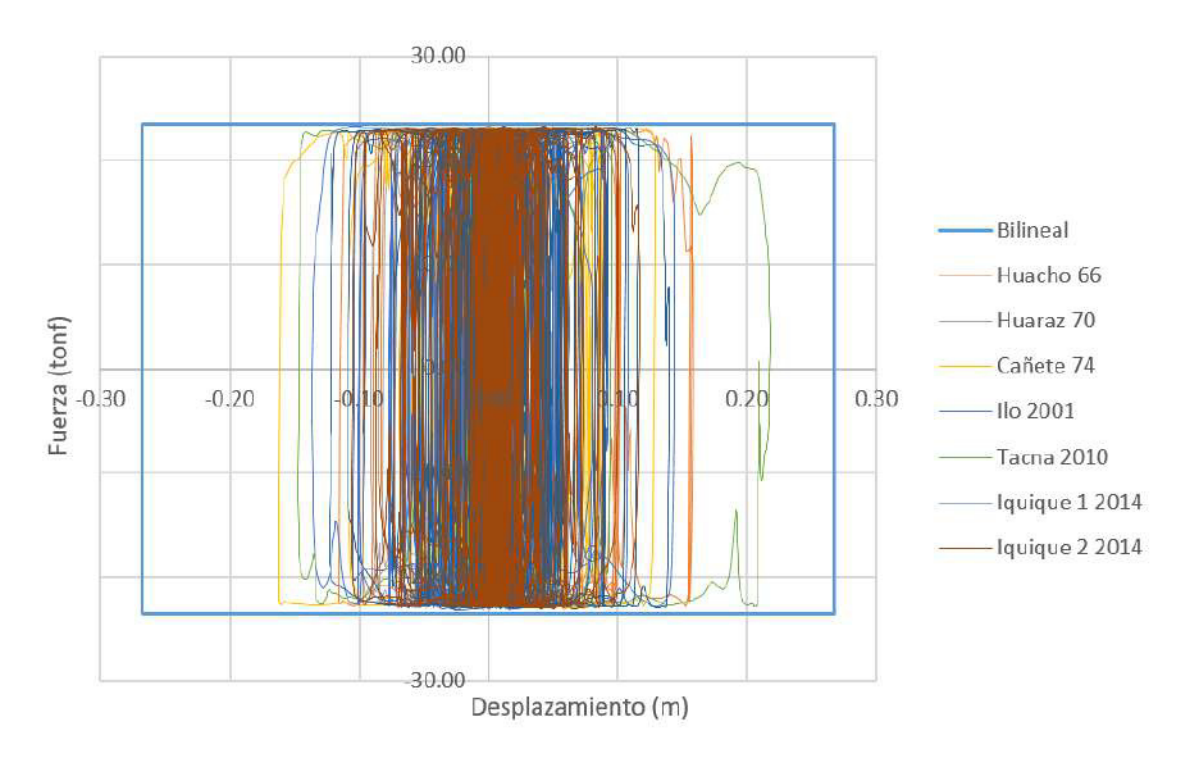


Figura D18Lazo histerético de dispositivo SL en límite inferior en la dirección EW

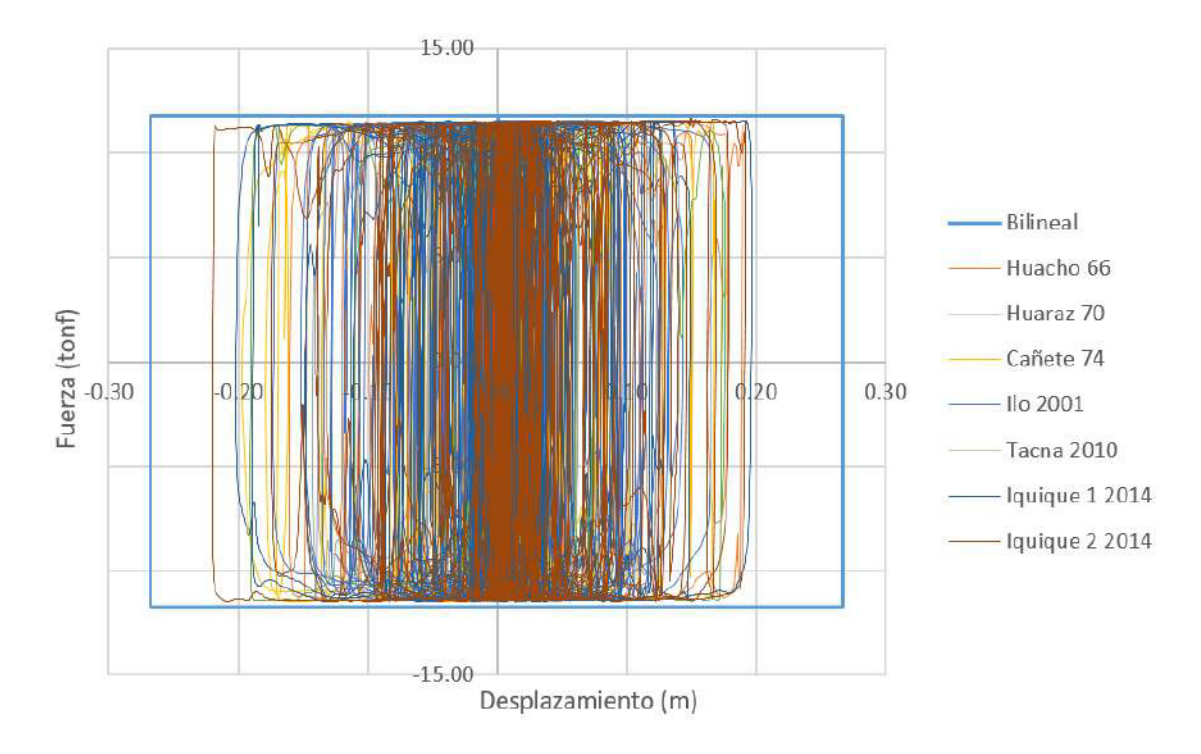


Figura D19Lazo histerético de dispositivo SL en límite superior en la dirección NS

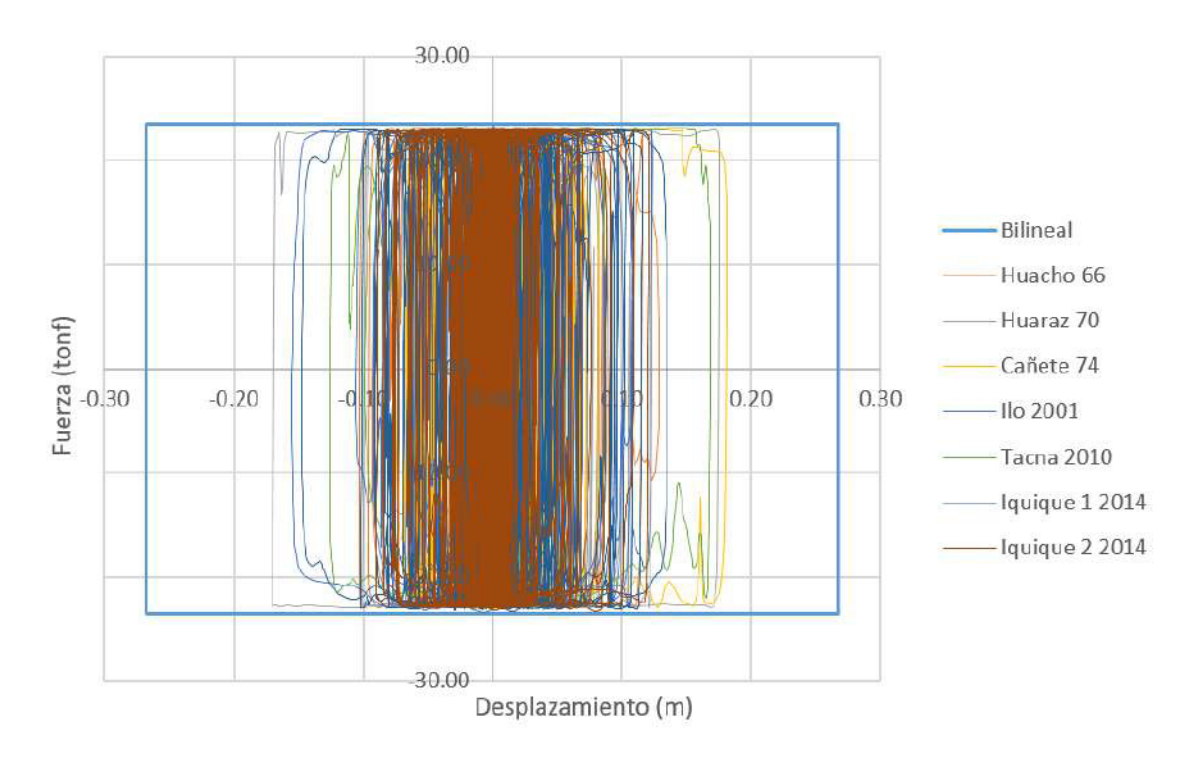
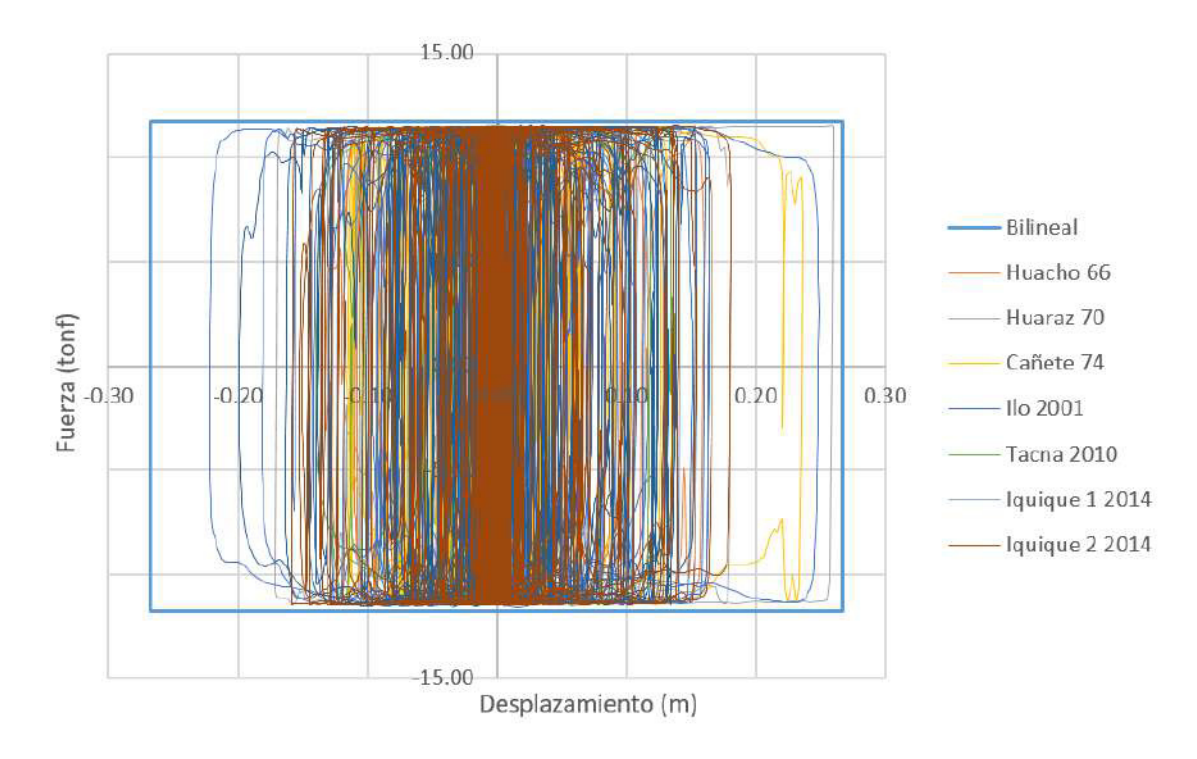


Figura D20Lazo histerético de dispositivo SL en límite inferior en la dirección NS



Lazos histeréticos de dispositivos del sistema de aislamiento TFP

Figura D21Lazo histerético de dispositivo TFP 01 en límite superior en la dirección EW

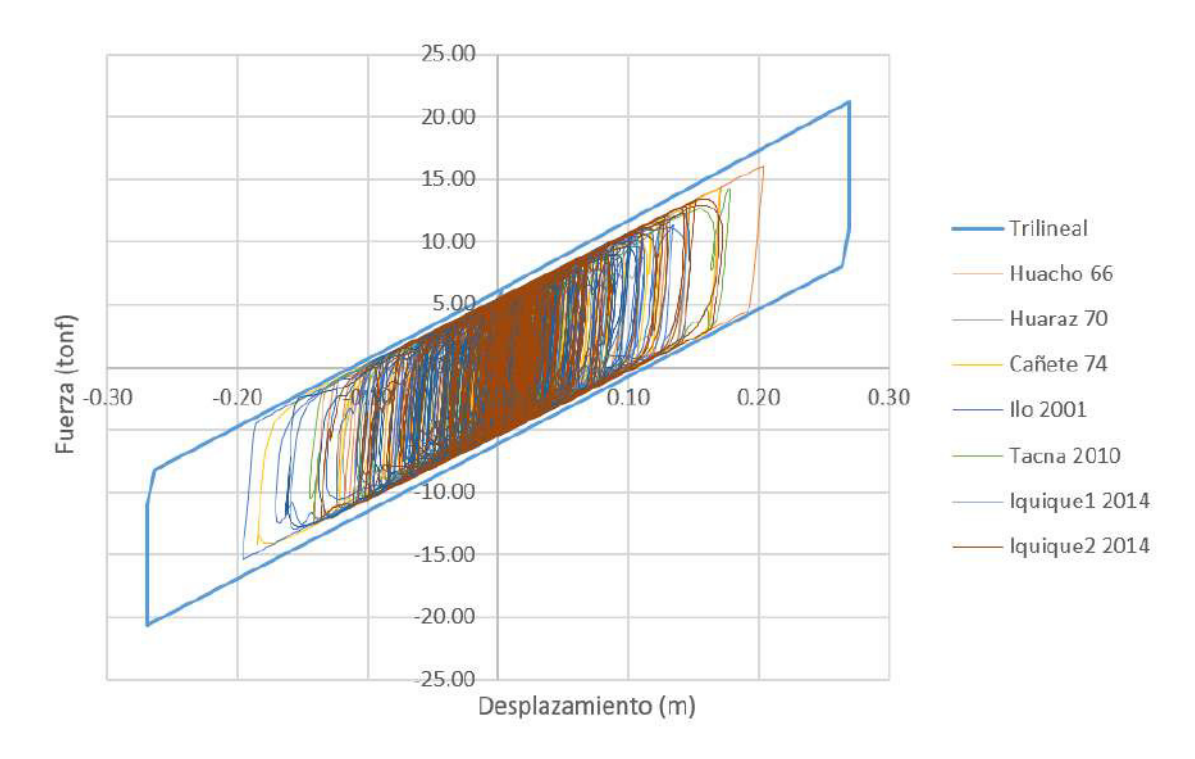


Figura D22Lazo histerético de dispositivo TFP 01 en límite inferior en la dirección EW

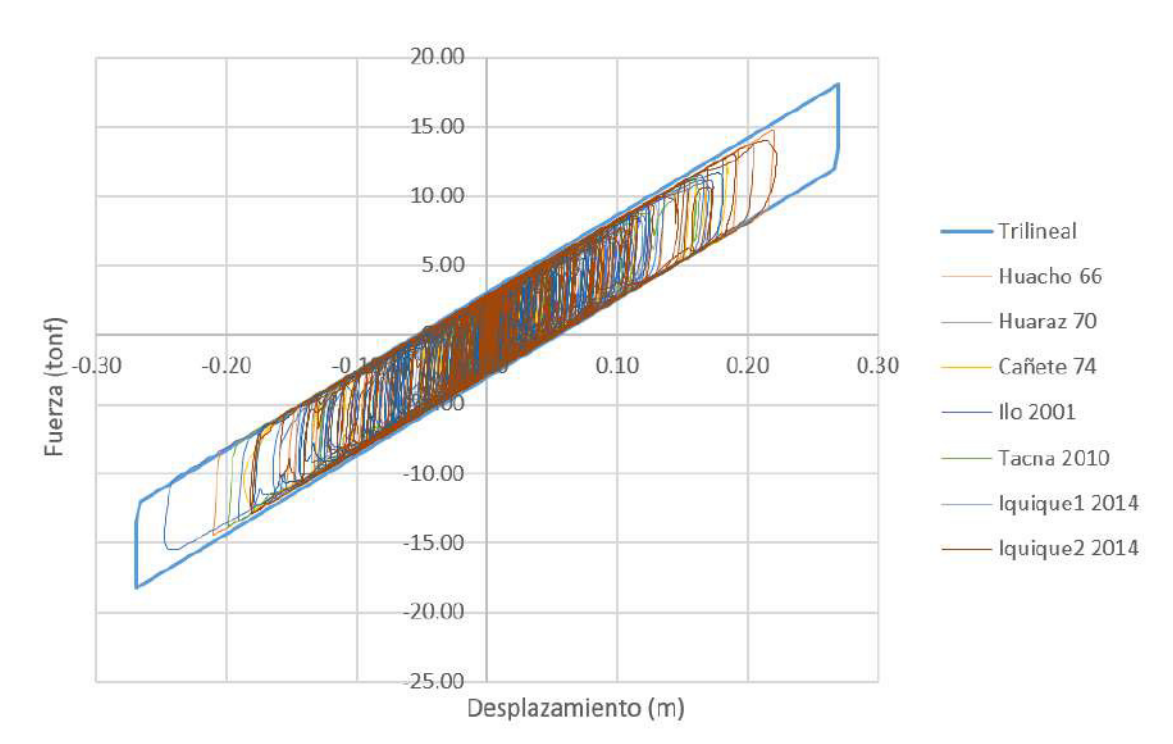


Figura D23Lazo histerético de dispositivo TFP 01 en límite superior en la dirección NS

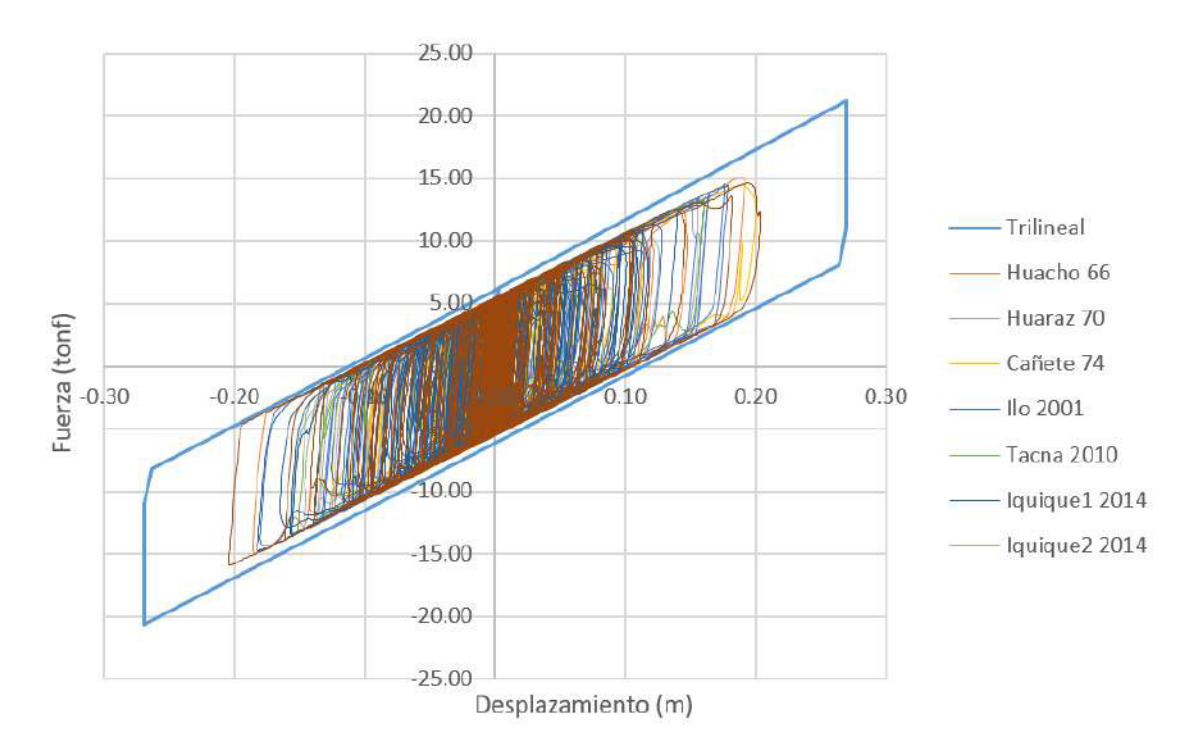


Figura D24Lazo histerético de dispositivo TFP 01 en límite inferior en la dirección NS

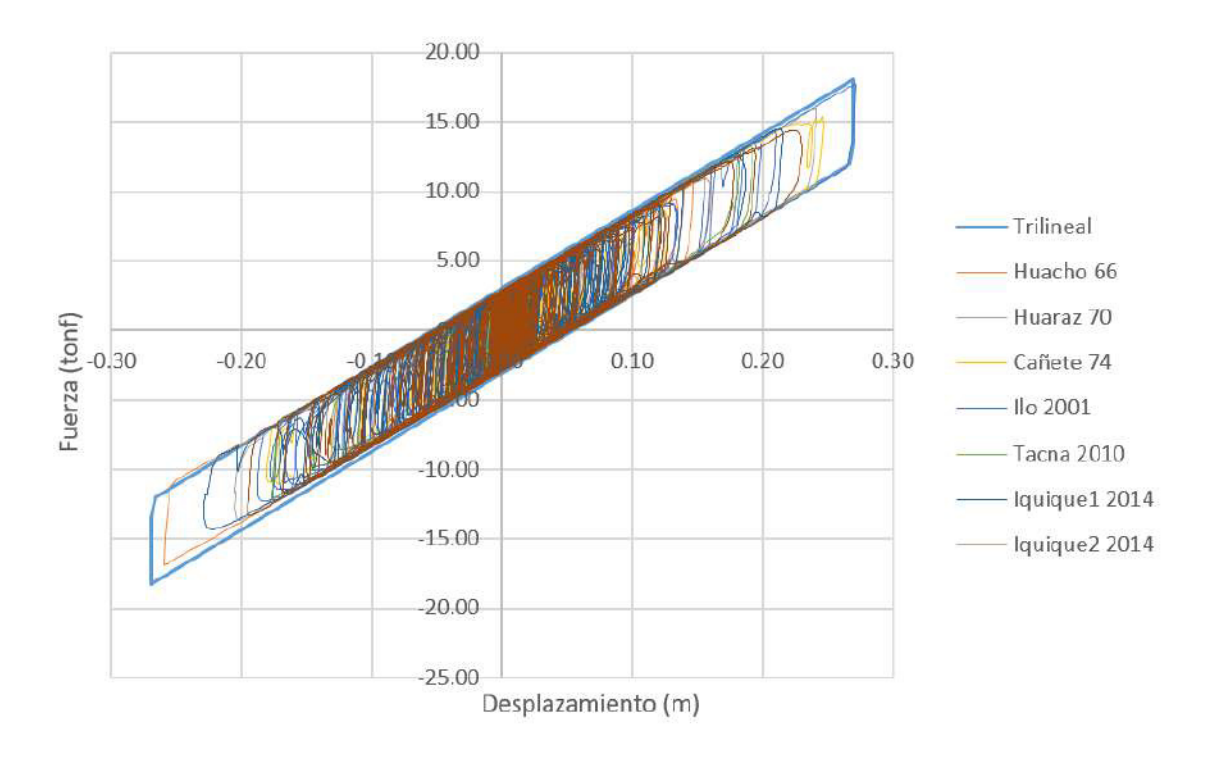


Figura D25Lazo histerético de dispositivo TFP 02 en límite superior en la dirección EW

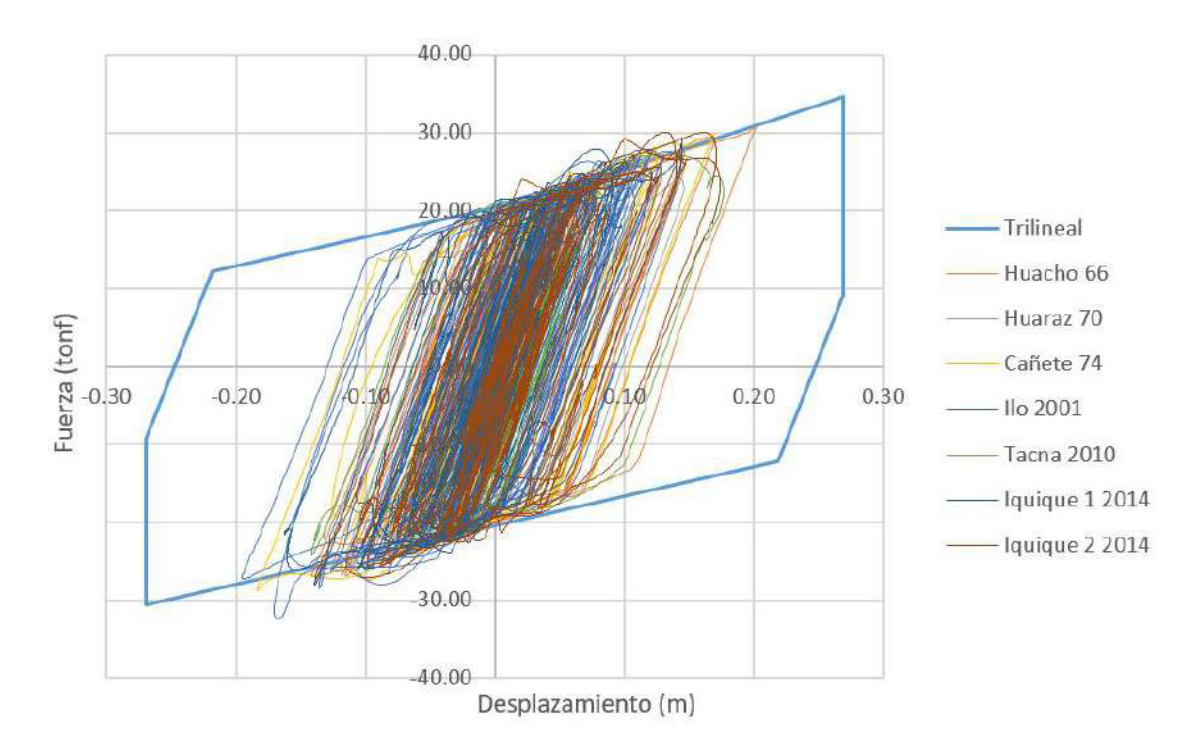


Figura D26Lazo histerético de dispositivo TFP 02 en límite inferior en la dirección EW

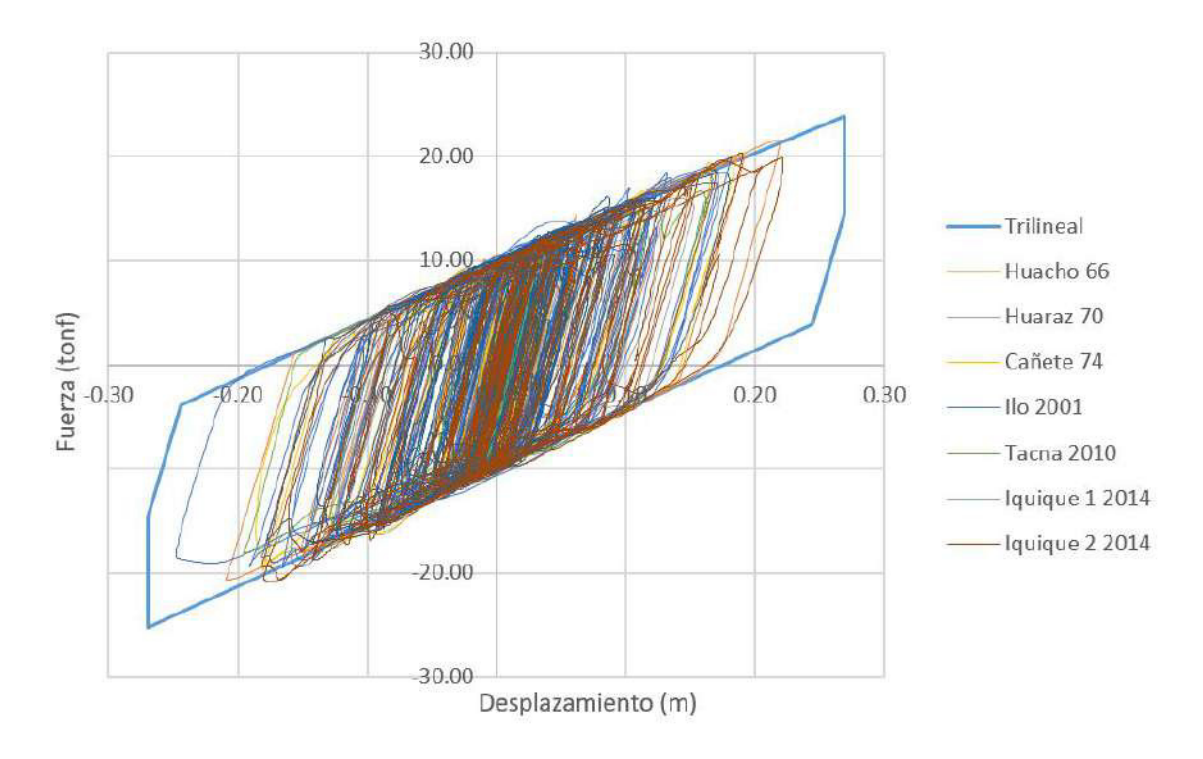


Figura D27Lazo histerético de dispositivo TFP 02 en límite superior en la dirección NS

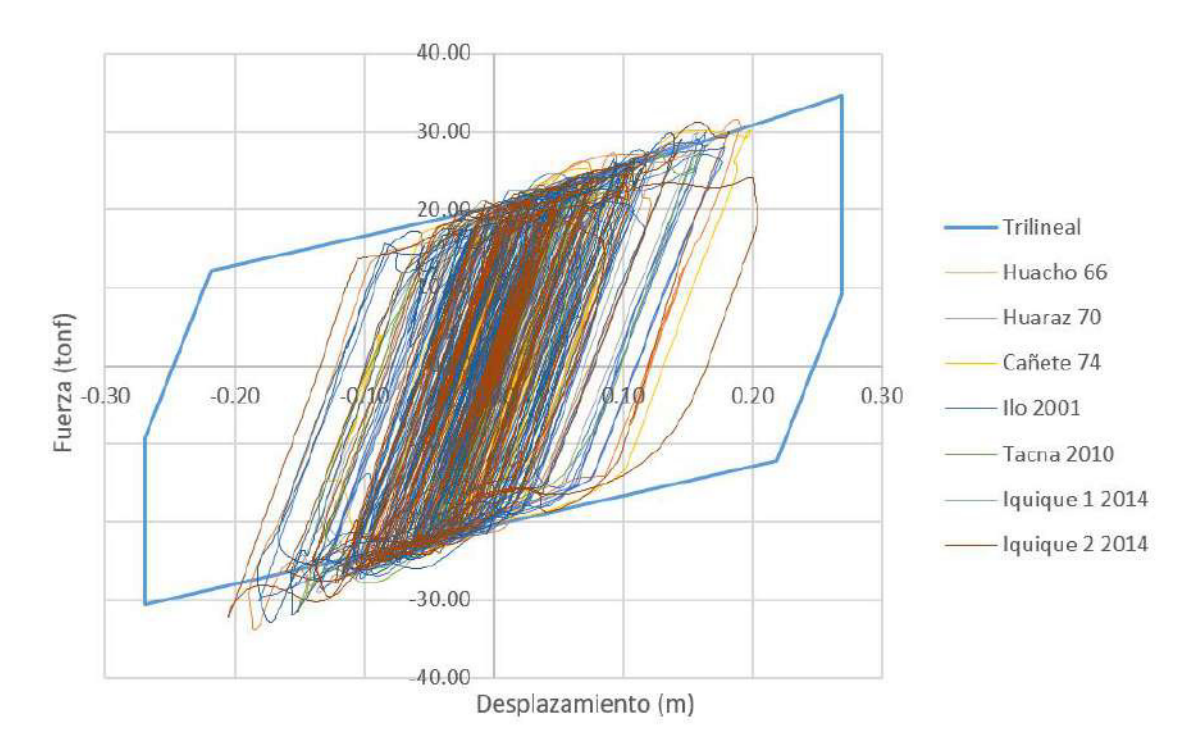
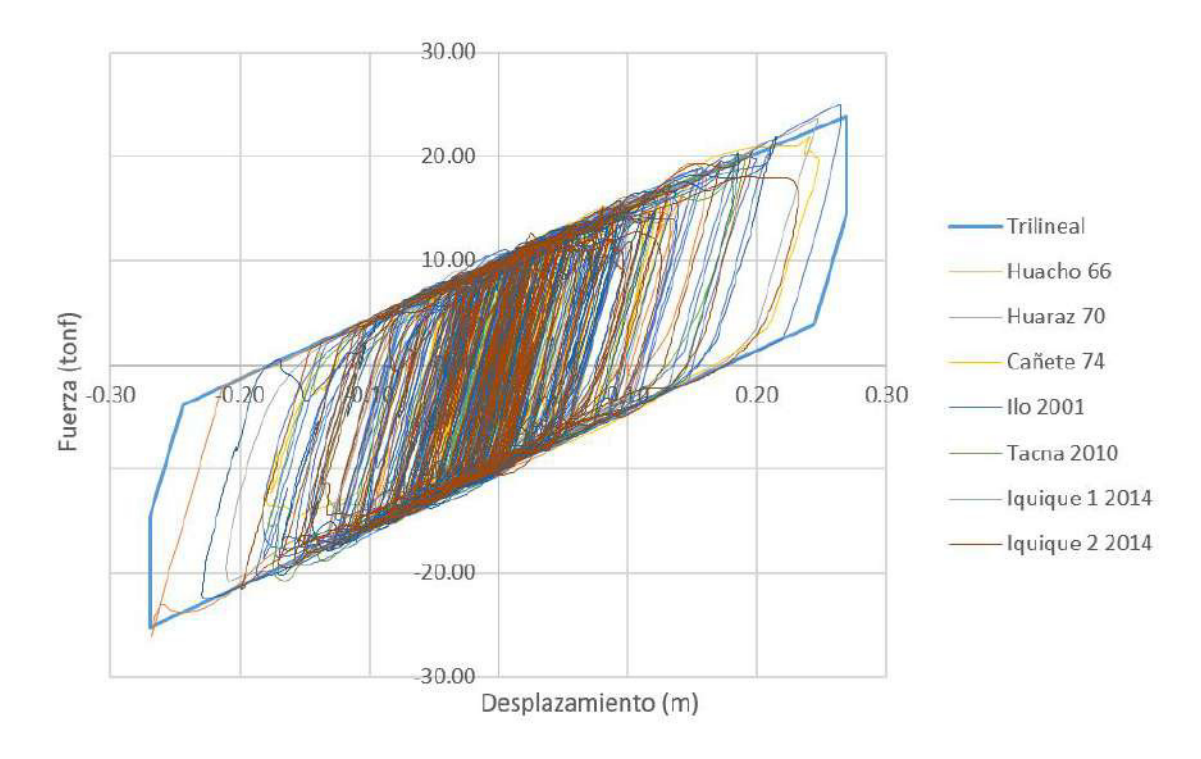


Figura D28Lazo histerético de dispositivo TFP 02 en límite inferior en la dirección NS





Indicador:

Derivas de entrepiso

Tesis:

Evaluación de la respuesta estructural de una edificación hospitalaria usando

tres sistemas de aislamiento sísmico en la ciudad de Ilo-Perú

Tesista:

Cabrera Zúñiga, Elias Josue

Universidad

Universidad Nacional Federico Villarreal

Facultad

Ingeniería Civil

			Γ	Derivas máx	kimas (%	o)		
			Anális	is no lineal	tiempo-l	nistoria		
Nivel	LRE	3+SL	LRB+HDR+SL		TFP		Mejores resultados	
	X	Y	X	Y	X	Y	X	Y
Piso 05						Angel The Control of the Control of	••	-
Piso 04	••							
Piso 03								
Piso 02								-
Piso 01								

Validación por juicio de expertos

	Nombres y Apellidos	CIP	Nota
1	Daniel Edinson Castillo Alva	204562	0.8
2	Ludwig Echevarría Espinoza	68897	0.9
3	Mario Ulices Rivera Díaz	166704	0.9
	-	Promedio:	0.87

^{*} La nota será entre 0 y 1, siendo 0.5 aprobado.

DANIEL EDINSON CASTILLO ALVA INGENIERO CIVIL Reg. CIP Nº 204562 LUDWIG ECHEVARRIA ESPINOZA INGENIERO CIVIL Reg. CIP Nº 63897

MARIO ULICES RIVERA DIAZ INGENIERO CIVIL Reg. CIP N° 166704

Indicador:

Aceleraciones de piso

Tesis:

Evaluación de la respuesta estructural de una edificación hospitalaria usando

tres sistemas de aislamiento sísmico en la ciudad de Ilo-Perú

Tesista:

Cabrera Zúñiga, Elias Josue

Universidad

Universidad Nacional Federico Villarreal

Facultad

Ingeniería Civil

			Ace	eleraciones	máximas	s (g)		
-			Anális	is no lineal	tiempo-l	nistoria		
Nivel	LRE	3+SL	LRB+HDR+SL		TFP		Mejores resultados	
	X	Y	X	Y	X	Y	X	Y
Piso 05				••				
Piso 04	784							-
Piso 03		-						
Piso 02								-
Piso 01	-					-		-
Piso técnico								

Validación por juicio de expertos

	Nombres y Apellidos	CIP	Nota
1	Daniel Edinson Castillo Alva	204562	0.8
2	Ludwig Echevarría Espinoza	68897	0.9
3	Mario Ulices Rivera Díaz	166 704	0.9
		Promedio:	0.87

^{*} La nota será entre 0 y 1, siendo 0.5 aprobado.

DANIEL EDINSON CASTILLO ALVA INGENIERO CIVIL Red. CIP Nº 204562 LUDWIG ECHEVARRIA ESPINOZA INGENIERO CIVIL Reg. CIP Nº 68897

MARIO ÚLICES RIVERA DIAZ INGENIERO CIVIL Reg. CIP Nº 166704

Indicador:

Desplazamiento máximo del sistema de aislamiento

Tesis:

Evaluación de la respuesta estructural de una edificación hospitalaria usando

tres sistemas de aislamiento sísmico en la ciudad de Ilo-Perú

Tesista:

Cabrera Zúñiga, Elias Josue

Universidad

Universidad Nacional Federico Villarreal

Facultad

Ingeniería Civil

Sistema de	Análisis no lineal tiempo-historia		
aislamiento	D _{TM (X-X)}	$D_{TM}(Y-Y)$	
LRB+SL		105 No.	
LRB+HDR+SL	· ·	-	
TFP			
Mejores resultados			

Validación por juicio de expertos

	Nombres y Apellidos	CIP	Nota
1	Daniel Edinson Castillo Alva	204562	0.8
2	Ludwig Echevarría Espinoza	68897	0.9
3	Mario Ulices Rivera Díaz	166 704	0.9
		Promedio:	0.87

^{*} La nota será entre 0 y 1, siendo 0.5 aprobado.

DANIEL EDINSON CASTILLO ALVA INGENIERO CIVIL

Reg. CIP Nº 204562

LUDWIG ECHEVARRIA ESPINOZA INGENIERO CIVIL

Reg. CIP Nº 68897

MARIO ULICES RIVERA DIAZ INGENIERO CIVIL Reg. CIP Nº 166704

Indicador:

Fuerza cortante en la base de la superestructura aislada

Tesis:

Evaluación de la respuesta estructural de una edificación hospitalaria usando

tres sistemas de aislamiento sísmico en la ciudad de Ilo-Perú

Tesista:

Cabrera Zúñiga, Elias Josue

Universidad

Universidad Nacional Federico Villarreal

Facultad

Ingeniería Civil

Sistema de	Análisis no lineal tiempo-historia		
aislamiento	V _{s (X-X)}	V _{s (Y-Y)}	
LRB+SL			
LRB+HDR+SL			
TFP			
Mejores resultados		••	

Validación por juicio de expertos

	Nombres y Apellidos	CIP	Nota
1	Daniel Edinson Castillo Alva	201562	0.6
2	Ludwig Echevarría Espinoza	68897	0.9.
3	Mario Ulices Rivera Díaz	166704	0.9
		Promedio:	0.87

^{*} La nota será entre 0 y 1, siendo 0.5 aprobado.

DANIEL EDINSON CASTILLO ALVA INGENIERO CIVIL Reg. CIP Nº 204562

LUDWIG ECHEVARRIA ESPINOZA INGENIERO CIVIL Reg. CIP Nº 68897

MARIO VLICE RIVERA DIA INGENIERO CIVIL Reg. CIP Nº 166704

Indicador:

Fuerza cortante en el sistema de aislamiento

Tesis:

Evaluación de la respuesta estructural de una edificación hospitalaria usando

tres sistemas de aislamiento sísmico en la ciudad de Ilo-Perú

Tesista:

Cabrera Zúñiga, Elias Josue

Universidad

Universidad Nacional Federico Villarreal

Facultad

Ingeniería Civil

Sistema de	Análisis no lineal tiempo-historia		
aislamiento	$V_{b(X-X)}$	$V_{b(Y-Y)}$	
LRB+SL	**		
LRB+HDR+SL			
TFP			
Mejores resultados	**		

Validación por juicio de expertos

	Nombres y Apellidos	CIP	Nota
1	Daniel Edinson Castillo Alva	201562	0.8
2	Ludwig Echevarría Espinoza	68897	0.9
3	Mario Ulices Rivera Díaz	166704	0.9
	-	Promedio:	0.87

^{*} La nota será entre 0 y 1, siendo 0.5 aprobado.

DANIEL EDINSON CASTILLO ALVA INGENIERO CIVIL LUDWIG ECHEVARRIA ESPINOZA INGENIERO CIVIL Reg. CIP N° 68897

MARIO ULICES RIVERA DIAZ INGENIERO CIVIL Reg. CIP Nº 166704



Software ETABS versión 22.5.0

Figura F1Datos generales del software ETABS versión 22.5.0

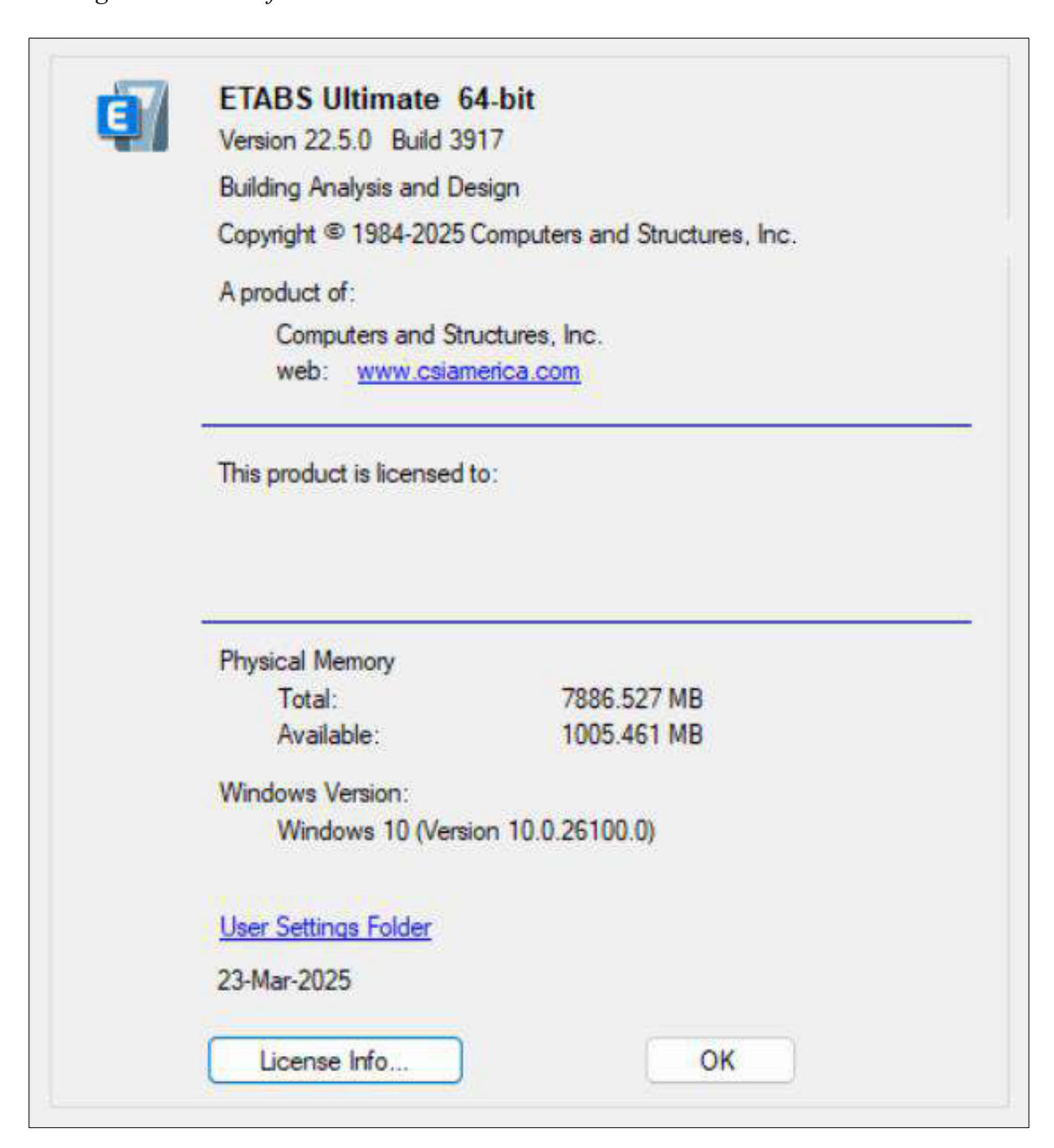
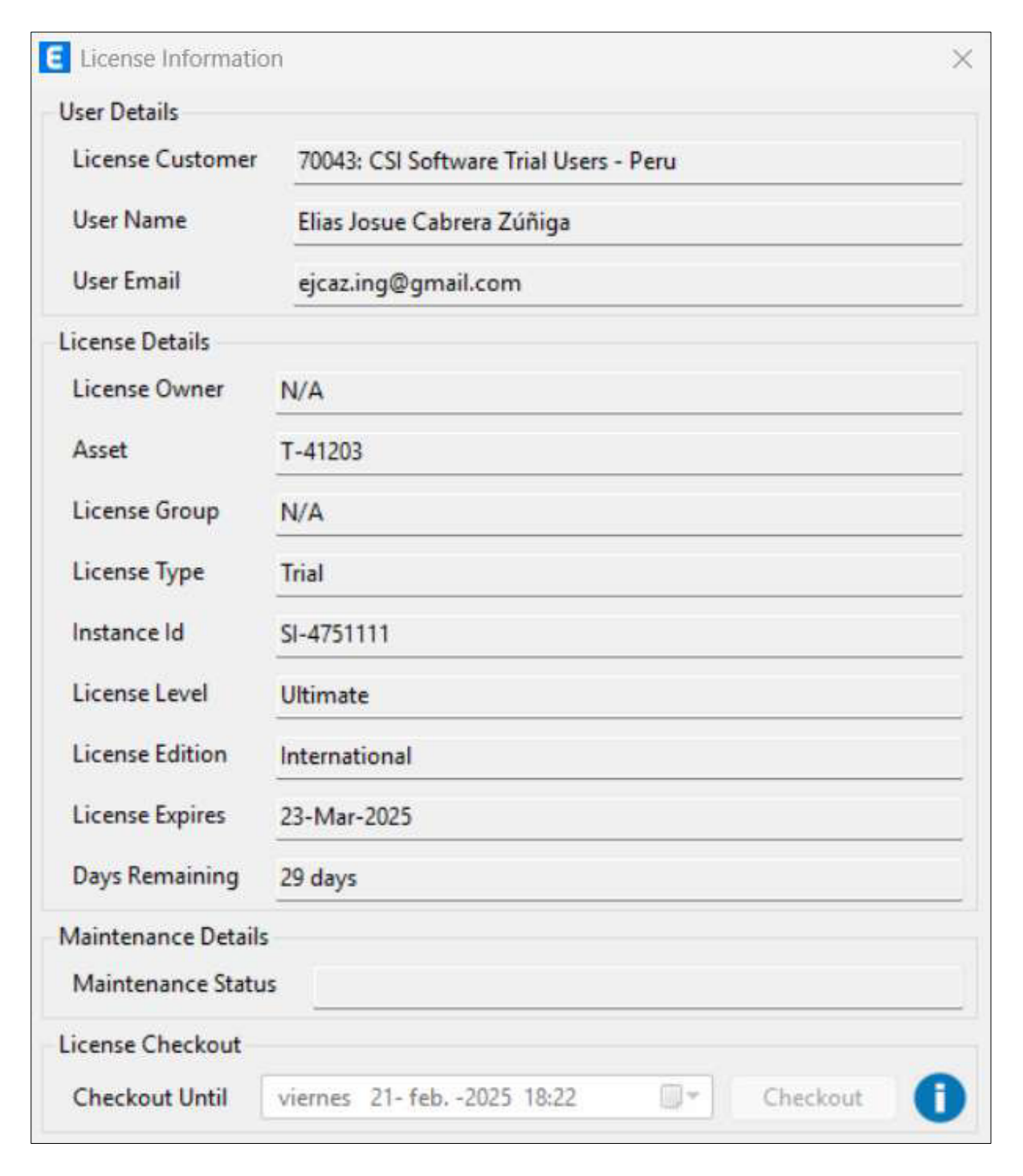
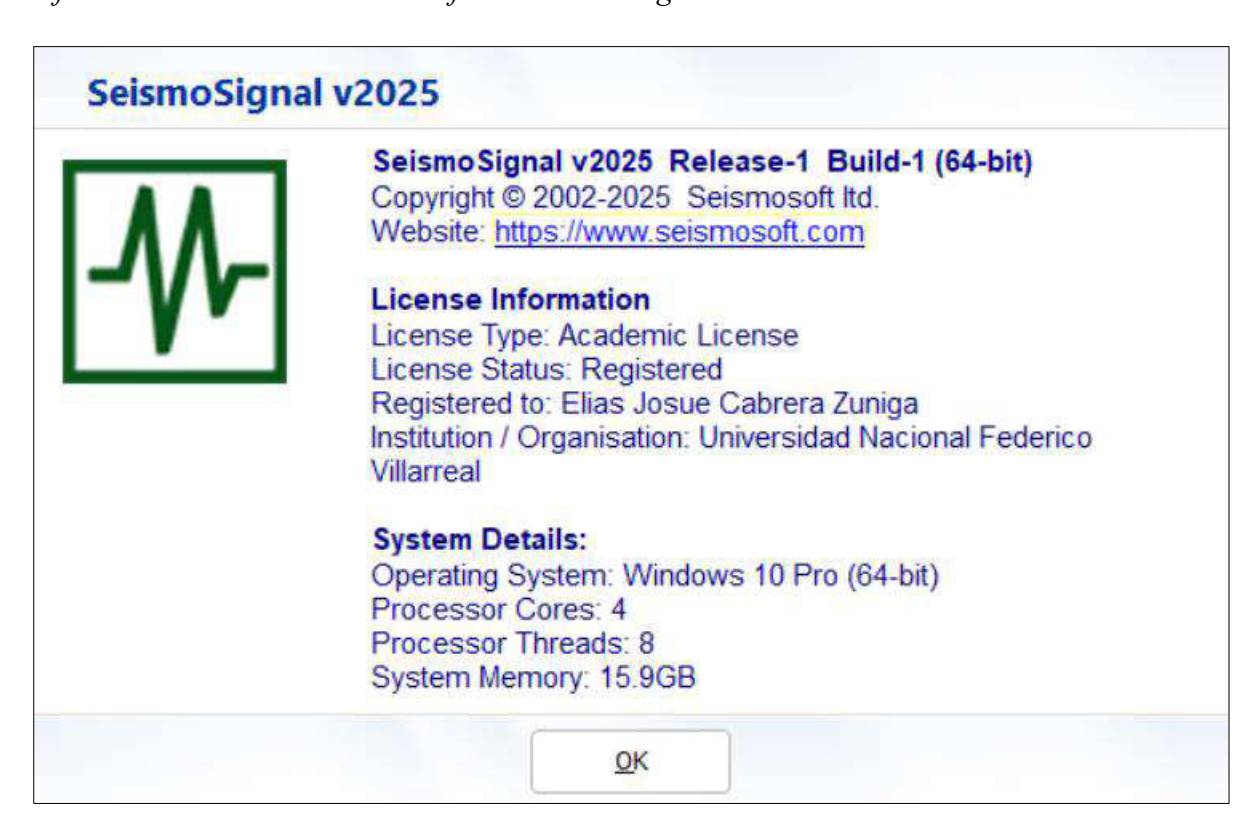


Figura F2Información de la licencia del software ETABS versión 22.5.0



Software SeismoSignal v2025

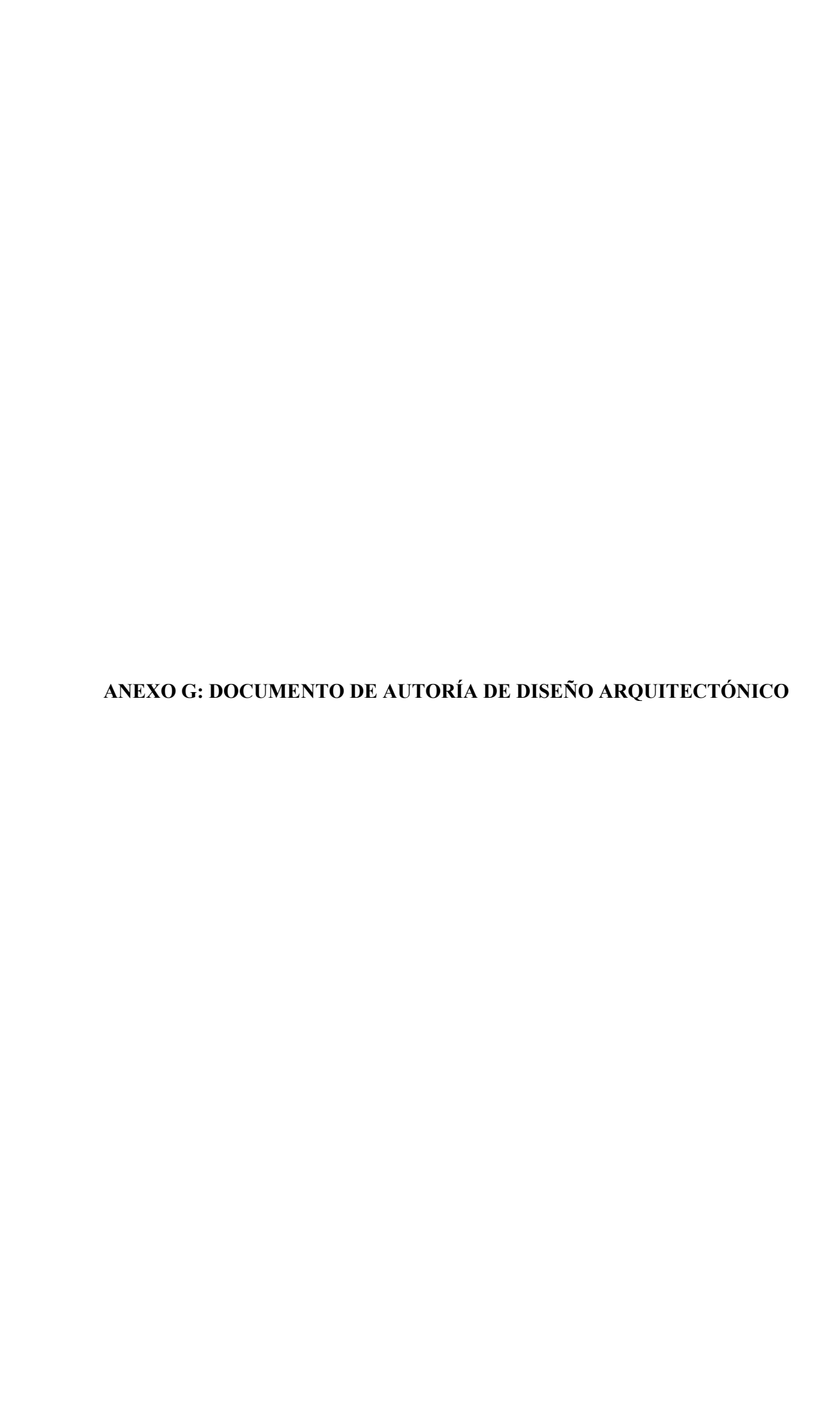
Figura F3Información de la licencia del software SeismoSignal v2025



Software SeismoMatch v2025

Figura F4Información de la licencia del software SeismoMatch v2025





Diseño arquitectónico para tesis académica

Mediante el presente documento, la que suscribe, Justo Victor Quillca Mayo, identificado con DNI Nº 10616264, arquitecto de profesión, registrado en el Colegio de Arquitectos del Perú con el código nº 4640, indico la autoría del diseño arquitectónico del proyecto hospitalario usado en la tesis de pregrado titulada "Evaluación de la respuesta estructural de una edificación hospitalaria usando tres sistemas de aislamiento sísmico en la ciudad de Ilo-Perú" realizada por el bachiller en ingeniería civil Elias Josue Cabrera Zúñiga, para los fines académicos correspondientes a la tesis mencionada.

Lima, 24 de febrero del 2025

J. VICTOR QUILLCA MAYO
ARQUITECTO
C.A.P. 4640